

Memoria interpretativa

**Proyecto Arqueología y solcialización del conocimiento
en La Alcudia de Elche. Las Termas Orientales y áreas
circundantes**

Campaña 2019

PROYECTO ASTERO-UNIVERSIDAD DE ALICANTE

S. ref. expte. 2018/1277-A(SSTT.A-2004-055)

Jaime Molina Vidal

Francisco Javier Muñoz Ojeda

Juan Francisco Álvarez Tortosa



ÍNDICE

1. Antecedentes.....	5
2. Objetivos concretos e interés del proyecto y sus resultados.....	11
3. Descripción de los trabajos.....	17
3.1 Hipótesis de partida.....	17
3.2 Metodología y plan de trabajo.....	18
3.3 Planteamiento de excavación.....	20
3.4 Ambientes 36, 30 y 38.....	24
3.5 Ambiente 36.....	29
3.6 Ambiente 30.....	34
3.7 Ambiente 38.....	53
3.8 Ambiente 5.....	61
3.9 Eje central del sector oriental.....	64
3.10 Sobre Ambientes 29 y 31.....	66
3.11 Ambiente 29.....	70
3.12 Sobre Ambientes 31 y 37.....	101
3.13 Ambiente 31.....	109
3.14 Ambiente 37.....	111
3.15 Consolidación de estructuras.....	113
3.16 Cubrición.....	139
4. Listado de UUEE.....	143
5. Inventario de materiales.....	169
6. Resumen de la campaña.....	233

1. Antecedentes

Las estructuras que dan forma al conjunto denominado como Termas Orientales de La Alcudia se encuentran ubicadas en el Sector 7-F del yacimiento arqueológico de La Alcudia, tradicionalmente denominado como “Sector del Alcantarillado”:

- Coordenadas ETRS89 - UTM Huso 30 (25830), X: 701823.28541525, Y: 4234872.0594627
- Referencia catastral de la parcela: 03065A09900078).

Su descubrimiento casual, fruto de unas obras de mantenimiento, provocó que las campañas 63, 64 y 65 en La Alcudia se centrasen en su excavación y estudio, dejando a la vista durante esas excavaciones gran parte de las estructuras que hoy día pueden visitarse. Producto de estas intervenciones son las dos únicas **publicaciones** que de manera concreta describen y analizan este conjunto termal: por un lado, la publicación en el marco del Coloquio Internacional de Gijón del año 2000 Termas romanas en el Occidente del Imperio (Ramos Molina- Tendero Porras, 2000) y la publicación de R. Ramos Fernández y A. Ramos Molina (2007).

En ambas publicaciones se realiza una descripción estructural del conjunto termal, además de algunas indicaciones sobre materiales aparecidos y su adscripción cronológica, aunque dejando en todo momento claro que es una zona en estudio. Del mismo se realiza una primera aproximación cronológica ajustando sus fases constructivas a las que tradicionalmente se han documentado en el yacimiento arqueológico de La Alcudia (Ramos Folqués, 1966).

Durante las dos primeras campañas (1998 y 1999) la excavación se centró en descubrir gran parte de la planta que en la actualidad puede visitarse en el yacimiento. La estructura general descrita en las publicaciones se compone de un denominado vestíbulo o estancia D, en la parte oriental, cuyo pavimento se encuentra decorado con un mosaico policromo que ocupa todo el espacio, desde el cual se abren dos vanos al norte y un acceso mediante escaleras al oeste.

En todo momento llama la atención a los excavadores la presencia de un sistema complejo de alcantarillado, algo por otro lado lógico teniendo en cuenta la naturaleza del edificio. En cuanto a las cronologías que se barajan para la construcción de las

termas, en un primer momento éstas podrían arrancar en la primera mitad del s. I d. C. con una amortización aún por definir (Ramos Molina-Tendero Porras, 2000). Mientras que la excavación de un perfil conservado en la conocida como dependencia C durante la campaña del 2000 (Ramos Fernández- Ramos Molina, 2007) reveló una cronología de abandono visigoda, mientras que su fundación no parecía moverse del s. I d.C. Además, durante la excavación del perfil comentado se documentaron varios niveles de pavimentación que ilustran, al menos dos fases intermedias entre la visigoda comentada y la de fundación. Estas dos nuevas fases parecen asimilarse, según sus excavadores, en los siglos II y III d.C., respectivamente.

De forma adicional en las publicaciones se señala a existencia de, al menos, dos fases constructivas en función de la presencia de varios modos constructivos y la propia relación estratigráfica entre estructuras, aunque en ningún momento se aclara una asignación cronológica para estas fases estructurales. En ambos artículos se realiza una descripción detallada de la articulación de espacios, apuntando en algunos casos la aparición de materiales que, por su particularidad, llama la atención de los excavadores. En el caso de la estancia conocida como Vestíbulo se apunta la aparición de un conjunto de agujas de hueso (Tendero- Lara, 2003), plaquetas de mármol, un *urceus* tardorromano, ánforas y lo que podría ser un posible *labrum*, sin especificar en ningún momento asignación estratigráfica o fase constructiva con la que se asocia. Cabe destacar la presencia de tres monedas, identificada como ases altoimperiales, en el relleno de la canalización presente bajo el umbral del ambiente. Por otro lado, a la hora de describir el espacio que ocupa la gran *natatio* (estancia F) se indica que se encontraba amortizada y rellena por gran cantidad de material constructivo, llamando la atención sobre el conjunto de enlucidos pintados que imitaban tipos marmóreos, algo que por otro lado es típico de los primeros estilos pictóricos que se desarrollan durante época alto imperial. Finalmente apuntan la presencia de dos monedas fechadas en el s. III d.C. y s. II d.C. respectivamente.

Tal y como ya hemos comentado, la campaña del 2000 se centró en finalizar la excavación de la conocida como estancia C, donde se había dejado, a modo de testigo, un gran perfil en la parte norte del ambiente. A partir de esta excavación se propusieron hasta **cuatro fases** vinculadas a los cuatro niveles de pavimentación detectados:

- Fase 1: cuya cota coincide con el nivel de paso documentado en la estancia F de la *natatio*, se vincula a la denominada fase visigoda
- Fase 2: el segundo nivel se vincula al s. III d.C.
- Fase 3: el tercer nivel se relaciona con la construcción de la estancia C y por tanto con el funcionamiento del conjunto termal en el s. II d.C.
- Fase 4: finalmente, bajo el último pavimento se documentaron una serie de estructuras que los excavadores relacionan con una primera distribución del espacio termal en la primera mitad del s. I d.C.

Al margen de las publicaciones comentadas no tenemos constancia de más estudios en profundidad sobre este espacio termal, a pesar haberse excavado en posteriores campañas algunas zonas realmente amplias relacionadas con el edificio en cuestión y de haberse realizado sucesivas intervenciones de consolidación y restauración.

Tal y como podemos ver en la **planimetría** adjunta en el artículo de R. Ramos Fernández y A. Ramos Molina (2007) hasta la campaña de 2000 el vestíbulo, en su extremo oeste, conducía a unas escaleras que ascendían hasta un pequeño espacio que daba paso a la gran estancia F de la *natatio*. En posteriores campañas se procedió a la excavación del espacio existente al oeste, tras las escaleras, dejándose a la vista un ambiente que discurre de forma paralela a la estancia F, separada de esta por un muro al norte. En alguna fase, que desconocemos, este gran pasillo se encontraba compartimentado por tabiques con orientación norte-sur, que durante la consolidación y puesta en valor fueron eliminados.

También se amplió el sector excavado en su extremo oeste y norte, entorno a la estancia F de la *natatio*, dejando al descubierto una serie de ambientes de pequeño tamaño que presentaban pilas de ladrillos besales, lo cual apunta a la presencia de varios hipocaustos. La articulación de estos ambientes en torno a la estancia F nos hace pensar en la presencia de un gran *caldarium* o zona caliente aún por definir y comprender. Esta zona, al menos en su parte occidental también se encuentra recorrida por el sistema de alcantarillado que viene desde el extremo oriental del conjunto termal.

De este modo, y a falta de una revisión en profundidad de la documentación producida durante las distintas campañas llevadas a cabo en el conjunto termal, quedaría por definir lo que ahora mismo es la parte perimetral del sector. Los perfiles perimetrales en estos momentos no coinciden con muros limítrofes del conjunto.

Finalmente habría que señalar la reciente actuación en este sector del equipo de **Patrimonio Virtual**, dirigido por J. Molina Vidal (IP de esta propuesta de proyecto) que ha dado como resultado un conjunto de actuaciones de carácter básicamente docente y divulgativo:

- Campo de experimentación de diversos workshops sobre patrimonio virtual
- Laboratorio abierto de prácticas de toma de datos con GPS diferencial y captura fotogramétrica con drones
- Contribución en la reciente a la obra de divulgación coordinada por el prof. L. Abad Casal, 2016: *L'Alcúdia d'Elx. Un passeig per la història i l'entorn*, Alicante.

BIBLIOGRAFÍA

- Abad Casal, L.- Moratalla Jávega, J. - Tendero Porras, M., 2000: "Contextos de antigüedad tardía en las termas occidentales de La Alcudia", *Anales de Prehistoria y Arqueología de la Universidad de Murcia* 16, 133-147.
- Abad Casal, L.- Tendero Porras, M., 2008: *Ilici (La Alcudia de Elche, Alicante). Guía del Parque Arqueológico*, Alicante.
- Abad Casal, L.- Sala Sellés, F.- Grau Mira, I., 2002: *La Contestania Ibérica, treinta años después*, Alicante.
- Abad, L., 2003: "Vivir en Ilici", *Canelobre* 48, 59-81.
- 2016: *L'Alcúdia d'Elx. Un passeig per la història i l'entorn*, Alicante.
- Abad, L.- Abascal, J. M., 1991: *Textos para la historia de Alicante. Historia Antigua*, Alicante.
- Alföldy, G., 2003: "Administración, urbanización, instituciones, vida pública y orden social", *Canelobre (Las ciudades y los campos de Alicante en época romana)*, 48, Inst. Cult. Juan Gil-Albert, Alicante, 35-57.
- Almagro Gorbea, M. 1999: *El Rey Lobo de La Alcudia de Elche*, Alicante.
- Badie, A.- Gailledrat, E.- Moret, P.- Rouillard, P.- Sánchez, M. J.- Sillières, P., 2000: *Le site antique de La Picola à Santa Pola (Alicante, Espagne)*, París-Madrid.
- Castellano Hernández, Á., 1996: "Joyas de La Alcudia de Elche en la colección de orfebrería romana del Museo Arqueológico Nacional", *Boletín del Museo Arqueológico Nacional*, T. XIV, Madrid, 55-62.
- Corell, J., 1999: *Inscripcions romanes d'Ilici, Lucentum, Allon, Dianium i els seus respectius territoris*, Valencia.
- Chao Fernández, J. J.- Mesa Sanz, J. F. - Serrano Espinosa, M., 1999: "Un nuevo bronce hallado en la Alcudia", en J. González (ed.): *Ciudades privilegiadas del Occidente romano*, Sevilla, 417-424.
- Gozálvez Pérez, V., 1974: "La Centuriatio de Ilici", *Estudios sobre Centuriaciones Romanas en España*, Univ. Autónoma Madrid, 101-113.
- Gurt J. M.- de Lanuza, A. - Palet, J. M., 1996: "Revisión del catastro romano de Ilici (Elche)", *Pyrenae* 27, 215-226.
- Gutiérrez Lloret, S., 1996: *La Cora de Tudmir: de la antigüedad tardía al mundo islámico. Poblamiento y cultura material*, Madrid.
- Gutiérrez Lloret, S., 1999: "Cuando el Portus dejó de ser puerto: el territorio ilicitano en la Alta Edad Media (ss. VI-X)", *I Congreso de Historia Local* (Santa Pola, octubre 1997), 79-94.
- Hernández Pérez, M.-Abad Casal, L., 2004: *Iberia, Hispania, Spania. Una mirada desde Ilici*, Alicante.
- Ibarra y Manzoni, A., 1981: *Illici, su situación y antigüedades*, Instituto de Estudios Alicantinos, Diputación Provincial de Alicante, Serie II, 14, 320 págs. (Reproducción facsímil de la edición de Establecimiento Tipográfico de Antonio Reus, Alicante, 1879).
- Lara Vives, G., 2005: *El culto a Juno en Ilici y sus evidencias*, Villena.
- Lorenzo de San Román, R., 2004-2005: "La basilica-sinagoga de l'Alcúdia d'Elx (1905-2005). Problemes i estat de la qüestió 100 anys després", *Lucentum* 23-24, 127-156.

- Lorenzo de San Román, R., 2006: *L'Alcúdia d'Elx a l'Antiguitat tardana. Anàlisi historiogràfica i arqueològica de l'Ilici dels segles V-VIII*, Alicante.
- Llorens, M. M., 1987: *La ceca de Ilici*, Valencia.
- Márquez Villora, J. C., 1999: *El comercio romano en el Portus Illicitanus. El abastecimiento exterior de productos alimentarios (siglos I a. C.- V d. C.)*, Alicante.
- Márquez Villora, J. C.- Molina Vidal, J., 2001: *El comercio en el territorio de Ilici. Epigrafía, importación de alimentos y relación con los mercados mediterráneos*, Alicante.
- Márquez Villora, J. C.- Poveda Navarro, A., 2000: "Espacio religioso y cultura material en Ilici (SS. IV-VII d. C.)", *V Reunión d'Arqueologia Cristiana Hispànica (Cartagena, 1998)*, Barcelona, 185-198.
- Mayer, M. - Olesti, O., 2001: "La sortitio de Ilici. Del documento epigráfico al paisaje histórico", *DHA* 27, 109-130.
- Márquez Villora, J.C.; Molina Vidal, J.; Sánchez Fernández, M. J., 1999: "La factoría de salazones del Portus Illicitanus (Santa Pola, Alicante). Nuevos descubrimientos y estado de la cuestión", *Actas del XXV Congreso Nacional de Arqueología (Valencia, febrero de 1999)*, 360-364.
- Molina Vidal J.; Poveda Navarro, A. M., 1997: "Nivel de abandono de un sector del foro de Ilici", *Actas del XXIII Congreso Nacional de Arqueología*, Vol. 1. , 141-154.
- Molina Vidal, J., 2005: "La cetaria de Picola y la evolución del Portus Illicitanus (Santa Pola, España)", *III Congreso Internacional de Estudios Históricos. El Mediterráneo: la cultura del mar y la sal (Santa Pola, 24 al 27 de octubre de 2004)* (Molina Vidal, J.- Sánchez Fernández, M^a J. Eds.), Santa Pola, 110-145.
- Molina Vidal, J., 2012: "La Cetaria bajo imperial de Picola (Santa Pola, Alicante)", *Santa Pola, arqueología y museo: Museos municipales en el MARQ*, 138-141.
- Molina Vidal, J., 2015: "Poblamiento rural en el territorium de Ilici: la granja romana del Cabezo-Clot de Galvany (Elx,Alacant)". *Saguntum* 47, 105 - 120.
- Moratalla Jávega, J., 1996: "Explotación agropecuaria en época ibérica en torno a La Alcudia (Elche): el instrumental", *XXIII Congreso Nacional de Arqueología (Elche, 1995)*, vol. I, Elche, 369-376.
- Moratalla Jávega, J., 2001: "Restos de catastros romanos en el Medio Vinalopó y unos apuntes sobre Aspis", *Alquibla, Revista de Investigación del Bajo Segura* 7, Escuela Politécnica Superior de Orihuela-Instituto Universitario de Geografía, Orihuela, 551-579.
- Olmos, R. - Tortosa, T., 1997: *La Dama de Elche. Lecturas desde la diversidad*, col. Lynx 2, Madrid.
- Poveda, A., 2000: "El obispado de Ilici, Los orígenes del Cristianismo en Valencia y su entorno". *Grandes Temas Arqueológicos* 2, 85-92.
- Ramallo, S. - Vizcaíno, J., 2002: "Bizantinos en Hispania. Un problema en la arqueología española", *Archivo Español de Arqueología* 75, 313-332.
- Ramos Fernández, R., 1975: *La ciudad romana de Ilici*, Alicante.
- Ramos Fernández, R., 1983a: "Estratigrafía del sector 5-F de La Alcudia de Elche", *Lucentum* 2, 147-172.
- Ramos Fernández, R., 1991: *El yacimiento arqueológico de La Alcudia de Elche, Consell Valencià de Cultura, Serie Minor 1*, Valencia.
- Ramos Fernández, R., 1995: *El templo ibérico de La Alcudia. La Dama de Elche*, Elche.
- Ramos Fernández, R.- Uroz Sáez, J., 1992: "Ilici", *Dialoghi di Archeologia* 1-2, 95-104.
- Ramos Fernández, R - Ramos Molina, A., 2007: "Las termas orientales de Illici", *Caesaraugusta* 78, 545-554.
- Ramos Folqués, A., 1947: "La Dama de Elche. Datos para su cronología. El problema del nivel arqueológico de su hallazgo", *III Congreso Arqueológico del Sudeste Español*, Cartagena, 153-158.
- Ramos Folqués, A., 1966: "Estratigrafía de La Alcudia de Elche", *Saitabi* XVI, 71-76.
- Ramos Folqués, A., 1990: "Cerámica ibérica de la Alcudia (Elche, Alicante)", Alicante.
- Ramos Molina, A., 2000: La escultura ibérica en el Bajo Vinalopó y el Bajo Segura. Institut Municipal de Cultura, Ajuntament d'Elx, Elche.
- Ramos Molina, A.- Tendero Porras, M., 2000: "Dos nuevos conjuntos termales en Ilici (La Alcudia, Elche)", *II Coloquio Internacional de Arqueología de Gijón, Termas Romanas en el occidente del Imperio* (Fernández Ochoa, C. y García Entero, V. eds.), Gijón, 245-250.
- Reynolds, P., 1993: *Settlement and Pottery in the Vinalopó Valley (Alicante, Spain) A. D. 400-700*, BAR, Int. Ser. 588, Oxford, 9-43.
- Rovira, S., 2007 (coord.): *La Dama de Elche*, Madrid.
- Ruiz Roig, E. 2001: *Los mosaicos de Illici y del Portus Illicitanus. Consell Valencià de Cultura*, València.
- Sala Sellés, F., 1992: *La tienda del alfarero del yacimiento de la Alcudia*, Alicante.

2. Objetivos concretos e interés del proyecto y sus resultados

A partir de los antecedentes y el estado de la investigación que hemos descrito se puede observar que nos hallamos en un sector (F7) en el que el estado de conocimiento de los restos es, según indican los directores de las intervenciones y personal que ha publicado los resultados, parcial, inconcluso y en proceso de estudio. De hecho, la información publicada ofrece una serie de puntos oscuros que han servido de base para orientar nuestro programa de excavaciones con el fin de concluir el análisis y estudio del conjunto. Por otra parte, en La Alcudia de Elche se han ido arrastrando una serie de tesis básicas fruto de la estratigrafía construida por A. Ramos Folqués que ofrece muchas dudas y que debe ser revisada, o sustituida por un nuevo panel de hipótesis y de parámetros de referencia contruidos a partir de las nuevas técnicas y perspectivas de la investigación. En función de ese estado inacabado de las investigaciones planteamos algunos de nuestros objetivos:

- Objetivos concretos relacionado con el conjunto de las Termas Orientales:

Determinar la planta completa del conjunto termal en función de su secuencia evolutiva	Se ha completado en sus lados meridional y occidental
Datar de forma precisa los niveles constructivos y las fases de ocupación	Se ha fijado la etapa principal constructiva a finales del siglo I d.C.
Consolidar todas las estructuras exhumadas en estas intervenciones permitiendo su presentación a los visitantes de forma comprensible	Se han protegido para su puesta en valor a falta de concluir las excavaciones de este sector

- Objetivos relacionados con el análisis arqueológico del yacimiento arqueológico de La Alcudia de Elche:

Documentar la secuencia estratigráfica completa del conjunto para proporcionar	La actuación en el extremo occidental, con niveles de calle, y en la cimentación de las
--	---

nuevas hipótesis y parámetros interpretativos.	termas han precisado los límites cronológicos del conjunto
Establecer las principales fases constructivas del conjunto y de La Alcudia, revisando el análisis e interpretación de la evolución histórica del conjunto.	Se han determinado, al menos, cuatro grandes fases constructivas y de ocupación.
Iniciar la comprensión del conjunto en la trama urbanística general: viales y áreas aledañas del conjunto termal, con el fin de planificar futuras intervenciones	Se ha determinado la existencia de un eje viario principal que conecta con las excavaciones del sector 5F.

- Proyección social del yacimiento de La Alcudia:

Difundir los nuevos descubrimientos entre la sociedad ofreciendo nuevas perspectivas	Continuamos la dinámica iniciada en campañas anteriores, con la elaboración e vide explicativos de los avances y su difusión e sociales. Del mismo modo se mantuvo un contacto directo con los medios de comu para comunicar los avances realizados
Relativizar la obsesiva dependencia social, que no científica, del “mito de la Dama de Elche”, como único e irreplicable hito de referencia de la arqueología ilicitana	En las notas de prensa se hizo especial hin la importancia de La Alcudia como centro romano y su vertebración del territorio siglos desde su construcción.
Construir un programa de concienciación y sensibilización social del patrimonio histórico de La Alcudia de Elche sobre nuevos parámetros y bases interpretativos	En las acciones de divulgación y difusión hincapié en la importancia del yacimien centro de atracción de la población para e La Alcudia como parte fundamental del de del municipio.

Interés del proyecto:

- **Interés científico.** ¿Cómo se puede comprender la arqueología de Hispania suroriental sin información fiable y actualizada de la colonia de referencia de la región, sin Ilici? Más allá del interés local, desde el punto de vista científico, la paralización de las excavaciones en La Alcudia bloquea el progreso de las investigaciones sobre la Historia romana en este ámbito. Por ello ha sido fundamental reemprender un programa de excavaciones apoyándose, de forma adicional, en el conjunto de nuevas técnicas y metodologías que permitirán avanzar en el conocimiento científico.
- **Interés patrimonial.** La Alcudia de Elche constituye el principal conjunto arqueológico y patrimonial de carácter público de la Comunidad Valenciana sin excavar. Contrariamente a lo que se pueda pensar el yacimiento se encuentra en buena parte por descubrir. No son muchas las colonias romanas de las que aún se desconoce la ubicación del foro, o de la que se tenga una secuencia estratigráfica fiable, o lo que es más curioso en la que no se hubieran proyectado intervenciones arqueológicas sistemáticas en los últimos veinte años.
- **Interés pedagógico y formativo.** La Universidad de Alicante, como propietaria del yacimiento, tiene como función preferente la utilización de este recinto arqueológico como laboratorio de prácticas, ámbito docente o espacio de experimentación. Por ello desde la campaña 2017 hemos incorporado cinco alumnas/os de máster y más de treinta estudiantes de grado. Además, se ha constituido un equipo de excavación principalmente constituido por alumnado universitario y egresadas/os con el fin de crear un vínculo científico, pero también social con la comunidad científica y profesional.
- **Interés social.** El fin último de toda actuación científica es la sociedad. En el caso de la arqueología esto no es solo una frase pues, a parte de los resultados de la investigación básica en ocasiones de consumo interno, las excavaciones generan restos patrimoniales, interpretaciones de carácter histórico, elementos de carácter identitario y, en general, resultados tangibles para la sociedad. Por ello creemos que una dimensión fundamental de este proyecto es la socialización del conocimiento, la divulgación de sus resultados.

- **Interés estratégico.** Uno de los elementos básicos de la investigación actual es la financiación de la ciencia. En el caso de las actuaciones arqueológicas regulares la financiación proviene preferentemente de los sectores públicos, pero se deben promocionar los canales de financiación privados vía mecenazgo. Pero si no se ofrecen resultados previos y se impacta en la opinión pública es difícil conseguir generar una dinámica favorable a la financiación externa. Por ello consideramos necesario desarrollar proyectos arqueológicos que abran nuevas perspectivas arqueológicas y patrimoniales.

En resumen, son muchas las razones para impulsar este proyecto, pero si hubiéramos de sintetizar las líneas básicas de este programa de actuaciones podríamos señalar cuatro ejes fundamentales:

- **Austeridad.** Al amparo de las múltiples burbujas que han afectado a la sociedad española en las últimas décadas se ha desarrollado un modelo de intervención arqueológica y de gestión del patrimonio acorde con esa embriaguez de recursos. Pero ese tiempo ha acabado y es necesario recuperar un **modelo de gestión del patrimonio mucho más austero**, sobre todo por responsabilidad social. Por ello planteamos tipos de actuación que reduzcan los presupuestos, que eviten las cadenas de subcontratas, que prioricen la **gestión directa**, que huyan del empleo de materiales costosos, poniendo en primer plano la necesidad de socializar el conocimiento y de sensibilizar a la sociedad frente a los proyectos faraónicos. Este planteamiento de gestión del patrimonio lo hemos aplicados en la Villa Romana de l'Albir, primer museo al aire libre de la Comunidad Valenciana desarrollado con fondos públicos, pero con presupuestos muy ajustados, reduciendo los márgenes y la participación de las empresas externas y, por tanto, haciendo viable un proyecto a partir de la gestión directa de los recursos.
- **Socialización del conocimiento.** Todas las actuaciones científicas, y en el caso de un yacimiento arqueológico de propiedad y gestión pública como el de La Alcudia mucho más, deben estar orientadas a hacer que la parte fundamental de las **actuaciones reviertan en la sociedad** (acciones en RRSS, exposiciones, jornadas de puertas abiertas, publicaciones científicas y divulgativas, sesiones de virtualización, etc.). Por ello, el objetivo fundamental de este proyecto se centra en último término en la necesidad de socializar el conocimiento a través de las TIC.

- Incorporación de la **Arqueología Virtual** al ámbito de la excavación, la consolidación y la divulgación del patrimonio. La arqueología está disfrutando de un cambio técnico y metodológico que ha de ser incorporado en las actuaciones arqueológicas, especialmente las de carácter estrictamente científico y universitario. En la Universidad de Alicante hemos constituido el grupo **Patrimonio Virtual** referente internacional en proyectos y docencia universitaria de Arqueología y Restauración Virtual. Por ello es necesario incorporar todo este nuevo universo técnico para impulsar el rigor del registro, la fiabilidad de las actuaciones y el impacto social de los resultados.
- **Desarrollo del conocimiento abierto.** La razón fundamental de una actuación arqueológica siempre es profundizar el conocimiento histórico. Por ello nuestro objetivo fundamental siempre será generar un registro **fiable, riguroso y contrastable**. Por esta razón desarrollaremos un plan de publicaciones que incluya el acceso libre a los **metadatos y los parámetros** en el RUA, con el fin de hacer más transparente la actuación científica que llevamos a cabo.

3. Descripción de los trabajos

3.1. Hipótesis de partida

Para alcanzar dichos objetivos centraremos nuestras excavaciones en los escasos espacios del conjunto termal que aún no han sido excavados, especialmente en su parte noroccidental (ver anexo de documentación gráfica). Habremos de revisar la documentación existente, pero creemos que es necesario plantear la intervención como si se tratase de una excavación nueva para no asumir hipótesis previas o construirlas con prejuicios que podrían desviar nuestra atención de las novedades aportadas por la excavación.

1.1. Hipótesis Generales

Nuestra dilatada trayectoria científica respecto a la **arqueología romana** en concreto, y antigua en general, contiene múltiples referencias a los problemas e incertidumbres básicas de la investigación al respecto. De todas formas, apuntamos algunas líneas generales:

- La estratigrafía tradicional de La Alcudia de Elche debe ser revisada y muy probablemente corregida
- A la luz de la bibliografía científica general, habría que cuestionar o al menos revisar la propuesta tradicional de invasiones en la ciudad romana de *Ilici*
- Solo una excavación sistemática y estratigráfica de determinados contextos podría darnos información sobre los inicios de las fases de abandono o declive de las funciones administrativas tradicionales.

1.2. Hipótesis concretas

Del cotejo inicial y previo de la documentación existente y de la lectura precisa de los dos artículos publicados por el equipo arqueológico que excavo parte de este conjunto termal se extraen una serie de conclusiones que pueden sustentar hipótesis complementarias:

- Existen fases constructivas y de ocupación que no han podido ser determinadas en investigaciones anteriores. A modo de hipótesis se detectan dos fases principales

constructivas con sus consiguientes fases refacción y amortización cuya cronología podría estar marcada por las épocas alto y bajoimperial.

- Parecería que el uso termal del conjunto se circunscribiría a la época altoimperial
- En las fases en las que el conjunto termal está en uso se observan al menos tres fases de reformas
- Los mosaicos hallados en la entrada del conjunto termal no parecen ser de la fase fundacional

3.2. Metodología y plan de trabajo

Más allá de las particularidades propias de cada equipo creemos que sería necesario coordinar una serie de elementos básicos en la metodología arqueológica con el fin de hacer compatibles y contrastables los resultados de las investigaciones: registro de unidades, sistema informático de inventario y bases de datos, formas de acometer la consolidación de estructuras y taludes o la trazabilidad del registro y transparencia. Por nuestra parte la metodología arqueológica que proponemos seguiría las siguientes líneas básicas:

1. **Estudio previo** y planificación de las actuaciones del conjunto arqueológico denominado Termas Orientales: fases de intervención a medio y largo plazo
2. Intervención arqueológica en área abierta siguiendo el sistema de excavación **Harris-Carandini**
3. Utilización del **GPS diferencial** y posicionamiento satelital para ubicación de estructuras con georreferenciación
4. Utilización de **estación total** y niveles para el detalle de las estructuras
5. Registro gráfico combinado de **georreferenciación y fotogrametría digital** avanzada
6. **Levantamiento planimétrico 2D** a partir de la documentación métrica de cartografía CAD 2D: plantas, secciones y alzados
7. Registro de **unidades**
8. **Escaneado** de detalles constructivos
9. **Documentación fotográfica** del proceso de excavación
 - Estado de conservación previo a la intervención

- Documentación del proceso de intervención
- Documentación final

10. **Documentación fotográfica específica** para la obtención de:

- Modelo 3D del conjunto arqueológico.
- Documentación y productos derivados: ortoimágenes (plantas y alzados) y secciones.

11. Realización de **informes** previos y finales

12. Publicación y difusión

Plan de trabajo

Las actuaciones de todos los equipos de investigación han quedado enmarcadas por unas **líneas generales** consensuadas, únicas y de obligado cumplimiento para poder homogenizar los resultados de las excavaciones en La Alcudia de Elche. Se han acordado unos parámetros mínimos de registro: fichas UE, denominaciones, soporte informático, técnicas homogéneas de consolidación y protección, imagen corporativa, etc.

Concepto	Detalle de las actuaciones	Periodo de realización: VII/2018-VII/2019
1. Plan de excavaciones	Estudio previo de la documentación existente	Septiembre 2018-enero 2019
	Intervención arqueológica	16 de abril al 18 de mayo de 2019
	Elaboración de inventarios clasificados	Mayo-junio 2019
	Elaboración de memorias arqueológicas	Noviembre 2019-marzo 2020
	Análisis interpretativo	Noviembre 2019-marzo 2020
2. Plan de consolidación y preservación	Consolidación de estructuras	Mayo 2019

3.3. Planteamiento de excavación

Los trabajos arqueológicos desarrollados durante la campaña 2019 en la zona oriental del Sector 7F (Fig. 1) han tenido un doble objetivo, siguiendo la planificación que iniciamos en la campaña 2017. Por un lado, tratar de comprender y obtener un registro estratigráfico del complejo termal desde los niveles previos de su fundación hasta el abandono definitivo del sector. Para esto se ha planteado una doble intervención en la zona este que ha comprendido la excavación de los ambientes colindantes en este extremo con los límites del yacimiento y el desmonte del vallado perimetral.

Los trabajos planteados durante esta campaña 2019 han exigido por tanto una intervención post arqueológica que ha consistido, por un lado, en la reposición del vallado y por otro lado la consolidación de los espacios correspondientes a las termas que presentaban algún tipo de problema en cuanto a su preservación y conservación. Así, conforme avanzaba la excavación encontramos diversas situaciones que fueron abordadas según la necesidad inmediata de preservación:

- Espacios o estructuras cuya profundidad una vez excavados presentaban paramentos de una altura considerable, y por tanto se hacía inminente el apuntalado y cubrición, evitando que la acción del agua o del viento perjudicase la estabilidad de los muros exhumados.

- Deterioro de los enlucidos o revestimientos exhumados en campañas previas a nuestra intervención.

- Restablecimiento del vallado que separaba el yacimiento de la propiedad colindante, devolviendo así la infraestructura desmontada para facilitar la excavación a su estado inicial tras finalizar los trabajos.

Resultaba especialmente importante la protección de los ambientes 28 y 29 puesto que, al poseer un hipocausto, la cota respecto al nivel de paso descendía considerablemente, dando lugar a un espacio sin evacuación de aguas con alto riesgo de estancamiento, y por tanto afección a los paramentos. Puesto que en la campaña 2018 se dotó al Ambiente 28 de una estructura preventiva que ha funcionado correctamente, tras la

excavación del Ambiente 29 se aplicó la misma solución. Dicha solución ha protegido correctamente las estructuras durante los distintos episodios de gota fría que hemos sufrido en 2019 y 2020 en la zona.

Además, era también crucial la preservación de los enlucidos presentes tanto en el Ambiente 5 como en el Ambiente 30. En relación a los del Ambiente 5, hay que recordar que aparecieron durante las campañas de 2000 y 2001, quedando así a la intemperie, acusando un gran deterioro en los últimos años. Para evitar su desprendimiento, puesto que su presencia *in situ* es de crucial importancia para comprender las distintas fases constructivas del recinto, se decidió una intervención de consolidación.

Los ambientes cuya excavación se ha podido finalizar gracias a la retirada de la valla son los situados en el extremo oriental del sector: Ambientes 36, 30 y 38, aunque tal como describiremos más adelante, en ninguno de los tres casos hemos podido determinar las dimensiones de estas estancias, puesto que los paramentos que cerrarían al este no se han localizado. Precisamente con objeto de poder corroborar la presencia de estructuras arqueológicas al este del vallado nos vimos obligados a la retirada del mismo, procediendo a su reposición tras la finalización de la excavación.

Además, durante la campaña 2019 se prosiguió la excavación de los Ambientes 29 y 31, en relación con los anteriormente comentados, a lo que hemos de añadir la ampliación hacia el norte del Ambiente 29, que nos ha permitido confirmar la presencia de estructuras que con toda probabilidad pertenezcan al complejo termal.

Recapitulando, las distintas áreas en las que concentramos nuestra intervención arqueológica en esta parte del Sector oriental de las termas son:

- **Sobre Ambientes 29 y 31.** Se trata del conjunto de estructuras y de paquetes estratigráficos documentados en los niveles superiores del Sector, previamente a la identificación de Ambientes en su interior. El desmonte y posterior reubicación de la valla perimetral del yacimiento hizo posible excavar una nueva franja de este conjunto de niveles, los cuales fueron parcialmente exhumados y registrados en 2018.
- **Ambiente 29.** Estancia cuadrangular situada inmediatamente al N del vano de **UUUE 163 y 164**, a través del cual se comunica con el Ambiente 28.

- **Sobre Ambientes 31 y 37.** Sucesión de capas estratigráficas y de estructuras que hallamos en los niveles superficiales del Sector, sobre las estructuras que permiten individualizar y separar entre sí a los Ambientes 31 y 37.
- **Ambiente 31.** Habitación cuadrangular al N del muro **UE 343/479**, que lo separa del Ambiente 29 con el que estaba comunicado mediante un acceso o vano.
- **Ambiente 37.** Espacio situado al N del muro **UE 618**, que lo separa del Ambiente 31.
- **Ambiente 36.** Excavación de la zona inmediatamente al este del Ambiente 25, y que hasta ahora estaba ocupada por la zona de paso entre el extremo oriental del yacimiento y la valla del recinto.
- **Ambiente 30.** Se prosiguió la excavación iniciada en la campaña 2018, que dejó a la vista una nueva estancia comunicada al sur con el Ambiente 25 mediante un umbral, y que presentaba un pavimento de *opus signinum* roto en su zona central.
- **Ambiente 38.** Como consecuencia de la retirada del vallado del yacimiento en esta zona y la excavación del Ambiente 30 se pudo verificar la presencia de un nuevo espacio, esta vez inmediatamente al este del Ambiente 29 y al norte del Ambiente 30.
- **Ambiente 5.** Con motivo de la consolidación de los revestimientos en los muros **GU 3087, 3091, 3090 y 3089** proseguimos con la excavación de la franja existente entre el muro **UE 3081-3085** y el muro **GU3090**, parcialmente excavada en campañas previas.

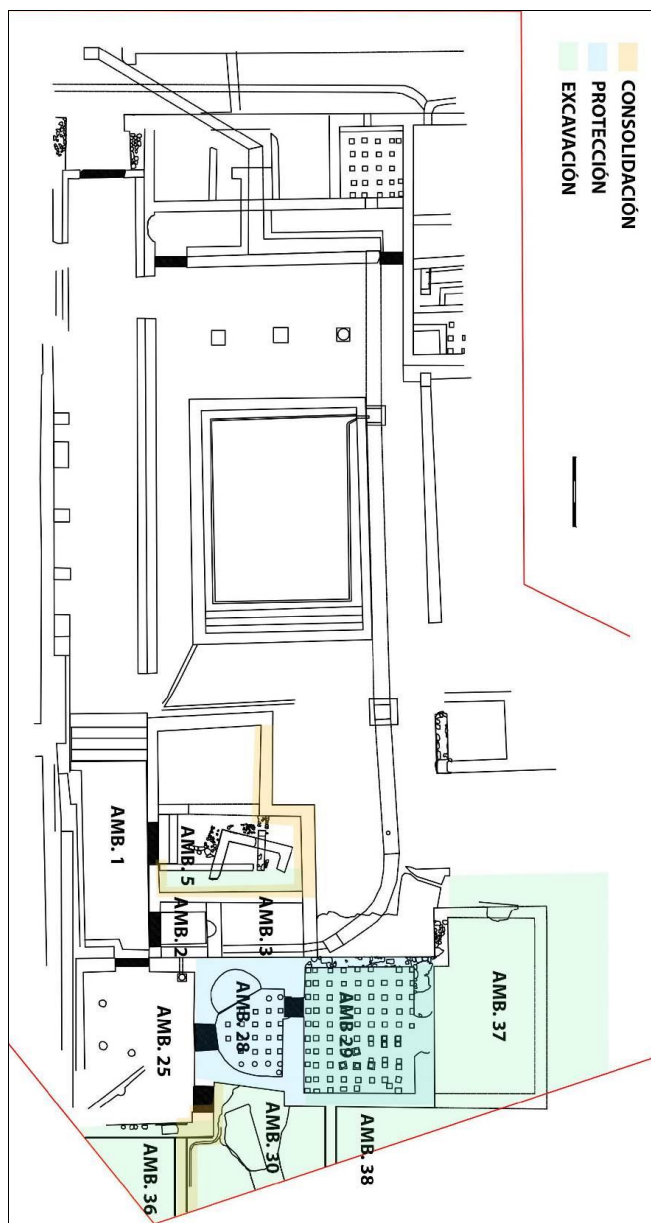


Fig. 1. Planta del Sector 7F con indicación de las zonas de intervención

3.4. Ambientes 36, 30 y 38

Debido a que en campañas anteriores se había intervenido de forma puntual en el extremo oriental del sector, en concreto en la zona comprendida entre los Ambientes 28 y 29 y el vallado perimetral del yacimiento, se había procurado una zona de seguridad para impedir un desprendimiento de la valla. De este modo, además, asegurábamos una zona de tránsito perimetral al conjunto termal. Pero ante la posibilidad de un posible desprendimiento de los perfiles orientales y consecuentemente del vallado se decidió en la Campaña 2019 una eliminación de la zona de paso comentada y un desmontado provisional de la valla. Esto último permitiría una excavación más cómoda y una eliminación del peligro que podría suponer la caída de la valla hacia el yacimiento. Debido a que el vallado de torsión estaba anclado al firme mediante unos postes cimentados en hormigón consideramos conveniente iniciar la excavación al oeste del cercado para dejar a la vista dichas cimentaciones, evitando así la realización de orificios que alterasen la estratigrafía.

De este modo, la excavación se inició por la zona sureste del sector, que ofrecía un espacio más accesible para la retirada de tierra. Puesto que en la campaña 2019 se pudo dejar a la vista tanto el muro sur del Ambiente 30 así como el muro que delimita el Ambiente 25 en su extremo este, disponíamos de un posible nuevo espacio parcialmente delimitado que pasamos a denominar Ambiente 36. Éste quedaba definido al norte por el muro **UE 570** y al oeste por el muro **UE 189**, mientras que tanto en su lado sur como en su lado este aparecía el perfil del yacimiento sobre el que se situaba la valla que lo separa de la parcela colindante.



Fig. 2. Planta de la UE 1 en la zona este del sector, junto a los Ambientes 29, 30 y 25

El primer estrato excavado, **UE 1** (fig. 3), estaba compactado debido a haber sido una zona de paso en campañas anteriores. Estaba compuesto por tierra de tonalidad marrón claro, con alguna piedra de mediano tamaño, extendiéndose de forma homogénea por la zona a excavar. La superficie presentaba una tendencia horizontal, aunque observamos que, a lo largo de todo el corte, su extremo oriental había sido alterado para la creación del banal que separa el yacimiento de la parcela colindante. Se trata de una capa superficial que, además, da muestras de contaminación adicional a causa del abanalamiento y del posterior vallado.



Fig. 3. Vista de UE 1 desde el sur antes de iniciar su excavación

Al igual que sucedió en la excavación de los Ambientes 29 y 31, bajo la **UE 1** localizamos la **UE 53** (fig. 4 y 5), estrato que se extendía por toda la zona oriental del sector de manera uniforme. Presenta una gran dureza y está compuesta por tierra marrón claro, observándose la presencia de alguna piedra de pequeño tamaño y cantos rodados. Los materiales presentes en el estrato combinan cerámicas que van desde la época tardo republicana hasta recipientes de la década de los 50 y 60 del s. XX Su disposición así como el material observado tras su excavación nos lleva a pensar que estamos ante el nivel de frecuentación de la zona desde mediados del s. XX en esta zona del yacimiento, amortizando este estrato el uso de la acequia de riego (**GU 23**) detectada en anteriores campañas sobre los Ambientes 25, 28 y 29. Del mismo modo, la **UE 53** también amortiza la nueva acequia (**UE 553-559**) hallada durante la excavación de la parte oriental del Ambiente 29 y el 37.



Fig. 4. Planta de estrato de la UE 53 previa a su excavación donde se aprecia cómo la unidad estratigráfica se extiende por todo el extremo este del Sector 7F



Fig. 5. Vista de la UE 53 desde el sur previo a su excavación

De este modo, tal como se detectó en la excavación de la zona septentrional (Ambientes 29 y 37), en la zona más al norte de nuestro corte llegamos a detectar restos de la **UE 553**. Tal como se describió en el proceso de excavación del Ambiente 29, se trata de “un estrato de tierra de tonalidad amarillenta muy arcillosa, con presencia de gravas que identificamos como **UE 553**. Las características de este nivel son las propias de paleo-acumulaciones de aguas lo que, unido al trazado de la trinchera a la que rellena, nos ha llevado a identificarlo como una posible acequia de riego. El canal de dicha acequia estaba directamente excavado en el firme, sin ninguna construcción que ayudase a encauzar sus aguas”. Asociado a este nivel localizamos la **UE 552** (fig. 6), un nivel tierra marrón claro, muy compacto, apenas sin piedras en su composición, a la que se asocia la **UE 553** (fig. 6). Es por tanto el nivel previo a la construcción de la acequia, en el cual se practica la zanja de la canalización. Probablemente los trabajos de desmonte y abancalamiento practicados en esta zona afectaron tanto la conducción hidráulica **UE 553** como al nivel de uso vinculado a la misma **-UE 552-**.

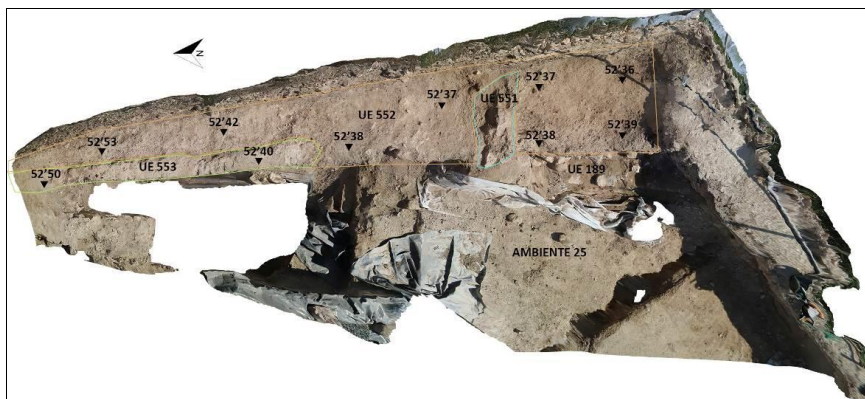


Fig. 6. UUEE 552 y 553, con la aparición del muro UE 551 y niveles de amortización de la zona este del Sector 7F

Finalmente, también hay que señalar que durante la limpieza de los niveles superiores de **UE 552** detectamos la aparición del muro **UE 570** en su extremo meridional. Dicha estructura ya había sido documentada en la campaña 2018, lo que permitió delimitar el Ambiente 30 por el sur. Llama la atención que la cresta del muro en esta zona aparece realmente alterada, seguramente fruto del desmonte llevado a cabo en el linde que separa el yacimiento de la parcela colindante.

Una vez identificados y excavados los niveles correspondientes al uso contemporáneo de la zona y teniendo delimitados los dos ambientes -Ambiente 30 al norte y Ambiente 36 al sur- se individualizaron los cortes de excavación por estancias.



Fig. 7. Vista del nuevo Ambiente 36 con la UE 552 previa a su excavación



Fig. 8. Vista del nuevo Ambiente 36 con la UE 552 previa a su excavación

3.5. Ambiente 36

Del mismo modo que en el Ambiente 30 habíamos detectado un posible nivel de uso contemporáneo al uso de la acequia -UE 553 y UE 552- también inmediatamente al sur del muro UE 570 encontramos un estrato de similar morfología y composición que denominamos UE 556. Este estrato presentaba una superficie tendente a la horizontalidad, compuesto por tierra de tono marrón claro y algún canto rodado o piedra de pequeño tamaño, presentando una cota superior similar a la de la UE 552. Aunque no llega a tener contacto con esta última unidad estratigráfica llega a cubrir parcialmente la cara norte del muro divisor entre los dos ambientes, por lo que no nos queda duda que se trata de un nivel posterior a la construcción del paramento.



Fig. 9. Planta de estrato de la UE 556

Bajo la UE 556 localizamos un nuevo estrato, UE 558, de una composición considerablemente distinta al superior, formada por tierra marrón oscuro y abundantes piedras de mediano tamaño. Se distribuye de forma irregular por todo el Ambiente 33, apoyándose en la cota superior del muro UE 570 y de una forma uniforme sobre la cresta del muro este del Ambiente 25. Hemos relacionado este estrato con el desplome o

derrumbe de los paramentos que definirían al Ambiente 36, aunque la aparición de este nivel de una forma tan uniforme sobre el muro oriental del Ambiente 25 no nos permite descartar que estemos ante una acción intencionada de desmonte o arrasamiento de las estructuras. La cercanía de este espacio al bancal delimitador del yacimiento nos lleva a pensar que esta zona fue afectada por los trabajos de desmonte. De hecho, la excavación que prosiguió en la esquina sureste del corte nos llevó a corroborar una fuerte transformación, muy probablemente de época contemporánea.

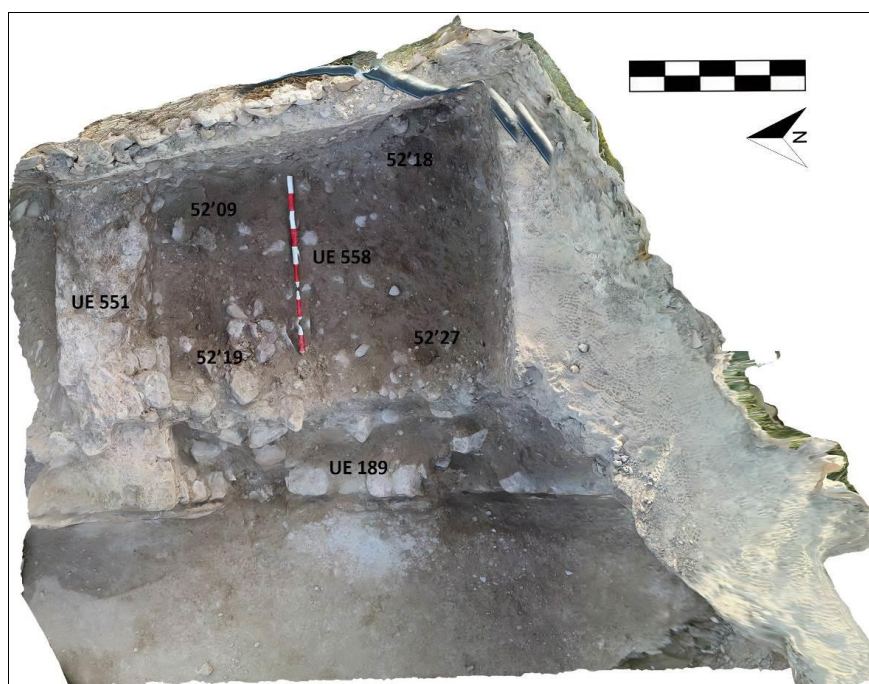


Fig. 10. Planta de estrato UE 558

Antes de proseguir con la excavación de la **UE 558** se llevó a cabo la remoción de los niveles superiores en el extremo sur del corte, correspondiente a la zona donde hipotéticamente debería ubicarse la esquina sureste del Ambiente 25. Es precisamente en este punto donde debía encontrarse la prolongación del muro **UUEE 3211-3213**, que cerraría la parte meridional del Ambiente 36. Sin embargo, tal y como se constató durante la excavación del Ambiente 25, la zona se encuentra muy afectada por la retirada de tierras mediante métodos mecánicos durante la segunda mitad del s. XX.

Tanto es así que en la zona oriental del ambiente dichas remociones llegaron a afectar incluso a las estructuras termales documentadas. Precisamente, y en relación con la zona que nos ocupa, documentamos un gran estrato compuesto por piedras de mediano y pequeño tamaño cuya cota inferior coincidía con la cota superior de las estructuras que circundan al Ambiente 25. Por tanto, tras la eliminación de este abancalamiento hallamos el muro que cierra el Ambiente 25 por su lado sur y su prolongación hacia el este cerrando meridionalmente el Ambiente 36, así como la destrucción de la esquina sureste del primer ambiente.

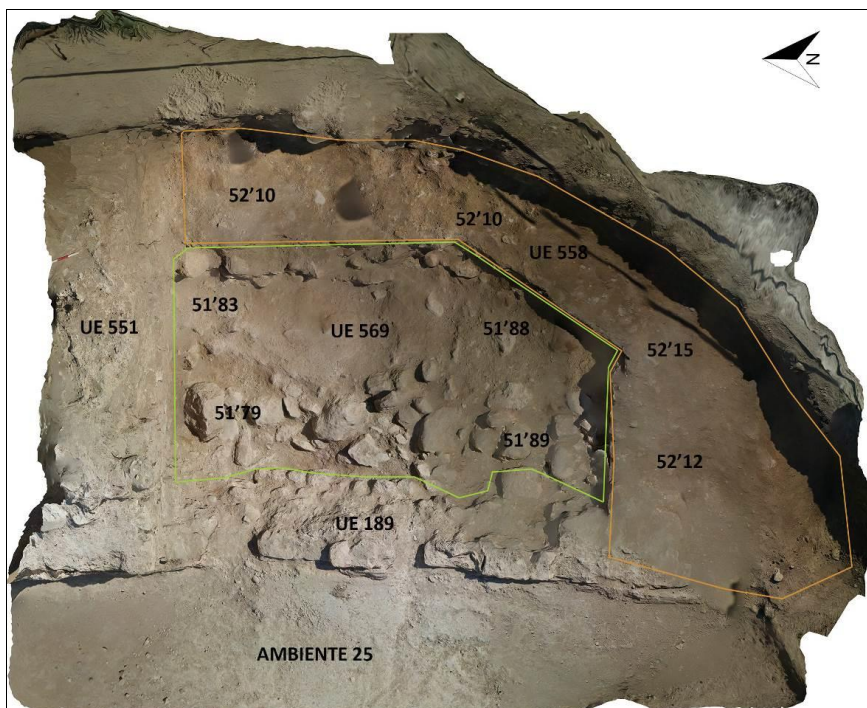


Fig. 11. Ortoimagen-planta de estrato de la UE 569 y la UE 558 (que cubre a la anterior) tras el desmontado de la valla perimetral. La zona donde podemos ver de nuevo la UE 558 corresponde al testigo dejado al inicio de la excavación como zona de paso entre el vallado y la propia excavación

El uso de maquinaria tracto-mecánica queda evidenciado en la forma en la que la esquina sureste del Ambiente 25 ha quedado destruida, resultando arrasados a un

mismo nivel tanto el muro meridional como la parte del pavimento que allí habría en origen.

El registro de tan alterada situación estratigráfica sacó a la luz un nuevo muro en dirección este-oeste que cierra el Ambiente 36 al sur. Comprobamos sin embargo que este nuevo eje este-oeste no es la continuación del muro meridional del Ambiente 25, **UUEE 3211-3213**. De hecho, tal como ya hemos comentado, este último muro no se ha localizado en el extremo oriental del ambiente a causa de los trabajos de abancalamiento antes descritos.

El nuevo muro, **UE 715**, tiene una anchura de 60 cm. Hace esquina al oeste con el muro **UE 189**, mientras que en su extremo oriental queda bajo el perfil del yacimiento en su límite con la parcela colindante, por lo que por el momento no nos es posible definir las dimensiones reales del ambiente en su extremo este. Por tanto, el Ambiente 36 queda definido por los muros **UE 715** al sur, el muro **UE 189** al oeste y el muro **UE 551** al norte, compartiendo este último con el Ambiente 30.

El interior del ambiente está colmatado por la **UE 558**, anteriormente descrita. Se procedió a su excavación para determinar la secuencia estratigráfica interna del Ambiente 36. Bajo la **UE 558** localizamos un nuevo estrato de similar composición al anterior, aunque en este caso la tierra adquiriría un color marrón más claro y estaba considerablemente menos compacta. También se apreció durante su limpieza que la presencia de piedras era algo menor, pero de mayor tamaño. Este nuevo estrato, **UE 569**, se extendía también por toda la superficie del ambiente, apoyando claramente en las caras interiores de los paramentos que lo delimitan.

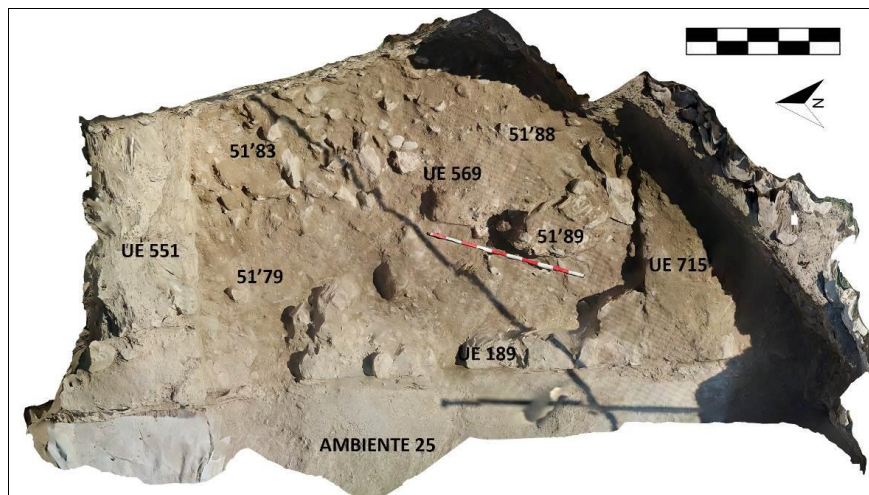


Fig. 12. Ortoimagen-planta de estrato de la UE 569 en su estado final de excavación

Para poder avanzar en los ambientes situados inmediatamente al norte y ante la imposibilidad de poder definir este ambiente en su extremo este por tener demasiado cerca el perfil que nos separa del bancal colindante, dejamos la excavación en este punto. En cualquier caso, el objetivo que habíamos planteado inicialmente para la excavación del Ambiente 36 quedaban solucionadas:

- El muro que delimita el Ambiente 36 por su lado sur no es la prolongación del muro **UUEE 3211-3213**, sino que la cara norte de éste coincide con la cara sur del muro **UE 715**. La ausencia de una unión entre el cierre del Ambiente 36 y el 25 por el sur nos lleva a pensar que el complejo termal no finalizaba en su zona meridional con estos dos ambientes. Resulta por tanto perfectamente plausible que el complejo termal se extendiese al sur a través de otros espacios todavía sin descubrir.
- Queda pendiente la excavación de la **UE 569** y verificar si dentro del Ambiente 36 conservamos niveles de uso correspondientes al momento de vida del complejo termal, o incluso anteriores.

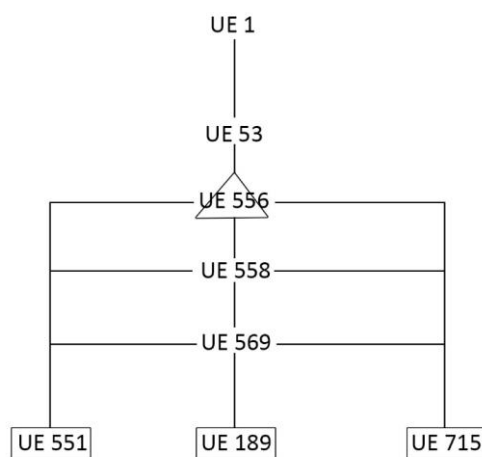


Fig. 13. Diagrama estratigráfico de la excavación realizada en la campaña 2019 sobre el Ambiente 36

3.6. Ambiente 30

El Ambiente 30 quedó definido durante la campaña de excavación de 2018, tras el hallazgo de un umbral en el lado norte del Ambiente 25 que comunicaba con este espacio. En esa campaña se decidió realizar un sondeo, verificándose la existencia de un espacio asociado al conjunto termal entre el lado oriental del Ambiente 28 y el límite este del yacimiento, donde se encuentra la valla de separación entre el espacio arqueológico y la siguiente parcela.

Aunque el Ambiente 30 quedó inicialmente definido por el muro **UE 89** (paramento este del Ambiente 28) y el umbral que comunicaban este espacio con el Ambiente 25 quedaba todavía por dilucidar de qué forma quedaba acotado por su lado norte.

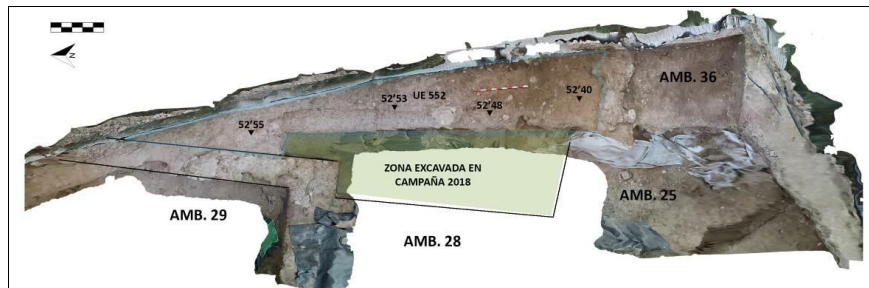


Fig. 14. Ortoimagen-planta de estrato de la UE 552, así como ubicación de los distintos ambientes que rodean al Ambiente 30; indicación de la zona excavada en la Campaña 2018 dentro del Ambiente 30

De este modo, tras la excavación de las unidades estratigráficas que cubrían a esta zona (UUEE 1, 552 y 553) correspondientes al uso y amortización de la canalización de riego del s. XIX nos encontramos un nuevo estrato que cubría todo el espacio que comprendía el Ambiente 30. Tras la eliminación de las UE 552 y UE 553 observamos la aparición de un nuevo nivel de tendencia horizontal, UE 557, compuesto por tierra marrón claro, sin apreciarse la presencia de piedras. A falta de un análisis de los materiales arqueológicos recuperados, podríamos estar ante el nivel previo a la construcción del sistema de canalizaciones de riego documentado en la secuencia estratigráfica superior. En cualquier caso, su delimitación permitió ver con mayor claridad el muro que delimita el Ambiente 30 en su lado sur, que lo separara del Ambiente 36.



Fig. 15. Ortoimagen-planta de estrato de la UE 557, con indicación de la zona excavada en el Ambiente 30 durante la Campaña 2018

El desmonte de la valla de torsión que delimitaba el yacimiento en este extremo permitió de forma colateral poder limpiar con mayor facilidad el corte que ya se abrió en anteriores campañas, dejando a la vista también la estratigrafía que colmataba el uso del ambiente.



Fig. 16. Vista desde el norte de la zona de excavación tras el desmontaje de la valla



Fig. 17. Vista desde el sur de la zona de excavación tras el desmontaje de la valla

Es interesante recordar que, en campañas anteriores, además de constatar la existencia de un paramento y umbral en el lado sur del Ambiente, también se pudieron

documentar varios fragmentos de pavimentos y de una media caña hidráulica asociada al mismo. Ya se pudo apreciar en su momento que existía una gran rotura del pavimento documentado en su zona central, sin haber podido identificar su origen.

En la presente campaña, gracias a disponer de más espacio para la excavación del Ambiente 30 pudimos determinar no solo el colapso de esta zona, sino la razón de la destrucción de los niveles de uso termales.

Gracias a la retirada de la valla pudimos realizar un desplazar el perfil cerca de 0'5 m hacia el este. Esta nueva zona fue incorporada al yacimiento con su estratigrafía intacta, por lo que hubo que acometer su excavación desde el nivel más superficial **-UE 1-** hasta alcanzar las últimas capas documentadas en 2018, sin que en este proceso percibiesen variaciones en la superposición de los estratos.

Una vez alcanzamos la **UE 557** se procedió a dejarla visible en todo el corte. Comprobamos que este nivel, registrado en la campaña de 2018 en el extremo oeste del ambiente, cubría tanto al pavimento **UE 582** en su extremo norte hacía lo propio con el resto de estructuras documentadas con anterioridad. Aunque en anteriores campañas no se pudo definir con claridad el límite del Ambiente 30 en su lado norte sí que se observó la presencia de un pavimento, **UE 583**, similar al documentado en la zona sur. Contaba con una media caña hidráulica, **UUEE 573-574**, pero no se pudo determinar la existencia de un muro. Con la limpieza antes comentada pudo comprobarse que, efectivamente, había un muro en este extremo, **UE 571**, con una orientación este-oeste, paralelo al muro **UE 570**.

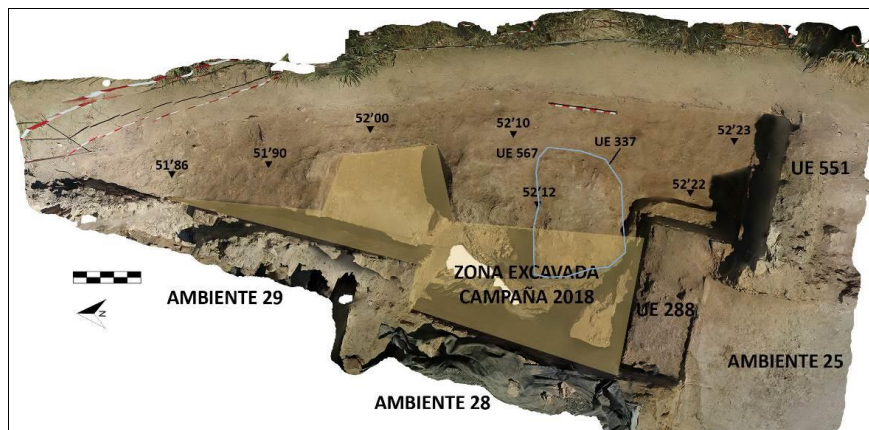


Fig. 18. Ortoimagen-planta de estrato de la UE 567 (UE 319 en la Campaña 2018 e igual a la UE 566), con indicación de la estructura UE 337 y de la zona excavada en la campaña anterior

Una vez excavada la **UE 557** localizamos un nuevo estrato que se extendía por todo el Ambiente 30, **UE 567** (se iguala a la **UE 566**), de color marrón anaranjado, con algún carbón y escasas piedras. Además, en la zona más cercana al extremo meridional de la estancia pudimos observar la presencia de fragmentos de enlucidos que muy probablemente provendrían del paramento **UE 551**. Hay que subrayar que, durante la excavación del estrato anterior, detectamos una estructura en el extremo sur del ambiente: un banco adosado a la cara norte del muro **UE 551**. Esta nueva estructura tiene una anchura de 50 cm y presenta una superficie plana, lo que llevó a interpretarlo como un banco corrido dispuesto en sentido este-oeste. Tal como ya hemos comentado, en la campaña anterior se detectó una estructura en la zona central de la habitación, **UE 337**, que no pudo definirse adecuadamente y cuya relación con las estructuras termales estaba por aclarar. **UE 567** cubría claramente dicha estructura, por lo que aún nos encontramos en niveles posteriores a la destrucción y abandono del espacio termal. Dicho estrato es igual a uno ya excavado en 2018, registrado como **UE 319**. La **UE 567-319**, cubría todo el espacio hasta llegar al límite que marcaba el perfil del yacimiento por el este, mientras que hacia el oeste alcanzaba el muro oriental, **UE 358**, del Ambiente

29.

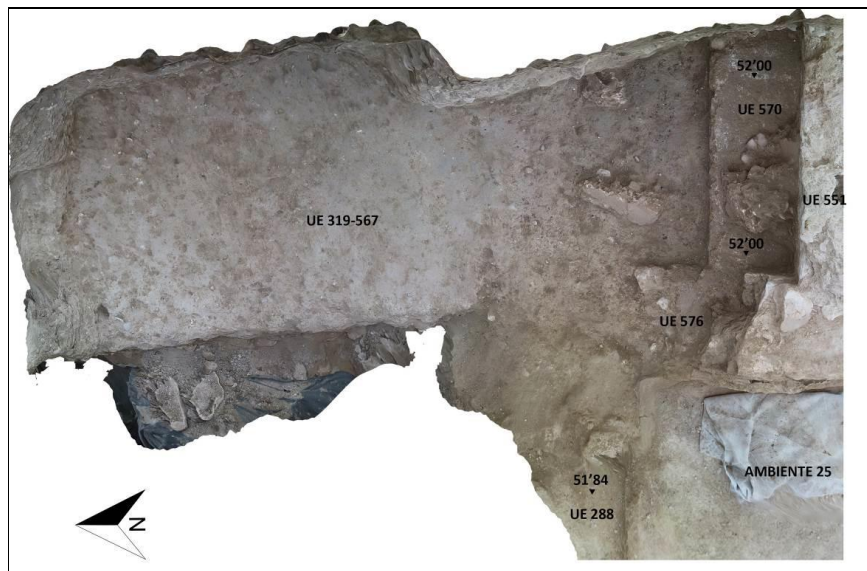


Fig. 19. Ortoimagen del proceso de excavación de la UUEE 567-319 donde puede apreciarse la aparición en la zona sur del Ambiente 30 fragmentos en revestimiento parietal y el banco UE570 junto al muro UE 551.

Podría corresponder al último de los niveles de amortización de esta zona del complejo termal, puesto que anulaba de una forma clara no solo las estructuras termales, sino también los elementos que las obliteraban, como la estructura **UE 337**. Tras un estudio preliminar de los materiales aparecidos durante la excavación de esta unidad estratigráfica podemos asignarle una cronología del s. IX-X d.C. (LA'19-7F-566-57, 58 y 59).

Con la excavación de la **UUEE 567-319** la situación estratigráfica cambiaba considerablemente, ofreciéndonos una nueva relación de estratos en función de la estructura **UE 337**.

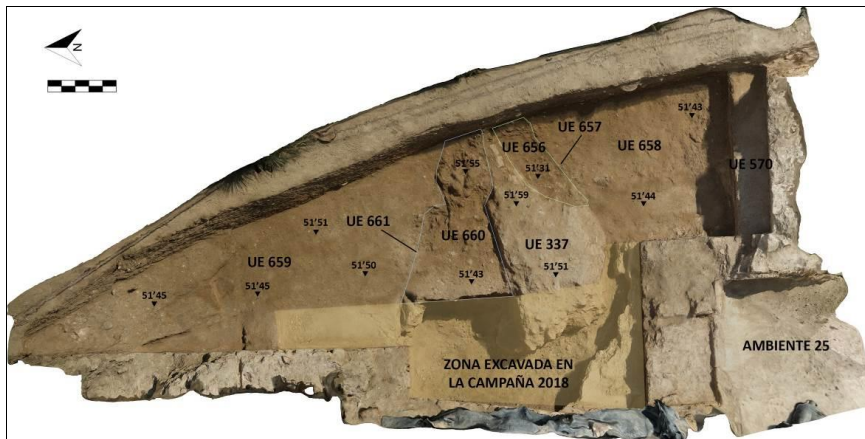


Fig. 20. Ortoimagen-planta de estrato del Ambiente 30 con las UUEE 659-658 con las fosas o zanjas UUEE 661-657 relacionadas con la estructura UE 337; indicada la zona de excavación durante la Campaña 2018.

Llegados a este punto el siguiente paso fue poner en relación las estructuras ya exhumadas en la campaña 2018 con la nueva estratigrafía recién obtenida. En la zona meridional, inmediatamente al norte del umbral que comunica el Ambiente 25 con el 30, ya se conocía la existencia de un pavimento de *opus signinum* -UE 583- Presentaba una rotura en su lado norte en sentido diagonal desde el muro oriental del Ambiente 28 hasta la esquina del muro UE 551 y muro UE 570. Allí fue hallada una nueva estructura tipo canal que discurriría hacia el este, siempre de forma paralela al banco UE 581. Esta nueva estructura aparece colmatada por un estrato, UE 584, compuesto por tierra marrón claro, con nódulos de cal y fragmentos de enlucido provenientes del deterioro tanto del muro UE 551 como del banco UE 580.

Con la limpieza de la zona norte pudimos sacar a la vista toda la superficie conservada el pavimento UE 583. Contaba con una media caña hidráulica en la zona de contacto con el muro oriental del Ambiente 28 y con el muro UE 571. Al igual que sucedía con el fragmento de pavimento conservado al sur del Ambiente, también presentaba una rotura en su extremo septentrional. La línea de fractura marcaba una orientación este-oeste, observándose por tanto en la zona central del ambiente la estructura UE 337.

Tanto por el aspecto de los pavimentos **UE 583** y **UE 582** como por sus cotas consideramos que estamos antes el mismo nivel de piso.

Procedemos finalmente a la descripción de la estratigrafía en los extremos norte, sur y este del ambiente correspondiente a la presente campaña, tras la remoción de **UUEE 567-319**. Bajo este paquete localizamos:

- **UE 659**, un estrato de tierra marrón claro, con alguna piedra y canto rodado de pequeño tamaño y algún fragmento de cal, lo que le confiere el color claro. Cubre directamente al pavimento **UE 583** y al muro **UE 571**. Está recortado en su extremo sur por la fosa **UE 661**.
- **UE 658**, un estrato de similar morfología y composición que la **UE 659**, apreciándose mayor cantidad de cal y mortero en su extremo sur -más concretamente, en la zona de contacto con el banco **UE 570**-. Cubre al canal que discurre de forma paralela al banco **UE 570**. En su extremo norte aparece recortado por la fosa **UE 657**.
- **UE 660**, estrato de tierra marrón claro, con alguna piedra de mediano y pequeño tamaño, textura granulosa y poco compactada. Rellena a la fosa **UE 661**, apoyándose por tanto en su perfil norte y en la cara sur de la estructura **UE 337**.
- **UE 656**, estrato de tierra marrón claro, con alguna piedra de mediano y pequeño tamaño y textura similar a la **UE 661**. Se apoya en el perfil norte de la fosa **UE 657** y en la cara sur de la estructura **UE 337**.
- **UE 661**, interfaz que separa la **UE 660** de la **UE 659**. Recorta al pavimento **UE 583**.
- **UE 657**, interfaz que separa la **UE 656** de la **UE 658**. Provoca la rotura del pavimento **UE 582**.

Una vez presentadas las distintas UUEE registradas tras la excavación de **UUEE 567-319** pasamos a describir tanto su relación como interpretación.

A la vista de sus morfologías y cota superior podemos decir que **UE 659** y **UE 658** son el mismo estrato, solo que recortado por las fosas **UUEE 661** y **657**. De este modo se genera un espacio en la zona central del ambiente relleno por la **UE 660** en el norte y por la **UE 656** en el sur, donde ambos paquetes cubren a la estructura **UE 337**.

La capa **UUEE 658-659** cubre el pavimento **UUEE 582-583**, lo que nos lleva a interpretarla como un nivel de abandono del Ambiente 30. Dado que dicho nivel está cortado -al igual que los pavimentos- por las fosas **UUEE 661-657** resulta evidente que la aparición de la estructura **UE 337** es posterior a la amortización de la estancia termal. Tras esta alteración del nivel de amortización **UUEE 658-659** el ambiente quedó nuevamente amortizado, esta vez por **UUEE 567-319**.

Proseguimos nuestra actividad con la excavación de los rellenos **UUEE 660-656** que rellenaban las fosas **UUEE 661-657**. Durante este proceso observamos que el relleno meridional cubría parcialmente el nivel de pavimento **UE 582**, estrechándose así la zanja **UE 657** hasta adquirir prácticamente la forma que tiene el contorno de la estructura **UE 337** en su cara sur. Por tanto, en la zona sur del Ambiente 30, tras la excavación de la **UE 656** quedaría a la vista el nivel de amortización **UE 658**, coincidiendo su límite norte con el propio perfil de la estructura **UE 337**.

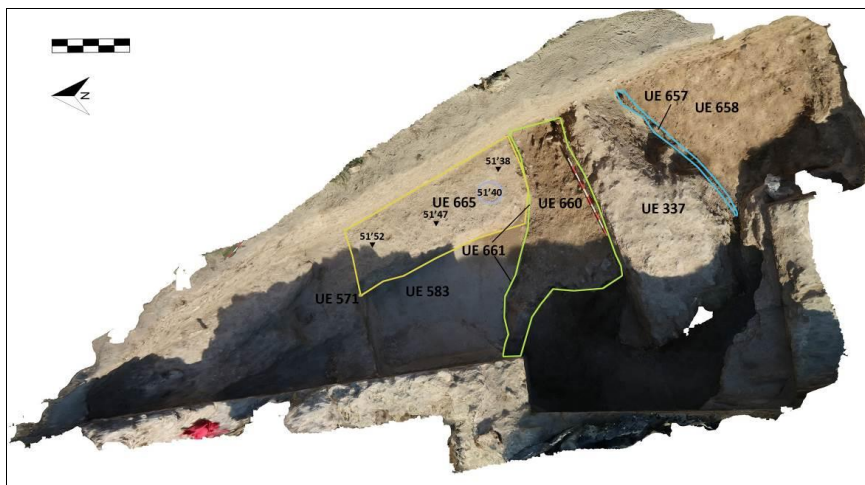


Fig. 21. Ortoimagen-planta de estrato donde podemos ver la UE 665 y de nuevo las fosas UUEE 661-658, y la UE 658 en proceso de excavación

Por el contrario, en el caso de la zanja **UE 661** se procedió a la excavación del relleno **UE 660** hasta el nivel que indicaba la cota superior del pavimento **UE 583**. Aunque en este punto el relleno **UE 660** se volvía de una tonalidad más oscura consideramos que se trataba del mismo estrato, ligeramente teñido por un nivel más elevado de humedad. Bajo la **UE 659** localizamos un nuevo nivel de amortización, **UE 665**, compuesto por tierra

marrón oscuro, de aspecto arcilloso, compacto y sin apreciarse piedras o cantos rodados. Esta nueva unidad estratigráfica ya no cubría el paramento **UE 571** sino que apoyaba en su cara sur, mientras que en su extremo meridional se interrumpía por la acción de la fosa **UE 661**.

Durante la limpieza de la **UE 665** pudimos observar que en su zona sur se apreciaba un recorte o fosa de pequeño tamaño y de tendencia circular de aproximadamente 15 cm de diámetro, **UE 666**, rellena a su vez por un estrato, **UE 667**, de tierra marrón claro, no muy compacta y con algún fragmento de carbón.

Tras observar el aspecto de la **UE 665** y viendo cómo su cota superior coincidía con la del muro **UE 571** no habría que descartar que estemos ante un nivel de frecuentación de esta zona en momentos posteriores al abandono de las estancias termales. La coincidencia de ambos niveles hace pensar en la creación de un nivel uniforme de paso como mínimo desde la fractura de la **UE 665** por la fosa **UE 661** hasta el límite septentrional con el Ambiente 29. La aparición de la fosa **UUEE 666-667** viene a reforzar esta propuesta: podría corresponder a un agujero para la sujeción de poste, similar a los documentados en el Ambiente 25.

Si consideramos la cota superior de la **UE 665** como un nivel de frecuentación, la instalación de la estructura **UE 337** tuvo lugar en momentos contemporáneos o posteriores al uso de esta zona, en todo caso claramente posteriores al abandono de las estancias termales.

Retomamos la excavación con la retirada de la **UE 658**, que cubría directamente al pavimento **UE 582**. En la zona en la que contacta con el banco **UE 570** localizamos dos estratos:

- **UE 673**, capa de tierra marrón muy oscuro, tendente al negro, de aspecto muy arcilloso y sin material arqueológico. El estrato se ubicaba en la esquina sureste del ambiente, en contacto con el banco **UE 570**, con apenas unos 10 cm de potencia.
- **UE 674**, estrato de tierra marrón claro, con abundantes nódulos de cal y enlucido, procedentes del recubrimiento tanto del banco **UE 570** como del muro

44

Una vez se produjo la remoción de estos dos estratos salió a la luz el tramo de pavimento conservado en este extremo del ambiente. Llegados a este punto únicamente quedaba por excavar de la fase de amortización del ambiente 30, la **UE 584**, estrato que colmata la canalización que discurre de forma paralela al banco **UE 570**. Estamos ante un estrato de tierra marrón oscuro, compacta, y con abundantes fragmentos de mortero de cal a causa de la degradación de los enlucidos del banco y del muro que delimitan el ambiente en este extremo. Tras su excavación quedó totalmente expuesto el conjunto de estructuras que cierra el Ambiente 30 en su extremo sur, compuesto por:

- **UE 551**, muro de mampostería irregular con mortero de cal, de 50 cm de anchura y con una orientación este-oeste. Su extremo oriental queda oculto más allá del perfil del yacimiento, lo que nos imposibilita por el momento determinar las dimensiones reales de la estancia. En su extremo oeste hace esquina con el muro **UE 576**, que en su lado occidental da lugar al umbral **UE 288**.
- **UE 570**, muro de mampostería irregular con mortero de cal y 40 cm de anchura. Presenta una superficie plana y una orientación este-oeste, similar al muro **UE 551**, con el que imbrica en su lado sur. La cara norte del muro aparece revestida por un enlucido color blanco.
- **UE 581**, estructura realizada en *opus signinum*, con sección que combina en su lado sur un bocel cóncavo y en su lado norte una media caña de superficie convexa, creándose por tanto en su lado meridional un canal que discurre de forma paralela al muro **UE 570**, en el que se apoya. Por el contrario, en su lado norte, la media caña une en una misma obra con el pavimento **UE 582**, determinando así que tanto la pavimentación como la canalización son contemporáneas.
- **UE 735**, revestimiento o enlucido realizado con mortero de cal cuya capa externa presenta un color blanquecino, cubriendo totalmente la cara norte del muro **UE 570**. Alcanza incluso su parte inferior, donde se adosa la estructura **UE 581**.
- **UE 731**, continuación de la estructura **UE 581** hacia el oeste, paralela a la cara este del muro **UE 576**. La construcción de ambas estructuras no es contemporánea, sino que la última se apoya en la primera según se observa en la media caña hidráulica de contacto con el pavimento **UE 582**, cubierta por **UE 731**.

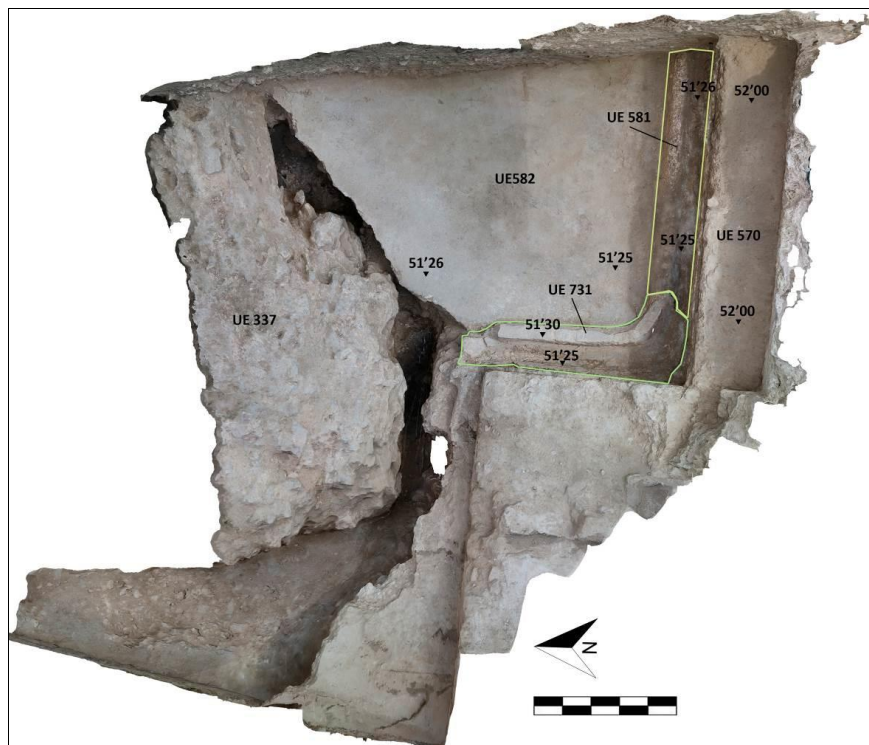


Fig. 23. Ortoimagen-planta de estrato con ubicación de las estructuras relacionadas con la fase termal donde se pueden observar las dos fases constructivas de la media caña UUEE 731-581

Se establece por tanto una estratigrafía que nos muestra, al menos, tres momentos constructivos dentro del Ambiente 30 en su extremo sur:

- 1er. momento constructivo, muros **UE 551** y **UE 576**.
- 2º momento constructivo, banco **UE 570** que se apoya en la cara norte del muro **UE 551** y en la cara este del muro **UE 576**, junto con el enlucido **UE 735**.
- 3er. momento constructivo, pavimento **UE 582** junto con la estructura **UE 581**.

Hay que señalar que en el extremo norte del Ambiente 30 no se apreció la complejidad constructiva que hemos podido registrar en su lado sur, observando la existencia de un único momento constructivo en relación con el pavimento **UE 583** y el muro **UE 571**.

Por una cuestión de logística dejamos para la parte final de la excavación del Ambiente 30 los niveles o estratos correspondientes a la colmatación de la fosa **UE 661**. De forma

previa habíamos excavado parcialmente la **UE 660**, haciendo coincidir su cota superior con la cota superior del pavimento **UE 583**. Una vez delimitado correctamente proseguimos con la excavación de la **UE 660** hasta llegar una nueva situación estratigráfica:

- **UE 680**, estrato de tierra marrón claro de aspecto arcilloso con piedras de gran tamaño. Se apoya contra la cara norte de la estructura **UE 337**, rellenando la fosa **UE 661**.
- **UE 681**, estrato de tierra amarillenta, compacta que se localiza en la zona oeste del ambiente, en contacto con la cara este del muro **UE 89**.
- **UE 682**, estrato de tierra marrón claro, con piedras de mediano y pequeño tamaño que conforma un conglomerado homogéneo.

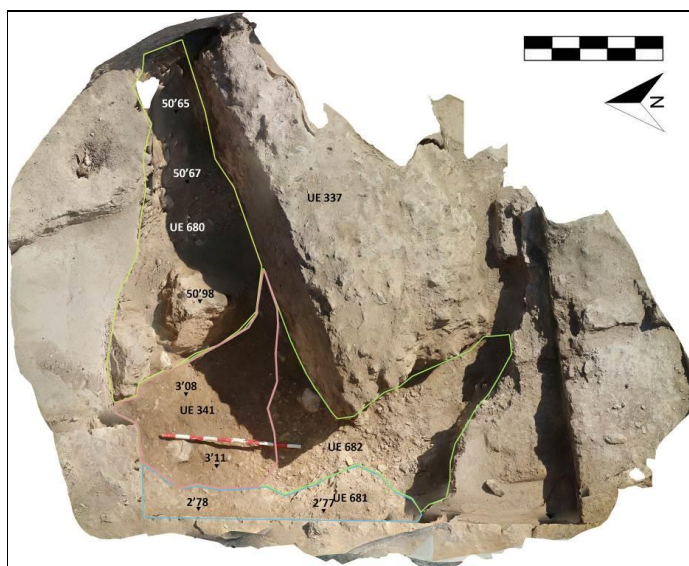


Fig. 24. Ortoimagen-planta de estrato con la UE 680, donde se aprecia que aún queda parte de la UE 341 cubriendo a las UUEE 681 y 682 en el extremo oeste



Fig. 25. Estado final de la excavación en el Ambiente 30

La situación estratigráfica descrita corresponde al momento en el que finalizamos la campaña 2019. Aunque es cierto que algunas de las relaciones entre estratos, debido a este motivo, no pudieron ser analizadas sí que alcanzamos un conocimiento suficiente como para discernir las más relevantes a la hora de entender la evolución de este espacio: **UE 680** corresponde al momento de colmatación de la fosa en la que se encuentra la estructura **UE 337**. Este estrato cubría a **UE 681** y a **UE 682**, que muy probablemente corresponden a los niveles de construcción del pavimento **UUEE 582-583**.

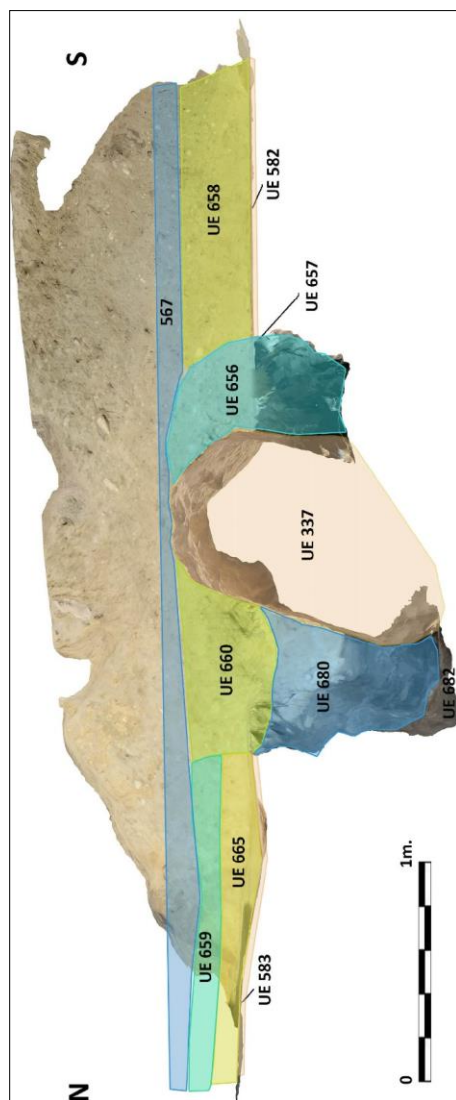


Fig. 26. Sección sobre ortoimagen de la zona central del Ambiente 30, donde se aprecian las fosas UUEE 661 y 657 junto a la estructura UE 337

A pesar de toda la información obtenida acerca del Ambiente 30 durante la presente campaña no se ha logrado esclarecer algunas cuestiones destacadas, como definir completamente la extensión y morfología de este espacio o aproximarnos al conocimiento acerca del uso que pudo tener la estructura **UE 337**. La resolución del primero pasa necesariamente por una nueva excavación que alcance a la parcela colindante al yacimiento, en la que se adentra parte de las estructuras del Ambiente 30.

Recapitulando, es evidente que podemos identificar el Ambiente 30 como una estancia asociada al uso termal. Dispone de una pavimentación de *opus signinum*, perfectamente adaptada a la humedad, así como medias cañas hidráulicas que permiten salvaguardar la cimentación de las estructuras de posibles filtraciones. Además, la existencia de un banco en la zona sur junto a la conducción para el agua que lo circunda incide en esta interpretación.

Hemos de destacar la existencia de, al menos, dos fases constructivas en esta sala. Una de ellas es previa a la construcción de la canalización y, por tanto, del propio pavimento en *opus signinum*. Así lo sugiere la existencia del enlucido que queda por detrás de la canalización. Sin embargo, esta relación estratigráfica podría explicarse como un hecho constructivo, de manera que estaríamos ante estructuras contemporáneas. No podemos afirmar lo mismo acerca de las canalizaciones **UUEE 581 y 734**, donde se documentaron claras evidencias de refacción.

El momento de abandono y amortización de este espacio termal está intrínsecamente ligado a la naturaleza de la estructura **UE 337**, uno de los principales problemas interpretativos de esta parte de la excavación. Está realizada con mampostería trabada con mortero de cal, que presenta una gran solidez. Desconocemos su morfología, dado que parte de la misma se pierde más allá del perfil este del yacimiento. No sabemos siquiera si se trata de una estructura construida *in situ* en el lugar en el que fue hallada o si, por el contrario, estamos ante un elemento constructivo desplomado.

De haber sido construido en su ubicación habría que considerar que las roturas **UUEE 661-657** en el pavimento **UUEE 583-582** corresponden a zanjas de cimentación para la construcción del elemento **UE 337**, algo que invalidaría el uso del Ambiente 30 como espacio termal y que por tanto correspondería a un uso posterior. Pero, del mismo

modo, la interfaz **UUEE 661-657** puede interpretarse como una rotura de la estructura termal derivada del desplome de **UE 337**. La posibilidad de hallar fragmentos del pavimento **UUEE 583-582** bajo la estructura **UE 337** sería especialmente revelador, ya que proporcionaría un indicio clave para su interpretación. Pero las grandes dimensiones de **UE 337** imposibilitaron esta opción. Por otro lado, en caso de que **UE 337** provenga del desplome de una estructura, nos resulta complicado entender cómo ha podido asentar su base a tal profundidad tras la rotura del pavimento. De haberse producido este tipo de situación no debería haber ningún tipo de relleno bajo el pavimento, salvo que fuese desplazado a ambos lados por la propia caída de **UE 337**. Lo cierto es que, *a priori*, no hay indicios que apunten a esta situación.

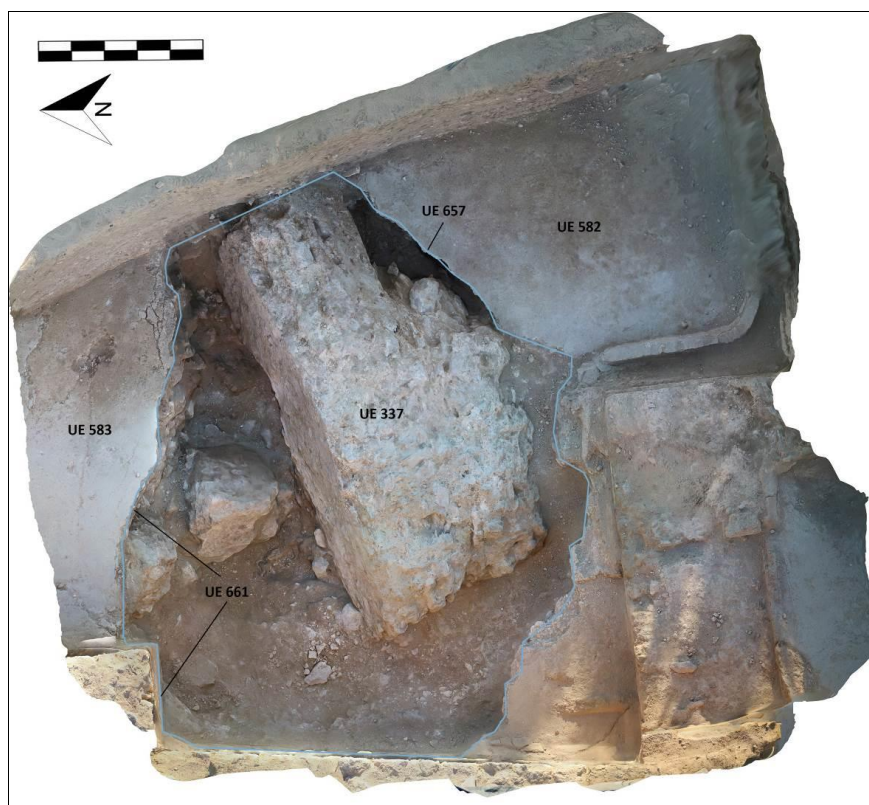
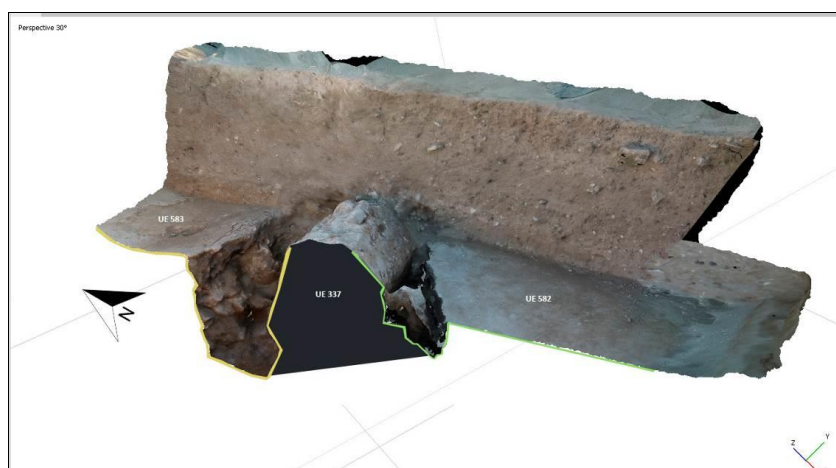
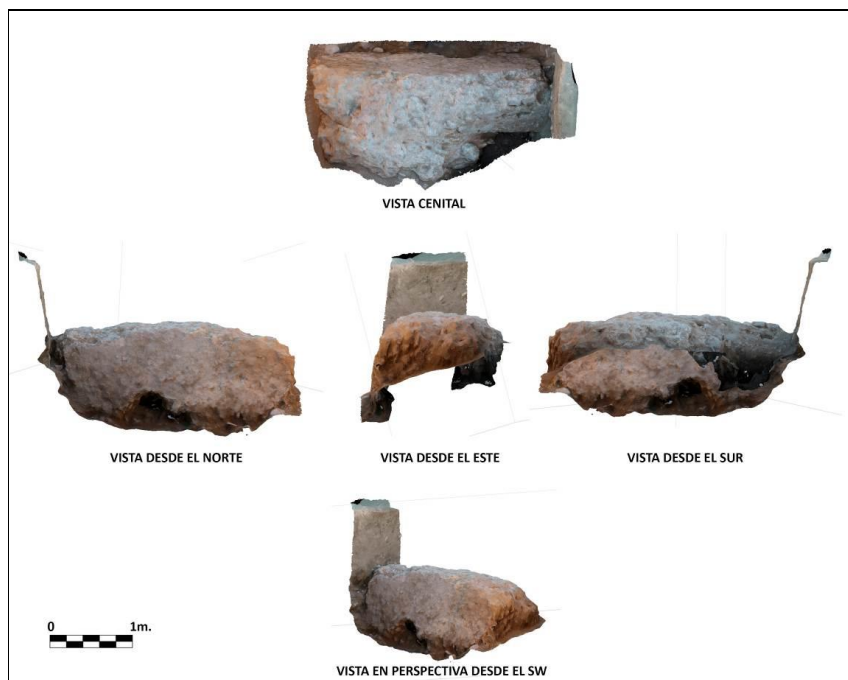


Fig. 27. Ortoimagen-planta de estrato de las fosas UUEE 657-661, donde se puede apreciar que en la zona este recorta a los niveles de pavimentación de las termas, y en el lado oeste coincide con el paramento este del Ambiente 28

Así, a falta de una retirada del elemento constructivo **UE 337**, por el momento nos parece más plausible que se trate de un elemento constructivo *in situ* cuya función y morfología desconocemos. Esperamos que futuras campañas puedan arrojar más luz sobre este particular.



Figs. 28. Distintas vistas de la estructura UE 337

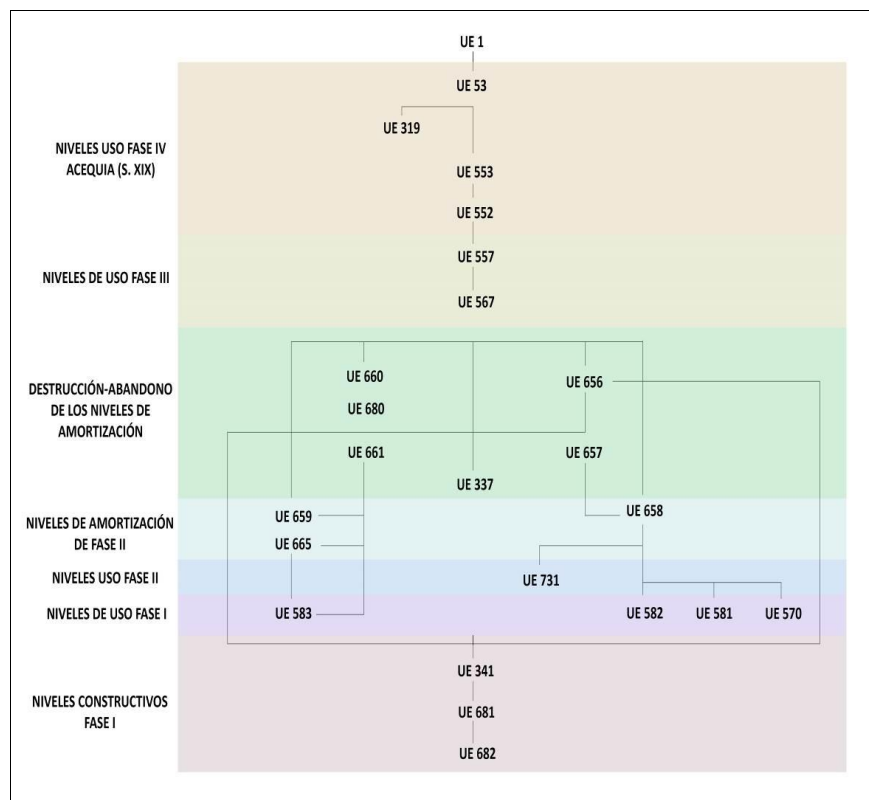


Fig. 29. Diagrama estratigráfico de la excavación del Ambiente 30 durante la Campaña 2019

3.7. Ambiente 38

Tal como ya hemos detallado con anterioridad, durante la campaña de 2018 se dejó a la vista parte del pavimento **UE 583** en el Ambiente 30, así como la media caña hidráulica que se adosaba al muro **UE 571**. Resultaba evidente, por tanto, que localizaríamos un nuevo espacio al norte de dicha estancia. Durante nuestra descripción del proceso de excavación del Ambiente 30 hemos detallado que la **UE 665** cubría al muro **UE 571**, extendiéndose más allá del mismo en dirección norte y generando un posible nivel de frecuentación en la zona oriental del sector.

Bajo la **UE 665**, tras sacar a la luz el trazado del muro **UE 571** quedaba definido un nuevo espacio que denominamos Ambiente 38. Su superficie quedaba condicionada por el perfil oriental del yacimiento, creándose un espacio de forma triangular, delimitado al norte por el muro **UE 571** y al oeste por el muro **358**, paramento oriental del Ambiente 29. Aunque por el momento nos resulta imposible determinar la forma y tamaño real de este nuevo ambiente decidimos llevar a cabo la excavación del espacio descrito con el fin de determinar su relación con las termas.

De este modo, bajo la **UE 665** localizamos un nuevo nivel, **UE 669**, un estrato de tierra marrón oscuro, donde se observaba la presencia de carbones y alguna piedra de mediano y pequeño tamaño. Resulta especialmente reseñable la existencia de fragmentos de adobe. Fue precisamente este hecho lo que nos llevó a pensar que podríamos estar ante la amortización de un nivel de uso. Tras el análisis de los materiales cerámicos recuperados hemos podido comprobar que no hay presencia de objetos de época tardoantigua. A falta de un estudio exhaustivo, estos materiales nos podrían situar en los niveles correspondiente al abandono de este ambiente termal. Adquiriría aún más sentido si lo ponemos en relación con el nivel superior, **UE 665**, que fue interpretado como un posible nivel de frecuentación tras el abandono de las termas.

A continuación, procedimos a excavar la **UE 669**, revelando una nueva situación estratigráfica. En la zona más cercana a la cara norte del muro **UE 571** apareció un nuevo estrato, **UE 683**, que apoyaba y cubría parcialmente la cara septentrional de muro. Este estrato, compuesto por una tierra marrón claro, blanquecina, muy compacta y de aspecto arcillosa, presentaba una forma curva en su extremo norte. Desafortunadamente, las dimensiones del corte no facilitaron delimitar completamente el estrato. Sí permitieron al menos comprobar cómo apoyaba claramente en la cara oriental del Ambiente 29, describiendo desde aquí un arco que se acaba introduciendo hacia el perfil este de la excavación. Cubriendo parcialmente la parte oriental del estrato descrito y ocupando todo el espacio septentrional del ambiente apareció otro estrato, **UE 684**, de color marrón algo más oscuro, con presencia de piedra de pequeño tamaño y de carbón en su superficie. La relación estratigráfica entre ambas capas nos llevó a determinar que la última debía ser un nivel de amortización o relleno.

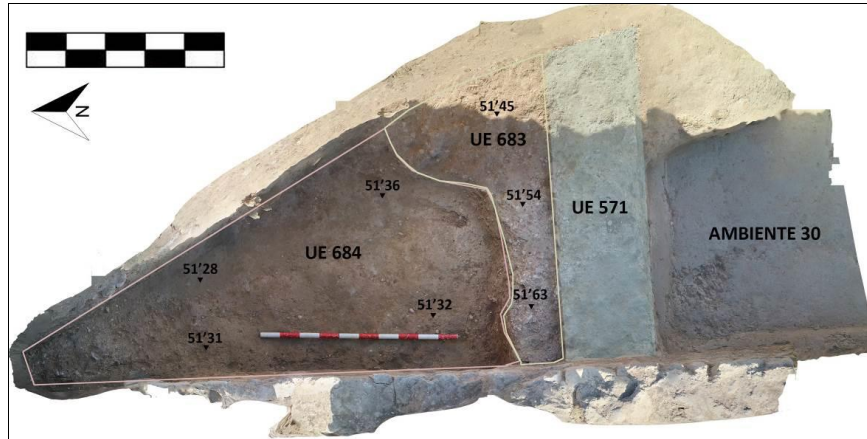


Fig. 30. Ortoimagen-planta de estrato con presencia de UE 683 y UE 684

Bajo la misma encontramos otro paquete, **UE 685**, un estrato de tierra gris, de aspecto ceniciento, con carbones y abundante material constructivo que se extiende por toda la superficie excavada al norte de **UE 683**. Dado que comparte fragmentos de materiales arqueológicos pertenecientes a las mismas piezas con las capas que se le superponen - **UUEE 669 y 684**- cabe pensar que, aunque se realizó una distinción estratigráfica en función de su morfología, los tres estratos se conformaron en un mismo momento.

La excavación de esta unidad dio lugar a la aparición de dos estratos más:

- **UE 691**, estrato de tierra compacta, de tonalidad anaranjada, aunque con manchas de adobes disgregados, carbones, cenizas y cal debido al contacto con el nivel que lo cubre, **UE 685**.
- **UE 692**, estrato compuesto por tierra marrón anaranjado, de aspecto arcilloso, ceniza, piedras de mediano tamaño y abundante material constructivo, concentrándose en la cara norte de la **UE 683**.

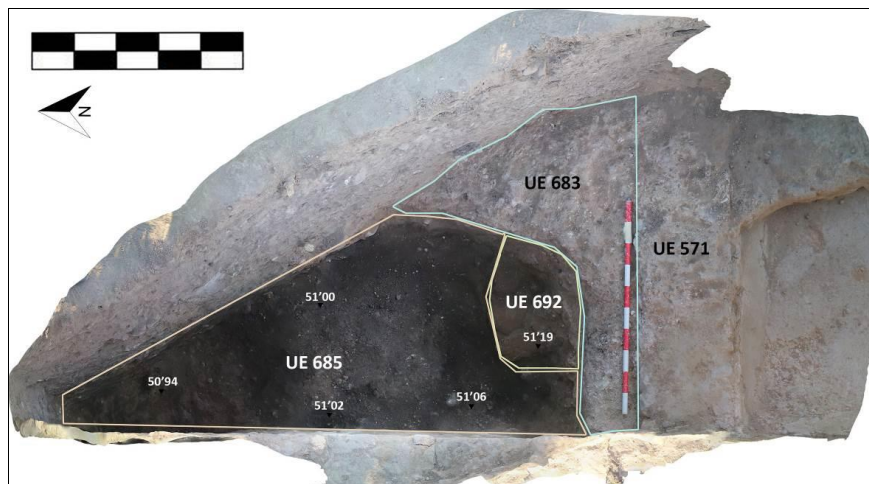


Fig. 31. Vista de la UE 685, y cota superior de la UE 692, que fue extendiéndose conforme se excavó la UE 685

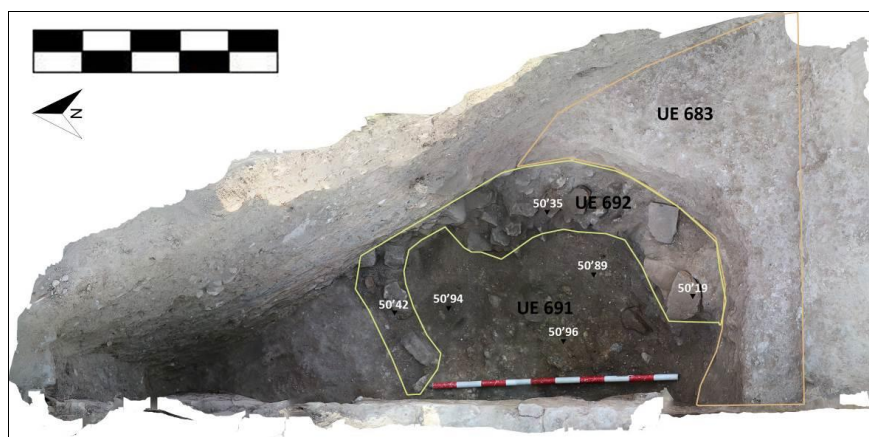


Fig. 32. Forma completa de la UE 692

La superposición de los estratos descritos constituye un relleno del espacio comprendido entre la cara norte de la **UE 683**, la cara este del muro **UE 358** del Ambiente 29 y el perfil oriental del corte. La existencia de este espacio nos lleva a pensar que muy probablemente nos encontremos en una zona donde se han llevado a cabo actividades que implican una combustión continuada: además de la presencia de residuos de carbón

y ceniza, la **UE 692** da muestras de rubefacción en esa zona como consecuencia de haber soportado altas temperaturas.

En coincidencia con la ubicación de estos niveles, en la cara oeste del muro **UE 358** del Ambiente 29 se localizó una posible abertura, cegada con posterioridad. Fue interpretada como una entrada de calor asociada a una de las fases de funcionamiento del hipocausto del Ambiente 29. Este hallazgo viene a reforzar la propuesta de la zona de combustión.



Fig. 33. Ortoimagen-planta de estrato de la interfaz UE 694, que hemos identificado con restos de un posible horno que alimentaría el Ambiente ubicado al oeste

A continuación, procedimos a excavar la **UE 683** que, aunque en su cota superior ofrecía un aspecto blanquecino, a lo largo de la interfaz de contacto -**UE 694**- con la **UE 685** adquiría un aspecto más oscuro. Su remoción expuso una nueva situación estratigráfica. La **UE 683**, en su extremo sur, cubría tanto a la cara norte del muro **UE 571** como a una nueva estructura. Nos referimos a **UE 700**, un paramento de 40 cm de anchura realizado con mampuestos y mortero de cal que se adosada a la cara septentrional del muro sur del ambiente. Además, su cara superior aparece totalmente plana, a modo de banco o escalón. Desde la cara norte de esta nueva estructura hacia la parte septentrional del corte se extendía un nuevo estrato, **UE 702**, de tierra marrón anaranjado, con alguna piedra o canto rodado de pequeño tamaño y no muy compacta.

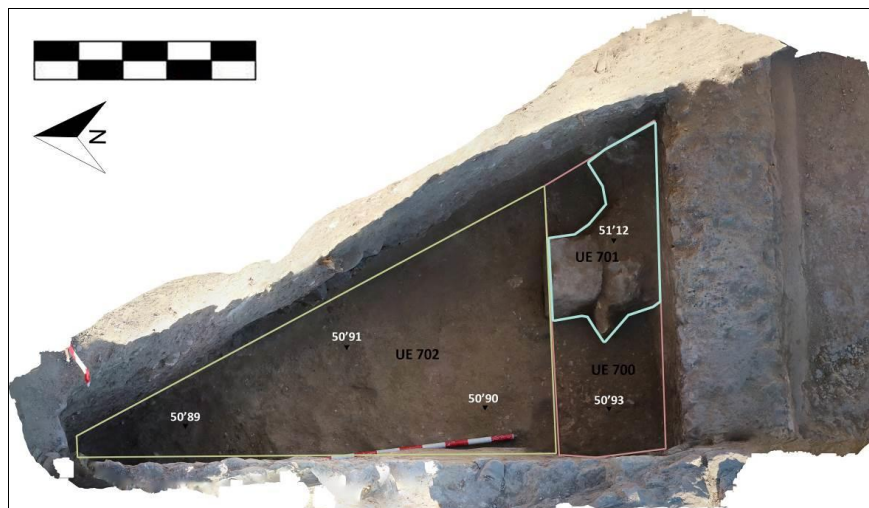


Fig. 34. Aparición de la nueva estructura, banco, UE 700, junto al nivel de amortización, UE 702, existente entre el posible horno y el pavimento bajo esta unidad

Bajo este nuevo estrato, que cubría todo el espacio del Ambiente 38 desde la cara norte de la estructura **UE 700**, localizamos varios estratos que ocupaban toda la superficie visible una cota superior coincidente, creando así una superficie horizontal:

- **UE 711**, ubicada en el extremo sur del ambiente, realizado con mortero de cal y cerámica triturada confiriéndole a la superficie un color marrón anaranjado. De consistencia sólida y presentando una superficie horizontal.
- **UE 712**, situada inmediatamente al norte de la **UE 711**. Compuesto por mortero de cal y, aunque también se apreciaba cerámica triturada, su superficie ofrecía un color más blanquecino. Su consistencia era muy compacta y ofrecía un nivel horizontal a la misma cota que el estrato anterior.
- **UE 713**, losa de piedra de tendencia rectangular con orientación este-oeste (los lados cortos se orientan hacia estos extremos), quedando envuelta por la **UE 712** y la **UE 714**, presentando una cota superior similar a las unidades estratigráficas anteriormente descritas.
- **UE 714**, estrato de tierra marrón anaranjada y compacta, observándose en su superficie carbones, nódulos de cal y lo que podrían ser fragmentos de adobe. Su cota superior coincide con la de los estratos anteriormente enumerados.

La campaña 2019 concluyó al alcanzar estos niveles, debido en parte a los problemas logísticos que planteaba la remoción de **UE 714**.

Podemos concluir que nos encontramos ante un nivel de uso o pavimento correspondiente a este espacio de las termas, que en el extremo sur se cerraba con el muro **UE 571** y el banco corrido **UE 700**. Contemporáneo al uso de estas estructuras encontramos los niveles de pavimentación **UUEE 711, 712 y 713**.

Quedaría pendiente por resolver si la losa de piedra **UE 713** corresponde al propio nivel de paso del ambiente o estamos en realidad antes un primer peldaño que daría acceso a un nuevo espacio más al norte, colmatado por la **UE 714**.

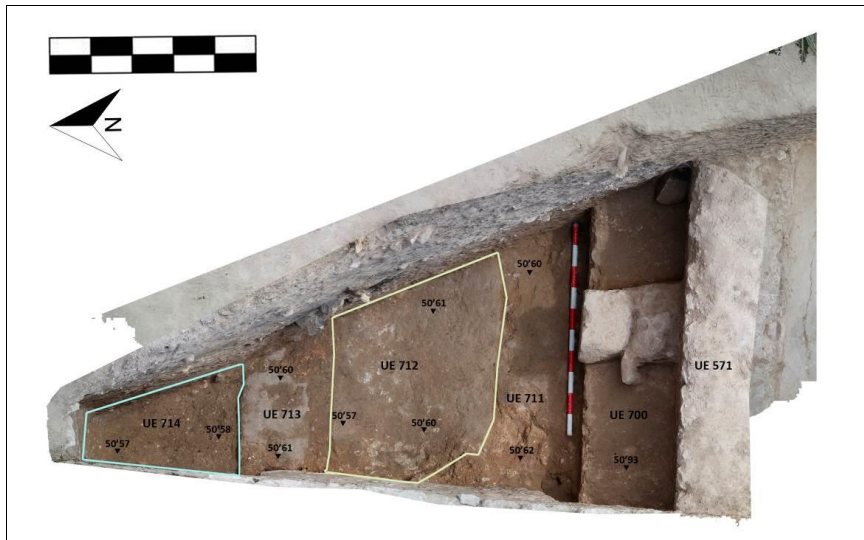


Fig. 35. Ortoimagen con vista general del Ambiente 38 al finalizar la excavación en la Campaña 2019

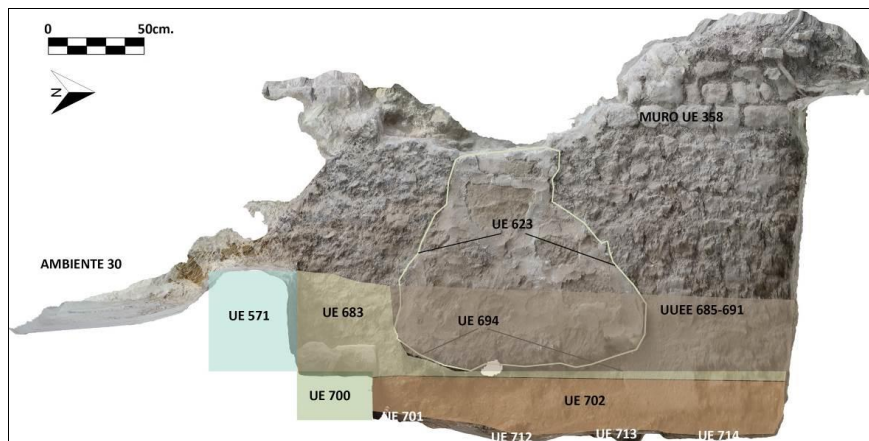


Fig. 36. Sección N-S del Amb. 38, donde se puede observar como la Interfaz UE 694 (correspondiente con el uso del posible horno) coincide con la cota inferior de la interfaz UE 623, correspondiente al cegado de la oquedad que comunicaría el Amb. 38 con el Amb. 29

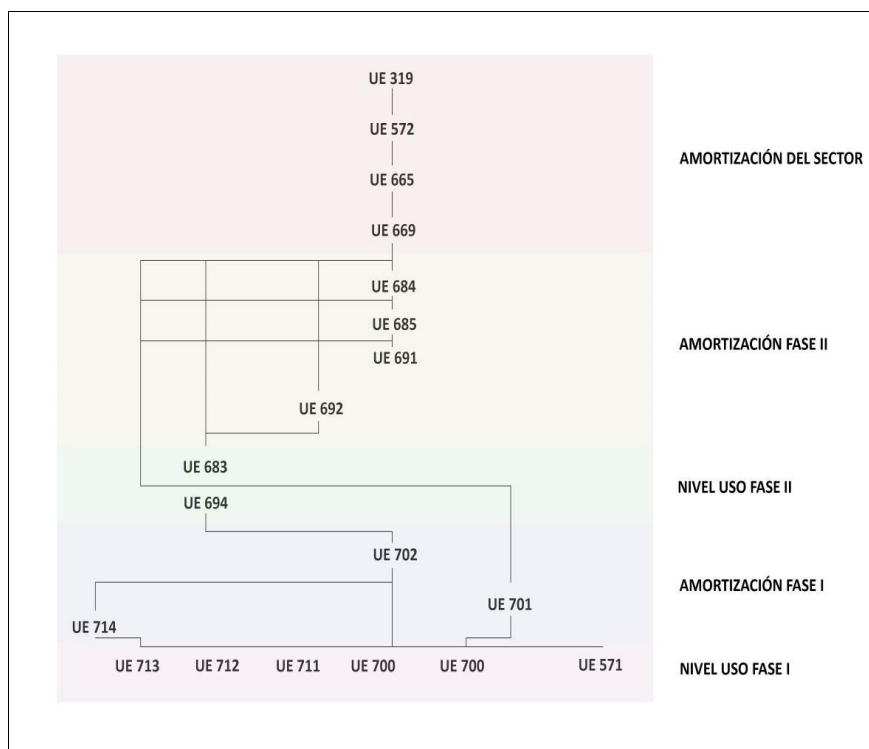


Fig. 37. Diagrama estratigráfico del Ambiente 38 durante la Campaña 2019

3.8. Ambiente 5

Tras la excavación que se realizó en este ambiente durante 2018 se realizó una cubrición provisional del espacio, procediendo en la presente campaña a su retirada. A continuación, se efectuó una limpieza superficial y se retomaron unas cuestiones que ya habían surgido en la campaña precedente y que habían quedado aplazadas:

- la preservación de las fases anteriores descubiertas, que ofrecían una visión inédita de la superposición de estructuras dentro del conjunto termal.
- la conservación de los revestimientos parietales del ambiente, elemento clave que muestra la sucesión de fases de ocupación y uso de las termas.

Con la limpieza del perfil oeste del Ambiente 5, en la línea que divide el Ambiente 5 del 4, detectamos un nuevo muro. Este paramento, orientado en sentido norte-sur, fue visto inicialmente como la continuación del muro **GU 3009**, es decir, de la barandilla auxiliar a las escaleras de acceso, **GU 3010**, a la estancia. Esta hipótesis inicial fue desechada al comprobar que el pavimento **GU 303** es construido separando ambos muros. Es decir, la cota inferior del pavimento **GU 303** coincide con la cota superior del nuevo muro **UE 732**, mientras que la cota superior del pavimento coincide con la inferior del muro **GU 3009**.

Además, analizando el alzado del nuevo paramento pudimos observar un rebaje del muro en su extremo norte, creándose un plano horizontal por debajo de la cota superior conservada del muro. Esta interfaz, **UE 734**, podría corresponder con la huella de un umbral que comunicase el Ambiente 4 con el 5 en el momento de funcionamiento del muro **UE 732** como tabique separador. El espacio creado por esta interfaz queda relleno por la **UE 733**, un estrato de tierra marrón grisácea con algún canto rodado y carbón.

Este hallazgo vendría a ratificar una propuesta interpretativa elevada en campañas anteriores: el Ambiente 5 estuvo separado físicamente del Ambiente 4 en alguna de las fases de uso de las termas.

Queda pendiente para futuras intervenciones ver en detalle y de forma exenta el muro **GE 3009** y su relación con otras estructuras del Ambiente 5, como por ejemplo el muro

GU 3087, al norte. También sería interesante excavar el nivel de pavimentación **GU 303** en su lado oeste y comprobar si existen niveles previos a este nivel en el Ambiente 4, así como la relación de éstos con el muro mencionado.

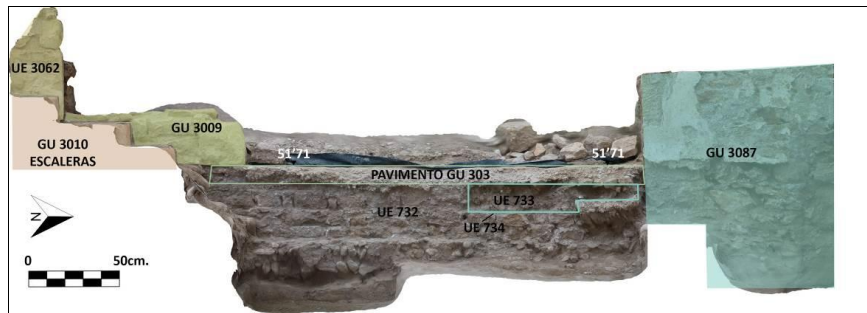


Fig. 38. Alzado del paramento UE 732, así como su relación con las distintas estructuras existentes en el Ambiente 4-5

Dentro de los trabajos de limpieza y consolidación se actuó en el espacio existente entre el muro **UE 3081-3085** y el muro **GU 3090**, más concretamente en su extremo sur. En esta zona se realizó una excavación en el marco de las campañas arqueológicas 2000-2002 llevadas a cabo por otro equipo. En ellas quedó a la vista parte del alzado este del muro **GU 3081-30885**, pero carecemos de la información estratigráfica asociada a estos trabajos.

Observamos que, bajo el zócalo del muro **UE 3083** aparece un nuevo paramento, **UE 208**, que inicialmente se identificó como la cimentación del anterior. Tras la limpieza localizamos una situación estratigráfica que nos aportaría gran información sobre la propia construcción y cronología de este último muro. Por un lado, encontramos un estrato, **UE 695**, de tierra color amarillento, de aspecto arenoso y algo compacta que se encuentra cortada por una fosa, **UE 696**, en dirección norte-sur, paralela al muro en toda la longitud visible. Inmediatamente al oeste de dicha fosa localizamos otro estrato, **UE 697**, de tierra marrón oscuro, tendente al negro, con abundantes carbones y alguna piedra o canto rodado de pequeño tamaño.

Interpretamos este último estrato descrito como el relleno de la zanja-fosa **UE 696**, que además apoya en la cara este del muro interior. Este hecho nos llevó a interpretar **UE 697** como el relleno de la fosa de cimentación de la estructura. Así, su excavación, nos

ha aportado material arqueológico todavía en fase de estudio que nos aportará valiosa información sobre la construcción del muro **UE 208**.

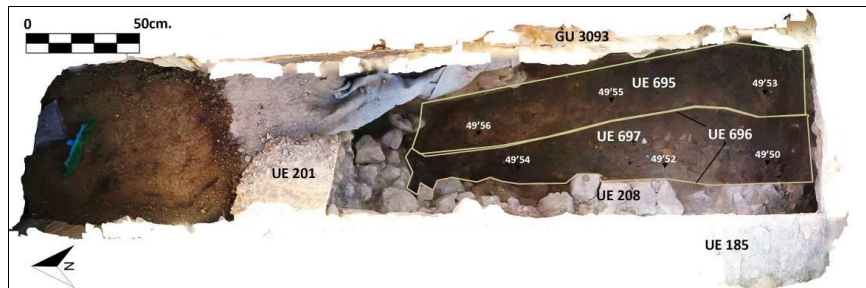


Fig. 39. Ortoimagen-planta de estrato donde podemos observar la presencia de la zanja de cimentación del muro UE 208

Una vez excavada la **UE 697** se procedió a la excavación de la **UE 695**, dejando a la vista un nuevo estrato, **UE 705**, que ocupaba toda la superficie. Este nuevo estrato parece estar compuesto por fragmentos de adobe, tierra marrón oscuro y carbones. Lamentablemente por razones logísticas no se pudo proseguir la excavación, al encontrarnos en un espacio excesivamente angosto que imposibilitaba la movilidad.



Fig. 40. Vista del estado final del sondeo, con la cota superior de la UE 705

3.9. Eje central del sector oriental

La actividad arqueológica desarrollada durante las campañas precedentes -2017 y 2018- en el Sector oriental de este yacimiento permitió documentar un nuevo circuito termal del que no había constancia alguna hasta la fecha. Algunos de sus Ambientes se excavaron completamente -Ambiente 28- o en su práctica totalidad -Ambiente 25-, mientras que otras estancias -29, 30 y 31- únicamente pudieron ser intervenidas parcialmente. Esta situación se produjo tanto por el límite temporal de las campañas como por un condicionante de tipo logístico: el extremo E de las mismas se perdía más allá del límite de la parcela del yacimiento.

Sin embargo, el desmonte de la valla perimetral del mismo y su recolocación en el borde externo de La Alcudia hizo viable excavar el paquete de tierra en el que, hasta ese momento, estuvo fijada. Este cambio facilitó la documentación de una parte de los Ambientes 25, 30, 29 y 31 que resultaba del todo inaccesible antes de esta acción.

Del mismo modo, también se prosiguió la excavación de ciertas áreas de los Ambientes 29, 30 y 31 que, por cuestión de tiempo, no pudieron finalizarse en 2018.

Pero antes de actuar directamente en ellas hubo que trabajar previamente en los paquetes estratigráficos que cubren a las estructuras que nos llevan a definir a un Ambiente como tal y a separarlo de los restantes. Es lo que ocurrió con la franja de terreno que denominamos Sobre Ambientes 29 y 31 correspondiente al perfil donde se encontraba la valla perimetral. Tras su retirada proseguimos la excavación del Ambiente 29 a partir del mismo punto en el que se detuvo la pasada campaña.

Ocorre lo mismo con la secuencia estratigráfica que fue registrada como Sobre Ambientes 31 y 37, previa a la localización de las estructuras que separan a dichas estancias. Buena parte de ella estaba formada por un amplio nivel de escombros que configuraba el perfil N de la excavación, el cual tuvo que ser parcialmente retirado para poder acceder a esta zona.



Fig. 41. Vista del paquete de escombro que constituye el perfil N de la excavación y que cubre a Sobre Ambientes 31 y 37

Recapitulando, las distintas áreas en las que concentramos nuestra intervención arqueológica en esta parte del Sector oriental de las termas son:

- **Sobre Ambientes 29 y 31.** Se trata del conjunto de estructuras y de paquetes estratigráficos documentados en los niveles superiores del Sector, previamente a la identificación de Ambientes en su interior. El desmonte y posterior reubicación de la valla perimetral del yacimiento hizo posible excavar una nueva franja de este conjunto de niveles, los cuales fueron parcialmente exhumados y registrados en 2018.
- **Ambiente 29.** Estancia cuadrangular situada inmediatamente al N del vano de UUEE 163 y 164, a través del cual se comunica con el Ambiente 28.
- **Sobre Ambientes 31 y 37.** Sucesión de capas estratigráficas y de estructuras que hallamos en los niveles superficiales del Sector, sobre las estructuras que permiten individualizar y separar entre sí a los Ambientes 31 y 37.
- **Ambiente 31.** Habitación cuadrangular al N del muro UE 343/479, que lo separa del Ambiente 29 con el que estaba comunicado mediante un acceso o vano.
- **Ambiente 37.** Espacio situado al N del muro UE 618, que lo separa del Ambiente 31.

3.10. Sobre Ambientes 29 y 31

Cuando en la presente campaña mencionamos a la plataforma de tierra que denominamos Sobre el Ambientes 29 y 31 nos referimos, en realidad, a su extremo oriental. Sus zonas central y occidental fueron excavados en 2018. Su secuencia estratigráfica, por tanto, queda marcada por la continuidad respecto a la registrada en la campaña anterior.

Procedimos a la remoción sucesiva de los dos niveles agrícolas superficiales -**UUEE 1** y **53**- hasta alcanzar el suelo arqueológico más moderno de la zona. Se trata de un nivel de tendencia horizontal, formado por tierra de tonalidad marrón oscuro, piedras y gravas que fue documentado como **UE 56**.

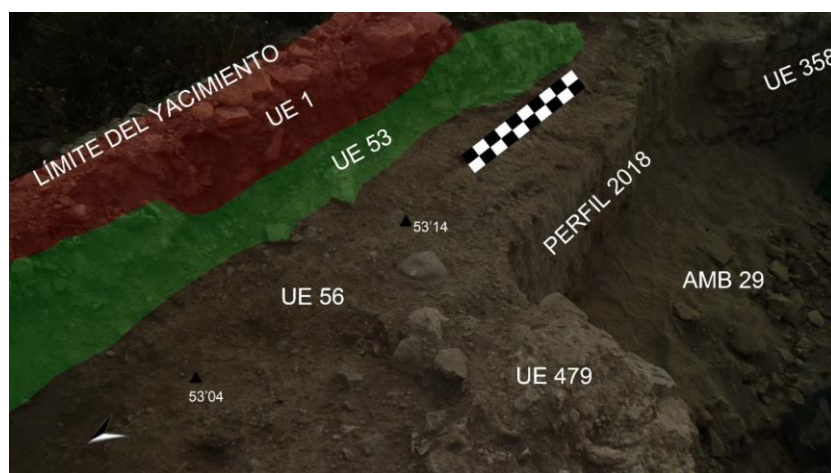


Fig. 42. Vista del extremo oriental de Sobre Ambientes 29 y 31 tras dejar a la vista UE 56. Se aprecian tanto dos de los límites del Ambiente 29 -UUEE 358 y 479- como el perfil oriental final de la excavación de la estancia en la campaña 2018

La retirada tanto de la capa agrícola superficial -**UE 1**- como de los otros dos suelos no arqueológicos -**UUEE 53** y **56**- permitió finalizar la delimitación del Ambiente 29 y marcar su línea divisoria respecto al Ambiente 31. Nos referimos, concretamente, al muro **UE 479**, del que quedaba un pequeño tramo de su recorrido en su extremo E sin excavar debido a la valla perimetral del yacimiento. Dicho muro, junto a **UE 343**, constituye el

límite N del Ambiente 29. El extremo opuesto de la estancia queda cerrado por los muros **UUEE 3304** y **113**, mientras que los muros **UUEE 144** y **358** hacen lo propio en los lados W y E respectivamente.

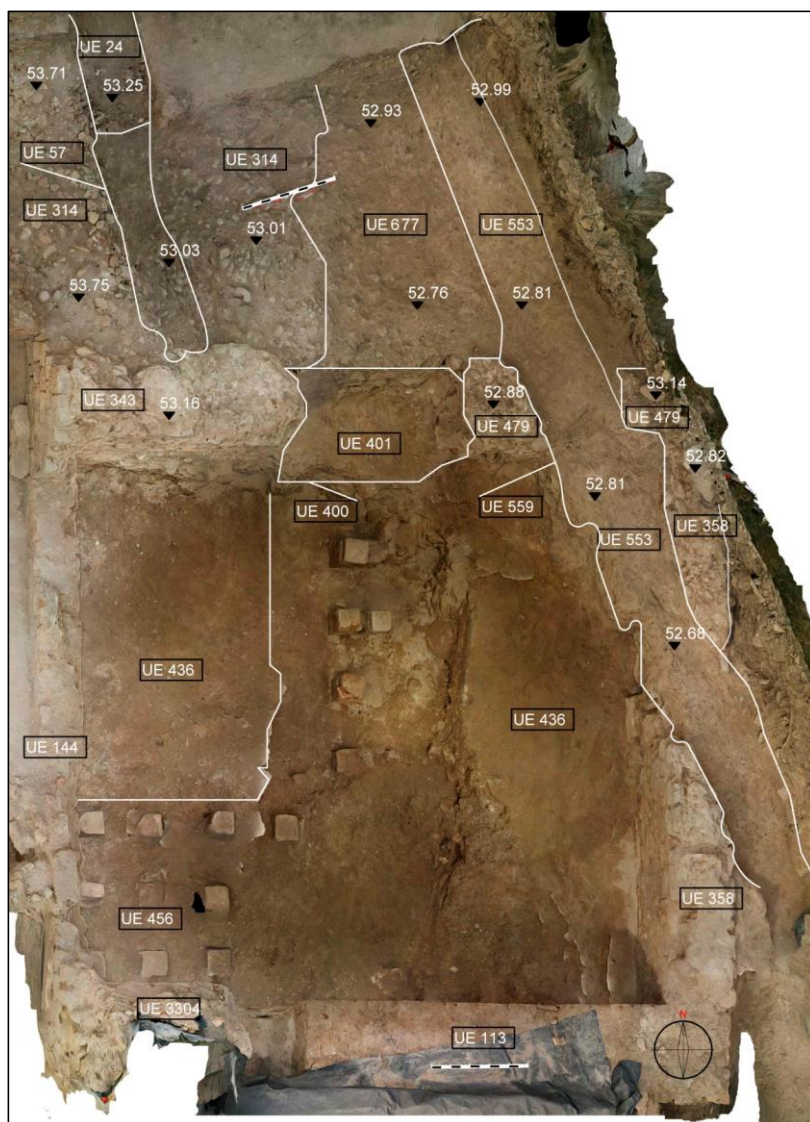


Fig. 43. Planta estratigráfica de Sobre Amb. 29 y 31 tras la retirada de las UUEE superficiales, donde se aprecian las estructuras que delimitan al Amb. 29 y lo separan del Amb. 31

La remoción de las **UUEE 1, 53 y 56** en la franja E de Sobre Ambientes 29 y 31 sacó a la luz, además de parte del trazado de los muros perimetrales de la estancia, una trinchera que corta de forma oblicua a los muros **UUEE 358 y 479** y que fue registrada como **UE 559**. Su trazado es rectilíneo, con una anchura regular de aproximadamente 0'6 m.

Este recorte está relleno por un estrato de tierra de tonalidad amarillenta muy arcillosa, con presencia de gravas que identificamos como **UE 553**. Las características de este nivel son las propias de paleo-acumulaciones de aguas lo que, unido al trazado de la trinchera a la que rellena, nos ha llevado a identificarlo como una posible acequia de riego. El canal de dicha acequia estaba directamente excavado en el firme, sin ninguna construcción que ayudase a encauzar sus aguas. Localizada bajo **UE 56**, sería anterior a la acequia de **GU 23** cuyo trazado surca todo el Sector oriental de las termas: esta última estaba excavada en **UE 56** mientras que la primera está cubierta por este mismo estrato. Por este mismo motivo creemos que puede datarse, si bien de manera imprecisa, en algún momento de los primeros tercios del siglo XIX. Su recorrido transcurre en paralelo y muy próximo al límite de la parcela, atravesando la tierra que colmata los Ambientes 30, 29 y 31.

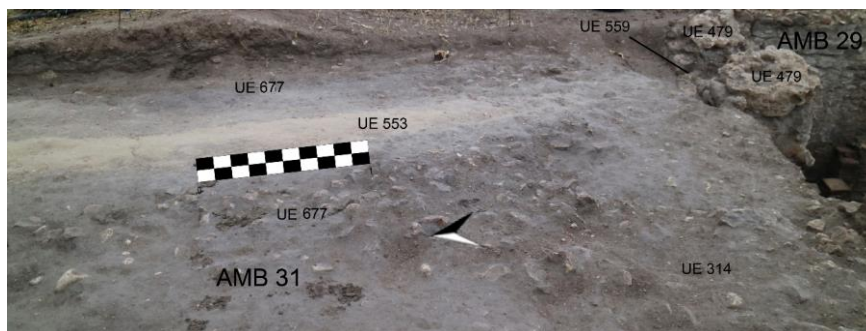


Fig. 44. Vista de la acequia de UUEE 553/559 en el Amb. 31 tras cruzar el muro UE 479

Al N de la línea marcada por los muros **UUEE 343 y 479** nos encontramos con una situación que, en buena medida, conocíamos a través de la campaña de 2018. Por una parte, está el nivel de cantos que desciende de forma ataludada hacia el E -**UE 314**-, el cual es cortado por la fosa **GU 23**. Inmediatamente al E de **UE 314**, bajo **UE 56**, hallamos una capa de tierra de tonalidad gris-parda con presencia de guijarros -**UE 677**- que se ve interrumpida por la acequia **UE 553/559**.

Alcanzado este punto, separamos la excavación del interior del Ambiente 29 y proseguimos definiendo el Ambiente 31 mediante nuestra intervención en Sobre Ambientes 31 y 37.

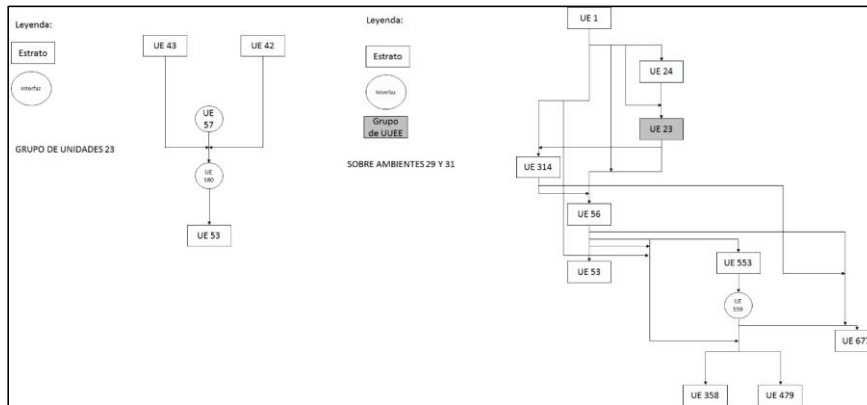


Fig. 45. Diagrama estratigráfico de la excavación realizada en la campaña 2019 sobre los Ambientes 29 y 31

3.11. Ambiente 29

Estructuras y niveles de uso más recientes

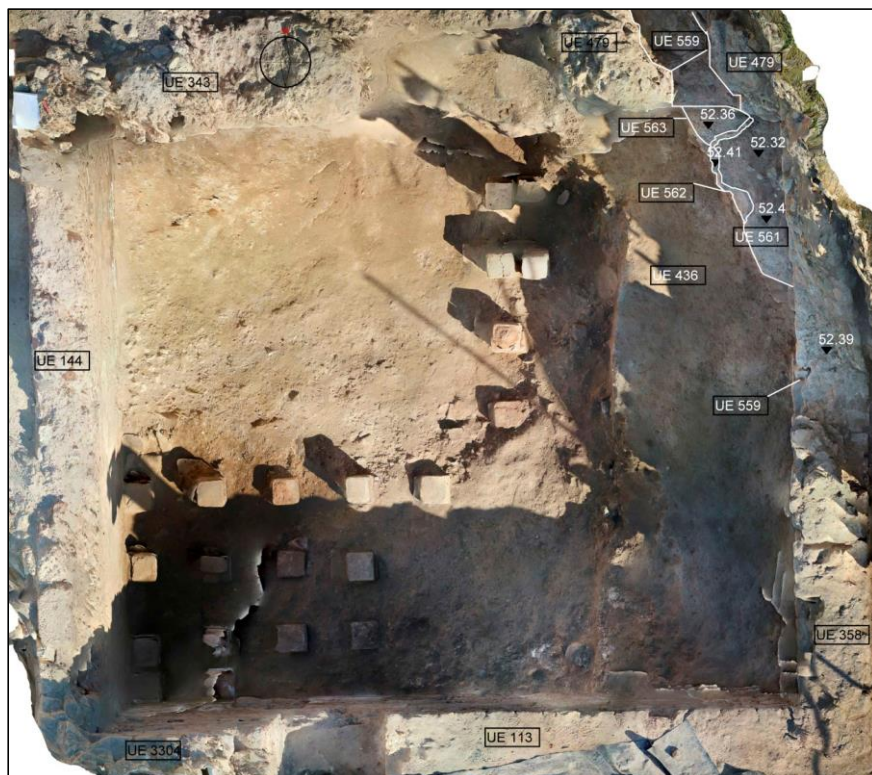


Fig. 46. Planta estratigráfica del Ambiente 29 tras la retirada de la UE 553

La exhumación de parte del trazado de los muros que delimitan al Ambiente 29 y que lo separan del Ambiente 31 nos llevaron a proseguir la excavación de esta estancia de forma individualizada. Es una habitación cuadrangular que mide 5'4 x 4'6 m donde únicamente su ángulo NE queda pendiente de documentar, debido a que se encuentra más allá del límite de la parcela. Aunque ya hemos enunciado en epígrafes previos, si bien de forma sumaria, las estructuras que conforman esta cámara consideramos adecuado detallarlas de manera más pormenorizada:

- **UUEE 3304, 73 y 113**, que constituyen el límite S. Entre los dos últimos -**UUEE 73 y 113**- se abre un vano formado por las **UUEE 163 y 164**, que facilita la comunicación con el Ambiente 28. El primero -**UE 3304**- es un gran muro de mampuestos de pequeño tamaño trabados con mortero de cal, orientado en sentido N-S. Mide 5'3 m de longitud y su anchura es variable. En su punto más ancho alcanza los 0'8 m. En cuanto a **UE 73**, es una estructura en forma de "L" donde su brazo largo -orientado N-S- mide 0'6 m y el corto 0'3 m. Arranca desde la cara E del muro **UE 3304** y está compuesta de mampuestos de pequeño tamaño trabados con mortero de cal. En último lugar tenemos al muro **UE 113**, que presenta el mismo aparejo. Está ligeramente orientado en sentido NW-SE y sus dimensiones son 3'7 x 0'85. Su cara W es el otro vano de acceso al Ambiente.
- **UE 144**, su límite W. Arranca de la cara N del muro **UE 3304**, más concretamente de su extremo W, formando un ángulo recto. Mide 4'6 x 0'42 m y está formado por mampuestos trabados con mortero de cal.
- **UE 358**, que cierra la estancia por su lado E y la separa del Ambiente 30. Forma ángulo recto con el muro **UE 113**, con el que traba y comparte aparejo. Aunque sus dimensiones completas son de 5'4 x 0'6 m faltan por sacar a la luz 0'2 m de su tramo septentrional.
- **UE 343 y 479**, dos tramos del mismo muro que constituyen el extremo N del Ambiente y que marca la línea divisoria frente al Ambiente 31. Están separados por la fosa del algarrobo -**UE 400**-, que parte en dos su recorrido. Su anchura es de 0'52 m. No se pudieron documentar 0'3 m de su trazado -que completo mide 4'6 m- ya que, tal y como ocurre con **UE 358**, el ángulo recto de unión de ambos muros se encuentra localizado más allá de los límites del yacimiento. Traba con los muros **UUEE 144 y 358**.

Tras retirar la **UE 553** accedimos a una plataforma de tierra que, a modo de cuña, ocupaba el ángulo NE del Ambiente. Por motivos estratigráficos concentramos la actividad arqueológica en esta zona hasta lograr alcanzar en ella los mismos niveles en los que detuvimos la excavación de 2018.

Allí descubrimos la continuidad de estructuras y contextos que fueron documentados parcialmente en la campaña precedente. Nos referimos, muy especialmente, a los restos

que fueron interpretados como pertenecientes a un horno metalúrgico y a los niveles asociados al mismo:

- **UE 562.** Estructura de barro endurecido que traza una forma semicircular que se abre en dirección W. Es parte de la estructura **UE 369**, que fue documentada y retirada en 2018. A pesar de ello hemos optado por registrar este nuevo tramo bajo otra UE para facilitar su distinción. Constituía parte de la pared oriental de un horno metalúrgico.
- **UE 561.** Paquete de tierra de tonalidad marronácea y textura granulosa ubicada al E de la estructura **UE 562** y, por tanto, al exterior del horno.
- **UE 563.** Nivel de tierra de tonalidad grisácea y textura arenosa y apelmazada. Localizado inmediatamente al N de la estructura **UE 562**.

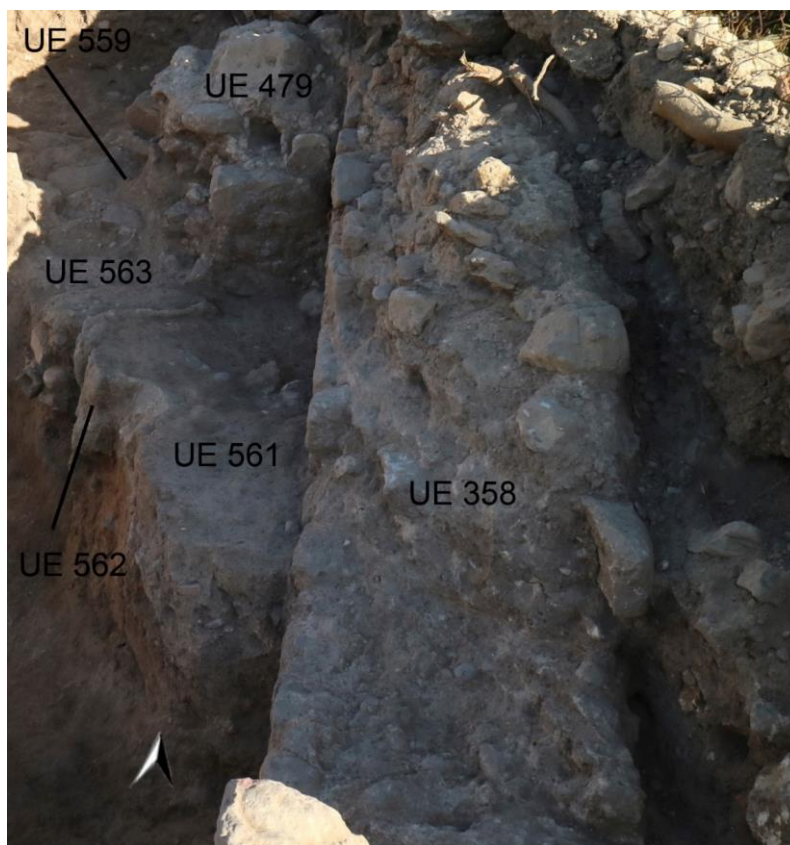


Fig. 47. Vista de las UUEE que acompañan a los restos de horno UE 562



Fig. 48. Planta estratigráfica del Ambiente 29 tras la retirada de las UUEE 561 y 563

Con la remoción de los niveles **UUEE 563** y **561** quedó completamente expuesto el fragmento del horno **UE 562**. Junto a él hallamos un nivel de tierra compacta de tonalidad anaranjada con presencia de adobes. Sus características y su ubicación nos mueven a interpretarlo como restos del colapso del propio horno que fueron identificados como **UE 565**.

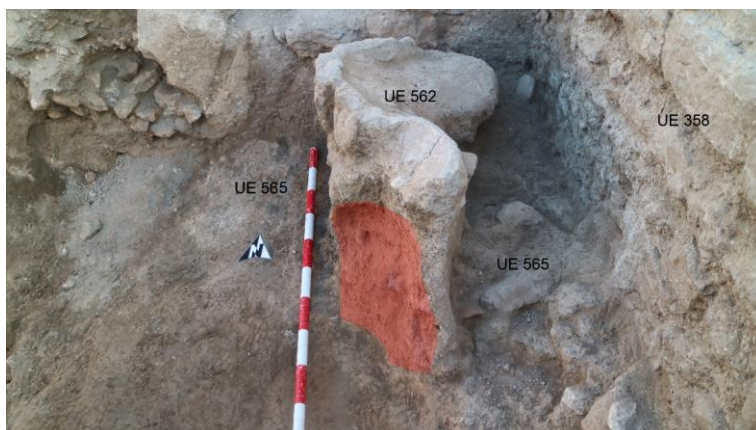


Fig. 49. Vista del fondo del horno UE 562 tras la retirada de los últimos vestigios de su superestructura

Para proseguir la excavación del Ambiente 29 fue preciso retirar los últimos vestigios estructurales del horno metalúrgico con el fin de acceder a los niveles previos. La excavación del nivel de adobes **UE 565** fue seguida de la remoción de los restos de pared del horno de **UE 562**.

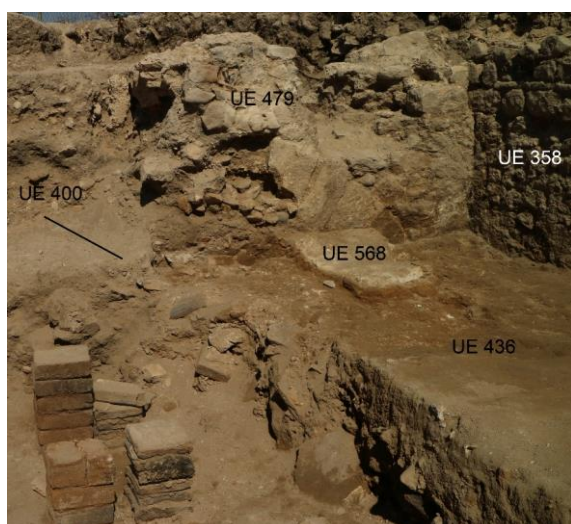


Fig. 50. Vista del fondo del horno UE 568 tras la retirada de los últimos vestigios de su superestructura

Descubrimos que esta capa -**UE 565**- cubría tanto al paquete estratigráfico **UE 436** como a una serie sucesiva de lechadas de cal -**UE 568**- que corresponden al fondo del horno. Es la continuación de la misma capa que fue registrada como **UE 443** en la campaña de 2018.



Fig. 51. Planta estratigráfica del Ambiente 29 tras la retirada de las UUEE 562 y 565

Con la extracción de **UE 568** la zona incorporada en 2019 al Ambiente 29 alcanzaba el mismo nivel estratigráfico en el que detuvimos la excavación en la campaña precedente. Llegados a este punto, retomamos la extracción del paquete **UE 436**.

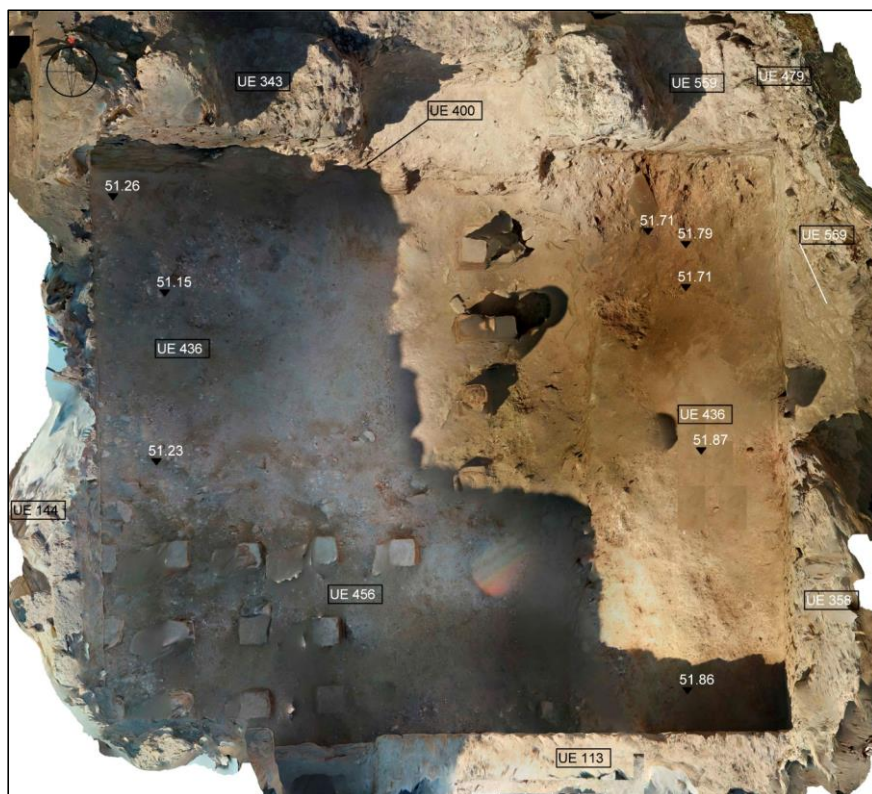


Fig. 52. Planta estratigráfica del Ambiente 29 tras la retirada de la UE 568

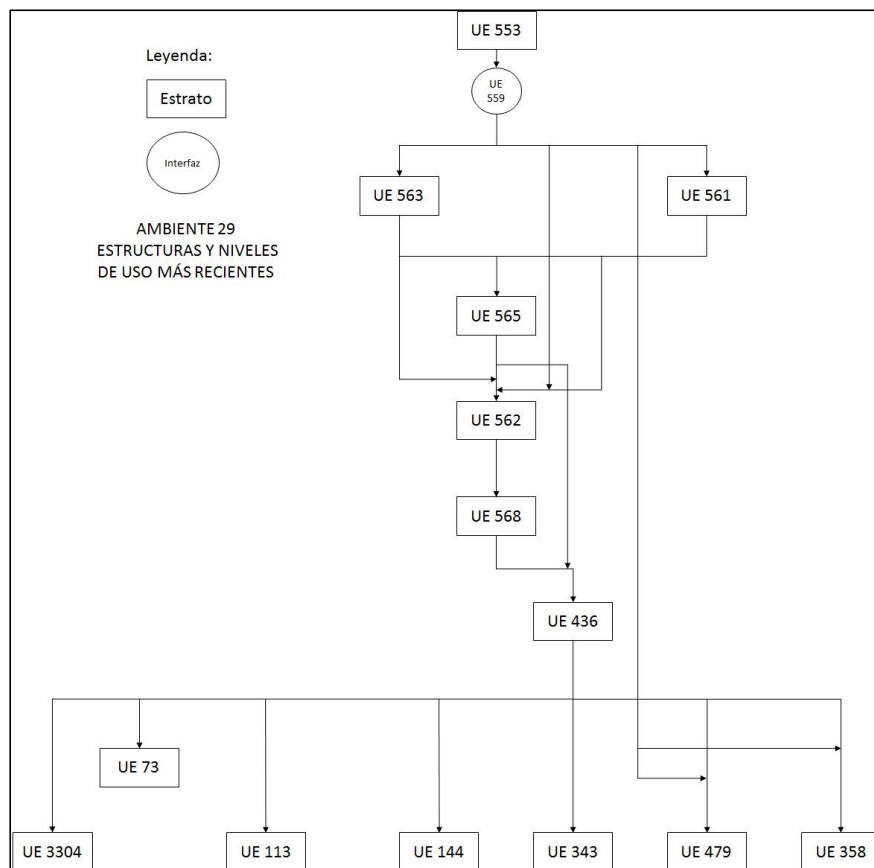


Fig. 53. Diagrama estratigráfico de la excavación realizada en la campaña 2019 sobre los niveles de uso más recientes del Ambiente 29

Estructuras y niveles de amortización

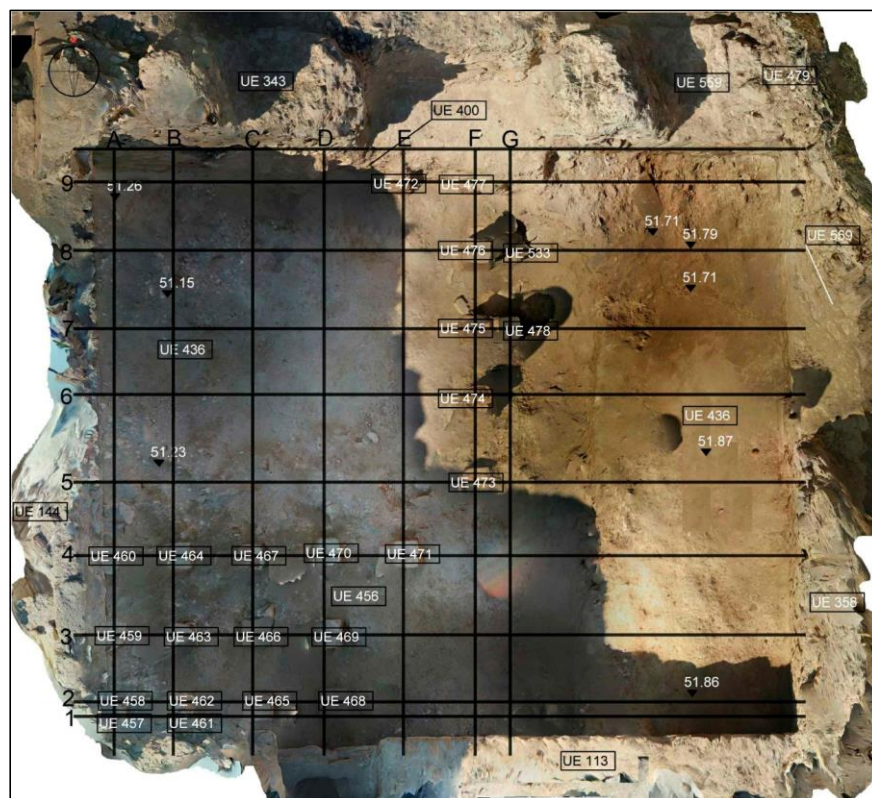


Fig. 54. Planta estratigráfica del Ambiente 29 previa a iniciar la excavación de los restos de UE 436

La campaña de 2018 reveló que el nivel de suelo original del Ambiente 29 había sido recortado y retirado, utilizándose su hipocausto como basurero. La impronta de la línea del pavimento -UE 486- en los muros de la estancia se encuentra a una cota de 52'34 m (s.n.m.) y, bajo la misma, aparecen las capas de vertidos. La más moderna de todas es UE 436, en la que se excava directamente la parte subterránea del horno metalúrgico que describimos en el epígrafe anterior. Parcialmente excavada en 2018, nuestro siguiente no podía ser otro más que finalizar esta tarea.

Pero antes de ello expondremos brevemente las distintas estructuras que salieron a la luz durante la remoción de UE 436 en 2018.

Entre ellas destacan las *pilae* del hipocausto de la cámara, agrupadas como **GU 521**. Con el fin de facilitar su correcta identificación dentro del Ambiente recurrimos a un sistema de coordenadas:

- **UE 457.** *Pila* de hipocausto a base de ladrillos besales, situada en posición A1.
- **UE 458.** *Pila* de hipocausto a base de ladrillos besales, situada en posición A2.
- **UE 459.** *Pila* de hipocausto a base de ladrillos besales, situada en posición A3.
- **UE 460.** *Pila* de hipocausto a base de ladrillos besales, situada en posición A4.
- **UE 461.** *Pila* de hipocausto a base de ladrillos besales, situada en posición B1.
- **UE 462.** *Pila* de hipocausto a base de ladrillos besales, situada en posición B2.
- **UE 463.** *Pila* de hipocausto a base de ladrillos besales, situada en posición B3.
- **UE 464.** *Pila* de hipocausto a base de ladrillos besales, situada en posición B4.
- **UE 465.** *Pila* de hipocausto a base de ladrillos besales, situada en posición C2.
- **UE 466.** *Pila* de hipocausto a base de ladrillos besales, situada en posición C3.
- **UE 467.** *Pila* de hipocausto a base de ladrillos besales, situada en posición C4.
- **UE 468.** *Pila* de hipocausto a base de ladrillos besales, situada en posición D2.
- **UE 469.** *Pila* de hipocausto a base de ladrillos besales, situada en posición D3.
- **UE 470.** *Pila* de hipocausto a base de ladrillos besales, situada en posición D4.
- **UE 471.** *Pila* de hipocausto a base de ladrillos besales, situada en posición E4.
- **UE 472.** *Pila* de hipocausto a base de ladrillos besales, situada en posición E9.
- **UE 473.** *Pila* de hipocausto a base de ladrillos besales, situada en posición F5.
- **UE 474.** *Pila* de hipocausto a base de ladrillos besales, situada en posición F6.
- **UE 475.** *Pila* de hipocausto a base de ladrillos besales, situada en posición F7.
- **UE 476.** *Pila* de hipocausto a base de ladrillos besales, situada en posición F8.
- **UE 477.** *Pila* de hipocausto a base de ladrillos besales, situada en posición F9.
- **UE 478.** *Pila* de hipocausto a base de ladrillos besales, situada en posición G7.
- **UE 533.** *Pila* de hipocausto a base de ladrillos besales, situada en posición G8.

La exhumación parcial de **UE 436** también permitió documentar el extremo N de los conductos de aire caliente que ya habían sido detectados al excavar el Ambiente 28, abiertos en el muro **UE 113: UUEE 211, 212 y 213**. Se trata de los conductos que

permiten la circulación del aire caliente desde el hipocausto del Ambiente 29 al del Ambiente 28.



Fig. 55. Vista en detalle de los conductos de aire caliente UUEE 211, 212 y 213

Del mismo modo, en el lienzo formado por los tramos de muro **UUEE 343** y **479**, documentamos un arco **-UE 480-** por debajo del nivel de pavimento, cortado por **UE 728** y, posteriormente, también por la fosa de árbol **UE 400**. El nivel de colmatación del arco fue individualizado del resto de rellenos como **UE 729**. Dada la escasa distancia que separa a las *pilae* del hipocausto de las filas F y G proponemos que podría tratarse incluso de un arco doble, construido para permitir la circulación de aire caliente entre los Ambientes 29 y 31. Su tramo localizado en el muro **UE 479** ha sido registrado como **UE 577** y su interfaz de ruptura como **UE 578**. En cuanto a su colmatación interna, le fue asignada la **UE 730**.

Tras haber liberado los muros del Ambiente 29 hasta la altura de su pavimento nos encontrábamos en disposición de mostrar, en conjunto, las evidencias de su sistema de *concameratio* que venía a confirmar su interpretación como una estancia termal calefactada: todos los lienzos contaban con unas oquedades cuadradas de aproximadamente 0'14 m de lado aproximadamente destinadas a encajar en su interior *clavi coctiles*, parcialmente conservados -en algunos casos- en el interior de estos orificios. Para poder referirnos con la precisión necesaria a la localización de cada uno de ellos emplearemos un sistema de coordenadas para cada muro.

- **UE 410.** Orificio para *concameratio* en la cara N del muro **UE 3304**, en posición B1.
- **UE 411.** Orificio para *concameratio* en la cara N del muro **UE 3304**, en posición C1.
- **UE 528.** Orificio para *concameratio* en la cara N del muro **UE 3304**, en posición A2.
- **UE 412.** Orificio para *concameratio* en la cara N del muro **UE 3304**, en posición B2.
- **UE 413.** Orificio para *concameratio* en la cara N del muro **UE 3304**, en posición C2.
- **UE 414.** Orificio para *concameratio* en la cara N del muro **UE 3304**, en posición A3.
- **UE 415.** Orificio para *concameratio* en la cara N del muro **UE 3304**, en posición B3.
- **UE 416.** Orificio para *concameratio* en la cara N del muro **UE 3304**, en posición C3.
- **UE 516.** Fragmento de *clavus coctile* inserto en el orificio **UE 416**.

El conjunto de orificios de *concameratio* y de sus *clavi coctiles* fue unificado como **GU 522**.

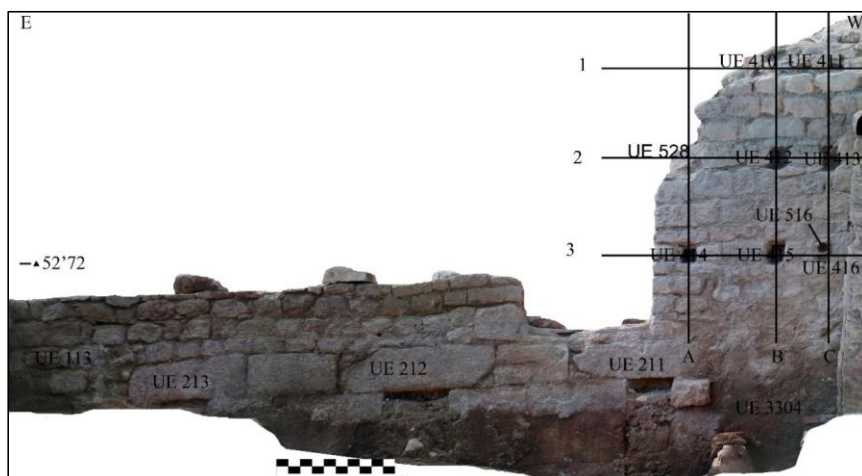


Fig. 56. Ortofotografía de los muros UUEE 3304 y 113 con los orificios de *concameratio*

- **UE 417.** Orificio para *concameratio* en la cara E del muro **UE 144**, en posición A1.
- **UE 418.** Orificio para *concameratio* en la cara E del muro **UE 144**, en posición B1.
- **UE 529.** Orificio para *concameratio* en la cara E del muro **UE 144**, en posición B6.
- **UE 530.** Orificio para *concameratio* en la cara E del muro **UE 144**, en posición B7.
- **UE 419.** Orificio para *concameratio* en la cara E del muro **UE 144**, en posición B8.
- **UE 420.** Orificio para *concameratio* en la cara E del muro **UE 144**, en posición C1.
- **UE 421.** Orificio para *concameratio* en la cara E del muro **UE 144**, en posición C2.

- **UE 422.** Orificio para *concameratio* en la cara E del muro **UE 144**, en posición C3.
- **UE 423.** Orificio para *concameratio* en la cara E del muro **UE 144**, en posición C4.
- **UE 424.** Orificio para *concameratio* en la cara E del muro **UE 144**, en posición C5.
- **UE 425.** Orificio para *concameratio* en la cara E del muro **UE 144**, en posición C6.
- **UE 426.** Orificio para *concameratio* en la cara E del muro **UE 144**, en posición C7.
- **UE 517.** Orificio para *concameratio* en la cara E del muro **UE 144**, en posición C8.
- **UE 518.** Fragmento de *clavus coctile* inserto en el orificio **UE 424**.
- **UE 519.** Fragmento de *clavus coctile* inserto en el orificio **UE 425**.
- **UE 531.** Fragmento de *clavus coctile* inserto en el orificio **UE 426**.

Todo este conjunto fue reunido en el **GU 523**.

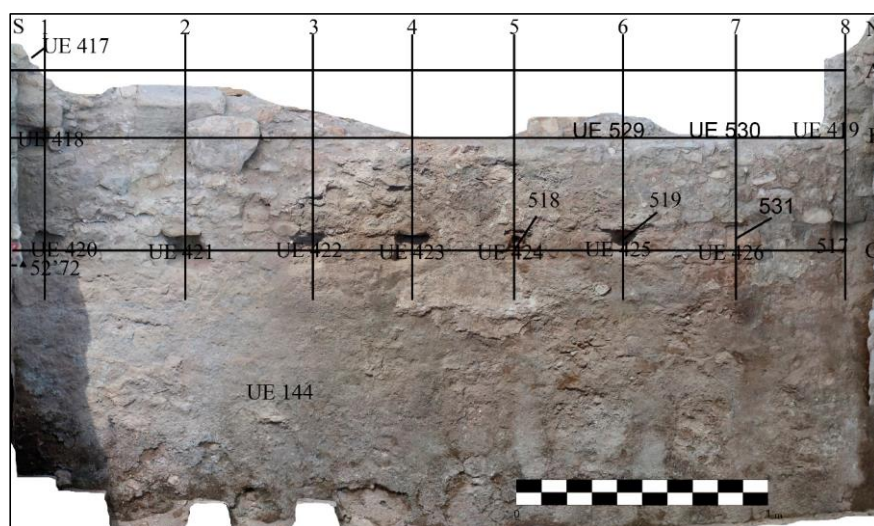


Fig. 57. Ortofotografía del muro UE 144 con los orificios de *concameratio*

- **UE 427.** Orificio para *concameratio* en la cara S del muro **UE 343**, en posición A1.
- **UE 428.** Orificio para *concameratio* en la cara S del muro **UE 343**, en posición B1.
- **UE 429.** Orificio para *concameratio* en la cara S del muro **UE 343**, en posición B2.
- **UE 430.** Orificio para *concameratio* en la cara S del muro **UE 343**, en posición C1.
- **UE 532.** Orificio para *concameratio* en la cara S del muro **UE 343**, en posición C2.
- **UE 431.** Orificio para *concameratio* en la cara S del muro **UE 343**, en posición C3.
- **UE 432.** Orificio para *concameratio* en la cara S del muro **UE 343**, en posición C4.

- **UE 518.** Fragmento de *clavus coctile* inserto en el orificio **UE 428**.
- **UE 519.** Fragmento de *clavus coctile* inserto en el orificio **UE 429**.
- **UE 520.** Fragmento de *clavus coctile* inserto en el orificio **UE 432**.

Todos estos elementos de la *concameratio* de la estancia fueron recogidos dentro del **GU 524**.

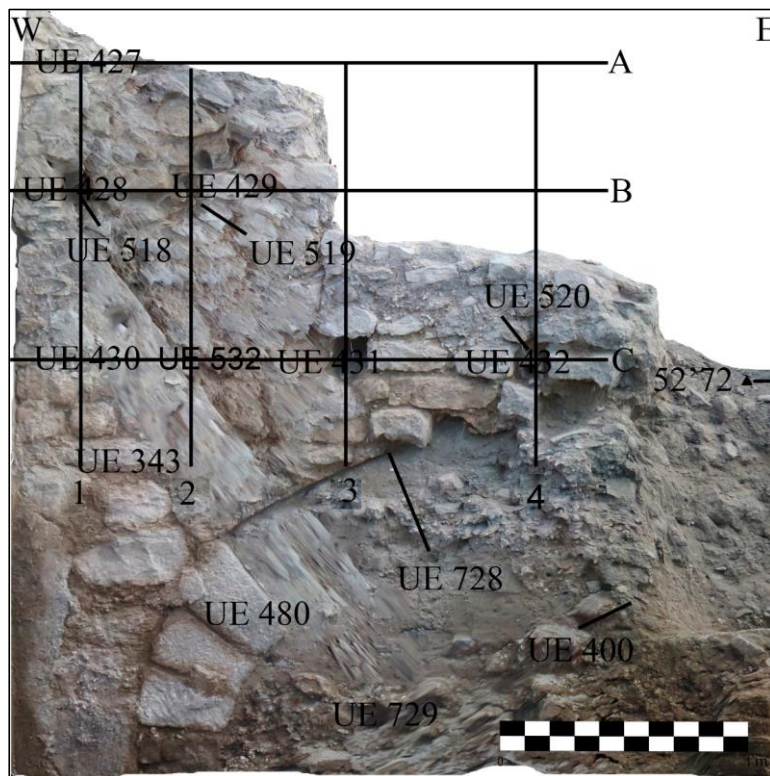
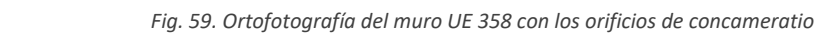


Fig. 58. Ortofotografía del muro UE 343 con los orificios de *concameratio*

- **UE 433.** Orificio para *concameratio* en la cara W del muro **UE 358**, en posición A1.
- **UE 534.** Orificio para *concameratio* en la cara W del muro **UE 358**, en posición A2.
- **UE 535.** Orificio para *concameratio* en la cara W del muro **UE 358**, en posición A3.

- La ampliación de la superficie excavada en el interior del Ambiente 29 nos llevó a documentar un nuevo tramo del muro **UE 358**, en el que localizamos más evidencias de la *concameratio* de la estancia:

- Estos orificios de *concameratio* conforman el **GU 525**.



- **UE 719.** Orificio para *concameratio* en la cara S del muro **UE 479**, en posición A1.
- **UE 720.** Orificio para *concameratio* en la cara N del muro **UE 479** en posición A2.
- **UE 721.** Fragmento de *clavus coctile* inserto en el orificio **UE 719**.

84

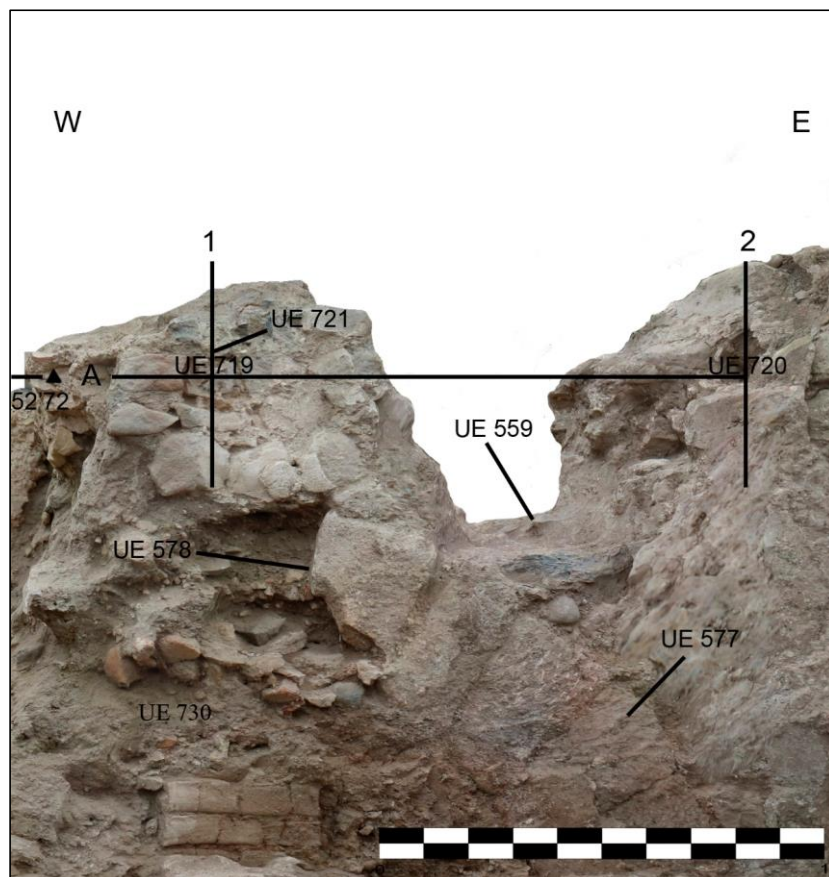


Fig. 60. Ortofotografía del muro UE 479 con los orificios de concameratio



Fig. 61. Vista en detalle de varios orificios de concameratio donde uno de ellos -UE 416- cuenta con parte de un clavus coctile en su interior

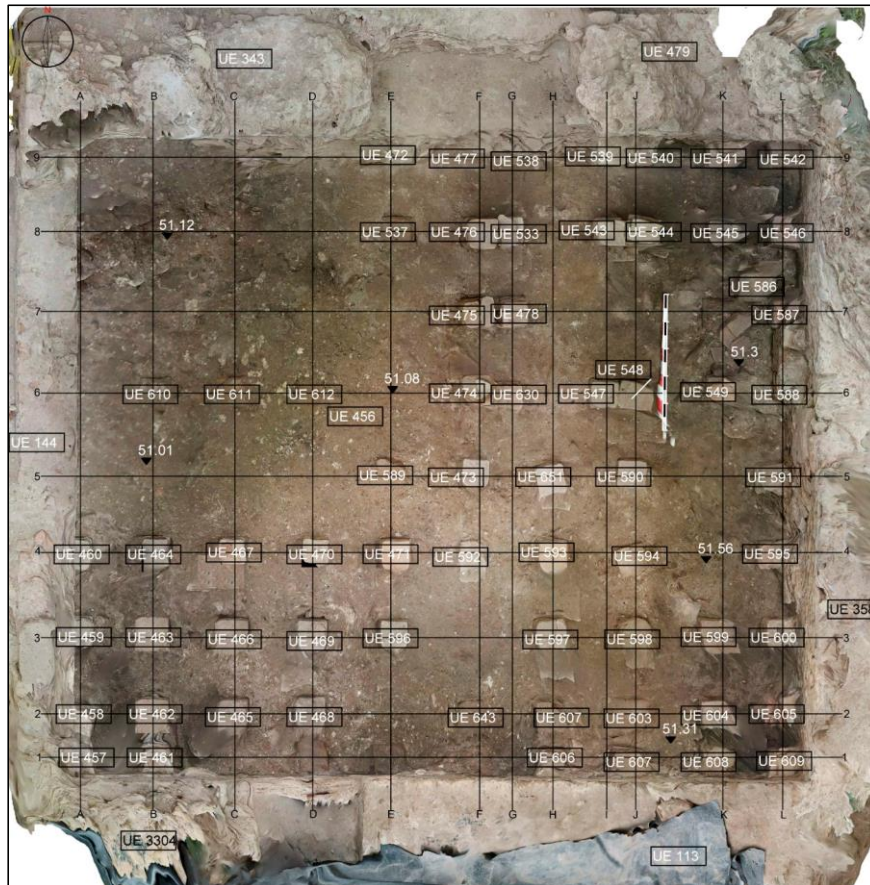


Fig. 62. Planta estratigráfica del Ambiente 29 tras retirar UE 436

Proseguimos con la retirada del nivel superior del relleno del hipocausto -UE 436- de manera que, paulatinamente, fueron aflorando nuevas *pilae*:

- **UE 610.** *Pila* de hipocausto a base de ladrillos besales, situada en posición B6.
- **UE 611.** *Pila* de hipocausto a base de ladrillos besales, situada en posición C6.
- **UE 612.** *Pila* de hipocausto a base de ladrillos besales, situada en posición D6.
- **UE 596.** *Pila* de hipocausto a base de ladrillos besales, situada en posición E3.
- **UE 589.** *Pila* de hipocausto a base de ladrillos besales, situada en posición E5.
- **UE 537.** *Pila* de hipocausto a base de ladrillos besales, situada en posición E8.
- **UE 643.** *Pila* de hipocausto a base de ladrillos besales, situada en posición F2.

- **UE 592.** *Pila* de hipocausto a base de ladrillos besales, situada en posición F4.
- **UE 630.** *Pila* de hipocausto a base de ladrillos besales, situada en posición G6.
- **UE 538.** *Pila* de hipocausto a base de ladrillos besales, situada en posición G9.
- **UE 606.** *Pila* de hipocausto a base de ladrillos besales, situada en posición H1.
- **UE 602.** *Pila* de hipocausto a base de ladrillos besales, situada en posición H2.
- **UE 597.** *Pila* de hipocausto a base de ladrillos besales, situada en posición H3.
- **UE 593.** *Pila* de hipocausto a base de ladrillos besales, situada en posición H4.
- **UE 651.** *Pila* de hipocausto a base de ladrillos besales, situada en posición H5.
- **UE 547.** *Pila* de hipocausto a base de ladrillos besales, situada en posición I6.
- **UE 543.** *Pila* de hipocausto a base de ladrillos besales, situada en posición I8.
- **UE 539.** *Pila* de hipocausto a base de ladrillos besales, situada en posición I9.
- **UE 607.** *Pila* de hipocausto a base de ladrillos besales, situada en posición J1.
- **UE 603.** *Pila* de hipocausto a base de ladrillos besales, situada en posición J2.
- **UE 598.** *Pila* de hipocausto a base de ladrillos besales, situada en posición J3.
- **UE 594.** *Pila* de hipocausto a base de ladrillos besales, situada en posición J4.
- **UE 590.** *Pila* de hipocausto a base de ladrillos besales, situada en posición J5.
- **UE 548.** *Pila* de hipocausto a base de ladrillos besales, situada en posición J6.
- **UE 544.** *Pila* de hipocausto a base de ladrillos besales, situada en posición J8.
- **UE 540.** *Pila* de hipocausto a base de ladrillos besales, situada en posición J9.
- **UE 608.** *Pila* de hipocausto a base de ladrillos besales, situada en posición K1.
- **UE 604.** *Pila* de hipocausto a base de ladrillos besales, situada en posición K2.
- **UE 599.** *Pila* de hipocausto a base de ladrillos besales, situada en posición K3.
- **UE 549.** *Pila* de hipocausto a base de ladrillos besales, situada en posición K6.
- **UE 545.** *Pila* de hipocausto a base de ladrillos besales, situada en posición K8.
- **UE 541.** *Pila* de hipocausto a base de ladrillos besales, situada en posición K9.
- **UE 586.** *Pila* de hipocausto a base de ladrillos besales, situada entre las posiciones L7 y L8.
- **UE 609.** *Pila* de hipocausto a base de ladrillos besales, situada en posición L1.
- **UE 605.** *Pila* de hipocausto a base de ladrillos besales, situada en posición L2.
- **UE 600.** *Pila* de hipocausto a base de ladrillos besales, situada en posición L3.
- **UE 595.** *Pila* de hipocausto a base de ladrillos besales, situada en posición L4.

- **UE 591.** *Pila* de hipocausto a base de ladrillos besales, situada en posición L5.
- **UE 588.** *Pila* de hipocausto a base de ladrillos besales, situada en posición L6.
- **UE 587.** *Pila* de hipocausto a base de ladrillos besales, situada en posición L7.
- **UE 546.** *Pila* de hipocausto a base de ladrillos besales, situada en posición L8.
- **UE 542.** *Pila* de hipocausto a base de ladrillos besales, situada en posición L9.

Estas *pilae*, al igual que las anteriormente documentadas, afloran a través de un estrato de tonalidad cenicienta y muy disgregado -UE 456-. Fue parcialmente exhumado en la campaña anterior, pero es ahora cuando hemos sacado a la luz su superficie completa, que se extiende por todo el interior del hipocausto. En su composición encontramos abundante presencia de cenizas procedentes del hipocausto, así como un elevado volumen de restos de materiales constructivos (*clavi coctile*, fragmentos de enlucido y de mosaico). Todo ello nos lleva a proponer que se trata del primer nivel de relleno del hipocausto tras la rotura del pavimento de la sala: aprovechan el espacio subterráneo de la misma para dejar caer en su interior los restos del colapso de la *concameratio* y del suelo de la propia estancia. Una vez documentado procedimos a su remoción, aunque dejando un pequeño testigo entre las posiciones de *pilae* H1-H3 y H3-L3 a modo de muestra de su composición.



Fig. 63. Vista en detalle de UE 456, donde se aprecia la presencia de materiales constructivos

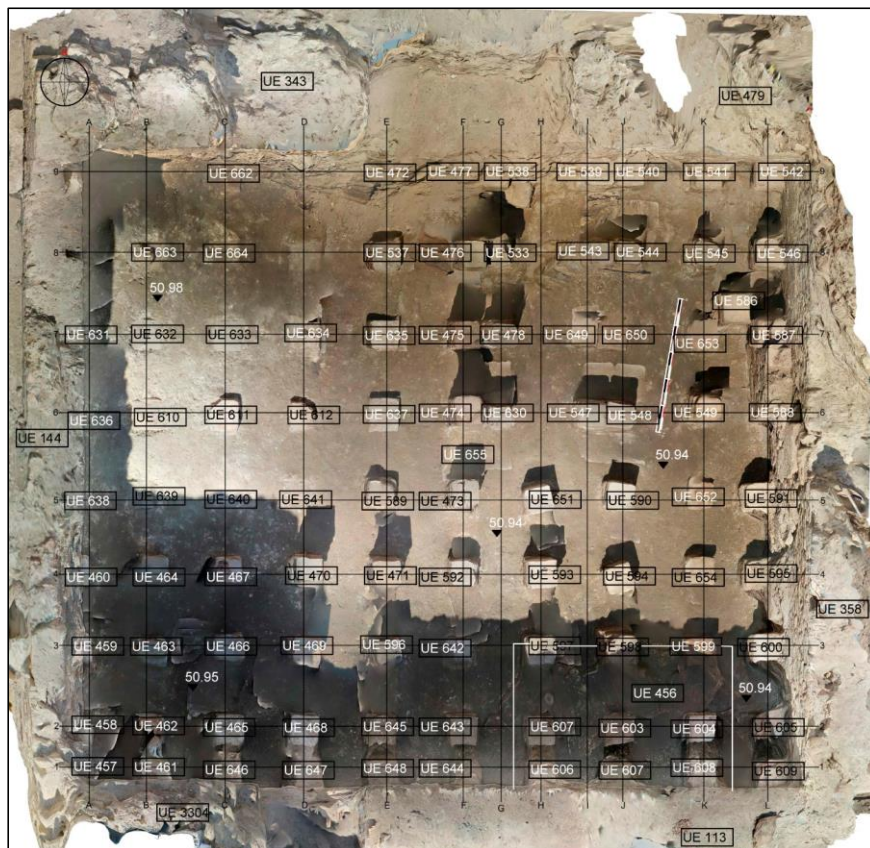


Fig. 64. Planta estratigráfica del Ambiente 29 tras dejar visible el pavimento UE 655

Bajo este nivel hallamos una capa de mortero de tonalidad amarillenta, muy compacta y horizontal que ocupa todo el interior de la estancia a la que asignamos la **UE 655**. Se trata claramente de un nivel de pavimento del hipocausto. Sin embargo, en el ángulo NW de la estancia se insinuaba -al mismo nivel de **UE 655**- la presencia de *pilae* no documentadas que claramente arrancaban desde una cota inferior. Debía tratarse, por tanto, de un pavimento relacionado a una reforma o reparación de la sala calefactada y no su nivel de suelo original. La retirada de **UE 456** nos permitió documentar, por ende, nuevas *pilae*:

- **UE 638**. *Pila* de hipocausto a base de ladrillos besales, situada en posición A5.
- **UE 636**. *Pila* de hipocausto a base de ladrillos besales, situada en posición A6.

- **UE 631.** *Pila* de hipocausto a base de ladrillos besales, situada en posición A7.
- **UE 639.** *Pila* de hipocausto a base de ladrillos besales, situada en posición B5.
- **UE 632.** *Pila* de hipocausto a base de ladrillos besales, situada en posición B7.
- **UE 663.** *Pila* de hipocausto a base de ladrillos besales, situada en posición B8.
- **UE 646.** *Pila* de hipocausto a base de ladrillos besales, situada en posición C1.
- **UE 640.** *Pila* de hipocausto a base de ladrillos besales, situada en posición C5.
- **UE 633.** *Pila* de hipocausto a base de ladrillos besales, situada en posición C7.
- **UE 664.** *Pila* de hipocausto a base de ladrillos besales, situada en posición C8.
- **UE 662.** *Pila* de hipocausto a base de ladrillos besales, situada en posición C9.
- **UE 647.** *Pila* de hipocausto a base de ladrillos besales, situada en posición D1.
- **UE 641.** *Pila* de hipocausto a base de ladrillos besales, situada en posición D5.
- **UE 634.** *Pila* de hipocausto a base de ladrillos besales, situada en posición D7.
- **UE 648.** *Pila* de hipocausto a base de ladrillos besales, situada en posición E1.
- **UE 645.** *Pila* de hipocausto a base de ladrillos besales, situada en posición E2.
- **UE 637.** *Pila* de hipocausto a base de ladrillos besales, situada en posición E6.
- **UE 635.** *Pila* de hipocausto a base de ladrillos besales, situada en posición E7.
- **UE 644.** *Pila* de hipocausto a base de ladrillos besales, situada en posición F1.
- **UE 642.** *Pila* de hipocausto a base de ladrillos besales, situada en posición F3.
- **UE 650.** *Pila* de hipocausto a base de ladrillos besales, situada en posición J7.
- **UE 654.** *Pila* de hipocausto a base de ladrillos besales, situada en posición K4.
- **UE 652.** *Pila* de hipocausto a base de ladrillos besales, situada en posición K5.
- **UE 653.** *Pila* de hipocausto a base de ladrillos besales, situada en posición K7.

Con la extracción de los niveles de relleno del hipocausto -**UUEE 436 y 456**- quedó completamente visible una anomalía en la cara interna del muro **UE 358** que ya se intuía desde que se comenzó a excavar el basurero. Observamos una apertura semicircular en el centro de este lienzo murario que mide aproximadamente 1'4 m de anchura en su parte inferior y 1'2 m de altura, que fue registrada como **UE 623**. La parte inferior de su extremo S aparece flanqueada por un sillar que forma parte del propio muro **UE 358**, del que sobresale ligeramente. Esta cavidad estaba cegada mediante un tapiado realizado a base de material reutilizado -piedra y ladrillos- trabado con mortero de cal al que le asignamos la **UE 624**. Este cerramiento se asienta directamente sobre el

pavimento de **UE 655**. También lo hace un alzado de ladrillos -**UE 622**- que ocupa el espacio existente entre las *pilae* **UUEE 587** y **588** y que se apoya directamente contra la cara W de **UE 624**.

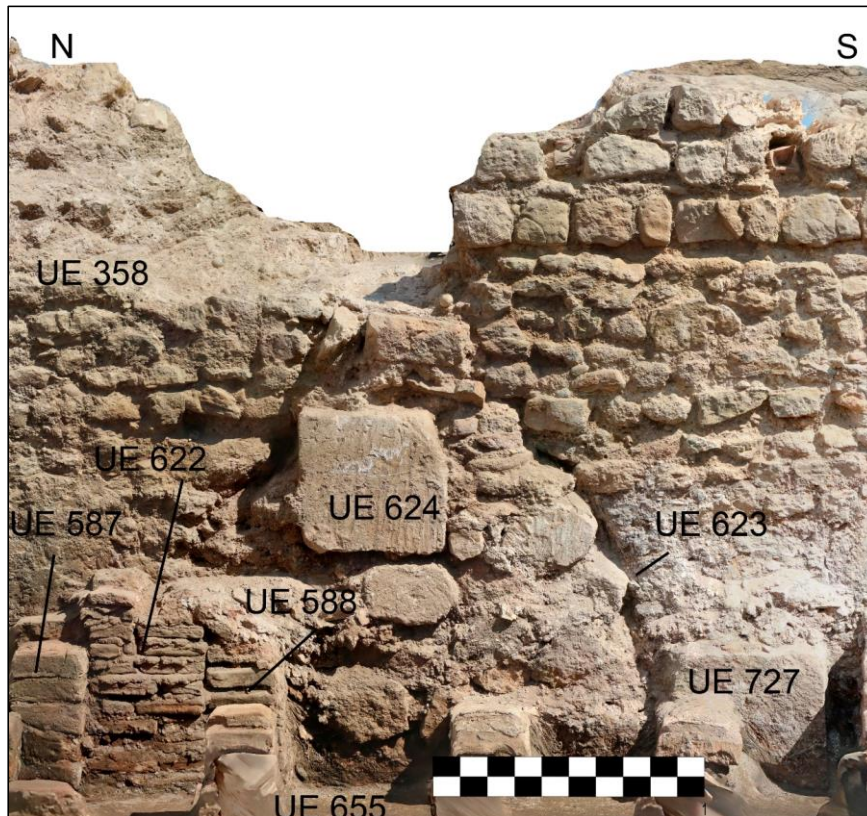


Fig. 65. Vista en detalle de la apertura UE 623 y de su cerramiento UE 624

La apertura **UE 624** fue interpretada como la entrada de calor de un *praefurnium* que estaría situado al E del Ambiente 29. El sillar **UE 727** sería parte de su embocadura, mientras que la del extremo opuesto quedaría oculta tras las *pilae* **UUEE 587** y **588** y por el tapiado de ladrillos que las une -**UE 622**-.

Dado que el pavimento **UE 655** no era el suelo más antiguo de la estancia decidimos proceder a su desmonte con el fin de acceder al pavimento original.



Fig. 66. Vista en detalle del proceso de excavación de UE 655 y del hallazgo en su interior de la lucerna nº inv. LA'19-655-94

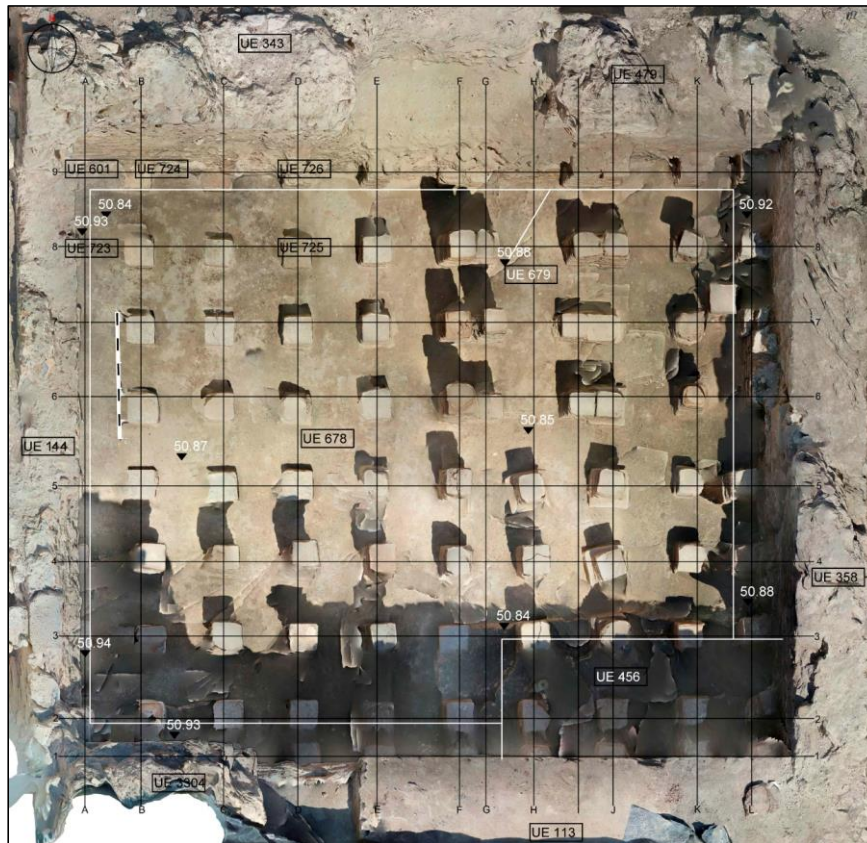


Fig. 67. Planta estratigráfica del Ambiente 29 tras retirar el pavimento UE 655, en la que hemos indicado la UUEE de las nuevas pilae documentadas

Accedimos así a las últimas *pilae* que quedaban por documentar:

- **UE 723.** *Pila* de hipocausto a base de ladrillos besales, situada en posición A8.
- **UE 601.** *Pila* de hipocausto a base de ladrillos besales, situada en posición A9.
- **UE 724.** *Pila* de hipocausto a base de ladrillos besales, situada en posición B9.
- **UE 725.** *Pila* de hipocausto a base de ladrillos besales, situada en posición D8.
- **UE 726.** *Pila* de hipocausto a base de ladrillos besales, situada en posición D9.

Todas estas *pilae*, al igual que el resto de las localizadas en la presente campaña, fueron incorporadas al **GU 521**.

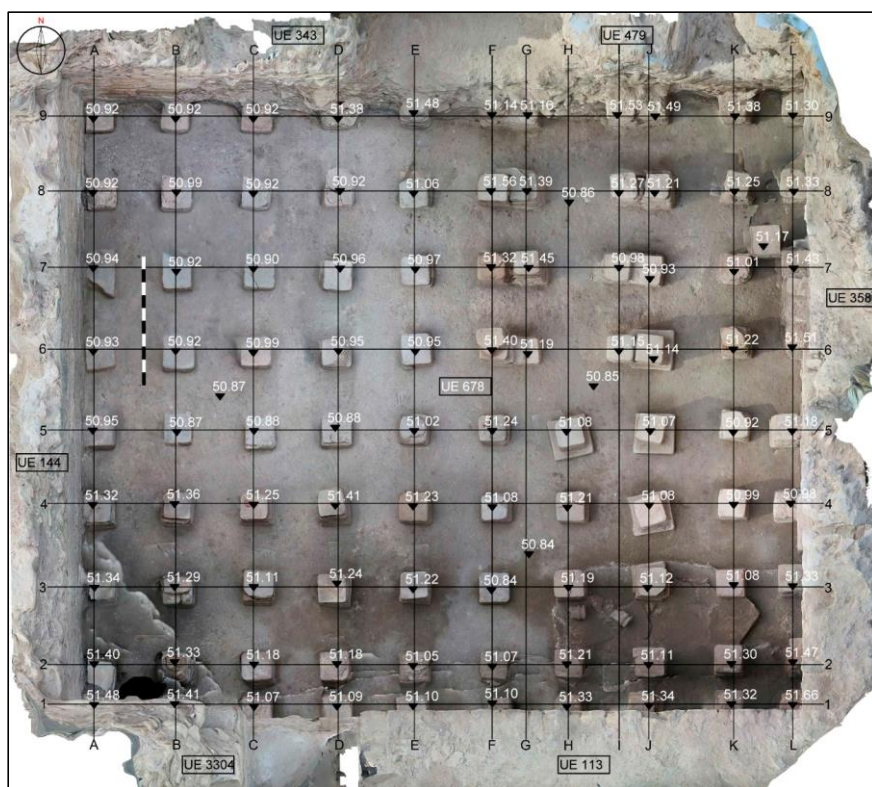


Fig. 68. Planta estratigráfica del Ambiente 29 una vez finalizada su excavación con las cotas correspondientes a sus *pilae*

Y finalmente, alcanzamos el fondo de la estancia: **UE 678**. Un nivel de mortero de cal compacto sobre el que se alcanzan todas las *pilae* del hipocausto. Bordeando su perímetro

encontramos, apoyado en los muros, una capa de ceniza muy disgregada -UE 679-. Son, muy probablemente, los restos de la limpieza del hipocausto que no fueron retirados antes de pavimentarlo de nuevo con UE 655. Tras su remoción agotamos la estratigrafía en el interior de la estancia.

Únicamente quedaba pendiente excavar la colmatación de las aperturas para la circulación del aire caliente existentes en el muro UE 113: UUEE 211, 212 y 213. Su vaciado supuso la extracción de los paquetes estratigráficos UUEE 686, 687 y 688 y el final a nuestra intervención arqueológica en el Ambiente 29.

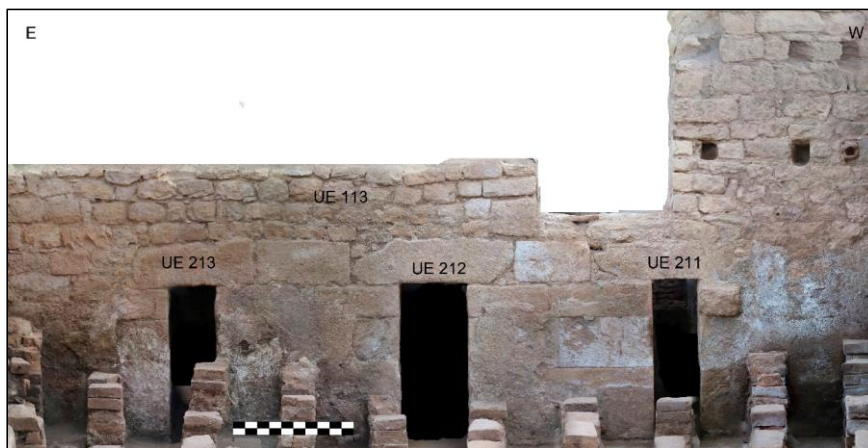


Fig. 69. Vista en detalle del lienzo del muro UE 113 tras finalizar la excavación del Ambiente. Se aprecian las aperturas de calor UUEE 211, 212 y 213 sin su relleno

Contamos con elementos de peso -cegamiento del *praefurnium* UE 623, repavimentación a través de UE 655- como para inferir una importante reestructuración de esta sala calefactada. Incide en ello el hecho de que varias de las *pilae* dan claras muestras de anomalías. Percibimos que, efectivamente, las *pilae* UUEE 651, 594, 590 y 548 se asientan sobre un tipo de ladrillo de distinto módulo al del resto de su alzado - mide 0'3 m de lado en lugar de 0'18 m-. Pero incluso dentro de los ladrillos de 0'18 m de lado encontramos distintos calibres: 0'04 m y 0'06 m de altura. Hay una pila -UE 598- donde observamos que, directamente, asientan el alzado de ladrillos besales sobre una base construida con cuatro ladrillos que se sustentan sobre el firme por su cara más

estrecha, apoyándose unos contra otros con el fin de obtener una altura mayor de la que se conseguiría colocándolos apilados.



Fig. 70. Vista en detalle de algunas de las pilae en las que registramos anomalías

El lugar de colocación de las *pilae* es otro elemento a considerar. El hecho de que alguna de ellas no se encuentre en ninguna de las filas existentes -como ocurre con **UE 586**- o que otras, como **UUEE 588 y 591**, no respeten el espacio de la apertura de *praefurnium* **UE 623** ayuda a concluir que toda esta modificación interna del hipocausto se debe, en buena parte, a un cambio en el circuito de circulación del aire caliente.

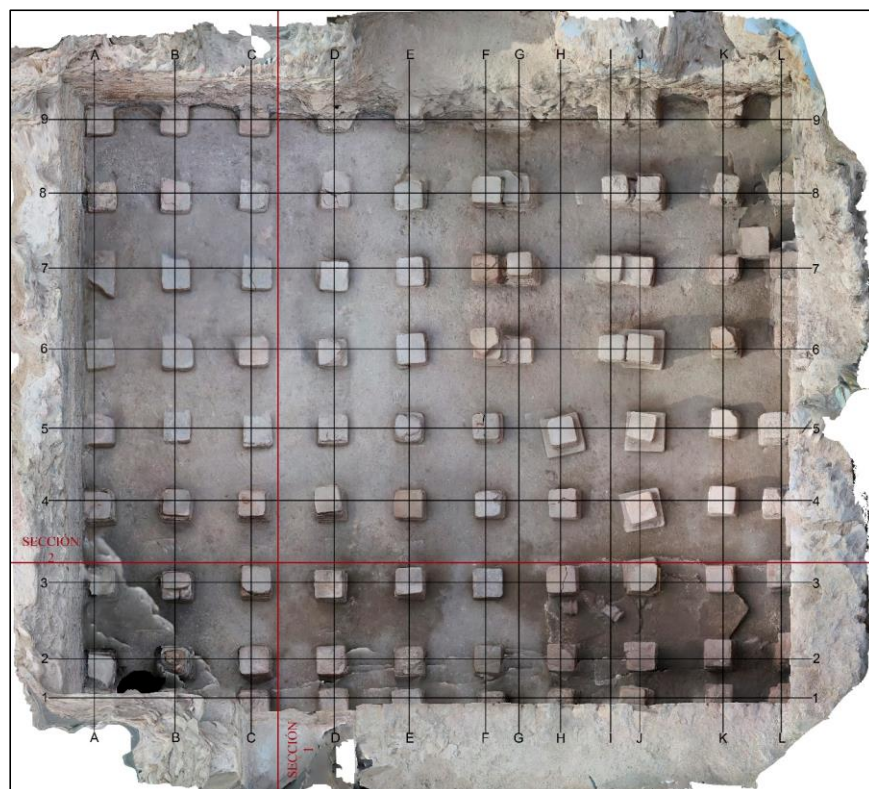


Fig. 71. Ubicación de las secciones de las estructuras y niveles de relleno del Ambiente 29



Fig. 72. Sección 1 (sentido N-S) de las estructuras y niveles de relleno del Ambiente 29



Fig. 73. Sección 2 (sentido E-W) de las estructuras y niveles de relleno del Ambiente 29

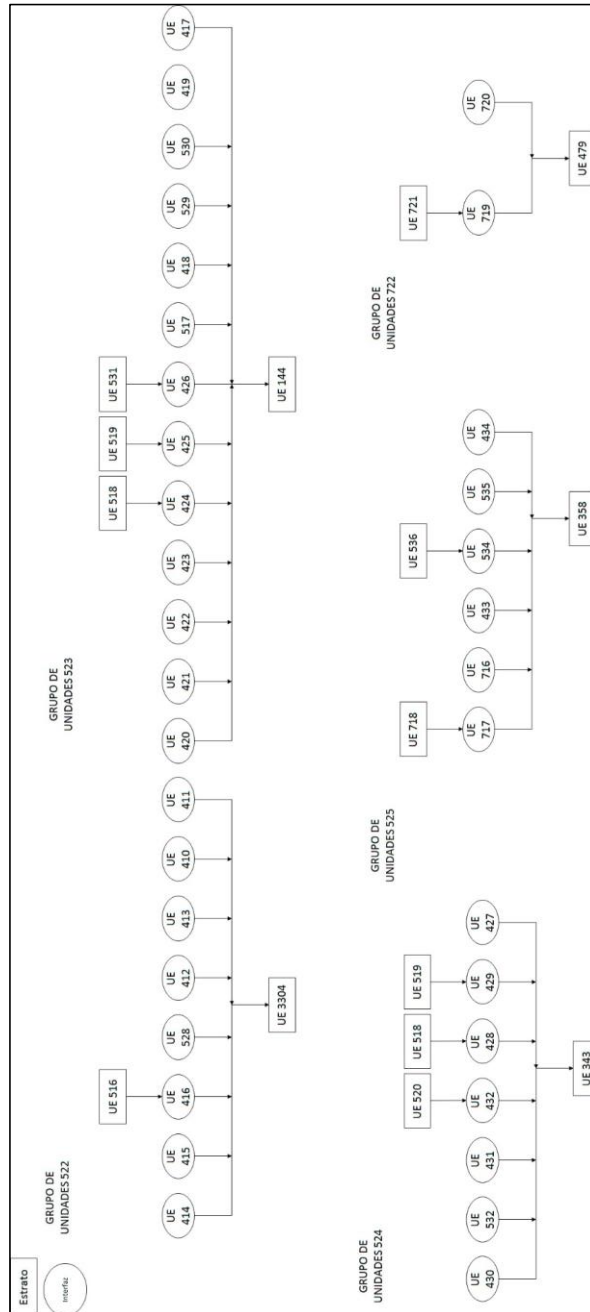


Fig. 74. Diagrama estratigráfico de los Grupos de Unidades correspondientes a los alzados de los muros del Ambiente 29 para la campaña 2019

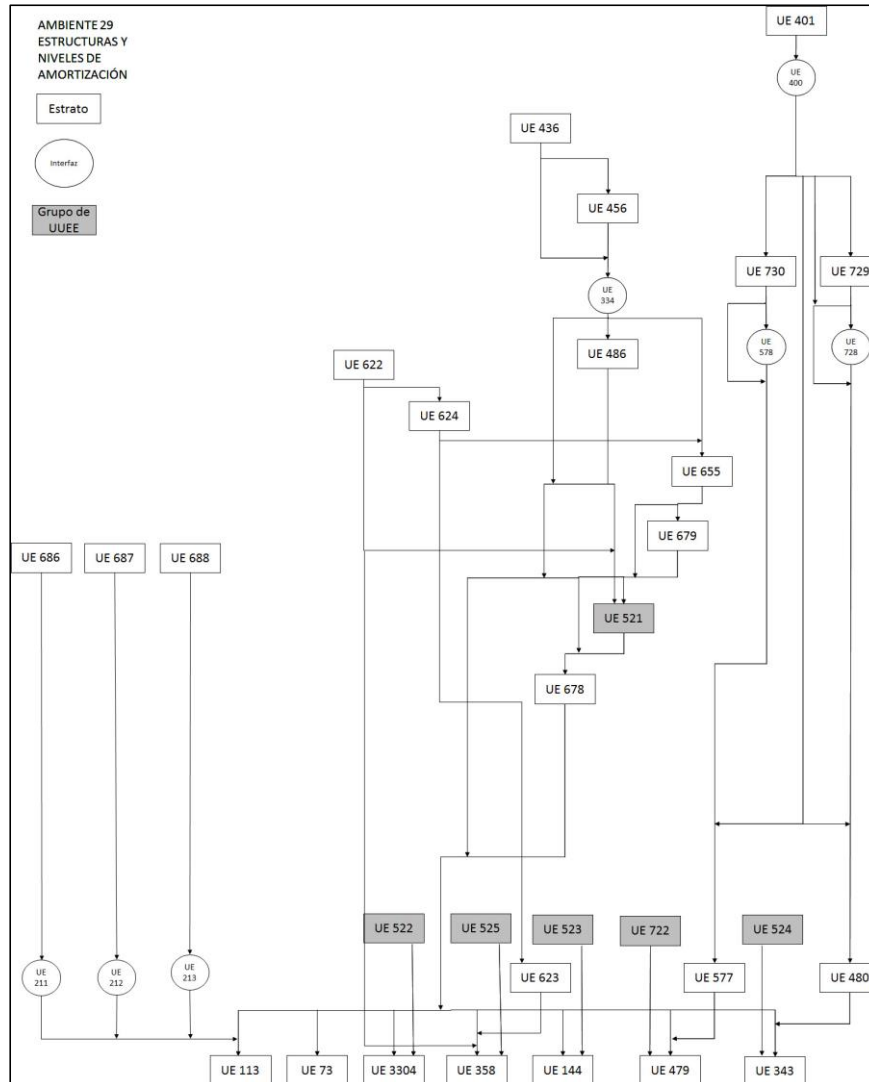


Fig. 75. Diagrama estratigráfico de la excavación realizada en la campaña 2019 sobre las estructuras y los niveles de amortización del Ambiente 29

3.12. Sobre Ambientes 31 y 37

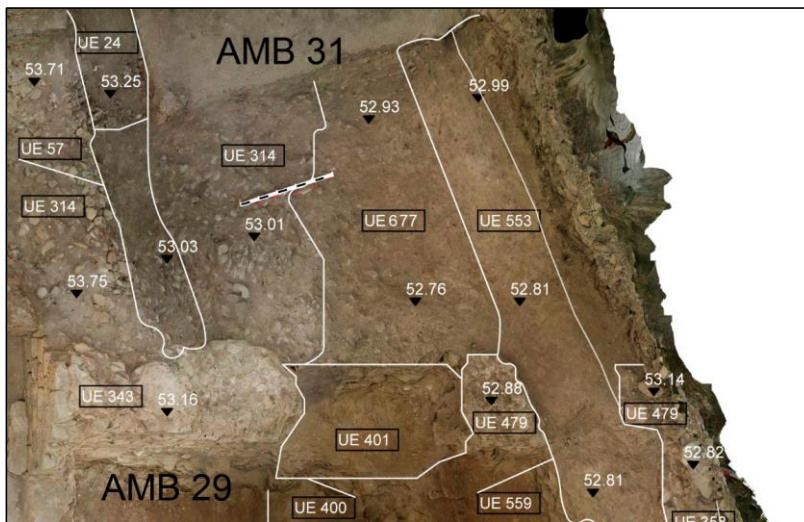


Fig. 76. Planta estratigráfica inicial de Sobre Ambientes 31 y 37

Una vez delimitado el Ambiente 29 su excavación quedó separada de la plataforma que se extiende al N de dicha estancia. Es una zona marcada por su potente perfil N, conformado por escombros de obra y niveles agrícolas. Este perfil ya había sido retirado parcialmente para dejar a la luz el extremo N del Ambiente 29. Gracias a ello y a la excavación de las primeras capas agrícolas logramos documentar los primeros niveles arqueológicos.

La capa superficial del firme, **UE 677**, es una capa de tierra de tonalidad pardo-grisácea y textura granulosa, con presencia de cantos. Está cortada por la acequia **UUEE 559/553**. En el extremo W se encuentra **UE 314**, un talud de piedras y cantos que desciende en sentido E. Esta UE ya fue documentada -al menos parcialmente- en la campaña anterior. Parcialmente cubierta por **UE 677**, está cortada por la acequia **GU 24**.

Proseguimos el desmonte de los niveles de escombros y las capas agrícolas del perfil N, desplazándolo en esta misma dirección, hasta que afloraron los tramos de muro **UUEE 618 y 616**, que marcan los extremos N y W de una estancia. Dado que el lado S queda

compartido con el Ambiente 29 y que el E se pierde más allá de los límites del yacimiento, contábamos con los elementos suficientes para separar al Ambiente 31 del 37 y a intervenir en ellos de forma individualizada.

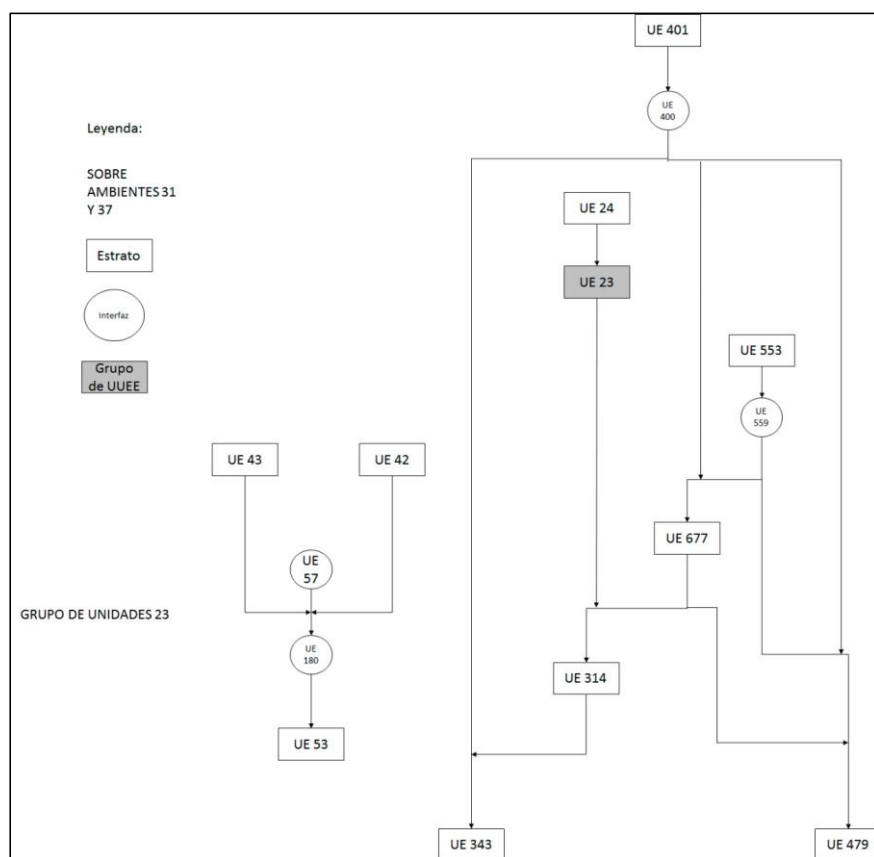


Fig. 77. Diagrama estratigráfico de la excavación realizada en la campaña 2019 en Sobre los Ambientes 31 y 37

3.13. Ambiente 31

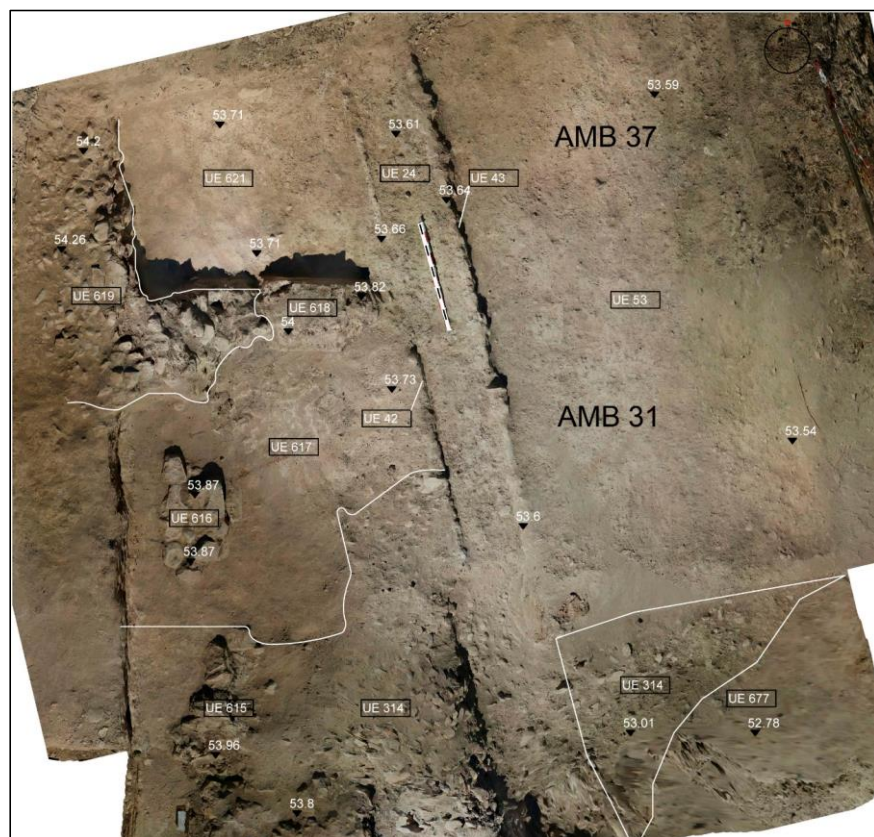


Fig. 78. Planta estratigráfica inicial del Ambiente 31

El avance del perfil hacia el N nos llevó a algunas de las estructuras que constituyen los límites del Ambiente 31. Ya conocíamos su extremo S, compartido con el Ambiente 29 y formado por los muros **UUEE 343 y 479** y con el Ambiente 24 a través del muro **UE 258**, que forma ángulo recto con **UE 343**. El muro **UE 618**, de orientación E-W y construido con sillares trabados con mortero de cal, cierra la estancia por el N. De cerca de 0'5 m de anchura, únicamente hemos podido documentar unos 1'5 m de su trazado. En lo que respecta al extremo W, hemos hallado dos tramos de muro que, por su orientación y composición hemos considerado parte de una misma estructura. Nos referimos al muro **UE 616**, de características constructivas equivalentes a las observadas para **UE 618**. A falta de avanzar más en el proceso de excavación, todo apunta a que el límite E de la

Nuestros siguientes pasos fueron vaciar la colmatación interna de la acequia **GU 23** y retirar los paquetes estratigráficos en los que fue recortada. Este objetivo precisaba la excavación de las **UUEE 23, 53 y 617**.

La extracción del relleno de la acequia **GU 24 -UE 23-** nos llevó a alcanzar su fondo **-UE 57-**, que no es más que el propio firme. Al mismo tiempo, retiramos el suelo agrícola contemporáneo al uso de esta conducción de agua **-UE 53-** para dejar en superficie la capa agrícola previa al canal **-UE 56-**. Esta acción, llevada a cabo al E de la acequia, tuvo su equivalente en el lado opuesto de la misma. Excavamos la capa **UE 617**, hallando un nuevo conjunto estratigráfico. Al W del muro **UE 616** encontramos un nivel de tierra de tonalidad castaña y textura granulosa, que adopta una tendencia horizontal. Es **UE 672**, la nueva capa superficial. Sobre ella se localiza una alineación de 4 ladrillos besales dispuestos en sentido NW-SE. Las dimensiones visibles de esta estructura **-UE 675-** son 1'2 x 0'18 m. Pero tanto **UE 672** como **UE 675** están situadas fuera del Ambiente 31 y, por tanto, serán correctamente atendidas cuando acometamos la excavación del área externa de esta cámara. Por el contrario, una de las UUEE documentadas bajo **UE 617** - **UE 676**- sí se encuentra en el interior del Ambiente 31. Es un estrato de tierra granulosa de tonalidad marrón, con presencia de cantos en su composición.

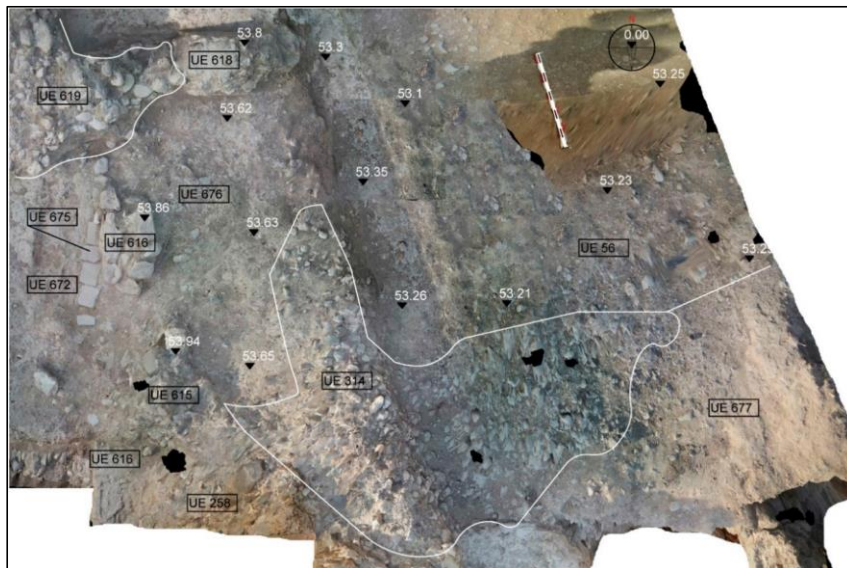


Fig. 80. Planta estratigráfica del Ambiente 31 tras el desmonte de la acequia GU 23

Una vez vaciada la acequia **GU 23** y finalizada su documentación únicamente restaba proceder al desmonte del tramo que atraviesa el Ambiente 31.

La situación resultante de este acto no difería mucho -a nivel estratigráfico- de lo observado anteriormente.

Salvo el nivel de cantos **UE 314**, que tiene presencia a ambos lados del recorrido de la acequia, esta estructura hidráulica separaba paquetes estratigráficos muy distintos.

Proseguimos nuestra intervención del Ambiente 31 acometiendo la excavación de los dos extremos de manera simultánea. En la mitad oriental retiramos los restos del nivel **UE 56**, sobre el que se asentaba la acequia **GU 23**. Bajo ella quedó visible **UE 677**, que ya había sido documentada -al menos parcialmente- en el extremo S del Ambiente 31.

En el lado opuesto de la estancia hicimos lo propio con **UE 676** y, del mismo modo, proseguimos el desmonte del talud de piedras **UE 314**.

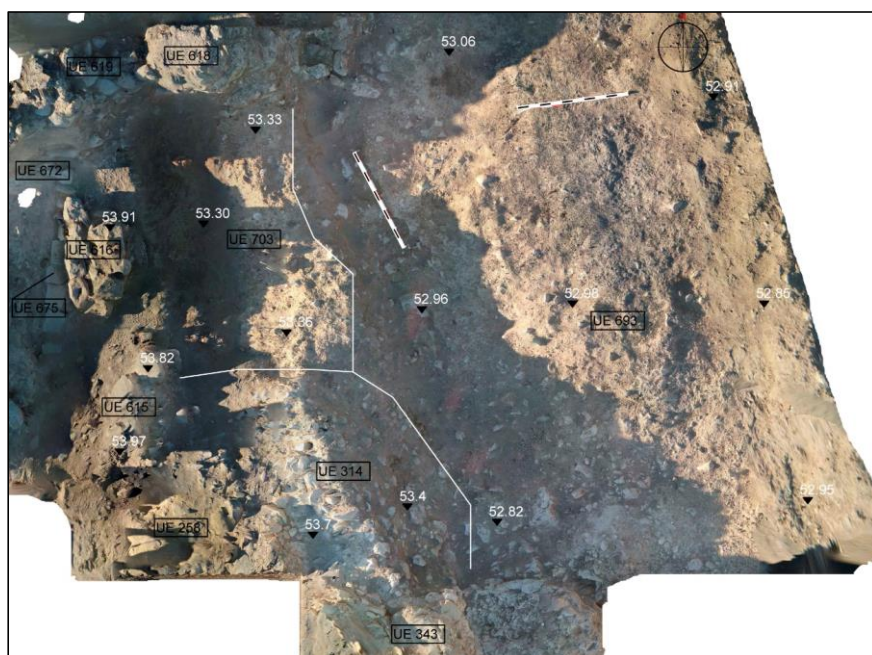


Fig. 81. Planta estratigráfica del Ambiente 31 tras retirar las UUEE 56, 677, 676 y, parcialmente, la UE 314

Estas acciones revelaron una nueva situación estratigráfica:

- **UE 693.** Es un estrato de tierra de tonalidad marrón con presencia de guijarros que se extiende por toda la mitad oriental del Ambiente 31, bajo **UE 677**.
- **UE 703.** Nivel de tierra de tonalidad castaño con presencia de fragmentos cerámicos. Localizado bajo **UE 676**.

Continuamos nuestra excavación con la remoción de otro de los niveles que cubría parcialmente al talud de cantos **UE 314**. Nos referimos a **UE 693**. Su extracción dio como resultado el hallazgo de **UE 704**, una capa de tierra de tonalidad marrón y textura arcillosa con presencia de cantos.

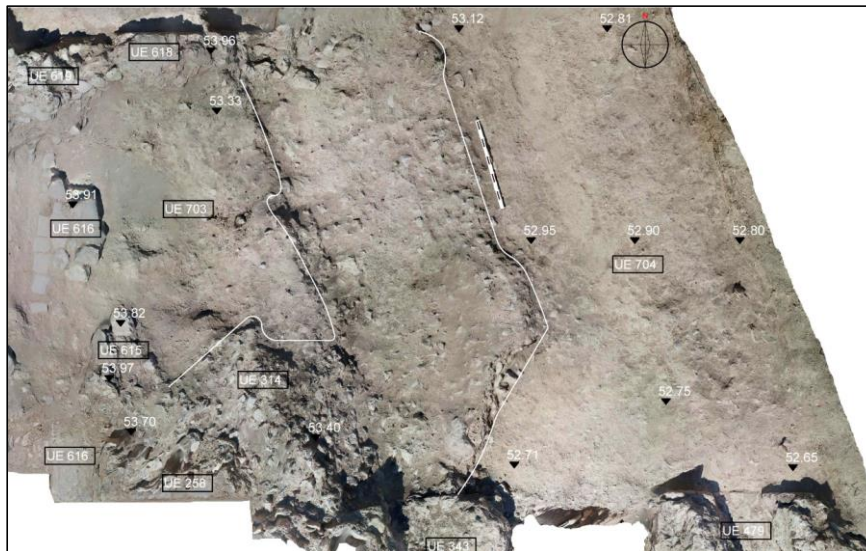


Fig. 82. Planta estratigráfica del Ambiente 31 tras retirar la UE 693



Fig. 83. Planta estratigráfica del Ambiente 31 tras retirar la UE 703 y proseguir con el desmonte de UE 314

Proseguimos con la extracción de las capas más superficiales de la colmatación interna del Ambiente 31 mediante la excavación de **UE 703**, combinada nuevamente con un progresivo y parcial desmonte de **UE 314**. Esta acción nos permitió acceder a una capa de tendencia horizontal situada en el extremo occidental de la estancia, formada por tierra de textura arcillosa con presencia de cenizas que fue registrada como **UE 707**. Al W de la misma, bajo **UE 314**, localizamos la capa **UE 709**, formada por tierra de tonalidad gris-marronácea y una escasa densidad de cantos.

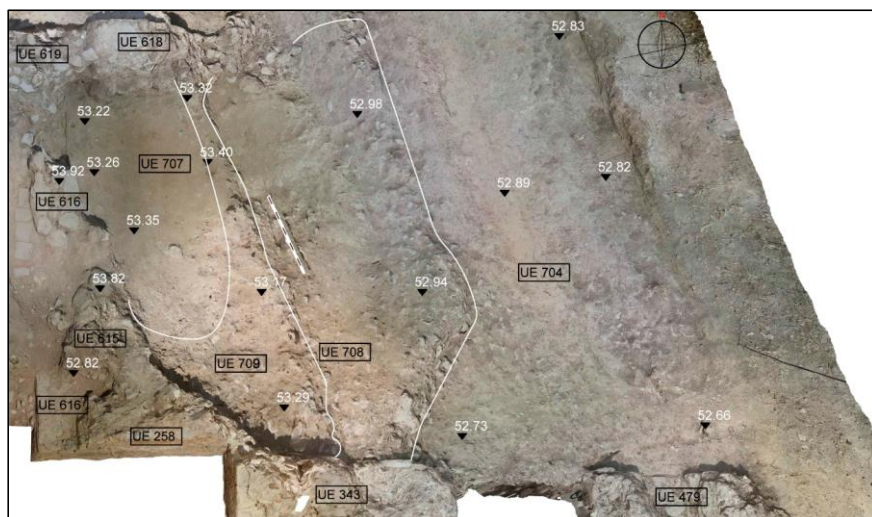


Fig. 84. Planta estratigráfica del Ambiente 31 tras finalizar el desmonte de UE 314

La retirada total del talud de cantos UE 314 dejó visible una mayor parte de la superficie abarcada por las **UUEE 615 y 709**. En este punto detuvimos nuestra intervención en el Ambiente 31 para la campaña 2019, por lo que habrá que esperar a futuras excavaciones para finalizar su exhumación y documentación.

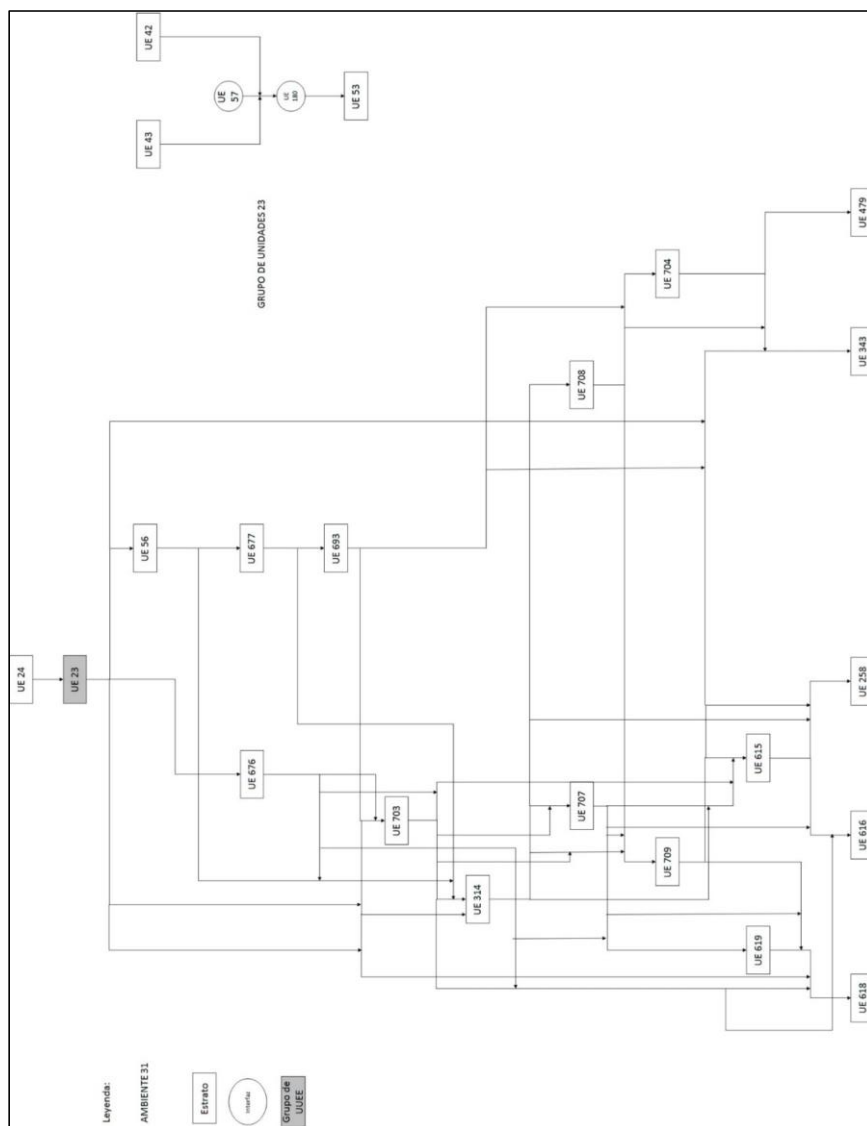


Fig. 85. Diagrama estratigráfico de la excavación realizada en la campaña 2019 en Ambiente

3.14. Ambiente 37

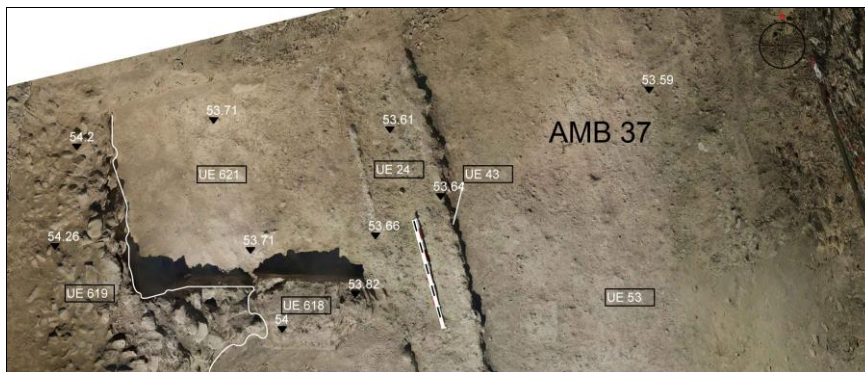


Fig. 86. Planta estratigráfica inicial del Ambiente 37

La identificación de la estructuras que delimitan al Ambiente 31 permitió asimismo separarlo de la estancia contigua al N del mismo. A este espacio se le asignó el Ambiente 37. Únicamente conocemos -y de manera parcial- su límite S, compartido con el Ambiente 31: el muro **UE 618**. En cuanto al límite E, se pierde más allá de la linde del yacimiento. Su extremo N queda oculto bajo el perfil de escombros contemporánea. Del mismo modo, también sería necesario proseguir con la excavación para detectar su extremo W. Ante la falta de datos más concretos no podemos aventurarnos a estimar la superficie de esta cámara.

Tal y como ya ocurría en el Ambiente 31, la acequia **GU 23** surca longitudinalmente este espacio. Al E de la misma se encuentra el nivel agrícola que asociamos a esta conducción de agua -**UE 53**- mientras que, en el lado opuesto, identificamos una nueva capa. Nos referimos a **UE 621**, nivel de tierra de tonalidad anaranjada con presencia de fragmentos de cerámica. Se extiende por toda la superficie comprendida entre la acequia **GU 23**, el perfil N, el muro **UE 618** y un posible derrumbe identificado como **UE 619**. Este paquete cubre parcialmente al muro **UE 618** por su lado W. Formado por tierra de tonalidad marrón y piedras, cuenta en su interior con elementos constructivos destacados, como la basa de columna individualizada como **UE 620**.



Fig. 87. Planta estratigráfica inicial del Ambiente 37

Una vez retiramos el paquete **UE 24** que rellena el interior de la acequia **GU 23**, detuvimos nuestra intervención en este Ambiente. Su delimitación y excavación serán acometidas en futuras campañas.

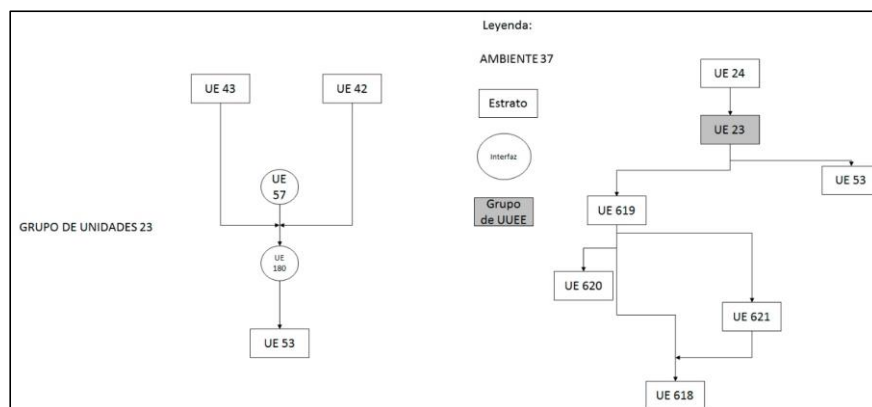


Fig. 88. Diagrama estratigráfico de la excavación realizada en la campaña 2019 en Ambiente

Valoración final del eje central del Sector Oriental

Las campañas de excavación desarrolladas en el eje central del Sector oriental de las termas desde 2017 hasta 2019 sacaron a la luz un circuito termal del que no existía constancia alguna hasta la fecha. Está conformado por una serie de estancias interconectadas entre sí, configurando un recorrido que atraviesa de manera lineal distintas estancias. En el extremo S del circuito se encuentran los Ambientes 25 y 28, descubiertos en 2017.

A través de este último se accede al Ambiente 29, que fue excavado completamente durante las campañas 2018 y 2019. Se trata de una estancia calefactada por medio de un sistema de hipocausto que, al igual que la propia sala, está conectado con los Ambientes 28 y 31 y que, originalmente, es alimentado por un *praefurnium* localizado en el Ambiente 38. Dispone asimismo de un sistema de *concameratio* que permitiría la circulación de aire caliente por el interior de las paredes además de bajo su suelo.

Resulta aventurado proponer qué tipo de estancia termal que fue el Ambiente 29 antes de finalizar la documentación de las cámaras restantes del circuito. Máxime cuando la arqueología muestra que experimentó una profunda reforma asociada a la obliteración de su *praefurnium* tras la cual su hipocausto se mantuvo todavía en funcionamiento.

La presencia de un sistema de *concameratio* en esta sala y, sobre todo, de un *praefurnium*, lleva a pensar que nos encontramos ante un *caldarium*. Es precisamente el hallazgo de este *praefurnium* lo que nos lleva a matizar las impresiones que obtuvimos tras la campaña de 2018, donde se propuso que el Ambiente 29 pudo ser un *tepidarium*. Además de este elemento hay otro indicador que apuntan a identificarlo con un *caldarium*: el Ambiente 28. Recibe aire caliente desde el Ambiente 29 a través de los conductos **UUEE 211, 212 y 213**. La morfología del Ambiente 28 -planta de reducida superficie de tendencia circular con cerramiento superior mediante bóveda- se corresponde con la esperable de un *sudatium*. De ser así, su ubicación resulta coherente con la propuesta del Ambiente 29 como *caldarium*.

Pero hemos de apuntar, sin embargo, que esta propuesta presenta también algunos problemas. Sabemos que al menos el Ambiente 29 se mantuvo en uso como estancia calefactada tras la anulación de su *praefurnium*. Desconocemos si ocurrió lo mismo con

el Ambiente 28. Aunque siguió disponiendo de hipocausto y los canales de aire caliente que lo alimentaban -**UUEE 211, 212 y 213**- siguen operativos, documentamos varias fases de repavimentación que son incompatibles con una función termal. Sin embargo, no podemos datar con precisión en qué momento tuvo lugar esta obra.

En cualquier caso, lo cierto es que si el hipocausto del Ambiente 29 es repavimentado - **UE 655**- y reparado -**UUEE 588 y 591** entre otras *pilae*- tras el tapiado de su *praefurnium*, resulta evidente que los arcos **UUEE 480 y 577** que comunican entre sí a los hipocaustos de los Ambientes 31 y 29, al menos en ese momento, facilitaban la circulación de aire caliente desde el primero al segundo. La hipótesis según la cual el Ambiente 29 fue un *caldarium* en su momento inicial sigue siendo compatible con este hecho. En ese caso, los arcos **UUEE 480 y 577** llevarían aire caliente desde el Ambiente 29 hasta el 31 y posteriormente, tras la pérdida de su *praefurnium* por parte del Ambiente 29, pudo existir algún otro horno que permitiese su calefacción a través del Ambiente 31.

Pero también abre la posibilidad de que la función de estos arcos siempre fuese la de suplir aire caliente al Ambiente 29. De ser así estaríamos ante una situación distinta, en la que esta sala debería ser vista nuevamente como un *tepidarium* aunque, eso sí, surtido de un *praefurnium* propio que sirviese para acelerar su proceso de calefacción mientras que los grandes hornos que alimentan al Ambiente 31 son capaces de generar aire caliente para ambas salas.

Tras el uso inicial del Ambiente 29 y su reestructuración asociada a la anulación del hipocausto detectamos una fase de abandono definitivo del espacio termal, marcado por la ruptura de su pavimento de mosaico mediante la fosa **UE 334**. Tal y como también ocurrió en el Ambiente 28, el hipocausto es usado como un basurero.

En el caso del Ambiente 29 el hipocausto fue rellenado por las **UUEE 456 y 436**. Sin embargo, todo apunta a que previamente a su colmatación tuvo lugar un expolio de material de construcción, en el que se desmontaron buena parte de las *pilae* del ángulo NW de la estancia y se extrajeron parte de las dovelas de los arcos **UUEE 577 y 480**.

Dado que los materiales arqueológicos recuperados en la excavación todavía se encuentran en proceso de estudio no podemos precisar cuándo tuvo lugar la

cancelación del circuito termal. A falta de resultados más concluyentes podemos adelantar que habría que situarlo en un momento temprano de la tardoantigüedad.

En algún momento posterior -aunque todavía dentro de este periodo- se asienta un horno metalúrgico -**UE 562**- directamente sobre el relleno superficial del hipocausto - **UE 568** -, generando un nuevo nivel de ocupación y uso -**UE 565**- asociada a este elemento. Posiblemente sea en esta fase -en la que ya no existe una *concameratio*- cuando se enlucen los muros de la estancia: dichos revoques son incompatibles con un sistema de falsa pared para la circulación de aire caliente. Se trata, en cualquier caso, de un nuevo uso del Ambiente 29 que debemos poner en relación con otras reestructuraciones similares detectadas en distintos puntos del antiguo complejo termal.

Finalmente, tras esta ocupación se produce un largo hiato en el que las capas de derrumbe y las colmataciones naturales ocultan los vestigios arqueológicos. En el siglo XIX esta zona tuvo un uso agrícola, como queda atestiguado por las acequias **UE 559/553** y **GU 23**.

En lo que respecta a los Ambientes 31 y 37, su excavación se encuentra todavía en un estadio inicial. Si bien es cierto que se han alcanzado a documentar restos de estructuras que afloran a la superficie, no lo es menos que todavía no se han retirado los niveles de derrumbe y sedimentación natural.

Aún así, podemos adelantar que el Ambiente 31 era otra estancia del circuito termal: los arcos **UUEE 577** y **480** conectarían su hipocausto con el del Ambiente 29. A pesar de los daños provocados en ambos arcos por la fosa **UE 401**, queda la impronta de un vano que cubría la clave de ambos arcos, coincidiendo con el nivel de suelo del Ambiente 29.

Habrà que esperar a futuras campañas para terminar de definir adecuadamente estos Ambientes.

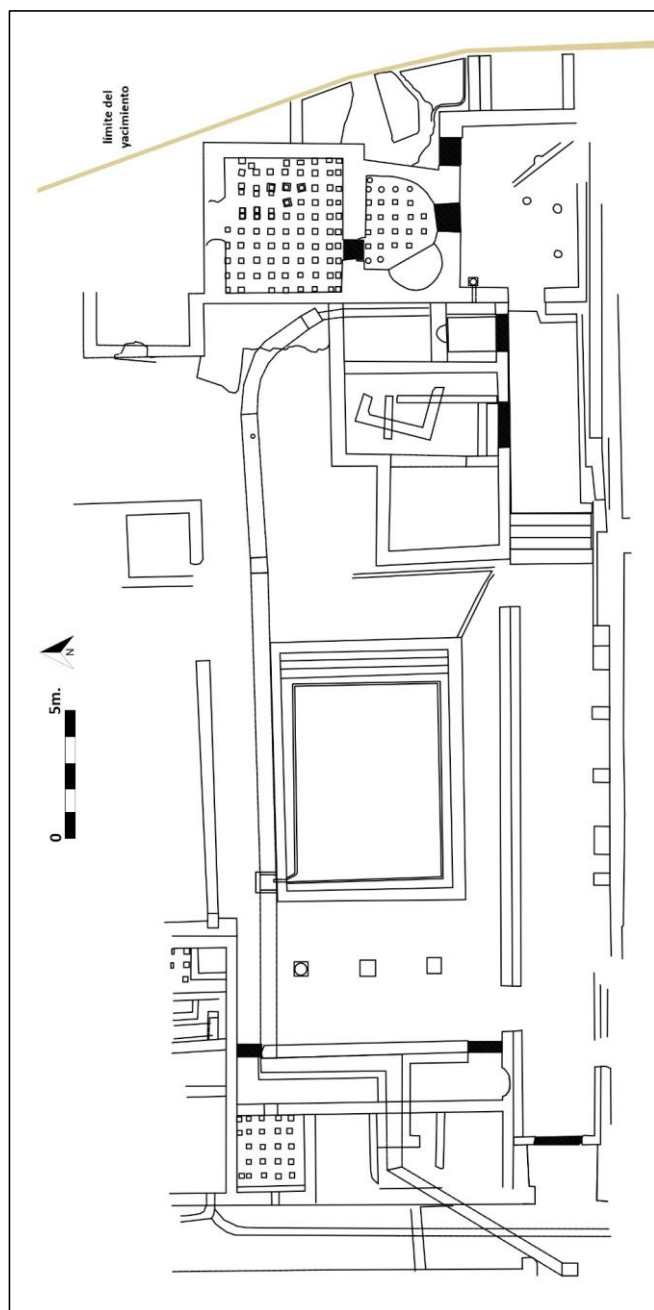


Fig. 89. Planta del Sector 7F al finalizar la Campaña de excavación 2019

3.15. Consolidación de estructuras

El Plan Director realizado en 2017 para el yacimiento marca las pautas de actuación de todos los proyectos desarrollados en La Alcudia. En el caso de las Termas Orientales se recogieron cuatro muestras, dos relacionadas con elementos pétreos presentes en el Sector 7F (muestras 19 y 21), una muestra del revestimiento de la *natatio* (muestra 20) y una muestra del revestimiento del *apodyterium* (Ambiente 5) (muestra 22), apuntándose la existencia de tres grandes grupos de daños:

- Estructurales. Generados a causa de movimientos, por desprendimientos, fracturas, grietas, pérdidas de masa y pérdida de mortero.
- Físico-químicos. Presencia de eflorescencias, arenización, alveolización y burilado o desgaste.
- Biológicos. Presencia de líquenes, hongos, biopátina y plantas fanerógamas.

Atendiendo al capítulo del Plan Director de Planificación de las líneas estratégicas, concretamente en el espacio “Acciones del área de Restauración 2017/2029”, se fija como uno de los objetivos la conservación de bienes muebles e inmuebles del yacimiento. De forma preventiva en las campañas precedentes se han realizado intervenciones puntuales para proteger elementos altamente sensibles, como es el mosaico del Ambiente 1 o el hipocausto aparecido en la excavación del Ambiente 28.

Además de la protección preventiva de las estructuras excavadas durante las campañas 2017-2019 hemos fijado como objetivo tratar de consolidar *in situ* los elementos más expuestos a daños dentro del complejo termal, independientemente de cuándo fueron exhumados. Sin duda alguna, uno de los puntos más sensibles es el conjunto de revestimientos presentes en los paramentos de los Ambientes 4 y 5. Fueron excavados durante las campañas de 1999 a 2002. Al no haber sido protegidos en su momento han experimentado, con el paso de los años, una degradación muy acusada.

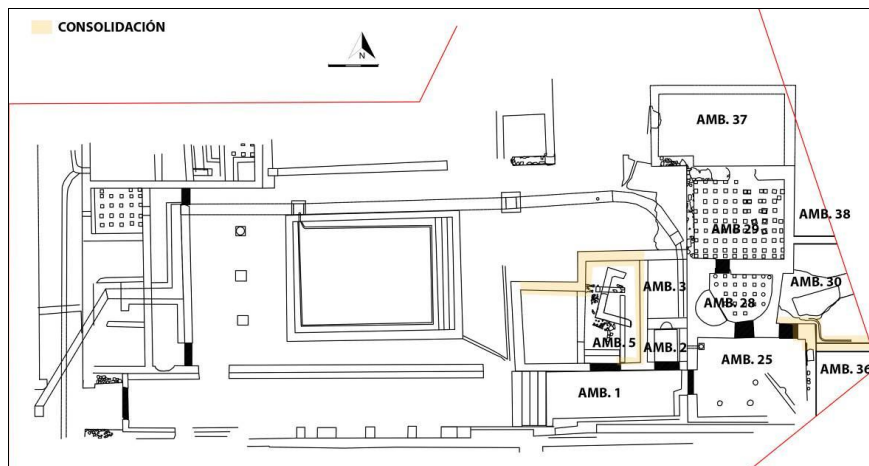


Fig. 90. Indicación de las zonas intervenidas para la consolidación de revestimientos durante la Campaña 2019

Ambiente 5

a. Ubicación.

En la campaña 2019 nos hemos centrado en la consolidación de los revestimientos parietales presentes en los paramentos del Ambiente 5, concretamente en **GU 3089**, muro sur (enlucidos **UE 3056** y **UE 3055**) **GU 3090**, muro este (enlucidos **UE 3047** y **UE 3012**) **GU3091**, muro norte (enlucidos **UE 3036** y **UE 3037**), **GU 3087**, muro oeste (enlucidos **UE 3015**, **UE 3034**, **3035**).

b. Identificación de patologías y sus alteraciones

Las patologías detectadas en los distintos revestimientos presentes en el Ambiente 4 son muy variadas y vienen a recoger todos los problemas señalados en el Plan Director antes mencionado. Así, los daños estructurales más visibles venían derivados de la presencia de distintas fisuras y grietas que habían provocado desprendimientos del revestimiento, lo que hacía que los enlucidos originales fuesen irrecuperables en algunas zonas.

Las grietas habían actuado de dos modos:

- Separación del revestimiento respecto al paramento, encontrando así algunos de estos enlucidos con un nivel de desplome muy acusado en el caso de no haberse desprendido totalmente de su soporte.
- La superposición de distintos revestimientos, reflejo de las fases de reestructuración del espacio termal, han sufrido también un desprendimiento acusado debido a que la aparición de fisuras en las capas exteriores ha acabado arrastrando a las internas.

También hemos podido observar la presencia de agentes físico-químicos como las eflorescencias de sales, que por capilaridad han acabado afectando a la superficie de los enlucidos, separando en algunos casos las distintas capas superpuestas. Del mismo modo, también hemos detectado la arenización de algunos enlucidos, desprendiéndose los fragmentos más expuestos a los efectos de lluvias y erosión eólica.

Finalmente, también se han producido efectos biológicos sobre los enlucidos a causa de cambios de iluminación y condiciones de humedad, con la presencia de biopátina y líquenes.



Fig. 91. Presencia de fisuras en el revestimiento del paramento GU 3087



Fig. 92. Presencia de grieta en el revestimiento y paramento GU 3091



Fig. 93. Presencia de grieta en la parte inferior del revestimiento del paramento GU 3091



Fig. 94. Grieta en el extremo oriental del revestimiento del paramento GU 3091



Fig. 95. Vista frontal del paramento GU 3090, con la presencia de varias patologías



Fig. 96. Desprendimiento de capas superficiales del revestimiento en el paramento GU 3090



Fig. 97. Separación de los revestimientos de su soporte, en la cara oriental del muro GU 3087.



Fig. 98. Eflorescencias de sales en el paramento GU 3091



Fig. 99. Eflorescencia de sales en el paramento GU 3090

- c. Limpieza superficial en seco, mediante brochas, cepillos, etc.

En primer lugar, se procedió a una limpieza en seco de los revestimientos para así comprobar las distintas patologías advertidas durante el primer examen. Esta limpieza se realizó con brochas de cerda fina y cepillos de cerda semirrígida para tratar de afectar en la menor medida posible la superficie de los revestimientos.

La limpieza se ha centrado en varios frentes dentro de los revestimientos comentados:

- En los perímetros de los revestimientos, donde la acumulación de tierra o elementos pétreos aún permanecía adherida desde su excavación;
- En la propia superficie de los revestimientos, presentando diversas problemáticas debido a la morfología de los mismos, detectando hasta tres tipos de superficies:

-Tipo 1. Superficie lisa de color blanco (**UE 3056**);

-Tipo 2. Superficie con roturas sistemáticas producidas de un repiqueado en época antigua para la superposición de otra capa de enlucido (**UE 3055**).

-Tipo 3. Superficie arenosa o granulosa a modo de enfoscado directamente sobre el paramento de mampuesto.



TIPO 1



TIPO 2



TIPO 3

Fig. 100. Tipos de revestimientos presentes en el Ambiente 4-5

La propia morfología de los revestimientos ha requerido distintos modos de proceder con la limpieza, como en el segundo y tercer caso, que presentan una superficie con

recovecos. Éstos han requerido el uso de cepillos con cerda semirrígida e incluso en algunos casos el de espátulas con el fin de eliminar los elementos terrosos adheridos dentro de los repiqueteos.



Fig. 101. Limpieza de los paramentos con cepillo



Fig. 102. Limpieza de los revestimientos con esponja



Fig. 103. Limpieza de las oquedades del paramento con paletín.

d. sellado perimetral

Para frenar el desprendimiento de los revestimientos aún fijos a los paramentos se hacía imprescindible el sellado perimetral. Fue efectuada con mortero de base Biocalce® Piedra. Es un mortero natural certificado, eco-compatible, de cal natural pura NHL 3.5 conforme a la norma EN 459-1, para la ejecución y el llagueado altamente transpirable de muros y fábricas, idóneo para el GreenBuilding y la Restauración Histórica. Contiene solo materias primas de origen estrictamente natural, con reducidas emisiones de CO2 y bajísimas emisiones de COVs, con ventilación natural activa en la dilución de los contaminantes interiores, bacteriostático y fungistático natural.

Tal como viene indicado en la descripción facilitada por el fabricante, el mortero empleado se revelaba como idóneo teniendo en cuenta el estado y ubicación de los revestimientos tratados. Este sellado perimetral evitaría la penetración de agentes externos, como agua o tierra de arrastre, que actuaran de patógeno estructural provocando así una aceleración del desprendimiento del revestimiento.



Fig. 104. Sellado perimetral de los revestimientos.

Así, se procedió a una adición de mortero en los intersticios visibles entre los límites del revestimiento y el paramento de mampuesto, aplicándolo con espátula de forma directa en los espacios comentados. Este sellado también se añadió a la unión entre las distintas capas de revestimiento para frenar así cualquier tipo de pérdida o desprendimiento, manteniendo así la coherencia en la superposición de los enlucidos

e. Sellado de fisuras y grietas

Una vez frenado el deterioro de los bloques de revestimiento mediante la protección de sus bordes procedimos al sellado de las distintas fisuras y grietas detectadas en el examen previo y tras la limpieza inicial.

El objetivo de este sellado es evitar la penetración de agentes patógenos en las pequeñas fisuras presentes y así evitar que éstas acaben generando grandes grietas, evitando en el futuro desprendimiento de los revestimientos. Por otro lado, en el caso de las grietas, su sellado resulta fundamental puesto que así proporcionábamos cohesión a los distintos fragmentos de revestimiento.



Fig. 105. Sellado de fisuras y grietas.

El mortero utilizado de nuevo es Biocalce® Piedra. La adición del mortero se realizado con espátula, aplicando directamente el mortero sobre las grietas y fisuras.



Fig. 106. Sellado de fisuras y protección del revestimiento.

f. Inyectado de mortero

En el caso de las fisuras presentes en algunos revestimientos hemos creído conveniente la instrucción de un mortero de cohesión que permitiese internamente la creación de puentes de unión entre las partes disgregadas. De este modo añadimos un elemento

adicional de cohesión a los revestimientos que permite su fijación interna, así como al paramento de sujeción.

El mortero usado para estos casos es Geocalce de la casa Kerakoll. Se trata de un fluido transpirable estructural de cal natural pura de NHL y Geolegante (Clase M15). Estamos ante un mortero mineral fluido aplicable mediante inyecciones de consolidación. El componente es utilizado para realizar conexiones certificadas de refuerzo estructural, mejoramiento sísmico y adaptación. Contiene solo materias primas de origen estrictamente natural y minerales reciclados, con bajas emisiones de CO2 y muy bajas emisiones de sustancias orgánicas volátiles y con ventilación natural activa en la dilución de contaminantes interiores, bacteriostáticos y fungistáticos natural.



Fig. 107. Adición de mortero para asegurar el fijamiento del revestimiento al paramento antes de su sellado perimetral.

Este fluido fue inyectado en las distintas fisuras detectadas para frenar el deterioro de los revestimientos y cerrar grietas que pudiesen poner en peligro la integridad de los enlucidos ya intervenidos.

Las inyecciones de Geocalce también se ha aplicado en aquellas zonas donde se ha detectado una arenización de la base del enlucido. La afección de la humedad acaba atacando a la parte interna o de sujeción del enlucido con su soporte, ya sea otro revestimiento o el paramento de mampuesto. La disgregación de esta sujeción tiene como consecuencia el desprendimiento de fragmentos de enlucido, puesto que éste pierde el nexo de unión con la superficie de adhesión.

Para suplir la pérdida de preparación en ciertas zonas dañadas se aplicó por inyección Geocalce, creando así una nueva superficie de adhesión a los revestimientos que lo habían perdido.

g. Reintegración de lagunas

Una vez selladas las fisuras y grietas detectadas se procedió a cohesionar los bloques de revestimiento que ya habían perdido elementos o fragmentos. La reintegración de lagunas dentro de los paneles de revestimiento resulta fundamental para frenar drásticamente el avance del deterioro, puesto que resultan “heridas abiertas” que progresivamente se harán más grandes hasta provocar la pérdida total del panel de revestimiento.



Fig. 108. Reintegración de lagunas con mortero

Mientras que en las zonas perimetrales protegíamos el interior del revestimiento mediante la adición de cordones de sujeción, en las zonas internas la creación de lagunas viene a realizar la misma función, aportando un valor adicional de cohesión. Las líneas de fractura, ya sean perimetrales o internas, abren el camino hacia la creación de nuevas fisuras y futuras grietas, por lo que el modo preventivo más aconsejable resulta la creación de lagunas.

Estas lagunas cumplen con los criterios básicos de diferenciación visual respecto al original y reversibilidad. Al igual que realizamos con los sellados, en este caso también utilizamos mortero Biocalce® Piedra.

Tras la creación de estas lagunas se procedió a la aplicación de un enfoscado que evitase la degradación de las zonas reintegradas, suponiendo así un problema adicional a los revestimientos originales. En el caso de estos enfoscados, el material usado es Biocalce® Enfoscado, un enfoscado natural certificado, eco-compatible, de cal natural pura NHL 3.5 conforme a la norma EN 459-1 para el enfoscado altamente transpirable, idóneo para el GreenBuilding y en la Restauración Histórica. Contiene sólo materias primas de origen estrictamente natural, con reducidas emisiones de CO₂ y bajísimas emisiones de COVs y con ventilación natural activa en la dilución de los contaminantes de interior, bacteriostático y fungistático natural.

La aplicación de este mortero se realizó mediante espátula sobre la superficie de las lagunas reintegradas una vez que éstas habían fraguado y endurecido correctamente.

h. Limpieza final

Una vez finalizados los trabajos de sellado y reintegración se procedió a la limpieza y retirada de residuos derivados de los trabajos de consolidación. Este proceso de limpieza se llevó a cabo siempre con la aplicación mediante esponja de una solución con base de agua desionizada y alcohol.



Fig. 109. Aplicación de agua desionizada para la limpieza final



Fig. 110. Limpieza final de las superficies consolidadas con esponja



Fig. 111. Vista de los revestimientos en los muros GU 3087, 3091 y 3090 tras su consolidación



Fig. 112. Vista de los revestimientos en los muros GU 3090

Ambiente 30

Tal como se ha descrito durante el proceso de excavación del Ambiente 30, concretamente en su extremo sur, se han conservado los revestimientos parietales de los bancos **UE 570** y **UE 576**. Ambos revestimientos, de color blanco, parecían cubrir la totalidad del alzado de dichos bancos, similares en aspecto a los documentados en los Ambientes 4 y 5.

Tras su aparición detectamos varias patologías que, *a priori*, ponían en serio peligro su conservación, de ahí que decidiésemos realizar una intervención preventiva antes de su cubrición al finalizar la campaña.

Las patologías presentes en el revestimiento son de tres tipos:

- Separación de paramento de sujeción.
- Presencia de fisuras y grietas.
- Pérdida de fragmentos del revestimiento



Fig. 113. Vista frontal del paramento UE 570 donde se pueden observar las distintas patologías descritas en los revestimientos

De este modo, se procedió a atajar los problemas descritos con una intervención puntual que se centró en el sellado del perímetro de los revestimientos, realizando inicialmente una inyección de mortero Geocalce de la casa Kerakoll. Se realizó una introducción pausada del mortero en los espacios de abertura superior para que, por gravedad, el mortero inyectado fuese penetrando y ajustándose al espacio existente entre el revestimiento y el muro. Una vez inyectado el mortero se realizó un sellado mediante cordón en la zona perimetral.



Fig. 114. Inyección de mortero a través de la zona perimetral para reforzar la cohesión del revestimiento con el paramento de sujeción

La segunda de las intervenciones se centró en las fisuras, grietas y lagunas, realizando una adición de mortero Biocalce® Piedra, aplicándose sobre las zonas agrietadas con paletín y espátulas. Esta intervención se centró en poner freno al deterioro de los revestimientos previamente a su cubrición.



Fig. 115. Aspecto final de los revestimientos tras su sellado preventivo

3.16. Cubrición

Al finalizar los trabajos de excavación y consolidación realizados durante la campaña 2019 acometimos la protección de dos zonas con alto riesgo de deterioro: los Ambientes 4 y 5 y el nuevo hipocausto excavado en el Ambiente 29.



Figura 116. Protección del Ambiente 5

Tras los trabajos de excavación y consolidación de los revestimientos del Ambiente 5 se procedió a rellenar con tierra hasta nivel de paso, previa indicación con geotextil de la cota inferior excavada. De este modo, la terrera acumulada en el Ambiente 4 se vertió de nuevo en el Ambiente 5 para finalmente regularizar un nivel de paso a una cota similar en ambos ambientes.

Por otro lado, la protección del Ambiente 29 resultaba algo más compleja puesto que nos era absolutamente imposible rellenar de nuevo el hipocausto, de ahí que se idease una estructura provisional que protegiese la zona bajo el nivel de paso. Para ello se realizaron una serie de bases de hormigón contenidas en recipientes plásticos con unas varillas de hierro. Sobre esta base se colocó una estructura que mantuviese una malla metálica a la altura de la cota superior de los muros. La malla se forró con geotextil y,

sobre ella, se colocó una lámina de poliuretano negro. Finalmente, para evitar que el viento levantara las láminas finales se vertió grava para ejercer un contrapeso.



Figura 117. Cubrición del Ambiente 29. Estructura metálica provisional



Figura 118. Cubrición del Ambiente 29. Cobertura con geotextil



Figura 119. Cubrición del Ambiente 29. Protección del geotextil con lámina de poliuretano negro

Además, también se procedió a la reposición del vallado mediante una valla de torsión que delimitase el yacimiento en su lado este, manteniendo las crucetas originales y evitar así realizar una remoción de tierras en la zona cercana al yacimiento.

4. Listado de UUEE

UE	AMBIENTE	TIPO	DESCRIPCIÓN
2017			
1	-	Estrato	Capa superficial presente en todo el yacimiento
2	24B	Estrato	Estrato al E. del muro UE 4, bajo UE 1
3	24A	Estrato	Estrato al W. del muro UE 4, bajo UE 1
4	24A/24B	Muro	Muro de orientación N-S que divide en dos al Amb 24
5	24B	Estrato	Relleno del basurero que recorta la fosa UE 8 en la UE 2
6	Sobre 25	Interfaz	Fosa en forma de cono invertido que recorta a los Amb. 1, 25 y 28
7	24A	Estrato	Posible fosa cubierta por UE 3 al NW del muro UE 4
8	24B	Interfaz	Fosa que recorta a la UE 2, rellena por UE 5
9	24A	Estrato	Derrumbe que se apoya en UE 3, al NW del muro UE 4
10	27W	Estrato	Amontonamiento de piedras con alineación N-S bajo UE 1
11	27W	Estrato	Estrato horizontal ¿pavimento? bajo UE 1
12	27W	Estructura	Pavimento de mortero ¿o. signinum? Bajo UE 11, roto al N por fosa UE 15
13	27W	Estructura	Pavimento equivalente a UE 12, roto al S por fosa UE 15
14	27W	Estructura	Pavimento por definir bajo UUEE 12 y 13
15	27W	Interfaz	Fosa que parece romper los pavimentos UUEE 12 y 13. Rellena por UE 16
16	27W	Estrato	Relleno de la fosa UE 15
17	27W	Estrato	Estrato de tierra marrón claro bajo UE 1, en la zona E del corte
18	27W	Estrato	Estrato de tierra negra muy suelta bajo UE 1, en la zona E del corte
19	24A	Estrato	Estrato gris que forma la capa superior del relleno de la fosa de UE 36
20	24A	Estrato	Nivel de ceniza que rellena a la fosa de UE 36
21	24A	Estrato	Relleno de la fosa de UE 22
22	24A	Interfaz	Fosa realizada contra el muro UE 4, rellena por UE 21
23	Sobre 25	Grupo UUEE	Canal dirección N-S, ligeramente curvado. Posible acequia siglo XIX. Cortada por fosa UE 6
24	Sobre 25	Estrato	Relleno del tramo de acequia del G.U. 23
25	Sobre 25	Estructura	Estructura de piedras al E de la acequia UE 23. Posible brocal
26	Sobre 25	Estructura	Estrato de tendencia horizontal, compacto, situado en la parte E del corte. Posible pavimento
27	27W	Estrato	Estrato de tierra anaranjada que cubre a la UE 11
28	27W	Muro	Muro con orientación N-S bajo UE 1
29	27W	Muro	Muro con orientación N-S, paralelo al E de UE 28
30	27W	Muro	Muro de orientación E-W que hace esquina al W con el muro UE 28
31	27W	Interfaz	Fosa-recorte en la UE 17, rellena por la UE 18

32	27W	Estrato	Estrato de tierra marrón oscuro/negro que rellena una pequeña fosa circular (UE 34). Cubierta por UE 17
34	27W	Interfaz	Fosa-recorte circular relleno por UE 33. Recorta a UE 32
35	Sobre 25	Estrato	Relleno de la fosa UE 6
36	24A	Interfaz	Fosa que recorta a UE 3, rellena por 20
37	Sobre 25	Estructura	Extremo S del partidor E de la acequia de G. U. 23
38	Sobre 25	Estructura	Extremo N del partidor E de la acequia de G. U. 23
39	Sobre 25	Estructura	Fondo del partidor E de la acequia de G.U. 23
40	Sobre 25	Estructura	Extremo W del partidor S de la acequia de G.U. 23
41	Sobre 25	Estructura	Fondo del partidor S de la acequia de G.U. 23
42	Sobre 25	Estructura	Muro W de la acequia de G.U. 23
43	Sobre 25	Estructura	Muro E de la acequia de G.U. 23, que llega hasta el extremo del partidor UE 38
44	Sobre 25	Estructura	Resto de muro que continúa otro ramal de la acequia de G.U. 23, a continuación de UE 37
45	Sobre 25	Estructura	Resto de muro que continúa otro ramal de la acequia de G.U. 23, a continuación de UE 38
46	Sobre 25	Estructura	Tramo de muro de la acequia de G.U. 23 que continúa al muro UE 43 tras la UE 37
47	Sobre 25	Estructura	Tramo de muro de la acequia de G.U. 23 al S del partidor UE 40
48	27W	Estrato	Estrato de tierra marrón pardo, recortado por la fosa UE 31 y cubierto por la UE 17
49	24A	Estrato	Estrato gris con piedras y cerámica. Igualado a UE 20
50	Sobre 25	Estrato	Estrato ceniciento de tendencia horizontal bajo pavimento UE 26
51	Sobre 25	Estructura	Estructura cuadrangular realizada con piedras irregulares, sobre UE 52
52	Sobre 25	Estrato	Estrato de cal disgregada, de tendencia horizontal, sobre UE 50
53	Sobre 25	Estrato	Nivel de tierra de cultivo que colmata todo el corte. Recortado por fosa UE 6
54	24A	Estrato	Estrato gris arcilloso con piedras, bajo UE 20. Relleno fosa
55	24A	Estrato	Estrato arcilloso verde cortado por UE 36 (fin de la fosa)
56	Sobre 25	Estrato	Estrato con gravas bajo UUEE 35 y 53. Ocupa todo el corte
57	Sobre 25	Interfaz	Recorte sobre UE 56 para encajar el canal de G.U. 23
58	27W	Estrato	Estrato de tierra marrón amarillenta bajo UE 11, rellenando a UE 59
59	27W	Interfaz	Recorte en el pavimento UE 11, relleno por UE 58
60	28	Estrato	Acumulación de piedras contra muro UE 3304. Posible derrumbe del mismo
61	Sobre 25	Interfaz	Recorte en UE 56 para hincar el partidor UE 37
62	Sobre 25	Interfaz	Recorte en UE 56 para hincar el partidor UE 38
63	Sobre 25	Interfaz	Recorte en UE 56 para hincar el partidor UE 40
64	28	Interfaz	Recorte practicado en la parte superior del muro UE 3304, destruyendo parte de la exedra
65	28	Interfaz	Relleno del recorte UE 64
66	25	Estrato	Acumulación de piedras ¿derrumbe? que se apoya en el muro UE 67

67	25/28	Muro	Muro orientación W-E que traba con UE 3304 y separa a los Amb 25 y 28. Su cara interna (Amb 28) traza un recorrido curvo
68	28	Estrato	Estrato grisáceo con abundante presencia de material constructivo
69	29	Estrato	Estrato grisáceo con presencia de escoria de metal
70	25	Estrato	Estrato arenoso (mortero disgregado) que continúa hacia el E el recorrido del muro UE 67
71	28	Estrato	Acumulación de paleocharcos, dentro de la exedra. Se apoya en 60 y en 68
72	29	Estrato	Estrato de tierra naranja, con presencia de ladrillo y adobes
73	29	Estructura	Pilar (jamba) que sobresale del muro UE 3304 en dirección E-W
74	11W	Muro	Muro W de posible canalización
75	24B	Estrato	Capa de tierra y restos cerámicos, cenizas y material de construcción rellenando fosa UE 8, bajo UE 5
76	Sobre 25	Estrato	Estrato de cal muy disgregada. Situado entre pavimento UE 26, acequia de G.U. 23 y la UE 52. Sobre UE 53
77	28	Estructura	Enlucido que reviste la cara externa del muro de UE 3304
78	11W	Muro	Muro E de posible canalización
79	11W	Estrato	Relleno entre las UUEE 74 y 78
80	11W	Estrato	Capa de tierra de tonalidad oscura y suelta al W de UE 74
81	11W	Estrato	Estrato de tierra gris oscuro en la zona SE del corte. Posible relleno de fosa
82	11W	Estrato	Estrato de tierra gris oscura en la zona NE del corte. Posible relleno de fosa
83	11W	Muro	Muro de mampostería en piedra caliza, situado al N-NE del corte
84	11W	Estrato	Estrato de tierra gris, compactada y con piedras
85	29	Estructura	Nivel de tierra y acumulación de fragmentos de enlucido parietal
86	25	Estrato	Acumulación de mortero disgregado y de fragmentos de estuco bajo UE 94
87	28	Estructura	Enlucido de estuco en la cara del muro UE 67, hacia el vano
88	28	Estructura	Enlucido de estuco en la cara del muro 89, hacia el vano
89	25/28	Muro	Muro bajo UE 70 que conforma el extremo E del Amb 28. Un tramo continúa el recorrido E-W del muro 67 antes de hacer ángulo en dirección N-S
90	28	Estrato	Estrato de mortero disgregado y revuelto sobre el muro 89
91	25	Estrato	Derrumbe de mortero bajo UE 68 y al NE del muro 3304
92	25	Estructura	Enlucido de estuco en el muro UE 3304 en el ángulo con el muro UE 67
93	25	Estructura	Enlucido de estuco sobre el muro UE 67 en el ángulo con el muro UE 3304
94	25	Estrato	Estrato ataludado cortado por fosa UE 6. Bajo UE 56. Posible derrumbe
95	25	Estrato	Nivel de derrumbe apoyado contra el muro UE 67

96	11W	Estrato	Estrato de tierra marrón claro, bajo UE 82, rellenando a la fosa UE 97
97	11W	Estrato	Fosa rellena por UE 96 y 82
98	29	Interfaz	Fosa que recorta a la UE 72
99	29	Estrato	Relleno de la fosa UE 98
100	29	Interfaz	Interfaz que recorta la UE 85 y rellenada por UE 69
101	11W	Estrato	Estrato de tierra marrón grisáceo bajo UE 1 en la zona SE del corte
102	25	Estrato	Estrato de tierra amarillenta y arenosa, con gran cantidad de enlucidos, bajo UE 94
105	11W	Estrato	Estrato de tierra marrón amarillenta en el fondo de la fosa UE 106
106	11W	Estrato	Recorte-fosa de tendencia ovalada relleno por la UE 81
107	3/4/5	Estrato	Estrato que cubre la cresta de los muros UUEE 3008, 3003 y 3001. Compuesto por tierra suelta de color castaño y piedras de pequeño tamaño
108	5	Estrato	Estrato de tierra anaranjada apelmazada sobre muro UE 3001. Cubre a UE 117
109	28	Estrato	Acumulación de piedras que se apoya en la cara W de UE 74
110	24A	Estrato	Tierra compacta amarillenta sin fragmentos cerámicos. Bajo UE 3
111	24A	Interfaz	Fosa que recorta a UE 110 para apoyar o cimentar muro UE 4
112	30	Estrato	Nivel de tierra parduzca sin material arqueológico que se apoya en la cara E de la UE 89
113	28/29	Muro	Muro dirección E-W que separa los Amb 28 y 29
114	29	Estrato	Nivel de tierra bajo UE 85 y contra la cara N del muro UE 113
115	28	Estrato	Cúmulo de piedras apoyado en la cara S del muro UE 113
116	25	Estrato	Nivel de tierra con material de construcción que colmata el Amb 25, bajo UE 102
117	5	Estrato	Estrato compacto de tierra color castaño con piedras de pequeño tamaño bajo UE 108
118	28	Estrato	Estrato de tendencia horizontal bajo UE 68
119	24B	Estrato	Estrato de tierra bajo UE 5 que se apoya en UE 75, en el interior de la fosa UE 8
120	11W	Estructura	Nivel de pavimentación
121	11W	Estructura	Nivel de pavimento bajo UE 120
122	25	Estrato	Estrato compacto de tonalidad anaranjada en el extremo N que apoya contra el muro UE 67 bajo UE 95
123	29N	Estrato	Colmatación de piedras al N del muro UE 3304
124	11W	Estrato	Estrato de tierra marrón anaranjada bajo UE 122 y UE 184
125	29N	Estrato	Estrato de tierra marrón (zahorra) bajo UE 123
126	29N	Estrato	Tierra de tonalidad cenicienta que rellena a UE 128
127	29N	Estrato	Nivel de tierra, gravas y mortero disgregado recortado por UE 128. Bajo UE 123
128	29N	Interfaz	Fosa que recorta a UUEE 125, 127 y 144
129	29N	Muro	Muro adosado al muro UE 3304. Posible hornacina
130	25	Estructura	Pavimento del Amb 25, bajo UE 116

131	25	Estructura	Media caña hidráulica en el extremo SW del Amb 25
132	25	Estructura	Media caña hidráulica en el extremo NW del Amb 25
133	25	Estructura	Media caña hidráulica en el extremo N del Amb 25, adosada a la UE 67
134	25	Estructura	Posible escalón de acceso al Amb 28 desde el Amb 25, bajo el umbral UE 135
135	25	Estructura	Umbral que comunica al Amb 25 con el 28. Cubierto por UE 66 y sobre UE 134
136	25	Interfaz	Fosa que recorta a UE 130 en el extremo N del Amb 25. Rellena por UE 122
137	25S	Estrato	Tierra anaranjada con escaso material arqueológico que cubre al muro que delimita el extremo S del Amb 25
138	28	Estructura	Enlucidos que revisten la cara W del muro UE 89
139	29	Interfaz	Interfaz que recorta a la UE 114. Relleno por UE 140. Al N del muro UE 113
140	29	Estrato	Relleno de la interfaz 139. Apoya contra el muro UE 113 por el N
141	28	Interfaz	Recorte practicado a la UE 118, relleno por UE 115. Al S del muro UE 113
142	28/29	Estrato	Estrato de tierra que colmata el extremo W de la fosa de UE 139/141
143	29N	Estrato	Nivel compuesto por tierra grisácea de textura arcillosa, con fragmentos de ladrillo y de estuco
144	29N	Muro	3304
145	29N	Estrato	Nivel de textura arenosa
146	24B	Estrato	Estrato de adobes compactados bajo UUEE 75 y 119
147	25	Estructura	Base de piedra con perforación vertical. En el extremo NW del Amb 25
148	25	Estrato	Relleno de la UE 147
149	25	Estrato	Estrato que colmata la fosa UE 150, en el ángulo NE del Amb 25
150	25	Interfaz	Recorte practicado en el ángulo NE del Amb 25, en el pavimento UE 130
151	25	Estructura	Canal construido en el pavimento UE 130
152	25	Estrato	Relleno del canal UE 151
153	25	Estrato	Estrato en talud que desciende en sentido N-S, de tonalidad amarillenta, que cubre parcialmente al pavimento UE 130 y se apoya en el muro UE 189
154	25	Estrato	Estrato en talud que desciende en sentido S-N, formado por tierra y piedras. Cubre parcialmente al pavimento UE 130 y se apoya en la cara N del muro UE 209
155	25	Estructura	Media caña hidráulica con orientación W-E que delimita el extremo S del Amb. 25
156	25	Estructura	Estructura circular sobre el pavimento UE 130. Conectada al canal UE 152. Posible base original del <i>labrum</i>
157	25	Estructura	Canal que une la estructura circular UE 156 con la toma de agua UE 147. Construido en pavimento UE 130
158	28	Estrato	Estrato de tendencia horizontal bajo UE 118. Cubre parcialmente a UE 160. Posible nivel de paso
159	28	Estructura	Media caña hidráulica que bordea la exedra del muro UE 3304

160	28	Estructura	Resto de pavimento de o. <i>signinum</i> bajo UUEE 118 y 158
161	25	Estructura	Estructura circular sobre pavimento UE 130. Posible segunda ubicación del <i>labrum</i>
162	28	Estrato	Nivel de tendencia horizontal bajo UE 158
163	28	Estructura	Nivel horizontal de o. <i>signinum</i> entre muros UUEE 73 y 113 (vano)
164	28	Estructura	Losas bajo UE 163, entre muros UUEE 73 y 113 (vano)
165	25	Elemento	Fragmentos de pavimento que forman parte del vertido UE 116
166	11W	Estrato	Nivel de pavimento formado por abundante cal amarillenta, pequeñas piedras y cerámica
167	2	Interfaz	Interfaz que marca el límite de las excavaciones Ramos
168	2	Estrato	Estrato de tendencia horizontal en el canal al W del Amb. 2
169	11W	Estrato	Estrato de tierra gris que rellena una zanja que recorta el corte en dirección N-S
170	11W	Estrato	Zanja longitudinal que cruza el corte en dirección N-S, rellena por UE 169
171	11W	Estrato	Estrato de tierra gris que rellena una pequeña zanja en la zona N del corte, rompiendo el pavimento UE 121
172	11W	Estrato	Zanja que vemos parcialmente en la zona N del corte, rompiendo UE 121 y rellena por UE 171
173	25	Elemento	Restos humanos dentro de la UE 193, sobre el canal que delimita el extremo S del Amb. 25
175	28E	Estrato	Acumulación de tierra y piedras entre la cara E del muro UE 89 y el límite del corte, bajo UE 53. Se le apoya UE 112
176	4	Estrato	Relleno de la interfaz UE 177. Excavaciones de las campañas Ramos
177	4	Interfaz	Interfaz realizada en las excavaciones de las campañas Ramos
178	4	Estructura	Cimentación del muro S del G.U. 3007, sobre UE 206
179	4	Estrato	Estrato de tierra anaranjada junto a los muros UUEE 3008 y 3003, al N del Amb. 4
180	25	Interfaz	Recorte practicado en la UE 53 con el fin de instalar la acequia de UE 23.
181	4	Muro	Muro bajo el muro UE 185
182	11W	Estrato	Estrato de tierra marrón pardo con abundante material de construcción, bajo UUEE 101 y 84
183	11W	Estrato	Estrato de tierra marrón oscuro, poco compacta, bajo UE 166 (su preparación)
184	11W	Estrato	Estrato de tierra marrón oscuro tendente al negro, bajo UUEE 182 y 183
185	4	Muro	Muro de orientación N-S sobre muro UE 181, al E del Amb. 4
186	4	Muro	Muro de orientación W-E al N del Amb. 4 ¿trabado? al muro UE 185
187	25	Estructura	Media caña hidráulica que delimita el extremo NE del Amb. 25. Se adosa al muro UE 193
188	25	Estructura	Media caña hidráulica que delimita el extremo E del Amb. 25. Se adosa a UUEE 189, 190 y 191

189	25	Estructura	Muro de orientación N-S que delimita el Amb. 25 en su extremo E
190	25	Estructura	Revestimiento de ladrillo sobre la cara externa del muro UE 189, en el extremo E del Amb. 25. Se adosa a UE 191
191	25	Estructura	Revestimiento de mármol sobre la cara externa del muro UE 189, en el extremo E del Amb. 25. Se le adosa UE 190
192	25/28	Muro	Muro de orientación E-W al E del vano UE 135. Cubierto por muro UE 89
193	25	Estrato	Relleno de la interfaz UE 194, en cuyo interior se encuentran los restos humanos UE 173
194	25	Interfaz	Fosa bajo UE 116 que recorta a UE 154. Rellena por UE 193
195	25	Estrato	Relleno del canal que conforman las UUEE 209 y 3213
196	28	Estrato	Estrato de tendencia ataludada que desciende en sentido E-W, de tonalidad amarillenta y textura granulosa. Bajo UE 162
197	28	Interfaz	Recorte en el Amb. 28 que rompe el mosaico
198	28	Estructura	Pavimento de mosaico cortado por la interfaz UE 197
199	28	Estrato	Nivel de cantos bajo UE 162 y sobre mosaico UE 198, junto al vano UE 135
200	4	Estructura	Estructura de tendencia horizontal realizada con cantos rodados. Al E del Amb. 4, bajo el muro UE 181
201	4	Muro	Muro de orientación NW-SE bajo la UE 176, al E del Amb. 4 y bajo el muro UE 185
202	28	Estrato	Tierra cenicienta con huesos que rellena la fosa UE 197. Bajo UE 162
203	28	Estructura	Mosaico bajo UE 199, en el extremo W del Amb. 28. Cortado por UE 197
204	4	Estrato	Estrato de tierra apelmazada de tonalidad castaño oscuro. Situada entre los muros UUEE 181 (E), 201 (N) y 3006 (S). Relleno de la interfaz 177, bajo UE 176
205	4	Estructura	Cimentación del muro N del G.U. 3007, bajo el alzado de <i>o. africanum</i>
206	4	Estrato	Estrato castaño con inclusiones de cal bajo la cimentación de UE 206
207	4	Estrato	Estrato de tierra castaña, apelmazada y compacta, bajo UE 206
208	4	Muro	Muro bajo el muro UE 181 ¿fundación?
209	25	Muro	Muro de orientación N-S que recrece la media caña UE 155 para formar un canal
210	28	Estrato	Estrato compacto de tonalidad marrón. Situado en el ángulo NE del Amb. 28
211	28/29	Estructura	Orificio cuadrangular en el extremo W del muro UE 113
212	28/29	Estructura	Orificio cuadrangular en la parte central del muro UE 113
213	28/29	Estructura	Orificio cuadrangular en la parte E del muro UE 113
214	4	Estrato	Estrato de cal al N del Amb. 4, junto a los muros UUEE 215 y 179
215	4	Estructura	Estructura de cantos rodados de tendencia horizontal al N del Amb. 4, junto a los muros UUEE 186 y 179
216	4	Estructura	Acumulación de piedras al E del Amb. 4, junto a la fundación UE 180

217	4	Muro	Muro de orientación NW-SE al N del Amb. 4. Traba con el muro UE 218
218	4	Muro	Muro de orientación NE-SW al N del Amb. 4. Traba con el muro UE 217
219	11W	Estrato	Pavimento de tierra marrón con pequeños cantos rodados y fragmentos de cerámica bajo UUEE 184 y 185
220	28	Estructura	Restos de pavimento de <i>o. signinum</i> sobre el pavimento anterior (UE 160)
221	28	Estrato	Estrato con abundante presencia de teselas bajo UE 196
222	28	Interfaz	Pequeña fosa sin material y de escasa profundidad que corta a UE 221
223	28	Estrato	Relleno de la fosa UE 222, compuesto por tierra arcillosa de tonalidad marrón oscuro
224	11W	Estrato	Estrato de tierra marrón anaranjado bajo el pavimento UE 219
225	4	Estrato	Estrato de tendencia horizontal junto a los muros UUEE 217 y 218. Sobre UE 226
226	4	Estructura	Posible pavimento al NE del Amb. 4, entre los muros UUEE 217, 218 y 227
227	5	Muro	Muro de orientación NE-SW bajo UE 176, al E del Amb. 4
228	4	Muro	Continuación del muro UE 217 a partir de su extremo E
229	4	Estructura	Estructura horizontal de orientación W-E bajo muro UE 186
230	4	Estructura	Media caña de orientación NE-SW que se adosa a muro UE 218
231	4	Estructura	Media caña de orientación NE-SW que se adosa al muro UE 227
232	4	Estructura	Media caña adosada a los muros UUEE 217 y 228
233	4	Estrato	Acumulación de piedras junto al muro UE 217, al N
234	4	Estrato	Estrato de tendencia horizontal bajo UE 176. Compuesto por tierra castaña clara de tonalidad arcillosa, en la esquina NE del Amb. 4
235	24B	Estrato	Estrato de tierra arcillosa con gran cantidad de materiales arqueológicos (cerámica, fauna, malacofauna...) bajo UE 5
236	28	Estructura	Pila de hipocausto en posición B4. Ladrillos circulares
237	28	Estructura	Pila de hipocausto en posición B2. Ladrillos circulares
238	28	Estructura	Pila de hipocausto en posición C5. Ladrillos cuadrados
239	28	Estructura	Pila de hipocausto en posición C4. Ladrillos cuadrados
240	28	Estructura	Pila de hipocausto en posición C3. Ladrillos cuadrados
241	28	Estructura	Pila de hipocausto en posición C1. Ladrillos cuadrados
242	28	Estructura	Pila de hipocausto en posición D5. Ladrillos cuadrados
243	28	Estructura	Pila de hipocausto en posición D3. Ladrillos cuadrados
244	28	Estructura	Pila de hipocausto en posición E5. Ladrillos cuadrados
245	28	Estructura	Pila de hipocausto en posición E4. Ladrillos cuadrados
246	28	Estructura	Pila de hipocausto en posición E3. Ladrillos cuadrados
247	28	Estructura	Pila de hipocausto en posición E3. Ladrillos cuadrados
248	28	Estructura	Pila de hipocausto en posición E4. Ladrillos cuadrados
249	28	Estructura	Pila de hipocausto en posición E5. Ladrillos cuadrados

250	28	Estructura	Estructura cuadrangular de <i>o. signinum</i> entre los muros UUEE 192 y 67, junto al mosaico UE 203. Posible jamba de un vano
251	28	Estructura	Pila de hipocausto en posición B3. Ladrillos cuadrados.
252	28	Estrato	Estrato de tierra de tonalidad amarillenta y textura arenosa que cubre parcialmente al mosaico UE 203 y que se apoya en UE 250. Cubierta por el umbral UE 135.
253	28	Estrato	Estrato de tierra de tono ceniciento que colmata el Amb. 28, apoyándose en las <i>pilae</i> del hipocausto. Cubierto por UE 221
254	30	Estrato	Estrato bajo UE 112 al E del muro UE 89
255	28	Estructura	Pila de hipocausto en posición A1. Ladrillos circulares.
256	28	Estructura	Pila de hipocausto en posición B1. Ladrillos circulares.
257	28	Estructura	Pila de hipocausto en posición C2. Ladrillos cuadrados
258	29N	Muro	Muro de orientación W-E que traba con el muro UE 3304 y que delimita las termas en su extremo NW
259	28	Estructura	Pila de hipocausto de ladrillos cuadrados en posición E6.
260	28	Estructura	Pila de hipocausto en posición D4. Ladrillos cuadrados
261	25	Interfaz	Recorte circular practicado en el ángulo SW del pavimento UE 130
262	25	Estrato	Relleno de la interfaz UE 261
263	25	Interfaz	Recorte circular al E de la interfaz UE 261 practicado en el pavimento UE 130
264	25	Estrato	Relleno de la interfaz UE 263, con alta presencia de cenizas
265	25	Interfaz	Recorte de forma circular practicado en el pavimento UE 130, en el centro del Amb. 25
266	25	Estrato	Relleno de la fosa UE 265
267	28	Estructura	Pila de hipocausto en posición D2. Ladrillos cuadrados
268	28	Estructura	Pila de hipocausto en posición D1. Ladrillos cuadrados
269	28	Estructura	Pila de hipocausto en posición E2. Ladrillos cuadrados
270	28	Estructura	Pila de hipocausto en posición E1. Ladrillos cuadrados
271	24B	Estrato	Estrato estéril bajo UE 235
272	24B	Estrato	Estrato de tierra compacta, grisácea, con material arqueológico, que cubre a UE 235
273	24B	Estrato	Estrato de tierra que encontramos entre UE 4 y la cloaca. Posible relleno de la fosa de la cloaca
274	29N	Muro	Muro que traba con el muro UE 129
275	28	Estructura	Pila de hipocausto en posición F4. Ladrillos cuadrados
276	28	Estructura	Pila de hipocausto en posición G4. Ladrillos circulares
277	28	Estructura	Pila de hipocausto en posición G3. Ladrillos circulares
278	28	Estructura	Pila de hipocausto en posición G2. Ladrillos circulares
279	28	Estructura	Pila de hipocausto en posición G1. Ladrillos circulares
280	28	Estructura	Pila de hipocausto en posición H2. Ladrillos circulares
281	28	Estructura	Pila de hipocausto en posición H1. Ladrillos circulares
282	28	Estructura	Fondo del hipocausto, de <i>opus signinum</i>
283	4	Estructura	Pavimento de cal junto a G.U. 3003
284	4	Estructura	Pavimento de cal bajo UE 283
285	4	Estrato	Estrato de color castaño con presencia de piedras bajo UE 179

286	4	Estrato	Estrato de color anaranjado sobre UE 284 y sobre UE 179
287	28E	Estructura	Alineación de mortero y piedras en la base del muro UE 189. Posible zapata o media caña
288	28E	Estructura	Estructura de piedra y mortero que continúa el muro UE 67-89, haciendo ángulo NE con UE 189
289	¿?	Estrato	Limpieza superficial del muro de UE 4033.
290	25	Elemento	Fragmentos de <i>labrum</i> hallados en el interior de la UE 122.
291	27W	Estructura	Pavimento.
292	27W	Interfaz	Interfaz rellena por UUEE 81, 82 y 84
293	25	Estructura	Muro de orientación N-S con la misma orientación que el muro de UE 3304. Junto a él flanquean al umbral de UE 3215 y delimita el extremo W del Ambiente 25
294	28	Grupo UUEE	Conjunto de <i>pilae</i> que conforman el hipocausto del Ambiente 28
295	28	Estructura	Resto de pavimento de mosaico que arranca de la cara W del muro UE 89. Cortado por interfaz UE 197
296	11W	Estructura	Umbral con orientación N-S bajo los muros UE 297 y UE 299
297	11W	Estructura	Muro de E-W que imbrica al sur con el muro que delimita el Ambiente 11 en el extremo occidental de este.
298	11W	Estructura	Muro con orientación E-W, continuación del muro que delimita en el extremo occidental del Ambiente 11 (por definir), y al que se le apoya el muro UE 299
299	11W	Estructura	Muro con orientación N-S, sobre el umbral UE 296, y que se apoya en la cara sur del muro UE 298.
300	11W	Estructura	Muro en el mismo eje de orientación que el muro UE 299, con la misma orientación y sobre el extremo sur del umbral UE 296
301	11W	Estructura	Muro con orientación N-S, posible continuación del muro UE 28 (Ambiente 27W), que presenta en su extremo sur un sillar a modo de esquina roma o cantonera
2018			
302	13	Estrato	Estrato de tierra marrón claro bajo UE 1
303	5	Grupo UUEE	Pavimento en Ambiente 5, entre los muros UUEE 185 y 186 y los GU 3085, 3086, 3088 y 3010
304	5	Estructura	Capa superior del pavimento GU 303, formado por cal y grava
305	5	Estructura	Capa de <i>rudus</i> de UE 303 formada por cantos rodados
306	5	Interfaz	Fosa de fundación de UE 3089
307	5	Estrato	Relleno de fosa UE 306 donde se cimenta UE 3089, con piedras, cantos redondos y tierra
308	5	Estrato	Relleno de fosa de UE 309 donde se cimenta UE 3090, con cantos rodados, piedras y tierra
309	5	Interfaz	Fosa de fundación de UE 3090, relleno por UE 308
310	13	Estrato	Estrato de tierra marrón oscuro con piedras de tamaño mediano bajo UE 302. Posible derrumbe del muro de UE 23

311	12	Estrato	Estrato de tierra marrón oscuro con algún canto rodado, rellenando a fosa de UE 312
312	12	Interfaz	Fosa de tendencia circular, rellena por UE 311, que recorta a los pavimentos UUEE 120 y 121
313	12/13	Estrato	Estrato de tierra marrón anaranjado bajo UE 302, cubriendo a UE 310
314	Sobre Ambientes 24/29	Estrato	Nivel de tierra y cantos rodados que desciende en talud en sentido E-W. Se apoya contra las caras N de los muros UUEE 258 y 343
315	5	Estrato	Estrato de tierra bajo el <i>rudus</i> UE 305, en el pavimento GU 303
316	5	Estrato	Estrato de tierra marrón oscuro bajo UE 305, en la esquina SW del Ambiente 5, rellenando a UE 317
317	5	Estructura	Espacio rectangular realizado con <i>o. caementicium</i> a modo de cubeta amortizado por el <i>rudus</i> UE 305 y relleno por UE 316. Orientación W-S
318	30	Estructura	Estructura adosada a UE 187 que delimita el acceso al Ambiente 30 desde el S
319	30	Estrato	Estrato de tierra compacto con abundantes restos de cal y piedra que se extiende por toda la superficie del Ambiente 30, bajo UE 254
320	30	Estructura	Enlucido que reviste la cara E de UE 89, visible tras excavar UE 254
321	30	Interfaz	Recorte practicado en el pavimento original del Ambiente
322	30	Estrato	Igual a UE 325
323	30	Estructura	Canal adosado a UE 288, relleno por UE 324
324	30	Estrato	Relleno de UE 323
325	30	Estrato	Nivel de colmatación que aparece tras excavar UE 319 y que se extiende por todo el Ambiente 30. Tonalidad anaranjada y concentración de piedras y cal
326	12	Estrato	Estrato de fundación horizontal color marrón oscuro con parte de su superficie anaranjada y con fragmentos de adobes. Bajo UE 313
327	11/12	Estrato	Estrato formado por tierra marrón claro y abundantes fragmentos de cal sobre los muros W y S del Ambiente 12, bajo UE 313
328	11	Estrato	Estrato de tierra marrón oscuro con abundante presencia de carbones, bajo UE 101
329	30	Estructura	Media caña y pavimento en el interior del Ambiente 30, bajo UE 325
330	30	Estructura	Sobre UE 329 y adosado a UE 288. Estructura de cal y piedras, interpretada como la cama de un escalón ya perdido
331	30	Estructura	Situado al E del Ambiente 30, bajo UE 325. Estructura de piedras trabadas con mortero de cal
332	30	Estructura	Pavimento y media caña hidráulica en el extremo N del Ambiente 30. Sobre ella se documentó una olla
333	30	Estrato	Derrumbe de piedras que se apoya en UE 331, bajo UE 325

334	29	Interfaz	Recorte practicado al pavimento UE 486 para emplear el hipocausto como un basurero
335	30	Estrato	Estrato con abundante piedra situado al N del Ambiente 30, bajo UE 325
336	5	Estrato	Estrato de tierra y grava amarillenta en el interior del GU 337
337	5	Grupo UUEE	Balsa de orientación NE-SW debajo del pavimento GU 303
338	5	Muro	Muro S de la balsa GU 337
339	5	Interfaz	Interfaz de destrucción de GU 337
340	5	Estructura	Escalón en Ambiente 5 debajo de GU 303
341	30	Estrato	Estrato de tierra compacta de tonalidad marrón oscuro bajo UE 335
342	30	Estructura	Bajo UE 335. Nivel de mortero de cal. Forma ángulo recto con el muro UE 89. Posible nivel de pavimento original del Ambiente 30
343	29	Muro	Tramo de muro de orientación E-W, perpendicular a muro UE 144, con el que traba en ángulo recto. Límite N del Ambiente 29
344	24	Estrato	Estrato de piedras y tierra que desciende en talud en sentido N-S y que se apoya en los muros UUEE 343y 258. Cubre a UE 346
345	24	Interfaz	Equivale a UE 128. Recorte practicado en el Ambiente 24 y que es rellenado por UE 346
346	24	Estrato	Tierra disgregada y cenicienta que rellena la fosa UE 345. Equivale a UE 126. Posible basurero
347	11W	Estrato	Relleno de tierra marrón claro con fragmentos de enlucido bajo UE 169
348	11W	Estrato	Relleno de tierra marrón oscuro en la fosa UE 349
349	11W	Interfaz	Recorte en la zona W del corte, cortando a los pavimentos UUEE 120, 121 y 166
350	29	Interfaz	Fosa que recorta a UE 85 en el extremo NW del Ambiente 29. Equivale a UE 128
351	29	Estrato	Nivel de tierra disgregada y de textura cenicienta que colmata a UE 350. Equivale a UE 126
352	5	Estrato	Nivel de tierra, grava, piedra y cal debajo de UE 315
353	5	Estrato	Estrato de tierra y cal de tendencia horizontal bajo UE 315 (¿y 352?)
354	5	Estrato	Estrato claro de tierra y cal compacta en el interior de GU 337, similar a 353
355	29	Estrato	Nivel de tendencia horizontal de tierra disgregada y de tonalidad castaña clara. En el ángulo entre los muros 3304 y 144, sobre 357 y 356
356	29	Estrato	Nivel de tierra y material constructivo que colmata el espacio comprendido entre los muros UUEE 3304, 144 y 343. Recortado por UE 128
357	29	Estrato	Nivel de tierra anaranjada de tendencia horizontal, parcialmente cubierto por UE 355
358	29	Muro	Muro de orientación NE-SW que cierra el Ambiente 29 en su extremo E

359	5	Estrato	Estrato de argamasa y piedra en el ángulo SW del Ambiente 5. Posiblemente igual a 340
360	11W	Estrato	Estrato de tierra gris-marrón no muy compacto, bajo UE 166
361	11W	Estrato	Estrato de tierra marrón-gris y de textura poco compacta, bajo UE 166
362	29	Estrato	Nivel ceniciento de tendencia horizontal bajo UUEE 355 y 357, apoyado contra 356 en el ángulo que forman los muros UUEE 3304 y 144
363	24	Estructura	Pavimento de <i>opus caementicium</i> en el extremo E del Ambiente 24 contra el ángulo de los muros UUEE 258 y 144. Cubre a la media caña que bordea el exterior del Ambiente 4
364	5	Estrato	Estrato de tierra amarillenta y textura suelta, diferenciable del resto de estratos
365	29	Estrato	Estrato de tierra marrón oscuro-gris con abundante presencia de piedra trabajada (de estructuras) situado entre los muros de UUEE 144 y 3304. Cubre parcialmente a UE 356
366	29	Elemento	Fragmento de pedestal en el interior de UE 365
367	30	Estrato	Nivel ceniciento de tendencia horizontal que se apoya contra el muro de UE 89, bajo UE 341
368	11W	Estructura	Nivel de pavimento con pequeños cantos rodados bajo UE 360
369	29	Estructura	Paquete de barro endurecido con orientación NE-SW bajo UE 72, paralelo a UE 370
370	29	Estructura	Paquete de barro endurecido bajo UE 72, paralelo a UE 369
371	29	Estrato	Nivel de tierra de tonalidad cenicienta comprendida entre 369 y 370. Posible basurero
372	29	Estrato	Estrato arcilloso de tonalidad castaña-amarillenta que se extiende por todo el Ambiente, bajo UE 356, 85 y 72
373	29	Interfaz	Recorte practicado en UE 372 a modo de zanja en el extremo W del Ambiente
374	29	Estrato	Tierra de tonalidad marrón con material constructivo, piedra y enlucido que rellena UE 373, bajo UE 356
375	24	Estrato	Paquete de tierra arcillosa entre 377 y la cara W de 258, de color castaño oscuro
376	24	Estrato	Paquete de tierra arcillosa y tonalidad castaña clara que se apoya sobre 377
377	24	Estrato	Paquete de tierra con piedras de tamaño medio, sobre 378 y entre 375 y 376
378	24	Estrato	Línea de cantos rodados bajo UUEE 377 y 375
379	24	Estrato	Paquete de tierra arcillosa color castaño oscuro bajo UUEE 378 y 376
380	11W	Estrato	Nivel de pavimento a la misma cota superior que pavimento UE 368, en la zona E del corte, bajo UE 361
381	11W	Estrato	Estrato de tierra marrón anaranjado y ligeramente compacta, similar (y podría ser igual) a UE 348
382	11W	Estrato	Estrato de tonalidad marrón claro bajo UE 169, en el extremo S del corte

383	5	Estrato	Estrato de tierra compacta (posible adobe) sin apenas material arqueológico sobre el que se ha excavado la fosa o hueco de la balsa GU 337
384	5	Estructura	Pavimento de cantos rodados de pequeño tamaño debajo de UE 315 roto por la fosa UE 385
385	5	Interfaz	Fosa rellena de restos de basura (UE 353) en el lado N del Ambiente 5, entre la balsa GU 337 y la escalera
386	5	Estructura	Solera de cimentación del muro UE 185 sobre muro UE 387 en el interior del Ambiente 5, entre UUEE 185 y 186
387	5	Muro	Muro de piedra debajo de las estructuras del pavimento de UUEE 303, 305 y 318, con orientación SW-NE
388	5	Interfaz	Interfaz de recorte en la que se construye la balsa GU 337
389	11W	Estructura	Grupo de piedras que cubre la zona superior de la cloaca. Cubierta por UE 368
390	11W	Estrato	Estrato de tierra suelta de tonalidad marrón oscuro en el interior de la cloaca, cubriendo a UE 391
391	11W	Estrato	Estrato de tierra marrón oscuro, muy compacta, bajo UE 390, en el interior de la cloaca
392	11W	Estructura	Pared N del registro de la cloaca
393	11W	Estructura	Pared S del registro de la cloaca
394	11W	Estructura	Pared E del registro de la cloaca
395	11W	Estructura	Pared W del registro de la cloaca
396	11W	Estrato	Estrato de tierra marrón anaranjado bajo UE 368
397	29	Estrato	Bajo UE 372. Nivel horizontal arcilloso con presencia de cal y un escaso aporte de ceniza
398	29	Estrato	Bajo 372 y sobre 397. Nivel de tierra granulosa con restos de enlucidos en el extremo W del Ambiente 29
399	29	Estrato	Bajo UE 372 y sobre UE 397. Igual a UE 398, pero situada en el ángulo SE del Ambiente
400	29/31	Interfaz	Fosa de algarrobo. Corta la estratigrafía hasta el muro de UE 343
401	29/31	Estrato	Relleno de UE 400
402	29	Interfaz	Recorte en UE 397, relleno por UE 371
403	5	Estructura	Alineación de piedras E-W paralela al muro S del GU 337, dando forma a UE 383 (al S)
404	11W	Estrato	Estrato de tierra marrón claro con cal bajo UE 380 a modo de preparado
405	11W	Estrato	Estrato de tierra oscura amarillenta y muy suelta bajo UE 380 en su zona E
406	11W	Estrato	Estrato de tierra marrón oscuro bajo UE 380 que colmata el canal-cloaca que recorre el corte en dirección N-S
407	5	Estrato	Estrato de tierra al S del GU 337 (383) debajo de UE 403 y 383, sobre el pavimento UE 200
408	11W	Estrato	Estrato de tierra marrón grisácea, muy compacta, con cantos rodados, bajo pavimento de UE 368
409	24	Estrato	Nivel horizontal de tierra amarillenta y gravas bajo UE 377 y sobre UE 378
410	29	Interfaz	Orificio de la <i>concameratio</i> en la cara N del muro UE 3304, en posición B1

411	29	Interfaz	Orificio de la <i>concameratio</i> en la cara N del muro UE 3304, en posición C1
412	29	Interfaz	Orificio de la <i>concameratio</i> en la cara N del muro UE 3304, en posición B2
413	29	Interfaz	Orificio de la <i>concameratio</i> en la cara N del muro UE 3304, en posición C2
414	29	Interfaz	Orificio de la <i>concameratio</i> en la cara N del muro UE 3304, en posición A3
415	29	Interfaz	Orificio de la <i>concameratio</i> en la cara N del muro UE 3304, en posición B3
416	29	Interfaz	Orificio de la <i>concameratio</i> en la cara N del muro UE 3304, en posición C3
417	29	Interfaz	Orificio de la <i>concameratio</i> en la cara E del muro UE 144, en posición A1
418	29	Interfaz	Orificio de la <i>concameratio</i> en la cara E del muro UE 144, en posición B1
419	29	Interfaz	Orificio de la <i>concameratio</i> en la cara E del muro UE 144, en posición B8
420	29	Interfaz	Orificio de la <i>concameratio</i> en la cara E del muro UE 144, en posición C1
421	29	Interfaz	Orificio de la <i>concameratio</i> en la cara E del muro UE 144, en posición C2
422	29	Interfaz	Orificio de la <i>concameratio</i> en la cara E del muro UE 144, en posición C3
423	29	Interfaz	Orificio de la <i>concameratio</i> en la cara E del muro UE 144, en posición C4
424	29	Interfaz	Orificio de la <i>concameratio</i> en la cara E del muro UE 144, en posición C5
425	29	Interfaz	Orificio de la <i>concameratio</i> en la cara E del muro UE 144, en posición C6
426	29	Interfaz	Orificio de la <i>concameratio</i> en la cara E del muro UE 144, en posición C7
427	29	Interfaz	Orificio de la <i>concameratio</i> en la cara S del muro UE 343, en posición A1
428	29	Interfaz	Orificio de la <i>concameratio</i> en la cara S del muro UE 343, en posición B1
429	29	Interfaz	Orificio de la <i>concameratio</i> en la cara S del muro UE 343, en posición B2
430	29	Interfaz	Orificio de la <i>concameratio</i> en la cara S del muro UE 343, en posición C1
431	29	Interfaz	Orificio de la <i>concameratio</i> en la cara S del muro UE 343, en posición C3
432	29	Interfaz	Orificio de la <i>concameratio</i> en la cara S del muro UE 343, en posición C4
433	29	Interfaz	Orificio de la <i>concameratio</i> en la cara W del muro UE 358, en posición A1
434	29	Interfaz	Orificio de la <i>concameratio</i> en la cara W del muro UE 358, en posición A2
435	29	Estrato	Nivel ceniciento entre UUEE 369 y 370 (horno), bajo UE 371. Posible nivel de abandono del horno

436	29	Estrato	Nivel de tierra gris con material de construcción, piedra y cerámica que colmata el interior del hipocausto bajo UE 397
437	11W	Estrato	Estrato horizontal muy compacto con cantos redondos y cerámica. De similar morfología a UE 404. Bajo UE 408
438	11W	Estrato	Estrato de tierra marrón grisácea que rellena a UE 439, apoyándose en UE 437
439	11W	Interfaz	Recorte en UE 437, relleno por UE 438
440	11W	Estrato	Estrato de tierra marrón claro, muy suelta, rellenando el recorte UE 441. Cubierto por UE 380
441	11W	Interfaz	Recorte de forma ovalada en UE 404 relleno por UE 440
442	5	Estrato	Estrato de tierra con restos de adobe y materia orgánica con poca cerámica sobre el que se recorta la fosa UE 385
443	29	Estructura	Fondo del horno bajo el relleno de UE 435 y entre sus restos de alzando UUEE 369 y 370
444	5	Estrato	Nivel de tierra en el ángulo NW del Ambiente 5, bajo UE 285
445	5	Interfaz	Fosa de fundación del muro UE 387
446	5	Estrato	Relleno de la fosa UE 445
447	11W	Estrato	Estrato de tierra marrón anaranjado con piedras de tamaño mediano inmediatamente al W del pavimento de UE 219
448	11W	Estrato	Nivel horizontal (pavimento) con superficie de cal blanca, en la zona NE del corte
449	11W	Estrato	Estrato de tierra marrón blanquecina con nódulos de cal y grava sobre UE 437
450	11W	Estrato	Estrato de tierra marrón anaranjado con abundantes gravas y algunas piedras, bajo UE 447
451	11W	Estrato	Estrato de tierra marrón grisácea bajo UE 447 en la zona S del corte
452	11W	Estrato	Estrato de superficie horizontal muy arcilloso, marrón oscuro, con cantos rodados y cerámica, bajo UE 457
453	11W	Estrato	Estrato de tierra grisácea al W de UE 452, cubierto por UE 437
454	29	Estructura	Enlucido del muro UE 343
455	5	Estrato	Estrato de adobes en el ángulo NW del Ambiente 5, debajo de UUEE 179, 285 y 444
456	29	Estrato	Estrato ceniciento bajo UE 436 en el que empiezan a aflorar las <i>pilae</i> del hipocausto
457	29	Estructura	<i>Pila</i> de hipocausto en posición A1
458	29	Estructura	<i>Pila</i> de hipocausto en posición A2
459	29	Estructura	<i>Pila</i> de hipocausto en posición A3
460	29	Estructura	<i>Pila</i> de hipocausto en posición A4
461	29	Estructura	<i>Pila</i> de hipocausto en posición B1
462	29	Estructura	<i>Pila</i> de hipocausto en posición B2
463	29	Estructura	<i>Pila</i> de hipocausto en posición B3
464	29	Estructura	<i>Pila</i> de hipocausto en posición B4
465	29	Estructura	<i>Pila</i> de hipocausto en posición C2
466	29	Estructura	<i>Pila</i> de hipocausto en posición C3
467	29	Estructura	<i>Pila</i> de hipocausto en posición C4

468	29	Estructura	<i>Pila</i> de hipocausto en posición D2
469	29	Estructura	<i>Pila</i> de hipocausto en posición D3
470	29	Estructura	<i>Pila</i> de hipocausto en posición D4
471	29	Estructura	<i>Pila</i> de hipocausto en posición E4
472	29	Estructura	<i>Pila</i> de hipocausto en posición E9
473	29	Estructura	<i>Pila</i> de hipocausto en posición F5
474	29	Estructura	<i>Pila</i> de hipocausto en posición F6
475	29	Estructura	<i>Pila</i> de hipocausto en posición F7
476	29	Estructura	<i>Pila</i> de hipocausto en posición F8
477	29	Estructura	<i>Pila</i> de hipocausto en posición F9
478	29	Estructura	<i>Pila</i> de hipocausto en posición G7
479	29	Muro	Muro de orientación E-W en el extremo N del Ambiente 29. Igual a UE 343
480	29	Estructura	Arco que une a los muros UUEE 343 y 479
481	29	Estructura	Capa de ceniza que reviste al muro UE 144
482	29	Estructura	Capa de ceniza que reviste al muro UE 113
483	29	Estructura	Capa de ceniza que reviste al muro UE 343
484	29	Estructura	Capa de ceniza que reviste al muro UE 358
485	29	Estructura	Enlucido del muro UE 144
486	29	Estructura	Negativo de la presencia de un pavimento de mosaico en los muros que delimitan el Ambiente
487	31	Muro	Muro N-S que forma el ángulo SW del Ambiente 31 y que liga al W con UE 258
488	24C	Muro	Restos de muro en el perfil N del Ambiente 24C, compuesto por piedras de tamaño mediano alineadas E-W
489	24C/32	Muro	Sillar de esquina de los muros UUEE 490 y 493, en el Ambiente 32
490	32	Muro	Muro N-S al E del Ambiente 32
491	32	Muro	Muro E-W al N del Ambiente 32
492	32	Muro	Muro N-S al W del Ambiente 32
493	24C/32	Muro	Muro E-W al S del Ambiente 32
494	24C	Estructura	Nivel de cantos rodados para la cimentación del muro UE 493
495	24C	Estrato	Nivel de tierra debajo del muro UUEE 393 y 394
496	24C	Muro	Parte del muro W del Ambiente 24C formado por un gran sillar
497	24C	Estructura	Posible estructura de cimentación de un umbral con orientación E-W, formado por un muro de mortero y cal con superficie superior plana
498	24C	Estrato	Nivel de tierra sobre el muro UUEE 500, 496 y 499, debajo de UE 1
499	24C	Estrato	Nivel de tierra y piedras al E de UE 497 y debajo de UE 498
500	24C	Muro	Muro E-W de piedra y mortero al W del Ambiente 24C, debajo de UE 498
501	34	Muro	Muro N-S que hace esquina con UE 500 (formando un Ambiente nuevo pendiente de excavar) en su lado W
502	34	Interfaz	Interfaz de fosa que rompe el muro UUEE 504, 500 y 505, al N del Ambiente 24C

503	35	Estrato	Nivel de relleno de la fosa UE 502 formado por tierra gris con abundante material y restos orgánicos
504	24C	Estructura	Estructura restaurada entre los muros 500 y 505, que podría ser parte de un muro dañado por la fosa UE 502
505	24C	Muro	Muro de piedra E-W en línea al W de UUEE 504 y 500
506	24	Muro	Sillar del muro de UUEE 505, 507 y 508
507	24C	Muro	Muro de piedra al W de UE 505, formando el lado E del Ambiente
508	33/34	Muro	Muro N-S al N de UE 506 en el lado E del Ambiente 33
509	24C/33	Muro	Muro E-W de piedra y mortero al S del Ambiente 33
510	24C	Estructura	Cuarto de bocel en el lado N de la <i>natatio</i> (Ambiente 20), sobre pavimento de UE 512
511	24C	Estructura	Restos de piedras que ocupan el espacio entre UE 510 y el muro UE 500. Posible estructura (banco) adosada a muro UE 500
512	24C	Estructura	Pavimento de <i>opus signinum</i> en Ambiente 24C al norte del Ambiente 20 (<i>natatio</i>)
513	32	Estructura	Sillar de esquina entre muros UUEE 491 y 492
514	5	Estructura	Estructura de tierra con pocos materiales en el ángulo NW del Ambiente 5, debajo de UE 444
515	28/29	Estructura	Capa de mortero de cal horizontal que constituye el preparado sobre el que se asentaría el nivel de paso del vano que comunica a los Ambientes 28 y 29
516	29	Estructura	Fragmento de <i>clavus coctile</i> en el interior del orificio UE 416, en el muro UE 3304
517	29	Interfaz	Orificio de la <i>concameratio</i> en la cara W del muro UE 144, en posición C8
518	29	Estructura	Fragmento de <i>clavus coctile</i> en el interior del orificio UE 428, en el muro UE 343
519	29	Estructura	Fragmento de <i>clavus coctile</i> en el interior del orificio UE 429, en el muro UE 343
520	29	Estructura	Fragmento de <i>clavus coctile</i> en el interior del orificio UE 432, en el muro UE 343
521	29	Grupo UUEE	Conjunto de <i>pilae</i> del hipocausto del Ambiente 29
522	29	Grupo UUEE	Conjunto de orificios de <i>concameratio</i> y de los restos de sus <i>clavi coctiles</i> del muro UE 3304
523	29	Grupo UUEE	Conjunto de orificios de <i>concameratio</i> y de los restos de sus <i>clavi coctiles</i> del muro UE 144
524	29	Grupo UUEE	Conjunto de orificios de <i>concameratio</i> y de los restos de sus <i>clavi coctiles</i> del muro UE 343
525	29	Grupo UUEE	Conjunto de orificios de <i>concameratio</i> y de los restos de sus <i>clavi coctiles</i> del muro UE 358
526	29	Grupo UUEE	Conjunto de revoques y de enlucidos que revisten a los muros del Ambiente
527	5	Estructura	Cuarto de caña/bocel de la estructura GU 337 al sur de 226 y junto a UE 338
528	29	Interfaz	Orificio de la <i>concameratio</i> en la cara N del muro UE 3304, en posición A2
529	29	Interfaz	Orificio para <i>concameratio</i> en la cara E del muro UE 144, en posición B6

530	29	Interfaz	Orificio para <i>concameratio</i> en la cara E del muro UE 144, en posición B7
531	29	Estructura	Fragmento de <i>clavus coctile</i> en el interior del orificio UE 426, en el muro UE 144
532	29	Interfaz	Orificio para <i>concameratio</i> en la cara S del muro UE 343, en posición C2
533	29	Estructura	<i>Pila</i> de hipocausto en posición G8
534	29	Interfaz	Orificio para <i>concameratio</i> en la cara w del muro UE 358, en posición A2
535	29	Interfaz	Orificio para <i>concameratio</i> en la cara w del muro UE 358, en posición A3
536	29	Estructura	Fragmento de <i>clavus coctile</i> en el interior del orificio UE 534, en el muro UE 358
2019			
537	29	Estructura	<i>Pila</i> de hipocausto situada en la posición E8
538	29	Estructura	<i>Pila</i> de hipocausto situada en la posición G9
539	29	Estructura	<i>Pila</i> de hipocausto colocada en la posición I9
540	29	Estructura	<i>Pila</i> de hipocausto colocada en la posición J9
541	29	Estructura	<i>Pila</i> de hipocausto colocada en la posición K9
542	29	Estructura	<i>Pila</i> de hipocausto colocada en la posición L9
543	29	Estructura	<i>Pila</i> de hipocausto colocada en la posición I8
544	29	Estructura	<i>Pila</i> de hipocausto colocada en la posición J8
545	29	Estructura	<i>Pila</i> de hipocausto colocada en la posición K8
546	29	Estructura	<i>Pila</i> de hipocausto colocada en la posición L8
547	29	Estructura	<i>Pila</i> de hipocausto colocada en la posición I6
548	29	Estructura	<i>Pila</i> de hipocausto colocada en la posición J6
549	29	Estructura	<i>Pila</i> de hipocausto colocada en la posición K6
550	25	Estrato	Estrato de tierra marrón claro con cantos rodados, bajo UE 56
551	25-30	Estructura	Muro con orientación E-W que delimita al sur el Ambiente 30
552	Sobre Amb. 30	Estrato	Estrato de tierra marrón con cantos rodados, piedras y textura poco compacta
553	Sobre Amb. 30	Estrato	Estrato de arena amarillenta y gravas finas que cubre a la UE 552 y al muro UE 358 (que separa a los Ambientes 29 y 30)
554	29/31	Estrato	Derrumbe de piedras sobre el extremo W del muro UE 343
555	29/31	Estrato	Derrumbe de piedras sobre el muro UE 479
556	36	Estrato	Tierra de tonalidad anaranjada mezclada con cantos y de textura parcialmente granulosa. Bajo UE 550
557	Sobre Amb. 29	Estrato	Estrato de tierra amarillenta con cantos rodados y piedras, de textura poco compacta. Bajo UE 552
558	36	Estrato	Estrato de tierra marrón y textura disgregada, con piedras de tamaño medio y pequeño. Bajo UE 556
559	29/30	Interfaz	Recorte practicado en los muros UUEE 358 y 479 en dirección NW-SE. Está cubierto por UE 553. Se trata, probablemente, del cauce de una acequia
560	29	Estrato	Igual a UE 561

561	29	Estrato	Estrato de color marrón de composición granulosa. Cubierto por UE 553
562	29	Estructura	Fragmento de adobe que forma parte de la cámara de un horno metalúrgico
563	29	Estrato	Estrato de color grisáceo y de textura arenosa y apelmazada. Cubierto por UE 553
564	29	Estrato	Estrato de color anaranjado, con escasa presencia de material cerámico y constructivo
565	29	Estrato	Aglomeración de adobe y tierra de tonalidad anaranjada que se apoya en la cara E del horno UE 562. Bajo UE 561
566	Sobre Amb. 30	Estrato	Estrato de tierra marrón-grisáceo, con algún canto rodado y restos de enlucidos en su parte N. Bajo UE 557
567	Sobre Amb. 30	Estrato	Estrato de tierra amarillenta y de textura poco compacta. Situado al S del Ambiente, bajo UE 566
568	29	Estrato	Conjunto de 4 capas de cal de tendencia horizontal y de textura compacta. Posible fondo del horno UE 562
569	36	Estrato	Tierra suelta mezclada con piedras de tamaño mediano y pequeño. Bajo UE 558
570	30	Estructura	Nivel de piedras que se apoya en la cara S del muro UE 551. Posible banco
571	30/37	Estructura	Muro de piedras que separa a los Ambientes 30 y 37
572	37	Estrato	Estrato de tierra suelta de tonalidad oscura localizado entre la UE 571 y el límite NE del Ambiente
573	30	Estructura	Media caña hidráulica que se apoya en las UUEE 358 y 571
574	30	Estructura	Media caña hidráulica que se adosa en UE 571 y se extiende hasta el límite NE del corte
575	30	Estrato	Nivel de derrumbe con restos de material constructivo y cerámico que se apoya contra el banco (UE 570) al S del Ambiente 30
576	30	Estructura	Muro de piedra que se adosa al muro de UE 551 y al posible banco de UE 570
577	29	Estructura	Arco trazado en el interior del muro UE 479. Conserva las dovelas desde su arranque hasta la posición previa a la clave
578	29	Interfaz	Interfaz de ruptura del arco UE 577
579	31	Estrato	Estrato compuesto por piedras y tierra suelta, de textura arenosa y tonalidad marrón. Interpretado como un posible derrumbe
580	31	Estructura	Muro de mampostería de orientación N-S. Formado por elementos reutilizados
581	30	Estructura	Canaleta que se apoya sobre UE 582
582	30	Estructura	Fragmento de pavimento de <i>opus caementicium</i> en el extremo sur de la fosa central. Equivale a UE 332
583	30	Estructura	Fragmento de pavimento de <i>opus caementicium</i> en el extremo norte de la fosa central. Equivale a UE 582
584	30	Estrato	Relleno de la canaleta de UE 581
585	30	Estrato	Derrumbe de adobes sobre el pavimento UE 583
586	29	Estructura	<i>Pila</i> de hipocausto situada entre las posiciones L8 y L7
587	29	Estructura	<i>Pila</i> de hipocausto situada en la posición L7
588	29	Estructura	<i>Pila</i> de hipocausto situada en la posición L6

589	29	Estructura	<i>Pila</i> de hipocausto situada en la posición E5
590	29	Estructura	<i>Pila</i> de hipocausto situada en la posición J5
591	29	Estructura	<i>Pila</i> de hipocausto situada en la posición L5
592	29	Estructura	<i>Pila</i> de hipocausto situada en la posición F4
593	29	Estructura	<i>Pila</i> de hipocausto situada en la posición H4
594	29	Estructura	<i>Pila</i> de hipocausto situada en la posición J4
595	29	Estructura	<i>Pila</i> de hipocausto situada en la posición L4
596	29	Estructura	<i>Pila</i> de hipocausto situada en la posición E3
597	29	Estructura	<i>Pila</i> de hipocausto situada en la posición H3
598	29	Estructura	<i>Pila</i> de hipocausto situada en la posición J3
599	29	Estructura	<i>Pila</i> de hipocausto situada en la posición K3
600	29	Estructura	<i>Pila</i> de hipocausto situada en la posición L3
601	29	Estructura	<i>Pila</i> de hipocausto situada en la posición A9
602	29	Estructura	<i>Pila</i> de hipocausto situada en la posición H2
603	29	Estructura	<i>Pila</i> de hipocausto situada en la posición J2
604	29	Estructura	<i>Pila</i> de hipocausto situada en la posición K2
605	29	Estructura	<i>Pila</i> de hipocausto situada en la posición L2
606	29	Estructura	<i>Pila</i> de hipocausto situada en la posición H1
607	29	Estructura	<i>Pila</i> de hipocausto situada en la posición J1
608	29	Estructura	<i>Pila</i> de hipocausto situada en la posición K1
609	29	Estructura	<i>Pila</i> de hipocausto situada en la posición L1
610	29	Estructura	<i>Pila</i> de hipocausto situada en la posición B6
611	29	Estructura	<i>Pila</i> de hipocausto situada en la posición C6
612	29	Estructura	<i>Pila</i> de hipocausto situada en la posición D6
613	30	Estrato	Estrato de tierra marrón oscuro y compacta, con abundante presencia de carbones. Bajo UE 319
614	30	Estrato	Estrato de tierra de tonalidad marrón amarillento, con carbones y arcillas, situado bajo UE 613
615	31	Estrato	Estrato de tonalidad marrón con abundante presencia de materiales constructivos, cal y piedras
616	31	Estrato	Estrato de tonalidad marrón con abundante presencia de piedras
617	31	Estrato	Estrato de tonalidad marrón con inclusiones de cal y arcilla
618	31/37	Muro	Muro de doble paramento de orientación E-W que delimita al Ambiente 31 por el N y lo separa del Ambiente 37
619	37	Estrato	Estrato de tierra de tonalidad marrón con inclusiones de cal, con abundante presencia de piedras. Posible derrumbe
620	37	Elemento	Basa de columna situada en el interior de UE 619
621	37	Estrato	Estrato de tierra de tonalidad anaranjada con inclusiones de cal y de fragmentos cerámicos
622	29	Estructura	Alzado de ladrillos que se apoya en el muro UE 358 y en el tapiado UE 624
623	29	Interfaz	Apertura semicircular en el muro UE 358 que lo cruza en sentido E-W. Tapiada por UE 624
624	29	Estructura	Aglomerado de piedra, mortero y material constructivo que cierra la abertura de UE 623

625	30	Estrato	Estrato de tierra marrón claro con una abundante presencia de restos de enlucido parietal. Situado bajo UE 319
626	25	Estructura	Canaleta de orientación E-W, con una tonalidad ligeramente azulada
627	25	Estructura	Relleno de mortero que anula a la canaleta de UE 626
628	30	Estrato	Estrato localizado en el extremo S del Ambiente. De tonalidad amarillenta y textura compacta, con presencia de carbones y piedras
629	30	Estrato	Nivel de tierra localizado en el extremo N del Ambiente
630	29	Estructura	<i>Pila de hipocausto situada en la posición G6</i>
631	29	Estructura	<i>Pila de hipocausto situada en la posición A7</i>
632	29	Estructura	<i>Pila de hipocausto situada en la posición B7</i>
633	29	Estructura	<i>Pila de hipocausto situada en la posición C7</i>
634	29	Estructura	<i>Pila de hipocausto situada en la posición D7</i>
635	29	Estructura	<i>Pila de hipocausto situada en la posición E7</i>
636	29	Estructura	<i>Pila de hipocausto situada en la posición A6</i>
637	29	Estructura	<i>Pila de hipocausto situada en la posición E6</i>
638	29	Estructura	<i>Pila de hipocausto situada en la posición A5</i>
639	29	Estructura	<i>Pila de hipocausto situada en la posición B5</i>
640	29	Estructura	<i>Pila de hipocausto situada en la posición C5</i>
641	29	Estructura	<i>Pila de hipocausto situada en la posición D5</i>
642	29	Estructura	<i>Pila de hipocausto situada en la posición F3</i>
643	29	Estructura	<i>Pila de hipocausto situada en la posición F2</i>
644	29	Estructura	<i>Pila de hipocausto situada en la posición F1</i>
645	29	Estructura	<i>Pila de hipocausto situada en la posición E2</i>
646	29	Estructura	<i>Pila de hipocausto situada en la posición C1</i>
647	29	Estructura	<i>Pila de hipocausto situada en la posición D1</i>
648	29	Estructura	<i>Pila de hipocausto situada en la posición E1</i>
649	29	Estructura	<i>Pila de hipocausto situada en la posición I7</i>
650	29	Estructura	<i>Pila de hipocausto situada en la posición J7</i>
651	29	Estructura	<i>Pila de hipocausto situada en la posición H5</i>
652	29	Estructura	<i>Pila de hipocausto situada en la posición K5</i>
653	29	Estructura	<i>Pila de hipocausto situada en la posición K7</i>
654	29	Estructura	<i>Pila de hipocausto situada en la posición K4</i>
655	29	Estrato	Estrato de tierra de tonalidad amarilla y textura muy compacta, con presencia de ceniza
656	30	Estrato	Estrato de tierra de tonalidad oscura, con abundante presencia de piedras. Posible relleno de UE 657
657	30	Interfaz	Fosa de orientación E-W que corta al estrato UE 628, bajo UE 613
658	30	Estrato	Estrato situado en el extremo S del Ambiente, sobre el pavimento UE 582
659	39	Estrato	Situado en el extremo N del Ambiente, sobre el pavimento. Podría ser el mismo estrato que UE 665
660	30	Estrato	Relleno de UE 661
661	30	Interfaz	Fosa corta a la UE 659 y rellena por UE 660
662	29	Estructura	<i>Pila de hipocausto situada en la posición C9</i>
663	29	Estructura	<i>Pila de hipocausto situada en la posición B8</i>
664	29	Estructura	<i>Pila de hipocausto situada en la posición C8</i>

665	30	Estrato	Tierra de tonalidad marrón oscuro mezclada con cales y carbones. Situada bajo UE 659 y parcialmente recortada por una fosa circular
666	30	Interfaz	Fosa que recorta a la UE 665 y que está rellena por la UE 667
667	30	Estrato	Tierra fina de tonalidad marrón-anaranjada y muy disgregada que rellena a la UE 666
668	38	Estrato	Tierra grisácea suelta con cantos, cerámica y morteros, sobre UE 669
669	38	Estrato	Tierra de tonalidad marrón anaranjada con presencia de carbones y adobes deshechos. Sobre UE 670
670	38	Estrato	Adobes bajo UE 669
671	38	Estrato	Tierra de tonalidad marrón anaranjada con incrustaciones de carbones, morteros y adobes deshechos. Situada entre UUEE 670 y 571
672	40	Estrato	Nivel de tierra de tonalidad castaña y textura granulosa, al W de UE 616
673	30	Estrato	Estrato de tierra negra, sin presencia de materiales arqueológicos. Cubierta por UE 614
674	30	Estrato	Nivel de tierra muy compacta, con abundante presencia de cal. Cubierta por UE 614
675	40	Estructura	Estructura de ladrillos con orientación NW-SE y unas dimensiones de 120 x 18 cm. Relacionado con la reutilización de las termas en una fase posterior
676	31	Estrato	Estrato de tonalidad gris-pardo de tierra disgregada con presencia de cal y guijarros, bajo la UE agrícola 617
677	31	Estrato	Estrato de tierra de tonalidad gris-parda con presencia de guijarros. Bajo UE 56
678	29	Estructura	Nivel de mortero de tendencia horizontal y de tonalidad amarillenta. Sobre él se alzan varias de las <i>pilae</i> del hipocausto. Bajo UE 655
679	29	Estrato	Estrato ceniciento de textura muy disgregada dispuesto a modo de franjas alargadas que se adosan a todos los muros del hipocausto. Bajo UE 655
680	30	Estrato	Relleno bajo UE 660 compuesto por rocas de tamaño medio-grande y por tierra de textura arcillosa
681	30	Estrato	Nivel de tierra de tonalidad amarillenta situada en el extremo W del Ambiente
682	30	Estrato	Conglomerado de piedras de pequeño tamaño
683	38	Estrato	Estrato compacto de cal y mortero
684	38	Estrato	Estrato de tonalidad anaranjada-grisácea de adobes con escaso material cerámico, mezclado con mortero, cal y carbones.
685	38	Estrato	Estrato de tierra cenicienta con presencia de materiales constructivos. Bajo UE 669
686	28/29	Estrato	Paquete de tierra y piedras que colmata el interior del conducto de calor UE 211
687	28/29	Estrato	Paquete de tierra y piedras que colmata el interior del conducto de calor UE 212
688	28/29	Estrato	Paquete de tierras y piedras que colmata el interior del conducto de calor UE 213

689	36	Interfaz	Fosa
690	36	Estrato	Relleno de la fosa UE 689 formado por tierra ligeramente suelta, de tonalidad marrón-amarillenta. Carece de material arqueológico y presenta piedras de pequeño tamaño en su parte inferior
691	38	Estrato	Tierra de tonalidad anaranjada con adobes disgregados
692	38	Estrato	Estrato cubierto por la UE 685 que se apoya en la UE 684. Está formado por tierra de tonalidad negra y textura disgregada, con presencia de abundantes restos de materiales cerámicos y constructivos
693	31	Estrato	Estrato de tonalidad marrón con una escasa presencia de guijarros y composición muy homogénea
694	38	Interfaz	Interfaz de la fosa de UE 684, rellena por las UUEE 685, 691 y 692
695	4	Estrato	Estrato de tonalidad amarillenta y de aspecto arenoso recortado por la fosa UE 696
696	4	Interfaz	Fosa-zanja realizada en sentido N-S que recorta a la UE 695
697	4	Estrato	Estrato de tierra de tonalidad grisácea con abundantes carbones que rellena a la fosa UE 696
698	4	Estrato	Estrato de tierra marrón oscuro y de aspecto arcilloso que cubre a UUEE 697, 695 y 337
699	30	Estrato	Cara N del relleno. Perforación circular bajo UE 660
700	38	Estructura	Estructura de mortero de cal situada bajo UE 684 y adosada al muro UE 571
701	38	Estrato	Acumulación de piedra tosca situada sobre UE 700 y adosada a la UE 571
702	38	Estrato	Estrato de tonalidad anaranjada con adobes, carbones y cales y con escasa presencia de materiales arqueológicos. Rellena al Ambiente 38, bajo UE 684
703	31	Estrato	Nivel de tierra compacta de tonalidad castaña con presencia de materiales cerámicos
704	31	Estrato	Estrato de tonalidad marrón y textura arcillosa con presencia de cantos, procedentes de un posible derrumbe
705	4	Estrato	Estrato de tierra marrón oscura, con carbones y fragmento de adobe bajo UE 695
706	30	Estrato	Estrato horizontal de piedras (posible pavimento) bajo UUEE 337, 680 y 690
707	31	Estrato	Estrato de textura arcillosa y coloración marrón con alguna presencia de cenizas
708	31	Estrato	Estrato de tierra de tonalidad parda y textura arcillosa. Cuenta con guijarros y piedras de gran tamaño. Cubierto parcialmente por UE 314
709	31	Estrato	Estrato de tierra de tonalidad gris-marrón con pequeños cantos rodados. Localizada al levantar UE 314 en su zona N
710	31	Estrato	Nivel de piedras de tamaño medio y grande junto a UE 709. Parcialmente cubierto por UE 314
711	38	Estructura	Preparado de mortero de tonalidad anaranjada que se apoya en UE 700 y que está cubierto por UE 702

712	38	Estructura	Nivel de <i>opus signinum</i> cubierto por UE 702, manchado con cenizas. Situado junto a UE 711
713	38	Estructura	Losa de piedra situada junto a UE 712. Cubierta por UE 702
714	38	Estrato	Estrato de tonalidad anaranjada compuesto por adobes, cal y carbones, con escasa presencia de materiales arqueológicos. Textura muy compacta
715	36	Muro	Muro de piedra que delimita al Ambiente 36 por su extremo S
716	29	Estructura	Orificio de la <i>concameratio</i> en la cara W del muro UE 358, en posición B0
717	29	Estructura	Orificio de la <i>concameratio</i> en la cara W del muro UE 358, en posición B-1
718	29	Estructura	Fragmento de <i>clavus coctile</i> en el interior del orificio UE 717, en el muro UE 358
719	29	Estructura	Orificio de la <i>concameratio</i> en la cara S del muro UE 479, en posición A1
720	29	Estructura	Orificio de la <i>concameratio</i> en la cara S del muro UE 479, en posición A2
721	29	Estructura	Fragmento de <i>clavus coctile</i> en el interior del orificio UE 720, en el muro UE 479
722	29	Grupo UUEE	Conjunto de orificios de <i>concameratio</i> y de los restos de sus <i>clavi coctiles</i> del muro UE 479
723	29	Estructura	<i>Pila</i> de hipocausto situada en la posición A8
724	29	Estructura	<i>Pila</i> de hipocausto situada en la posición B9
725	29	Estructura	<i>Pila</i> de hipocausto situada en la posición D8
726	29	Estructura	<i>Pila</i> de hipocausto situada en la posición D9
727	29	Estructura	Sillar que flanquea en su extremo S la apertura UE 623 del muro UE 358
728	29	Interfaz	Rotura del arco UE 480
729	29	Estrato	Relleno del arco UE 480
730	29	Estrato	Relleno del arco UE 577
731	30	Estructura	Media caña de sección cuadrangular situada en la zona sur del ambiente
732	4-5	Muro	Muro con dirección N-S que separa el Ambiente 4 del 5 por su cara este.
733	4-5	Estrato	Estrato de tierra marrón grisácea bajo pavimento UE 303, cubriendo muro UE 732 en su extremo norte.
734	4-5	Interfaz	Interfaz en la zona norte del muro UE 732, rellena por UE 733, que podría corresponder a un umbral.
735	30	Estructura	Revestimiento de mortero en la cara norte del muro UE 570
736	30	Estructura	Revestimiento de mortero en la cara este del muro UE 576

5. Inventario de materiales

NUME	SEC	CAMPAÑA A	CO- Amb	UE	FOR	MAT	TPM	NF	NOTAS
361	7F	2019		1		CO		2	
362	7F	2019		1	4		CM	1	
363	7F	2019		1	7	C	CM	1	
364	7F	2019		1	1	C	CC	1	
365	7F	2019		1	1	C	CC	1	
366	7F	2019		1	1	C	CC	1	
367	7F	2019		1	1	C	CC	1	
368	7F	2019		1	1	C	CMA	1	
369	7F	2019		1	1	C	CMA	1	
370	7F	2019		1	1	C	CMA	1	
371	7F	2019		1	1	C	CMA	1	
372	7F	2019		1	1	C	CMA	1	
373	7F	2019		1	1	C	TSG	1	
374	7F	2019		1	1	C	TSG	1	
375	7F	2019		1	1	C	TSG	1	
376	7F	2019		1	1	C	TSG	1	
377	7F	2019		1	1	C	TSG	1	
378	7F	2019		1	0	C	TSG	1	
379	7F	2019		1	0	C	TSG	1	
380	7F	2019		1	0	C	TSG	1	
381	7F	2019		1	0	C	TSG	1	
382	7F	2019		1	0	C	TSG	1	
383	7F	2019		1	0	C	CC	1	
384	7F	2019		1	0	C	TSA	1	
385	7F	2019		1	0	C	TSA	1	
386	7F	2019		1	0	C	TSA	1	
387	7F	2019		1	0	C	TSA	1	
388	7F	2019		1	0	C	TSA	1	
389	7F	2019		1	0	C	TSA	1	
390	7F	2019		1	0	C	TSA	1	
391	7F	2019		1	0	C	TSA	1	
392	7F	2019		1	0	C	TSA	1	
393	7F	2019		1	0	C	TSA	1	
394	7F	2019		1	0	C	TSA	1	
395	7F	2019		1	0	C	TSA	1	
396	7F	2019		1	0	C	TSA	1	
397	7F	2019		1	0	C	TSA	1	
398	7F	2019		1	0	C	TSA	1	

399	7F	2019	1	0	C	TSA	1
400	7F	2019	1	0	C	TSA	1
401	7F	2019	1	0	C	TSA	1
402	7F	2019	1	0	C	TSA	1
403	7F	2019	1	0	CIP	PT	1
404	7F	2019	1	0	CIP	PT	1
405	7F	2019	1	0	CIP	PT	1
406	7F	2019	1	0	CIP	PT	1
407	7F	2019	1	0	CIP	PT	1
408	7F	2019	1	0	CIP	PT	1
409	7F	2019	1	0	CIP	PT	1
410	7F	2019	1	0	CIP	PT	1
411	7F	2019	1	0	C	RP	1
412	7F	2019	1	0	C	LUC	1
413	7F	2019	1	0	C	LUC	1
414	7F	2019	1	0	C	LUC	1
415	7F	2019	1	0	C	LUC	1
416	7F	2019	1	0	C	LUC	1
427	7F	2019	1	1	C	CC	1
428	7F	2019	1	1	C	CC	1
429	7F	2019	1	1	C	CC	1
430	7F	2019	1	1	C	CC	1
431	7F	2019	1	1	C	CC	1
432	7F	2019	1		C	TE	2
433	7F	2019	1	F			42
434	7F	2019	1		HT		1
435	7F	2019	1	0	C	CC	12
436	7F	2019	1	7	C	CC	1
437	7F	2019	1		F		8
438	7F	2019	1	7	C	CC	1
439	7F	2019	1	7	C	CC	1
440	7F	2019	1	7	C	CC	1
441	7F	2019	1	1	C	CC	1
442	7F	2019	1	1	C	CC	1
443	7F	2019	1	1	C	CC	1
444	7F	2019	1	1	C	CC	1
445	7F	2019	1	1	C	CC	1
446	7F	2019	1	1	C	CC	1
448	7F	2019	1	1	C	CC	1
449	7F	2019	1		LBR	LBR	1
450	7F	2019	1		CO	TE	1
451	7F	2019	1		HT		1
452	7F	2019	1		F		1
453	7F	2019	1		F		2
454	7F	2019	1	0	C	CC	13
455	7F	2019	1	1	C	CC	1

456	7F	2019	1	1	C	CC	1	
457	7F	2019	1	1	C	CC	1	
458	7F	2019	1	1	C	CC	1	
459	7F	2019	1		CO	BES	1	
460	7F	2019	1		CO	TTU	1	
461	7F	2019	1		CO	TTU	1	
462	7F	2019	1	7	C	ANF	1	
463	7F	2019	1	7	C	ANF	1	
464	7F	2019	1	0	C	CC	33	
465	7F	2019	1		F		12	
466	7F	2019	1	4			1	
467	7F	2019	1	4	C	CC	1	
468	7F	2019	1	1	C	CC	1	VIDRIADO
469	7F	2019	1	1	C	CC	1	VIDRIADO
470	7F	2019	1	0	C	CC	1	VIDRIADO
471	7F	2019	1	1	C	CC	1	
472	7F	2019	1	1	C	CC	1	
473	7F	2019	1	1	C	CC	1	
474	7F	2019	1	1	C	CC	1	
475	7F	2019	1	1	C	CC	1	
476	7F	2019	1	1	C	CC	1	
477	7F	2019	1	4	C	CC	1	
478	7F	2019	1	1	C	CC	1	
479	7F	2019	1	0	C	CC	7	
480	7F	2019	1	7	C	CC	1	
481	7F	2019	1	7	C	CC	1	
482	7F	2019	1	7	C	CC	1	
483	7F	2019	1	1	C	CMA	1	
484	7F	2019	1	1	C	CMA	1	
485	7F	2019	1	1	C	CMA	1	
486	7F	2019	1	1	C	CMA	1	
487	7F	2019	1	1	C	CMA	1	
488	7F	2019	1	1	C	CMA	1	
489	7F	2019	1	1	C	CMA	1	
490	7F	2019	1	0	C	CMA	1	
491	7F	2019	1	0	C	CMA	1	
492	7F	2019	1	0	C	CMA	1	
493	7F	2019	1	0	C	CMA	1	
494	7F	2019	1	0	C	CMA	1	
495	7F	2019	1	0	C	CMA	1	
496	7F	2019	1	0	C	CMA	1	
497	7F	2019	1	0	C	CMA	1	
498	7F	2019	1	0	C	CMA	1	
499	7F	2019	1	4	C	TSA	1	
500	7F	2019	1	4	C	TSA	1	
501	7F	2019	1	4	C	TSA	1	

502	7F	2019	1	4	C	TSA	1	
503	7F	2019	1	4	C	TSA	1	
504	7F	2019	1	4	C	TSA	1	
505	7F	2019	1	4	C	TSA	1	
506	7F	2019	1	4	C	TSA	1	
507	7F	2019	1	4	C	TSA	1	
508	7F	2019	1	4	C	TSA	1	
509	7F	2019	1	4	C	TSA	1	
510	7F	2019	1	4	C	TSA	1	
511	7F	2019	1	4	C	TSA	1	
512	7F	2019	1	1	C	TSA	1	
513	7F	2019	1	1	C	TSA	1	
514	7F	2019	1	1	C	TSA	1	
515	7F	2019	1	1	C	TSA	1	
516	7F	2019	1	1	C	TSA	1	
517	7F	2019	1	1	C	TSA	1	
518	7F	2019	1	1	C	TSA	1	
519	7F	2019	1	0	CO		2	
520	7F	2019	1	0	VD		1	
521	7F	2019	1	4	C	TSA	1	
522	7F	2019	1	0	C	TSH	1	
523	7F	2019	1	7	C	CC	1	ISLÁMICA
524	7F	2019	1	0	LBR	LBR	1	
525	7F	2019	1	0	C	TSG	1	EN SIGNINUM
526	7F	2019	1	1	C	CC	1	
527	7F	2019	1	1	C	CC	1	
528	7F	2019	1	0	C	CC	1	
529	7F	2019	1	7	C	ANF	1	
530	7F	2019	1	0	C	ANF	12	
531	7F	2019	1	0	CO		1	
532	7F	2019	1	0	F		1	
533	7F	2019	1	0	C	PES	1	
534	7F	2019	1	1	C	CC	1	
535	7F	2019	1	0	C	BES	1	
536	7F	2019	1	0	C	BIP	1	
537	7F	2019	1	0	C	BIP	1	
538	7F	2019	1	0	C	BES	5	
539	7F	2019	1	0	C	TCL	3	
560	7F	2019	1	0	C	ANF	5	
561	7F	2019	1	7	C	ANF	5	
562	7F	2019	1	7	C	ANF	1	
563	7F	2019	1	7	C	ANF	1	
564	7F	2019	1	7	C	ANF	1	
565	7F	2019	1	7	C	ANF	1	
566	7F	2019	1	7	C	ANF	1	
567	7F	2019	1	7	C	ANF	1	

568	7F	2019	1	0	D		1	ÚTIL LÍTICO
569	7F	2019	1	0	F		1	
570	7F	2019	1	1	C	PT	1	IBÉRICA
571	7F	2019	1	7	C	PT	1	IBÉRICA
572	7F	2019	1	1	C	CC	1	
573	7F	2019	1	1	C	CC	1	
574	7F	2019	1	0	C	CC	4	
575	7F	2019	1	0	C	CC	41	
576	7F	2019	1	7	C	CC	1	
577	7F	2019	1	7	C	CC	1	
578	7F	2019	1	7	C	CC	1	
579	7F	2019	1	7	C	CC	1	
580	7F	2019	1	1	C	CM	1	
581	7F	2019	1	1	C	CM	1	
582	7F	2019	1	1	C	CM	1	
583	7F	2019	1	1	C	CM	1	
584	7F	2019	1	1	C	CM	1	
585	7F	2019	1	1	C	CM	1	
586	7F	2019	1	1	C	CM	1	
587	7F	2019	1	1	C	CM	1	
588	7F	2019	1	1	C	CM	1	
589	7F	2019	1	4	C	CM	1	
590	7F	2019	1	4	C	CM	1	
591	7F	2019	1	4	C	CM	1	
592	7F	2019	1	4	C	CM	1	
593	7F	2019	1	0	C	BN	1	
594	7F	2019	1	0	C	TS	1	
595	7F	2019	1	1	C	TSA	1	
596	7F	2019	1	1	C	CMA	1	
597	7F	2019	1	1	C	CMA	1	
598	7F	2019	1	1	C	CMA	1	
599	7F	2019	1	4	C	CMA	1	
600	7F	2019	1	0	LBR	MON	1	
601	7F	2019	1	0	C	CM	1	
602	7F	2019	1	0	C	TS	1	DECORADA
603	7F	2019	1	0	C	TSA	1	
604	7F	2019	1	0	C	TSA	1	
605	7F	2019	1	0	C	TSA	1	
652	7F	2019	1	4	C	CMR	1	
653	7F	2019	1	0	F	CC	3	
77	7F	2019	31	24	7	C	CC	3
78	7F	2019	31	24	1	C	CM	1
79	7F	2019	31	24	0	C	CMR	1
80	7F	2019	31	24	0	C	CC	7
81	7F	2019	31	24	0	C	TS	1
82	7F	2019	31	24	0	C	TS	1

83	7F	2019	31	24	0	C	CMA	1
118	7F	2019	29	53	1	C	CC	1
119	7F	2019	29	53	1	C	CC	1
120	7F	2019	29	53	7	C	CC	1
121	7F	2019	29	53	0	C	CC	1
122	7F	2019	29	53	0	C	PT	1
123	7F	2019	29	53	0	C	CMR	1
124	7F	2019	29	53	0	C	ANF	1
125	7F	2019	29	53	1	C	TS	1
126	7F	2019	29	53	1	C	TS	1
127	7F	2019	29	53	0	C	TS	1
128	7F	2019	29	53	0	C	TS	1
129	7F	2019	29	53	1	C	TS	1
130	7F	2019	29	53	4	C	TSA	1
131	7F	2019	29	53	4	C	TSA	1
132	7F	2019	29	53	0	C	ROT	1
133	7F	2019	29	53	0	C	ROT	1
134	7F	2019	29	53	0	C	ROT	1
135	7F	2019	29	53	1	C	ROT	1
136	7F	2019	29	53	1	C	ROT	1
137	7F	2019	29	53	4	C	ROT	1
138	7F	2019	29	53	0	C	ROT	1
139	7F	2019	29	53	1	C	VI	1
140	7F	2019	29	53	4	C	LUC	1
141	7F	2019	29	53	DO	C	LUC	1
142	7F	2019	29	53	DO	C	LUC	1
143	7F	2019	29	53	0	C	CC	1
144	7F	2019	29	53	0	C	ANF	1
145	7F	2019	29	53	4	C	ANF	1
146	7F	2019	29	53	4	C	ANF	1
147	7F	2019	29	53	1	C	CM	1
148	7F	2019	29	53	4	C	CM	1
149	7F	2019	29	53	4	C	CM	1
150	7F	2019	29	53	4	C	CM	1
151	7F	2019	29	53	4	C	CM	1
152	7F	2019	29	53	4	C	CM	1
153	7F	2019	29	53	1	C	CM	1
154	7F	2019	29	53	1	C	CMA	1
155	7F	2019	29	53	4	C	CMA	1
156	7F	2019	29	53	4	C	CMA	1
157	7F	2019	29	53	7	C	CM	1
158	7F	2019	29	53	1	C	CM	1
159	7F	2019	29	53	1	C	TS	1
160	7F	2019	29	53	4	C	TS	1
160	7F	2019	29	53	0	C	TS	1
162	7F	2019	29	53	0	C	TS	1

163	7F	2019	29	53	0	C	TS	1	
164	7F	2019	29	53	0	C	TSA	1	
165	7F	2019	29	53	0	C	TSA	1	
166	7F	2019	29	53	4	C	CMA	1	
167	7F	2019	29	53	0	C	CMA	1	
168	7F	2019	29	53	DO	C	LUC	1	
169	7F	2019	29	53	4	C	TSA	1	
170	7F	2019	29	53	0	CO		1	AZUL
									MOLDURA ROJO-
									AZUL
171	7F	2019	29	53	0	CO		1	AZUL
172	7F	2019	29	53	1	C	CM	1	
173	7F	2019	29	53	4	C	CMR	1	
174	7F	2019	29	53	0	C	CMR	1	
175	7F	2019	29	53	4	C	CMA	1	
176	7F	2019	29	53	0	C	CMA	1	
177	7F	2019	29	53	0	C	ANF	1	
178	7F	2019	29	53	0	C	ANF	1	
179	7F	2019	36	53	1	C	ANF	1	
									ISLÁMICA-
180	7F	2019	36	53	0	C		1	DECORADA
181	7F	2019	36	53	0	C	TIM	1	
182	7F	2019	36	53	0	C	BES	1	
183	7F	2019	36	53	1	VD		1	
184	7F	2019	29	53	0	HT		1	
185	7F	2019	29	53	0	HT		1	
186	7F	2019	29	53	0	F		1	
187	7F	2019	29	53	0	F	FMVR	1	
188	7F	2019	29	53	1	C	ANF	1	
189	7F	2019	29	53	7	C	ANF	1	
190	7F	2019	29	53	0	C	ANF	15	
191	7F	2019	29	53	1	C	CC	1	
192	7F	2019	29	53	1	C	CC	1	
193	7F	2019	29	53	1	C	CC	1	
194	7F	2019	29	53	7	C	CC	1	
195	7F	2019	29	53	7	C	CC	1	
196	7F	2019	29	53	7	C	CC	1	
197	7F	2019	29	53	0	C	CC	1	
198	7F	2019	29	53	4	C	CC	1	
199	7F	2019	29	53	1	C	PT	1	IBÉRICA
200	7F	2019	29	53	0	C	PT	1	IBÉRICA
201	7F	2019	29	53	0	C	PT	1	IBÉRICA
202	7F	2019	29	53	1	C	ANF	1	IBÉRICA
203	7F	2019	29	53	0	C	TS	1	
204	7F	2019	29	53	0	C	CMA	1	
205	7F	2019	29	53	1	C	CMA	1	
206	7F	2019	29	53	1	C	CMA	1	
207	7F	2019	29	53	4	C	CMA	1	

208	7F	2019	29	53	4	C	CMA	1	
209	7F	2019	29	53	0	C	CMA	1	
210	7F	2019	29	53	1	C	TSA	1	
211	7F	2019	29	53	0	C	CON	1	
212	7F	2019	29	53	0	C	CON	1	
213	7F	2019	29	53	1	C	CMR	1	
214	7F	2019	29	53	1	C	CMR	1	
215	7F	2019	29	53	4	C	CMR	1	
216	7F	2019	29	53	1	C	CC	1	TANNUD ISLÁMICO
217	7F	2019	29	53	4	C	ROT	1	
218	7F	2019	29	53	0	C	ROT	1	
219	7F	2019	29	53	4	C	ROT	1	
220	7F	2019	29	53	0	F	FVMA	1	
221	7F	2019	29	53	0	F	FVMA	1	
223	7F	2019	31	53	1	C	CMR	1	
224	7F	2019	31	53	0	C	CMR	1	
225	7F	2019	31	53	1	C	ROT	1	
226	7F	2019	31	53	1	C	CC	1	
227	7F	2019	31	53	1	C	CC	1	
228	7F	2019	31	53	1	C	CC	1	
229	7F	2019	31	53	1	C	CC	1	
230	7F	2019	31	53	1	C	CC	1	
231	7F	2019	31	53	1	C	CC	1	
232	7F	2019	31	53	1	C	CC	1	
233	7F	2019	31	53	4	C	CC	1	
234	7F	2019	31	53	7	C	CC	1	
235	7F	2019	31	53	7	C	CC	1	
236	7F	2019	31	53	7	C	CC	1	
237	7F	2019	31	53	7	C	CC	1	
238	7F	2019	31	53	0	C	CC	20	
239	7F	2019	31	53	1	C	PT	1	IBÉRICA
240	7F	2019	31	53	1	C	ANF	1	
241	7F	2019	31	53	1	C	ANF	1	
242	7F	2019	31	53	7	C	ANF	1	
243	7F	2019	31	53	7	C	ANF	1	
244	7F	2019	31	53	7	C	ANF	1	
245	7F	2019	31	53	7	C	ANF	1	
246	7F	2019	31	53	7	C	ANF	1	
247	7F	2019	31	53	1	C	ANF	1	
248	7F	2019	31	53	0	C	ANF	18	
249	7F	2019	31	53	1	C	CMA	1	
250	7F	2019	31	53	1	C	CMA	1	
251	7F	2019	31	53	1	C	CMA	1	
252	7F	2019	31	53	4	C	CMA	1	
253	7F	2019	31	53	4	C	CMA	1	

254	7F	2019	31	53	0	C	CMA	1	
255	7F	2019	31	53	1	C	TS	1	
256	7F	2019	31	53	4	C	TS	1	
257	7F	2019	31	53	4	C	TS	1	
258	7F	2019	31	53	0	C	TS	1	
259	7F	2019	31	53	0	C	TS	1	
260	7F	2019	31	53	0	C	TS	1	
261	7F	2019	31	53	0	C	BES	1	
262	7F	2019	31	53	0	CO		1	ENLUCIDO VERDE
263	7F	2019	31	53	0	CO		1	ENLUCIDO AZUL, ROJO, BLANCO
264	7F	2019	31	53	0	F	CLA	1	
265	7F	2019	31	53	0	F	H	1	
266	7F	2019	31	53	7	C	ANF	1	
267	7F	2019	31	53	PI	C	ANF	1	
268	7F	2019	31	53	7	C	CC	1	
269	7F	2019	31	53	0	C	CC	1	
270	7F	2019	31	53	0	C	CMR	1	
271	7F	2019	31	53	DI	C	LUC	1	
272	7F	2019	31	53	0	C	PT	1	IBÉRICA
273	7F	2019	31	53	1	C	CMA	1	
274	7F	2019	31	53	1	C	CMA	1	
275	7F	2019	31	53	4	C	TSA	1	
606	7F	2019		1	1	C	CCR	1	
607	7F	2019		1	1	C	CCR	1	
608	7F	2019		1	1	C	CCR	1	
609	7F	2019		1	1	C	CCR	1	
610	7F	2019		1	1	C	ANF	1	
611	7F	2019		1	7	C	ANF	1	
612	7F	2019		1	0	C	ANF	1	
613	7F	2019		1	1	C	CMA	1	
614	7F	2019		1	1	C	CMA	1	
615	7F	2019		1	4	C	CM	1	
616	7F	2019		1	4	C	CM	1	
617	7F	2019		1	4	C	CM	1	
618	7F	2019		1	4	C	CM	1	
619	7F	2019		1	4	C	CM	1	
620	7F	2019		1	1	C	CM	1	
621	7F	2019		1	1	C	CM	1	
622	7F	2019		1	1	C	CM	1	
623	7F	2019		1	7	C	CM	1	
624	7F	2019		1	7	C	CM	1	
625	7F	2019		1	0	C	CM	1	
626	7F	2019		1	0	F	H	1	
627	7F	2019		1	0	F	FVMA	1	
628	7F	2019		1	0	VD		1	

629	7F	2019		1	7	C	ANF	1	
630	7F	2019		1	0	C	ANF	9	
631	7F	2019		1	0	C	CM	1	
632	7F	2019		1	4	C	CC	1	
633	7F	2019		1	0	C	CC	1	
634	7F	2019		1	0	C	LUC	1	
635	7F	2019		1	0	C	LUC	1	
636	7F	2019		1	0	C	CM	1	VIDRIADA
637	7F	2019		1	0	C	CM	1	VIDRIADA
638	7F	2019		1	0	C	TS	1	
639	7F	2019		1	0	HT		1	
640	7F	2019		1	0	F		1	
641	7F	2019		1	0	F	FVMA	1	
642	7F	2019		1	0	F		10	
643	7F	2019		1	0	C	ANF	5	
644	7F	2019		1	0	C	CM	5	
645	7F	2019		1	0	C	CMA	1	
646	7F	2019		1	1	C	CMR	1	
647	7F	2019		1	1	C	BN	1	
648	7F	2019		1	0	C	PF	11	
649	7F	2019		1	0	C	CC	1	
650	7F	2019		1	0	VD		1	
651	7F	2019		1	0	C	ANF	5	
276	7F	2019	31	53	1	C	ROT	1	
277	7F	2019	31	53	4	C	ROT	1	
278	7F	2019	31	53	0	C	ROT	1	
279	7F	2019	31	53	0	C	ANF	22	
280	7F	2019	31	53	0	C	CC	13	
281	7F	2019	31	53	0	CO		1	ENLUCIDO PINTADO
282	7F	2019	31	53	0	C		1	
283	7F	2019	31	53	0	CO	TIM	1	
284	7F	2019	31	53	0	CO	BES	1	
285	7F	2019	31	53	0	C	ANF	1	
286	7F	2019	31	53	0	C	CC	1	
287	7F	2019	31	53	1	C	CMA	1	TAPADERA
288	7F	2019	31	53	4	C	CMA	1	
289	7F	2019	31	53	1	C	CC	1	
290	7F	2019	31	53	1	C	CC	1	
291	7F	2019	31	53	1	C	CC	1	
292	7F	2019	31	53	4	C	CC	1	
293	7F	2019	31	53	4	C	CC	1	
294	7F	2019	31	53	4	C	CC	1	
295	7F	2019	31	53	0	C	CMR	1	
296	7F	2019	31	53	4	C	TS	1	
297	7F	2019	31	53	4	C	TSA	1	

298	7F	2019	31	53	0	F	FVMA	1	
299	7F	2019	36	53	0	CO		1	ENLUCIDOROJO
									ENLUCIDO
300	7F	2019	36	53	0	CO		1	VERDE
									ENLUCIDO
301	7F	2019	36	53	0	CO		1	VERDE
222	7F	2019	31	53	1	C	CMR	1	
142	7F	2019	31	56	1	C	TSA	1	
143	7F	2019	31	56	0	C	TSI	1	
144	7F	2019	31	56	0	C	TSH	1	
145	7F	2019	31	56	4	C	TSH	1	
146	7F	2019	31	56	0	C	TS	7	
147	7F	2019	31	56	4	C	BN	1	
148	7F	2019	31	56	0	C	PT	1	IBÉRICA
149	7F	2019	31	56	1	C	CMA	1	
150	7F	2019	31	56	1	C	CMA	1	
151	7F	2019	31	56	7	C	CMA	1	
152	7F	2019	31	56	4	C	CMA	1	
153	7F	2019	31	56	4	C	CMA	1	
154	7F	2019	31	56	0	C	CMA	1	
155	7F	2019	31	56	1	C	CMR	1	
156	7F	2019	31	56	1	C	CMR	1	
157	7F	2019	31	56	0	C	CMR	5	
158	7F	2019	31	56	1	C	CC	1	
159	7F	2019	31	56	1	C	CC	1	
160	7F	2019	31	56	1	C	CC	1	
161	7F	2019	31	56	4	C	CC	1	
162	7F	2019	31	56	4	C	CC	1	
163	7F	2019	31	56	0	C	CC	83	
164	7F	2019	31	56	0	C		1	
165	7F	2019	31	56	1	C	ANF	1	
166	7F	2019	31	56	7	C	ANF	1	
167	7F	2019	31	56	7	C	ANF	1	
168	7F	2019	31	56	0	C	ANF	2	
169	7F	2019	31	56	0	C	BES	1	
170	7F	2019	31	56	0	C	TTE	1	
171	7F	2019	31	56	0	C	TIM	1	
172	7F	2019	31	56	0	C	TIM	1	
173	7F	2019	31	56	0	C	TIM	1	
174	7F	2019	31	56	0	C	DMR	1	
175	7F	2019	31	56	0	C	ES	1	
176	7F	2019	31	56	0	C		1	
177	7F	2019	31	56	0	C		1	
178	7F	2019	31	56	1	C	CM	1	
179	7F	2019	31	56	0	C	CMR	1	
180	7F	2019	31	56	1	C	CC	1	
181	7F	2019	31	56	7	C	CC	1	

182	7F	2019	31	56	0	C	ANF	1	
183	7F	2019	31	56	4	C	ANF	1	
184	7F	2019	31	56	0	C	ANF	10	
185	7F	2019	31	56	1	C	CC	1	MEDIEVAL
186	7F	2019	31	56	4	C	CC	1	MEDIEVAL
187	7F	2019	31	56	1	C	CC	1	MORTERO
188	7F	2019	31	56	0	CO	ES	1	
189	7F	2019	31	56	0	MO		1	
190	7F	2019	31	56	0	F		11	
						FVM			
191	7F	2019	31	56	0	A		34	
192	7F	2019	31	56	1	C	CC	1	
193	7F	2019	31	56	7	C	ANF	1	
194	7F	2019	31	56	0	C	ANF	1	
195	7F	2019	31	56	1	C	CMR	1	
196	7F	2019	31	56	1	C	CC	1	
197	7F	2019	31	56	1	C	TSA	1	
198	7F	2019	31	56	0	C	TSA	1	
199	7F	2019	31	56	0	C	CC	7	
200	7F	2019	31	56	0	C	ANF	3	
201	7F	2019	31	56	1	C	CC	1	
202	7F	2019	31	56	0	C	CC	6	
203	7F	2019	31	56	1	C	CMR	1	
204	7F	2019	31	56	0	C	CMR	3	
205	7F	2019	31	56	4	C	CMA	1	
206	7F	2019	31	56	0	C	BNAT	1	
207	7F	2019	31	56	0	C	PT	1	IBÉRICA
208	7F	2019	31	56	0	C	PT	1	IBÉRICA
209	7F	2019	31	56	0	C	CC	1	
210	7F	2019	31	56	4	C	CC	1	
211	7F	2019	31	56	1	C	CC	1	
212	7F	2019	31	56	0	C	TSA	1	
213	7F	2019	31	56	0	C	TSH	1	
214	7F	2019	31	56	1	C	TSI	1	
215	7F	2019	31	56	1	C	UNG	1	
216	7F	2019	31	56	1	C	ANF	1	
217	7F	2019	31	56	0	C	TTE	1	
218	7F	2019	31	56	0	C	ANF	19	
219	7F	2019	31	56	7	C	ANF	1	
220	7F	2019	31	56	7	C	ANF	1	
221	7F	2019	31	56	7	C	ANF	1	
222	7F	2019	31	56	4	C	ANF	1	
223	7F	2019	31	56	0	C	CON	1	
224	7F	2019	31	56	0	C	TIM	1	
225	7F	2019	31	56	1	C	CC	1	
226	7F	2019	31	56	1	C	CC	1	

227	7F	2019	31	56	1	C	CC	1	
228	7F	2019	31	56	1	C	CC	1	
229	7F	2019	31	56	1	C	CC	1	
230	7F	2019	31	56	1	C	CC	1	
231	7F	2019	31	56	7	C	CC	1	
232	7F	2019	31	56	7	C	CC	1	
233	7F	2019	31	56	7	C	CC	1	
234	7F	2019	31	56	7	C	CC	1	
235	7F	2019	31	56	7	C	CC	1	
236	7F	2019	31	56	7	C	CC	1	
237	7F	2019	31	56	0	C	CC	27	
238	7F	2019	31	56	4	C	CC	1	
239	7F	2019	31	56	4	C	CC	1	
240	7F	2019	31	56	7	C	PT	1	IBÉRICA
241	7F	2019	31	56	0	C	PT	1	IBÉRICA
242	7F	2019	31	56	1	C	CMR	1	
243	7F	2019	31	56	0	C	CMA	1	
244	7F	2019	31	56	1	C	CMA	1	
245	7F	2019	31	56	1	C	TSA	1	
246	7F	2019	31	56	1	C	TSA	1	
247	7F	2019	31	56	1	C	TSA	1	
248	7F	2019	31	56	4	C	TSA	1	
249	7F	2019	31	56	0	C	TSA	1	
250	7F	2019	31	56	0	C	TSA	1	
251	7F	2019	31	56	0	C	TSA	1	
252	7F	2019	31	56	0	C	TSA	1	
253	7F	2019	31	56	0	C	TSA	1	
254	7F	2019	31	56	1	C	TS	1	
255	7F	2019	31	56	0	C	TS	1	
256	7F	2019	31	56	4	C	BN	2	
257	7F	2019	31	56	7	C	CC	1	CONTEMPORÁNEA
258	7F	2019	31	56	1	C	CC	1	A
259	7F	2019	31	56	0	F	H	1	CONTEMPORÁNEA
260	7F	2019	31	56	0	VD		2	
261	7F	2019	31	56	0	DMR		1	
262	7F	2019	31	56	0	C	CC	41	
263	7F	2019	31	56	1	C	CC	1	
264	7F	2019	31	56	1	C	CC	1	
265	7F	2019	31	56	7	C	CC	1	
266	7F	2019	31	56	0	C	TFC	1	
267	7F	2019	31	56	0	F	H	7	
268	7F	2019	31	56	0	C	PT	1	IBÉRICA
269	7F	2019	31	56	0	C	PT	1	IBÉRICA
270	7F	2019	31	56	1	C	CC	1	
271	7F	2019	31	56	1	C	CC	1	

272	7F	2019	31	56	1	C	CC	1	
273	7F	2019	31	56	1	C	CC	1	
274	7F	2019	31	56	4	C	CM	1	
275	7F	2019	31	56	0	C	CC	4	
276	7F	2019	31	56	0	C	ANF	8	
277	7F	2019	31	56	7	C	ANF	1	
278	7F	2019	31	56	7	C	ANF	1	
279	7F	2019	31	56	0	C	ANF	1	
280	7F	2019	31	56	0	VD		1	
281	7F	2019	31	56	0	C	BNAT	1	
282	7F	2019	31	56	0	DMR		1	
283	7F	2019	31	56	0	C	TIM	1	
284	7F	2019	31	56	0	C	TEG	1	
285	7F	2019	31	56	0	C	TSA	1	
286	7F	2019	31	56	4	C	CMA	1	
287	7F	2019	31	56	4	C	CMA	1	
288	7F	2019	31	56	4	C	CMA	1	
289	7F	2019	31	56	4	C	CMA	1	
290	7F	2019	31	56	4	C	CMA	1	
5	7F	2019	5	200	1	C	PT	1	IBÉRICA
6	7F	2019	5	200	1	C	PT	1	IBÉRICA
7	7F	2019	5	200	1	C	PT	1	IBÉRICA
8	7F	2019	5	200	0	C	PT	1	IBÉRICA
9	7F	2019	5	200	0	C	PT	1	IBÉRICA
10	7F	2019	5	200	0	C	PT	1	IBÉRICA
11	7F	2019	5	200	0	C	PT	1	IBÉRICA
12	7F	2019	5	200	0	C	PT	1	IBÉRICA
13	7F	2019	5	200	0	C	PT	1	IBÉRICA
14	7F	2019	5	200	0	C	PT	1	IBÉRICA
15	7F	2019	5	200	0	C	PT	1	IBÉRICA
16	7F	2019	5	200	0	C	PT	1	IBÉRICA
17	7F	2019	5	200	0	C	PT	1	IBÉRICA
18	7F	2019	5	200	0	C	PT	1	IBÉRICA
19	7F	2019	5	200	0	C	PT	1	IBÉRICA
20	7F	2019	5	200	0	C	PT	1	IBÉRICA
21	7F	2019	5	200	0	C	PT	1	IBÉRICA
22	7F	2019	5	200	0	C	PT	1	IBÉRICA
23	7F	2019	5	200	0	C	PT	1	
24	7F	2019	5	200	1	C	TS	1	
25	7F	2019	5	200	1	C	CMR	1	
26	7F	2019	5	200	1	C	CMR	1	
27	7F	2019	5	200	1	C	CMR	1	
28	7F	2019	5	200	1	C	CMR	1	
29	7F	2019	5	200	0	C	CMR	1	
30	7F	2019	5	200	0	C	CMR	1	
31	7F	2019	5	200	0	C	CMR	5	

32	7F	2019	5	200	4	C	BN	1	
33	7F	2019	5	200	0	C	PF	1	
34	7F	2019	5	200	0	C	PF	1	
35	7F	2019	5	200	0	C	PF	1	
36	7F	2019	5	200	1	C	CM	1	
37	7F	2019	5	200	7	C	CM	1	
38	7F	2019	5	200	4	C	CM	1	
39	7F	2019	5	200	0	C	CM	1	
40	7F	2019	5	200	0	C	LUC	1	
41	7F	2019	5	200	PI	C	LUC	1	
42	7F	2019	5	200	4	C	PT	1	IBÉRICA
43	7F	2019	5	200	4	C	CMA	1	
44	7F	2019	5	200	4	C	CM	1	
45	7F	2019	5	200	1	C	ANF	2	IBÉRICA
46	7F	2019	5	200	1	C	ANF	1	PÚNICA
47	7F	2019	5	200	0	C	ANF	18	
48	7F	2019	5	200	0	CO	ES	1	
49	7F	2019	5	200	0	F	FVMA	5	
50	7F	2019	5	200	0	F		5	
51	7F	2019	5	200	0	L	FE	1	CLAVO
52	7F	2019	5	200	0	CO	ES	1	
53	7F	2019	5	200	1	C	PT	1	IBÉRICA
54	7F	2019	5	200	DO	C	LUC	1	GLADIADOR
3	7F	2019	4	208	1	C	CC	1	
4	7F	2019	4	208	0	C	CC	7	
5	7F	2019	4	208	0	C	CM	1	
6	7F	2019	4	208	0	C	ANF	1	
7	7F	2019	4	208	4	C	UNG	1	
8	7F	2019	4	208	0	C	LUC	1	
9	7F	2019	4	208	0	C	PT	1	IBÉRICA
10	7F	2019	4	208	0	C	PT	1	IBÉRICA
61	7F	2019	31	314	0	C	ANF	5	
63	7F	2019	31	314	0	C	CMR	2	
64	7F	2019	31	314	0	C	BN	1	
65	7F	2019	31	314	0	CO	TTE	1	
66	7F	2019	31	314	0	CO	TIM	1	
67	7F	2019	31	314	0	CO	TLA	1	
68	7F	2019	31	314	0	CO	BES	1	
69	7F	2019	31	314	0	CO	TTE	1	
70	7F	2019	31	314	1	C	ANF	1	
71	7F	2019	31	314	7	C	ANF	1	
72	7F	2019	31	314	7	C	ANF	1	
73	7F	2019	31	314	1	C	ANF	1	
74	7F	2019	31	314	0	C	ANF	14	
75	7F	2019	31	314	4	C	CC	1	MODERNA
76	7F	2019	31	314	4	C	CC	1	

77	7F	2019	31	314	1	C	CC	1
80	7F	2019	31	314	4	C	CC	1
81	7F	2019	31	314	7	C	CC	1
82	7F	2019	31	314	7	C	CC	1
83	7F	2019	31	314	0	C	CC	1
84	7F	2019	31	314	0	C	BN	1
85	7F	2019	31	314	1	C	CMA	1
86	7F	2019	31	314	1	C	CMA	1
87	7F	2019	31	314	0	C	CMA	1
89	7F	2019	31	314	1	C	CMR	1
90	7F	2019	31	314	0	C	CMR	1
91	7F	2019	31	314	1	C	CC	1
92	7F	2019	31	314	1	C	CC	1
93	7F	2019	31	314	4	C	CC	1
94	7F	2019	31	314	1	C	TSA	1
95	7F	2019	31	314	1	C	TSA	1
96	7F	2019	31	314	1	C	TSA	1
97	7F	2019	31	314	4	C	TSA	1
98	7F	2019	31	314	0	C	TSA	1
99	7F	2019	31	314	0	C	TSA	1
100	7F	2019	31	314	0	C	TSA	1
101	7F	2019	31	314	0	C	TSA	1
102	7F	2019	31	314	0	F		6
103	7F	2019	31	314	0	HT		1
TESELAS								
104	7F	2019	31	314	0	CO	MO	5
105	7F	2019	31	314	0	L	LBR	7
106	7F	2019	31	314	0	VD		10
107	7F	2019	31	314	0	CO	TCO	1
108	7F	2019	31	314	4	C	TS	1
109	7F	2019	31	314	0	C	CM	2
23	7F	2019	30	319	0	C	CMR	12
24	7F	2019	30	319	1	C	CC	1
62	7F	2019	31	314	0	C	CC	2
78	7F	2019	31	314	1	C	CC	1
79	7F	2019	31	314	4	C	CC	1
88	7F	2019	31	314	1	C	CMR	1
25	7F	2019	30	319	1	C	CC	1
26	7F	2019	30	319	1	C	CC	1
27	7F	2019	30	319	1	C	CC	1
28	7F	2019	30	319	1	C	CC	1
29	7F	2019	30	319	1	C	CC	1
30	7F	2019	30	319	1	C	CC	1
31	7F	2019	30	319	1	C	CC	1
32	7F	2019	30	319	0	C	CC	87
33	7F	2019	30	319	4	C	CC	1

34	7F	2019	30	319	0	VD		1
35	7F	2019	30	319	0	CO	BES	1
36	7F	2019	30	319	0	CO	BIP	1
37	7F	2019	30	319	0	C	ANF	21
38	7F	2019	30	319	0	C	PT	1
39	7F	2019	30	319	0	C	LUC	1
40	7F	2019	30	319	4	C	CMA	1
41	7F	2019	30	319	4	C	CMA	1
42	7F	2019	30	319	4	C	CMA	1
43	7F	2019	30	319	4	C	CMA	1
44	7F	2019	30	319	4	C	CMA	1
45	7F	2019	30	319	4	C	CMA	1
46	7F	2019	30	319	4	C	CMA	1
47	7F	2019	30	319	4	C	CMA	1
48	7F	2019	30	319	4	C	CMA	1
49	7F	2019	30	319	4	C	CMA	1
50	7F	2019	30	319	4	C	CMA	1
51	7F	2019	30	319	1	C	CMA	1
52	7F	2019	30	319	1	C	CMA	1
53	7F	2019	30	319	1	C	CMA	1
54	7F	2019	30	319	1	C	CMA	1
55	7F	2019	30	319	1	C	CMA	1
56	7F	2019	30	319	1	C	CMA	1
57	7F	2019	30	319	1	C	CMA	1
58	7F	2019	30	319	0	C	CMA	1
59	7F	2019	30	319	4	C	TSA	1
60	7F	2019	30	319	4	C	TSA	1
61	7F	2019	30	319	4	C	TSA	1
62	7F	2019	30	319	4	C	TSA	1
63	7F	2019	30	319	4	C	TSA	1
64	7F	2019	30	319	4	C	TSA	1
65	7F	2019	30	319	4	C	TSA	1
66	7F	2019	30	319	0	C	TSH	1
67	7F	2019	30	319	0	C	TSH	1
68	7F	2019	30	319	0	F		32
69	7F	2019	30	319	0	F	FVMA	1
70	7F	2019	30	319	1	C	CC	1 OLPE
71	7F	2019	30	319	1	C	ANF	1
72	7F	2019	30	319	7	C	CC	1
73	7F	2019	30	319	0	F	FVMA	2
74	7F	2019	30	319	1	VD		1
75	7F	2019	30	319	1	VD		1
76	7F	2019	30	319	1	VD		1
77	7F	2019	30	319	1	VD		1
78	7F	2019	30	319	4	VD		1
79	7F	2019	30	319	4	VD		1

80	7F	2019	30	319	0	VD		1
81	7F	2019	30	319	4	C	CC	1
82	7F	2019	30	319	0	C	TS	1
83	7F	2019	30	319	0	C	TTE	1
84	7F	2019	30	319	0	C	ANF	9
85	7F	2019	30	319	0	C	PT	1
86	7F	2019	30	319	0	F	H	1
87	7F	2019	30	319	0	C	CC	36
88	7F	2019	30	319	0	C	CMR	1
89	7F	2019	30	319	0	F	H	1
90	7F	2019	30	319	0	CO	MA	1
91	7F	2019	30	319	0	VD		1
92	7F	2019	30	319	0	VD		1
93	7F	2019	30	319	0	C	CMR	1
94	7F	2019	30	319	0	C	CMR	1
95	7F	2019	30	319	0	C	CMR	1
96	7F	2019	30	319	0	C	CMR	1
97	7F	2019	30	319	0	C	CMR	1
98	7F	2019	30	319	1	C	CC	1
99	7F	2019	30	319	1	C	CC	1
100	7F	2019	30	319	1	C	CC	1
101	7F	2019	30	319	0	C	ANF	1
102	7F	2019	30	319	1	C	ROT	1
103	7F	2019	30	319	0	C	CC	1
104	7F	2019	30	319	0	C	CC	1
105	7F	2019	30	319	4	C	TS	1
106	7F	2019	30	319	1	C	TS	1
107	7F	2019	30	319	0	C	TS	1
108	7F	2019	30	319	0	C	TS	1
109	7F	2019	30	319	0	C	CMA	10
110	7F	2019	30	319	4	C	CMA	1
111	7F	2019	30	319	4	C	CMA	1
112	7F	2019	30	319	4	C	CMA	1
113	7F	2019	30	319	4	C	CMA	1
114	7F	2019	30	319	4	C	CMA	1
115	7F	2019	30	319	4	C	CMA	1
116	7F	2019	30	319	1	C	CMA	1
117	7F	2019	30	319	1	C	CMA	1
118	7F	2019	30	319	0	CO	TIM	2
119	7F	2019	30	319	0	C	ANF	3
120	7F	2019	30	319	0	C	PT	1
121	7F	2019	30	319	0	VD	VI	1
122	7F	2019	30	319	4	C	CC	1
123	7F	2019	30	319	1	C	CC	1
124	7F	2019	30	319	1	C	CC	1
125	7F	2019	30	319	1	C	CC	1

126	7F	2019	30	319	1	C	CC	1
127	7F	2019	30	319	1	C	CC	1
128	7F	2019	30	319	1	C	CC	1
129	7F	2019	30	319	0	C	CC	46
130	7F	2019	30	319	0	C	CM	4
131	7F	2019	30	319	4	C	CM	1
132	7F	2019	30	319	1	C	CM	1
133	7F	2019	30	319	1	C	CM	1
134	7F	2019	30	319	1	C	CM	1
136	7F	2019	30	319	0	C	TS	1
137	7F	2019	30	319	0	C	TS	1
138	7F	2019	30	319	0	C	TS	1
139	7F	2019	30	319	4	C	TSA	1
140	7F	2019	30	319	4	C	TSA	1
141	7F	2019	30	319	1	C	TSA	1
142	7F	2019	30	319	0	C	TSA	1
143	7F	2019	30	319	0	C	CMA	2
144	7F	2019	30	319	4	C	CMA	1
145	7F	2019	30	319	4	C	CMA	1
146	7F	2019	30	319	4	C	CMA	1
147	7F	2019	30	319	4	C	CMA	1
148	7F	2019	30	319	4	C	CMA	1
149	7F	2019	30	319	1	C	CMA	1
150	7F	2019	30	319	1	C	CMA	1
151	7F	2019	30	319	1	C	CMA	1
152	7F	2019	30	319	1	C	CMA	1
153	7F	2019	30	319	1	C	CMA	1
154	7F	2019	30	319	1	C	CMA	1
155	7F	2019	30	319	1	C	CMA	1
156	7F	2019	30	319	1	C	CMA	1
157	7F	2019	30	319	1	C	CMA	1
158	7F	2019	30	319	1	C	CMA	1
159	7F	2019	30	319	0	F	H	1
160	7F	2019	30	319	1	C	CMR	1
161	7F	2019	30	319	1	C	CMR	1
162	7F	2019	30	319	4	C	CMR	1
163	7F	2019	30	319	0	C	CMR	1
164	7F	2019	30	319	1	C	CMR	1
165	7F	2019	30	319	1	C	CC	1
166	7F	2019	30	319	4	C	CC	1
167	7F	2019	30	319	4	C	CC	1
168	7F	2019	30	319	4	C	CC	1
169	7F	2019	30	319	0	C	CC	1
170	7F	2019	30	319	0	C	ANF	1
171	7F	2019	30	319	PI	C	LUC	1
172	7F	2019	30	319	PI	C	LUC	1

173	7F	2019	30	319	DO	C	LUC	1	
174	7F	2019	30	319	1	C	CMA	1	
175	7F	2019	30	319	1	C	CMA	1	
176	7F	2019	30	319	1	C	CMA	1	
177	7F	2019	30	319	1	C	CMA	1	
178	7F	2019	30	319	4	C	CMA	1	
179	7F	2019	30	319	4	C	CMA	1	
180	7F	2019	30	319	4	C	CMA	1	
181	7F	2019	30	319	4	C	CMA	1	
182	7F	2019	30	319	0	C	PT	1	
183	7F	2019	30	319	7	C	CMA	1	
184	7F	2019	30	319	0	C	CMA	1	
185	7F	2019	30	319	4	C	TSA	1	
186	7F	2019	30	319	0	C	LUC	1	
187	7F	2019	30	319	0	CO	TIM	1	
135	7F	2019	30	319	1	C	CM	1	
188	7F	2019	30	319	0	CO	TTE	1	
189	7F	2019	30	319	0	F	FVMA	1	
190	7F	2019	30	319	0	F	FVMA	1	
191	7F	2019	30	319	0	HT		1	AGUJA PELO
192	7F	2019	30	319	0	HT		1	AGUJA COSER
193	7F	2019	30	319	1	VD	VI	1	
194	7F	2019	30	319	1	VD	VI	1	
195	7F	2019	30	319	1	VD	VI	1	
196	7F	2019	30	319	1	VD	VI	1	
197	7F	2019	30	319	0	VD	VI	1	
198	7F	2019	30	319	0	CO	TIM	1	
199	7F	2019	30	319	0	CO	TLA	1	
200	7F	2019	30	319	1	C	ANF	1	
201	7F	2019	30	319	0	C	ANF	8	
202	7F	2019	30	319	1	C	CC	2	
203	7F	2019	30	319	0	C	CC	13	
204	7F	2019	30	319	0	C	PT	1	
205	7F	2019	30	319	0	C	PT	1	
206	7F	2019	30	319	0	C	PT	1	
207	7F	2019	30	319	0	C	PT	1	
208	7F	2019	30	319	1	C	ROT	1	
209	7F	2019	30	319	0	C	CMR	5	
210	7F	2019	30	319	1	C	CMA	1	
211	7F	2019	30	319	0	C	CMA	1	
212	7F	2019	30	319	0	CC	TSA	1	
213	7F	2019	30	319	0	C	TSA	1	
214	7F	2019	30	319	0	C	TSA	1	
215	7F	2019	30	319	0	C	TSA	1	
216	7F	2019	30	319	4	C	CMA	1	
217	7F	2019	30	319	0	VD	VI	1	

218	7F	2019	30	319	0	F		26
219	7F	2019	30	319	0	CO	ES	1
220	7F	2019	30	319	0	CO	TTE	1
221	7F	2019	30	319	0	C	CC	32
223	7F	2019	30	319	0	C	CM	5
224	7F	2019	30	319	1	C	TS	1
225	7F	2019	30	319	0	C	TS	1
226	7F	2019	30	319	0	C	TS	1
227	7F	2019	30	319	1	C	CMA	1
228	7F	2019	30	319	0	C	CMA	5
7	7F	2019	30	367	0	C	CC	5
8	7F	2019	30	367	0	VD	VI	1
244	7F	2019	29	436	0	CO	MO	398
245	7F	2019	29	436	0	CO	TCL	78
246	7F	2019	29	436	0	CO	MO	1
247	7F	2019	29	436	0	CO	MO	58
248	7F	2019	29	436	0	F		133
249	7F	2019	29	436	1	C	TSA	1
250	7F	2019	29	436	1	C	TSA	1
251	7F	2019	29	436	4	C	TSA	1
252	7F	2019	29	436	4	C	TSA	1
253	7F	2019	29	436	0	C	TSA	1
254	7F	2019	29	436	7	C	TSA	6
255	7F	2019	29	436	1	C	CMA	3
256	7F	2019	29	436	4	C	CMA	1
257	7F	2019	29	436	4	C	CMA	1
258	7F	2019	29	436	0	C	CMA	4
259	7F	2019	29	436	1	C	CMA	1
260	7F	2019	29	436	1	C	CMA	1
261	7F	2019	29	436	0	C	CMA	1
262	7F	2019	29	436	0	C	CMA	1
263	7F	2019	29	436	7	C	ANF	1
264	7F	2019	29	436	7	C	ANF	1
265	7F	2019	29	436	PI	C	ANF	1
266	7F	2019	29	436	1	C	CC	1
267	7F	2019	29	436	1	C		1
268	7F	2019	29	436	0	C		1
269	7F	2019	29	436	0	C		1
270	7F	2019	29	436	1	C	CMR	1
271	7F	2019	29	436	1	C	ROT	1
272	7F	2019	29	436	1	C	ROT	1
273	7F	2019	29	436	0	C	PT	1
274	7F	2019	29	436	0	C	PT	1
275	7F	2019	29	436	0	C	PT	1
276	7F	2019	29	436	0	C	PT	3
277	7F	2019	29	436	0	C		1

278	7F	2019	29	436	0	C		1	
279	7F	2019	29	436	0	C		1	
280	7F	2019	29	436	0	CO	MA	1	
281	7F	2019	29	436	0	CO	TIM	1	
282	7F	2019	29	436	0	CO	TIM	1	
283	7F	2019	29	436	0	CO	TCL	1	
284	7F	2019	29	436	0	CO	TCL	1	
285	7F	2019	29	436	0	C	CC	1	OPERCULO
286	7F	2019	29	436	0	C	CC	1	OPERCULO
287	7F	2019	29	436	0	F		1	
288	7F	2019	29	436	0	CO	TLA	1	
289	7F	2019	29	436	0	CO	MO	1	
290	7F	2019	29	436	0	CO	ES	1	ESTUCO CON GRAFITI
291	7F	2019	29	436	0	C	ANF	1	
292	7F	2019	29	436	0	CO	TIM	1	
293	7F	2019	29	436	1	C	CC	1	
294	7F	2019	29	436	1	C	TSM	1	
295	7F	2019	29	436	0	C	CC	1	
296	7F	2019	29	436	0	C	CC	1	
297	7F	2019	29	436	1	C	CC	1	
298	7F	2019	29	436	1	C	CC	1	
299	7F	2019	29	436	0	F	FVMA	4	
300	7F	2019	29	436	0	VD	VI	2	
301	7F	2019	29	436	0	CO		1	PAVIMENTO
302	7F	2019	29	436	0	CO	BIP	1	
304	7F	2019	29	436	0	CO	ES	1	MOLDURA
305	7F	2019	29	436	0	CO	ES	52	
306	7F	2019	29	436	0	CO	BES	1	
307	7F	2019	29	436	0	CO	BES	1	
308	7F	2019	29	436	0	CO	BES	1	
309	7F	2019	29	436	0	CO	BES	1	
310	7F	2019	29	436	0	CO	BES	1	
311	7F	2019	29	436	0	CO	BES	1	
312	7F	2019	29	436	0	CO	ES	1	MOLDURA
313	7F	2019	29	436	0	CO	ES	1	MOLDURA
314	7F	2019	29	436	0	CO	ES	1	MOLDURA
315	7F	2019	29	436	0	CO	ES	1	MOLDURA
316	7F	2019	29	436	0	CO	ES	1	MOLDURA
317	7F	2019	29	436	0	CO	ES	1	MOLDURA
318	7F	2019	29	436	0	CO	ES	1	MOLDURA
319	7F	2019	29	436	0	CO	ES	1	MOLDURA
320	7F	2019	29	436	0	CO	ES	1	MOLDURA
321	7F	2019	29	436	0	CO	ES	1	MOLDURA
322	7F	2019	29	436	0	CO	ES	1	MOLDURA
323	7F	2019	29	436	0	CO	ES	1	MOLDURA

324	7F	2019	29	436	0	CO	ES	1	MOLDURA
325	7F	2019	29	436	0	CO	ES	1	MOLDURA
326	7F	2019	29	436	0	CO	TIM	1	
327	7F	2019	29	436	0	CO	TIM	1	
328	7F	2019	29	436	0	CO	ES	1	
329	7F	2019	29	436	0	CO	ES	1	
330	7F	2019	29	436	0	CO	BIP	1	
332	7F	2019	29	436	0	CO	BIP	1	
333	7F	2019	29	436	0	CO	BIP	1	
334	7F	2019	29	436	0	CO	BIP	1	
335	7F	2019	29	436	0	CO	BIP	1	
336	7F	2019	29	436	0	CO		1	SIGNINUM
337	7F	2019	29	436	0	CO		1	SIGNINUM
338	7F	2019	29	436	0	CO		1	MORTERO
339	7F	2019	29	436	0	CO	BES	1	
340	7F	2019	29	436	0	CO	BES	1	
341	7F	2019	29	436	0	CO	BES	1	
342	7F	2019	29	436	0	CO	LTE	1	
343	7F	2019	29	436	0	CO	LTE	1	
344	7F	2019	29	436	0	CO	LTE	1	
345	7F	2019	29	436	0	CO	LTE	1	
346	7F	2019	29	436	0	CO	LTE	1	
347	7F	2019	29	436	0	CO	LTE	1	
348	7F	2019	29	436	0	CO	LTE	1	
349	7F	2019	29	436	0	CO	LTE	1	
350	7F	2019	29	436	0	CO	LTE	1	
351	7F	2019	29	436	0	CO	LTE	1	
352	7F	2019	29	436	0	CO	LTE	1	
353	7F	2019	29	436	0	C	CM	1	
354	7F	2019	29	436	4	C	CC	1	
355	7F	2019	29	436	7	C	CC	1	
356	7F	2019	29	436	0	C	CC	5	
357	7F	2019	29	436	0	C	TS	1	
358	7F	2019	29	436	0	F	H	3	
45	7F	2019	5	444	0	C	PT	1	IBÉRICA
303	7F	2019	29	436	0	CO	BIP	1	
331	7F	2019	29	436	0	CO	BIP	1	
46	7F	2019	5	444	0	C	PT	1	IBÉRICA
47	7F	2019	5	444	0	C	PT	1	IBÉRICA
48	7F	2019	5	444	0	C	PT	1	IBÉRICA
49	7F	2019	5	444	0	C	PT	1	IBÉRICA
50	7F	2019	5	444	0	C	PT	1	IBÉRICA
51	7F	2019	5	444	1	C	TS	1	
52	7F	2019	5	444	0	C	CC	1	
53	7F	2019	5	444	0	C	CC	1	
54	7F	2019	5	444	1	C	CM	1	

55	7F	2019	5	444	4	C	CC	1
56	7F	2019	5	444	0	C	CC	12
57	7F	2019	5	444	0	L	LBR	1
1	7F	2019	29	456	0	CO	MO	1
2	7F	2019	29	456	0	CO	MO	1
3	7F	2019	29	456	0	CO	MO	1
4	7F	2019	29	456	0	CO	MO	1
5	7F	2019	29	456	0	CO	MO	1
6	7F	2019	29	456	0	CO	MO	1
7	7F	2019	29	456	0	CO	MO	1
8	7F	2019	29	456	0	CO	MO	1
9	7F	2019	29	456	0	CO	MO	1
10	7F	2019	29	456	0	CO	MO	1
11	7F	2019	29	456	0	CO	MO	1
12	7F	2019	29	456	0	CO	MO	1
13	7F	2019	29	456	0	CO	MO	1
14	7F	2019	29	456	0	CO	MO	1
15	7F	2019	29	456	0	CO	MO	1
16	7F	2019	29	456	0	CO	MO	1
17	7F	2019	29	456	0	CO	MO	1
18	7F	2019	29	456	0	CO	MO	1
19	7F	2019	29	456	0	CO	MO	1
20	7F	2019	29	456	0	CO	MO	1
21	7F	2019	29	456	0	CO	MO	1
22	7F	2019	29	456	0	CO	MO	1
23	7F	2019	29	456	0	CO	MO	1
24	7F	2019	29	456	0	CO	MO	1
25	7F	2019	29	456	0	CO	MO	1
26	7F	2019	29	456	0	CO	MO	1
27	7F	2019	29	456	0	CO	MO	1
28	7F	2019	29	456	0	CO	MO	1
29	7F	2019	29	456	0	CO	MO	1
30	7F	2019	29	456	0	CO	MO	1
31	7F	2019	29	456	0	CO	MO	1
32	7F	2019	29	456	0	CO	MO	1
33	7F	2019	29	456	0	CO	MO	1
34	7F	2019	29	456	0	CO	MO	1
35	7F	2019	29	456	0	CO	MO	1
36	7F	2019	29	456	0	CO	MO	1
37	7F	2019	29	456	0	CO	MO	1
38	7F	2019	29	456	0	CO	MO	1
39	7F	2019	29	456	0	CO	MO	1
40	7F	2019	29	456	0	CO	MO	1
41	7F	2019	29	456	0	CO	MO	1
42	7F	2019	29	456	0	CO	ES	1
43	7F	2019	29	456	0	CO	ES	1

44	7F	2019	29	456	0	CO	ES	1
45	7F	2019	29	456	0	CO	ES	1
46	7F	2019	29	456	0	CO	ES	1
47	7F	2019	29	456	0	CO	MO	1
48	7F	2019	29	456	0	CO	BES	1
49	7F	2019	29	456	0	CO	BES	1
50	7F	2019	29	456	0	CO	BES	1
51	7F	2019	29	456	0	CO	BES	1
52	7F	2019	29	456	0	CO	BES	1
53	7F	2019	29	456	0	CO	TIM	1
54	7F	2019	29	456	0	CO	TIM	1
55	7F	2019	29	456	0	CO	TCL	1
56	7F	2019	29	456	0	CO	TCL	1
59	7F	2019	29	456	0	CO	TCL	1
60	7F	2019	29	456	0	CO	TCL	1
61	7F	2019	29	456	0	CO	TCL	1
62	7F	2019	29	456	0	CO	TCL	1
63	7F	2019	29	456	0	CO	TCL	1
64	7F	2019	29	456	0	CO	TCL	1
65	7F	2019	29	456	0	CO	TCL	1
57	7F	2019	29	456	0	CO	TCL	1
58	7F	2019	29	456	0	CO	TCL	1
66	7F	2019	29	456	0	CO	TCL	1
67	7F	2019	29	456	0	CO	TCL	1
68	7F	2019	29	456	0	CO	TCL	1
69	7F	2019	29	456	0	CO	TCL	1
70	7F	2019	29	456	0	CO	TCL	1
71	7F	2019	29	456	0	CO	TCL	1
72	7F	2019	29	456	0	CO	TCL	1
73	7F	2019	29	456	0	CO	TCL	1
74	7F	2019	29	456	0	CO	TCL	1
75	7F	2019	29	456	0	CO	ES	1
76	7F	2019	29	456	0	CO	ES	1
77	7F	2019	29	456	0	CO	MO	1
78	7F	2019	29	456	0	CO	MO	1
79	7F	2019	29	456	0	F	H	1
80	7F	2019	29	456	0	C	ANF	1
81	7F	2019	29	456	0	C	CC	1
83	7F	2019	29	456	1	C	CC	1
84	7F	2019	29	456	0	CO	TCL	1
85	7F	2019	29	456	0	CO	TCL	1
86	7F	2019	29	456	0	CO	TCL	1
87	7F	2019	29	456	0	CO	TCL	1
88	7F	2019	29	456	0	CO	TCL	1
89	7F	2019	29	456	0	CO	TCL	1
90	7F	2019	29	456	0	CO	TCL	1

91	7F	2019	29	456	0	CO	TCL	1	
92	7F	2019	29	456	0	CO	TCL	1	
93	7F	2019	29	456	0	CO	TCL	1	
94	7F	2019	29	456	0	CO	TCL	1	
95	7F	2019	29	456	0	CO	TCL	1	
96	7F	2019	29	456	0	CO	TTE	1	
97	7F	2019	29	456	0	CO	TTE	1	
98	7F	2019	29	456	0	CO	TIM	1	
99	7F	2019	29	456	0	C	ANF	10	
100	7F	2019	29	456	7	C	ANF	7	
101	7F	2019	29	456	0	C	CC	7	
102	7F	2019	29	456	1	C	CC	1	
103	7F	2019	29	456	1	C	CC	1	
104	7F	2019	29	456	1	C	CC	1	
106	7F	2019	29	456	1	C	CC	1	
107	7F	2019	29	456	1	C	CC	1	
108	7F	2019	29	456	4	C	TSA	1	
109	7F	2019	29	456	0	F	FVMA	1	
110	7F	2019	29	456	0	F	FVMA	1	
111	7F	2019	29	456	0			1	CARBÓN
112	7F	2019	29	456	0	L	LFE	1	
113	7F	2019	29	456	0	CO	BIP	1	
114	7F	2019	29	456	0	CO	TCL	1	
115	7F	2019	29	456	1	C	CC	1	
1	7F	2019	29	550	1	C	TSI	1	
2	7F	2019	29	550	1	C	TSH	1	
3	7F	2019	29	550	4	C	TSA	1	
4	7F	2019	29	550	0	C	TS	1	
5	7F	2019	29	550	1	C	CMA	1	
6	7F	2019	29	550	1	C	CMA	1	
7	7F	2019	29	550	0	C	CMA	1	
8	7F	2019	29	550	7	C	ANF	1	
9	7F	2019	29	550	7	C	ANF	1	
10	7F	2019	29	550	0	C	ANF	1	
11	7F	2019	29	550	0	C	CCR	1	
12	7F	2019	29	550	7	C	PT	1	IBÉRICA
13	7F	2019	29	550	0	C	PT	1	IBÉRICA
14	7F	2019	29	550	0	C	CC	1	
15	7F	2019	29	550	0	C	LUC	1	
16	7F	2019	29	550	1	C	CC	1	
17	7F	2019	29	550	0	C	CC	1	
18	7F	2019	29	550	7	C	CC	1	
19	7F	2019	29	550	0	C	CC	22	
20	7F	2019	29	550	1	C	ROT	1	
21	7F	2019	29	550	0	C	ROT	1	
22	7F	2019	29	550	0	F	FVMA	1	

1	7F	2019	30	552	0	C	ANF	3	
2	7F	2019	30	552	0	CO	TLA	1	
3	7F	2019	30	552	0	C	CC	1	
4	7F	2019	30	552	1	C	CMR	1	
5	7F	2019	30	552	1	C	CMA	1	
82	7F	2019	29	456	1	C	CC	1	
6	7F	2019	30	552	0	C	CMA	1	
7	7F	2019	30	552	0	F	FVMA	5	
8	7F	2019	30	552	0	F	FVMA	1	
1	7F	2019	29	553	0	C	TSA	1	
2	7F	2019	29	553	0	C	PT	1	IBÉRICA
3	7F	2019	29	553	1	C	CC	1	
4	7F	2019	29	553	7	C	CC	1	
5	7F	2019	29	553	0	C	CC	1	
6	7F	2019	29	553	0	C	ANF	1	
1	7F	2019	32	556	0	C	CC	38	
4	7F	2019	32	556	1	C	CMA	1	
5	7F	2019	32	556	0	C	ANF	1	
6	7F	2019	32	556	1	C	ANF	1	
7	7F	2019	32	556	1	C	CC	1	
8	7F	2019	32	556	1	C	CC	1	
9	7F	2019	32	556	1	C	CC	1	
10	7F	2019	32	556	1	C	ANF	1	
11	7F	2019	32	556	4	C	ROT	1	
12	7F	2019	32	556	4	C	ROT	1	
13	7F	2019	32	556	4	C	TS	1	
14	7F	2019	32	556	0	C	TS	1	
15	7F	2019	32	556	0	C	TS	1	
16	7F	2019	32	556	1	C	TS	1	
17	7F	2019	32	556	1	C	TS	1	
18	7F	2019	32	556	0	C	LTE	1	
19	7F	2019	32	556	0	C	CC	1	
20	7F	2019	32	556	1	C	ANF	1	
21	7F	2019	32	556	7	C	ANF	1	
22	7F	2019	32	556	7	C	ANF	1	
23	7F	2019	32	556	7	C	ANF	1	
24	7F	2019	32	556	7	C	CC	1	
25	7F	2019	32	556	4	C	CC	1	MORTERO
26	7F	2019	32	556	0	C	TCL	1	
27	7F	2019	32	556	0	CO	TLA	1	
28	7F	2019	32	556	0	C	ANF	1	
30	7F	2019	32	556	0	HT		1	
31	7F	2019	32	556	0	CO	CC	1	
32	7F	2019	32	556	0	CO	CC	1	
33	7F	2019	32	556	0	CO	ES	1	
1	7F	2019	30	557	0	CO	TIM	1	

2	7F	2019	30	557	4	C	ROT	1	
3	7F	2019	30	557	7	C	CC	1	
4	7F	2019	30	557	7	C	CC	1	MODERNA
5	7F	2019	30	557	4	C	CC	1	
6	7F	2019	30	557	0	C	CC	6	
7	7F	2019	30	557	4	C	CMA	1	
8	7F	2019	30	557	1	C	TS	1	
9	7F	2019	30	557	0	C	TS	1	
10	7F	2019	30	557	1	C	CC	1	
11	7F	2019	30	557	1	C	CMR	1	
12	7F	2019	30	557	0	C	ANF	2	
13	7F	2019	30	557	4	C	CC	1	
14	7F	2019	30	557	7	C	ANF	1	
15	7F	2019	30	557	0	C	ANF	5	
16	7F	2019	30	557	0	C	CC	1	
17	7F	2019	30	557	4	C	CC	1	OPERCULA
18	7F	2019	30	557	1	C	CC	1	
19	7F	2019	30	557	1	C	CC	1	
20	7F	2019	30	557	1	C	CC	1	
21	7F	2019	30	557	0	C	CC	14	
22	7F	2019	30	557	7	C	CC	1	
23	7F	2019	30	557	0	C	CM	1	
24	7F	2019	30	557	0	CO	MO	1	
25	7F	2019	30	557	0	CO	EN	1	
26	7F	2019	30	557	4	C	CMA	1	
27	7F	2019	30	557	0	C	TS	1	
29	7F	2019	30	557	0	L	MON	1	
1	7F	2019	36	558	0	C	RP	1	
2	7F	2019	36	558	1	C	CMA	1	
3	7F	2019	36	558	1	C	CMA	1	
4	7F	2019	36	558	1	C	TS	1	
5	7F	2019	36	558	1	C	BN	1	
6	7F	2019	36	558	1	C	CC	1	
7	7F	2019	36	558	0	C	CC	1	
8	7F	2019	36	558	1	C	CC	1	
9	7F	2019	36	558	0	C	CC	7	
2	7F	2019	32	556	0	C	CMR	4	
3	7F	2019	32	556	1	C	CMR	1	
29	7F	2019	32	556	0	CO	TLA	1	
28	7F	2019	30	557	1	C	TS	1	
10	7F	2019	36	558	0	C	PT	1	IBÉRICA
11	7F	2019	36	558	1	C	PT	1	IBÉRICA
12	7F	2019	36	558	0	F	FVMA	1	
13	7F	2019	36	558	0	C	CMR	1	
14	7F	2019	36	558	7	C	CC	1	
15	7F	2019	36	558	4	C	ROT	1	

16	7F	2019	36	558	7	C	ANF	1	
17	7F	2019	36	558	0	C	ANF	4	
									PLATO-
1	7F	2019	29	560	1	C	CC	1	TAPADERA
1	7F	2019	29	561	0	C	TSG	1	
2	7F	2019	29	561	0	C	TSA	2	
3	7F	2019	29	561	0	C	PF	2	
4	7F	2019	29	561	0	C	LUC	1	
5	7F	2019	29	561	1	C	ANF	1	
6	7F	2019	29	561	7	C	ANF	1	
7	7F	2019	29	561	0	C	ANF	3	
8	7F	2019	29	561	1	C	CMA	1	
9	7F	2019	29	561	7	C	CMA	1	
10	7F	2019	29	561	4	C	CMA	1	
11	7F	2019	29	561	1	C	CMR	1	
12	7F	2019	29	561	0	C	CMR	7	
13	7F	2019	29	561	1	C	CC	1	MORTERO
14	7F	2019	29	561	1	C	CC	1	
15	7F	2019	29	561	1	C	CC	1	
16	7F	2019	29	561	0	C	CC	16	
17	7F	2019	29	561	0	C	ROT	1	
18	7F	2019	29	561	0	L	LBR	1	
19	7F	2019	29	561	0	C	CC	1	DESCARTE
20	7F	2019	29	561	0	F		1	
21	7F	2019	29	561	0	D	DMR	1	ESCUPTURA
1	7F	2019	29	562	0	CO	TCL	1	
3	7F	2019	29	562	0	C	CC	8	
4	7F	2019	29	562	4	C	CC	1	
5	7F	2019	29	562	0	C	PT	1	IBÉRICA
6	7F	2019	29	562	0	C	CM	5	
7	7F	2019	29	562	1	C	CM	1	
8	7F	2019	29	562	1	C	CM	1	
9	7F	2019	29	562	0	F	FVMA	4	
10	7F	2019	29	562	0	F	H	1	
11	7F	2019	29	562	0	CO	MO	1	
1	7F	2019	25	564	7	C	ANF	1	
2	7F	2019	25	564	1	C	ANF	1	
3	7F	2019	25	564	0	C	ANF	6	
4	7F	2019	25	564	4	C	ROT	1	
5	7F	2019	25	564	0	CO	ES	1	
6	7F	2019	25	564	0	C	CC	1	
7	7F	2019	25	564	1	C	CC	1	
8	7F	2019	25	564	1	C	CC	1	
9	7F	2019	25	564	1	C	CC	1	
10	7F	2019	25	564	1	C	CM	1	
11	7F	2019	25	564	1	C	CMR	1	

12	7F	2019	25	564	7	C	ANF	1	
13	7F	2019	25	564	7	C	ANF	1	
14	7F	2019	25	564	PI	C	ANF	1	
15	7F	2019	25	564	0	C	CC	1	MORTERO
16	7F	2019	25	564	4	C	CC	1	
17	7F	2019	25	564	0	C	CC	1	
18	7F	2019	25	564	0	C	ANF	9	
19	7F	2019	25	564	0	C	CC	1	
20	7F	2019	25	564	0	C	CC	12	
21	7F	2019	25	564	1	C	CMA	1	
22	7F	2019	25	564	0	C	TS	1	
23	7F	2019	25	564	0	CO	TTE	1	
24	7F	2019	25	564	0	CO	TLA	1	
25	7F	2019	25	564	0	CO	ES	1	
									MOTIVO
26	7F	2019	25	564	0	CO	ES	1	FIGURATIVO
1	7F	2019	30	565	0	CO	TTE	1	
2	7F	2019	30	565	0	VD		1	
3	7F	2019	30	565	7	7	LUC	1	
4	7F	2019	30	565	0	C	ANF	2	
5	7F	2019	30	565	0	C	CC	3	
							ANDESIT		
1	7F	2019	30	566	0	D	A	1	
2	7F	2019	29	562	0	C	ANF	6	
2	7F	2019	30	566	0	C	ANF	1	
3	7F	2019	30	566	0	C	CC	1	
4	7F	2019	30	566	0	CO	TIM	1	
5	7F	2019	30	566	0	CO	ES	1	
6	7F	2019	30	566	0	CO	ES	1	
7	7F	2019	30	566	0	CO	BES	1	
8	7F	2019	30	566	7	C	ANF	1	
9	7F	2019	30	566	7	C	ANF	1	
10	7F	2019	30	566	1	C	TSH	1	
11	7F	2019	30	566	4	C	TSH	1	
12	7F	2019	30	566	0	C	TSH	1	
13	7F	2019	30	566	0	C	TSH	1	
14	7F	2019	30	566	1	C	TSH	1	
15	7F	2019	30	566	0	C	TSH	1	
16	7F	2019	30	566	0	C	CMA	1	
17	7F	2019	30	566	0	C	CMA	1	
18	7F	2019	30	566	0	C	CMA	1	
19	7F	2019	30	566	0	C	CMA	1	
20	7F	2019	30	566	0	C	CMA	1	
21	7F	2019	30	566	0	C	CMA	1	
22	7F	2019	30	566	1	C	CMA	1	
23	7F	2019	30	566	1	C	CMA	1	
24	7F	2019	30	566	1	C	CMA	1	

25	7F	2019	30	566	1	C	CMA	1	
26	7F	2019	30	566	1	C	CMA	1	
27	7F	2019	30	566	1	C	CMA	1	
28	7F	2019	30	566	4	C	CMA	1	
29	7F	2019	30	566	4	C	CMA	1	
30	7F	2019	30	566	0	C	CMA	1	
31	7F	2019	30	566	0	C	CMA	1	
32	7F	2019	30	566	0	C	CMA	1	
33	7F	2019	30	566	0	C	CMA	1	
34	7F	2019	30	566	0	C	CMA	1	
35	7F	2019	30	566	0	C	CMA	1	
36	7F	2019	30	566	0	C	CMA	1	
37	7F	2019	30	566	0	C	CMA	1	
38	7F	2019	30	566	1	C	TSA	1	
39	7F	2019	30	566	0	C	PF	1	
40	7F	2019	30	566	1	C	CC	1	
41	7F	2019	30	566	1	C	CMA	1	
42	7F	2019	30	566	1	C	CC	1	
43	7F	2019	30	566	1	C	CC	1	IBÉRICA
44	7F	2019	30	566	1	C	CC	1	IBÉRICA
45	7F	2019	30	566	1	C	CC	1	
46	7F	2019	30	566	1	C	CC	1	
47	7F	2019	30	566	1	C	CC	1	
48	7F	2019	30	566	1	C	CC	1	
49	7F	2019	30	566	1	C	CC	1	
50	7F	2019	30	566	7	C	CC	1	
51	7F	2019	30	566	0	C	CM	1	
52	7F	2019	30	566	0	C	CM	1	
53	7F	2019	30	566	0	C	CM	1	
54	7F	2019	30	566	0	C	CM	3	
55	7F	2019	30	566	4	C	CM	1	
56	7F	2019	30	566	0	C	CM	1	
57	7F	2019	30	566	0	C	CM	1	MELADA (IX-X)
58	7F	2019	30	566	0	C	CC	1	PEINADA
59	7F	2019	30	566	7	C	CC	1	IX-X
60	7F	2019	30	566	0	F	FVMA	5	
61	7F	2019	30	566	0	F	FVMA	1	
62	7F	2019	30	566	0	F	FVMA	1	
63	7F	2019	30	566	0	F	H	1	
64	7F	2019	30	566	0	C	CC	1	MORTERO
1	7F	2019	30	567	7	C	CC	1	
2	7F	2019	30	567	7	C	CC	1	
3	7F	2019	30	567	1	C	LUC	1	
4	7F	2019	30	567	0	C	PT	1	IBÉRICA
5	7F	2019	30	567	0	C	PT	1	IBÉRICA
6	7F	2019	30	567	1	C	CC	1	

Excavaciones Termas Orientales La Alcudia (Elche)- Campaña 2019. Proyecto ASTERO

7	7F	2019	30	567	1	C	CC	1
8	7F	2019	30	567	0	C	TSG	1
9	7F	2019	30	567	0	C	TSH	1
10	7F	2019	30	567	0	C	TSH	1
11	7F	2019	30	567	0	C	TSH	1
12	7F	2019	30	567	1	C	CMA	1
13	7F	2019	30	567	1	C	CMA	1
14	7F	2019	30	567	1	C	CMA	1
15	7F	2019	30	567	1	C	CMA	1
16	7F	2019	30	567	1	C	CMA	1
17	7F	2019	30	567	1	C	CMA	1
18	7F	2019	30	567	1	C	CMA	1
19	7F	2019	30	567	1	C	CMA	1
20	7F	2019	30	567	0	C	TSG	1
21	7F	2019	30	567	0	C	TSG	1
22	7F	2019	30	567	0	C	TSG	1
23	7F	2019	30	567	1	C	TSG	1
24	7F	2019	30	567	1	C	TSG	1
25	7F	2019	30	567	0	C	CMA	12
26	7F	2019	30	567	4	C	CMA	1
27	7F	2019	30	567	4	C	CMA	1
28	7F	2019	30	567	4	C	CMA	1
29	7F	2019	30	567	0	C	CMR	1
30	7F	2019	30	567	4	C	CMR	1
31	7F	2019	30	567	1	C	CM	1
32	7F	2019	30	567	1	C	CM	1
33	7F	2019	30	567	1	C	CM	1
34	7F	2019	30	567	0	C	ANF	1
35	7F	2019	30	567	0	C	ANF	1
36	7F	2019	30	567	0	C	ANF	1
37	7F	2019	30	567	0	C	CC	1
38	7F	2019	30	567	0	C	CC	1
39	7F	2019	30	567	0	C	CC	1
40	7F	2019	30	567	0	C	CC	1
41	7F	2019	30	567	0	C	CC	25
42	7F	2019	30	567	0	C	CC	1
43	7F	2019	30	567	0	CO	BES	1
44	7F	2019	30	567	0	CO	LTE	1
45	7F	2019	30	567	0	CO	TIM	4
46	7F	2019	30	567	0	CO	ES	2
48	7F	2019	30	567	0	F	H	1
49	7F	2019	30	567	0	C	TS	1
50	7F	2019	30	568	0	L	LBR	1
1	7F	2019	33	568	PI	C	ANF	1
2	7F	2019	33	568	0	C	ANF	1
3	7F	2019	33	568	0	C	ANF	1

4	7F	2019	33	568	0	C	CC	1
5	7F	2019	33	568	0	F	FVMA	2
6	7F	2019	33	568	0	L	LBR	1
1	7F	2019	36	659	7	C	CC	1
2	7F	2019	36	659	0	C	CC	10
3	7F	2019	36	659	0	C	TS	1
4	7F	2019	36	659	0	C	ANF	4
5	7F	2019	36	659	4	C	CMR	1
6	7F	2019	36	659	0	CO	TLA	1
7	7F	2019	36	659	4	C	CC	1
8	7F	2019	36	659	4	C	CC	1
1	7F	2019		575	0	C	CC	3
2	7F	2019		575	0	C	ANF	2
1	7F	2019	30	613	0	C	LUC	1
2	7F	2019	30	613	0	C	LUC	1
3	7F	2019	30	613	1	C	TSG	1
4	7F	2019	30	613	0	C	TSG	1
5	7F	2019	30	613	0	C	TSL	1
6	7F	2019	30	613	1	C	TSH	1
7	7F	2019	30	613	0	C	TSH	1
8	7F	2019	30	613	1	C	TSA	1
9	7F	2019	30	613	1	C	TSA	1
10	7F	2019	30	613	1	C	TSA	1
11	7F	2019	30	613	1	C	TSA	1
12	7F	2019	30	613	4	C	TSA	1
13	7F	2019	30	613	0	C	TSA	1
14	7F	2019	30	613	1	C	TSA	1
15	7F	2019	30	613	1	C	TSA	1
16	7F	2019	30	613	1	C	CMA	1
17	7F	2019	30	613	1	C	CMA	1
18	7F	2019	30	613	1	C	CMA	1
19	7F	2019	30	613	1	C	CMA	1
20	7F	2019	30	613	1	C	CMA	1
21	7F	2019	30	613	1	C	CMA	1
22	7F	2019	30	613	1	C	CMA	1
23	7F	2019	30	613	4	C	CMA	1
24	7F	2019	30	613	4	C	CMA	1
25	7F	2019	30	613	4	C	CMA	1
47	7F	2019	30	567	0	VD	VI	1
26	7F	2019	30	613	0	C	CMA	1
27	7F	2019	30	613	1	C	ANF	1
28	7F	2019	30	613	1	C	ANF	1
29	7F	2019	30	613	1	C	ANF	1
30	7F	2019	30	613	1	C	ANF	1
31	7F	2019	30	613	1	C	CC	1
32	7F	2019	30	613	1	C	CC	1

33	7F	2019	30	613	1	C	CC	1	
34	7F	2019	30	613	1	C	CC	1	
35	7F	2019	30	613	1	C	CC	1	
36	7F	2019	30	613	1	C	CC	1	
37	7F	2019	30	613	7	C	CC	1	
38	7F	2019	30	613	7	C	CC	1	
39	7F	2019	30	613	7	C	CC	1	
40	7F	2019	30	613	7	C	CC	1	
41	7F	2019	30	613	4	C	CC	1	
42	7F	2019	30	613	4	C	CC	1	
43	7F	2019	30	613	4	C	CC	1	
44	7F	2019	30	613	1	C	CM	1	
45	7F	2019	30	613	1	C	CM	1	
46	7F	2019	30	613	1	C	CC	1	
47	7F	2019	30	613	1	C	CC	1	
48	7F	2019	30	613	1	C	CC	1	
49	7F	2019	30	613	1	C	CC	1	
50	7F	2019	30	613	7	C	CC	1	
51	7F	2019	30	613	7	C	CC	1	
52	7F	2019	30	613	1	C	CM	1	
53	7F	2019	30	613	1	C	CC	1	
54	7F	2019	30	613	0	C	PT	5	IBÉRICA
55	7F	2019	30	613	0	C	CC	42	IBÉRICA
56	7F	2019	30	613	0	C	ANF	21	IBÉRICA
57	7F	2019	30	613	0	C	CC	4	IBÉRICA
58	7F	2019	30	613	0	C	CM	28	IBÉRICA
59	7F	2019	30	613	0	CO	LTE	1	
60	7F	2019	30	613	0	CO	LIM	1	
61	7F	2019	30	613	0	CO	ES	1	
62	7F	2019	30	613	1	VD	VI	1	
63	7F	2019	30	613	1	VD	VI	1	
64	7F	2019	30	613	1	VD	VI	1	
65	7F	2019	30	613	0	VD	VI	7	
66	7F	2019	30	613	0	HT		1	
67	7F	2019	30	613	0	CO	MO	1	
68	7F	2019	30	613	0	F		1	
69	7F	2019	30	613	0	F	FVMA	1	
70	7F	2019	30	613	0	F	FVMA	1	
71	7F	2019	30	613	4	VD	VI	1	
72	7F	2019	30	613	0	L	CL	1	
73	7F	2019	30	613	0	VD	VI	3	
74	7F	2019	30	613	4	C	CC	1	
75	7F	2019	30	613	0	C	PT	1	IBÉRICA
76	7F	2019	30	613	0	C	TS	1	
77	7F	2019	30	613	0	C	CC	1	
78	7F	2019	30	613	0	F	FVMA	1	

79	7F	2019	30	613	0	F	H	35	
80	7F	2019	30	613	0	F	FVMA	5	
81	7F	2019	30	613	0	F	FVMA	1	
82	7F	2019	30	613	0	HT		3	
83	7F	2019	30	613	4	C	CC	1	MORTERO
84	7F	2019	30	613	0	C	ROT	1	
85	7F	2019	30	613	0	C	ANF	4	
86	7F	2019	30	613	0	C	ANF	56	
87	7F	2019	30	613	7	C	CC	1	
88	7F	2019	30	613	7	C	CC	1	
89	7F	2019	30	613	4	C	CC	1	
90	7F	2019	30	613	1	C	CC	1	
91	7F	2019	30	613	1	C	CC	1	
92	7F	2019	30	613	1	C	CC	1	
94	7F	2019	30	613	0	C	PF	1	
95	7F	2019	30	613	0	C	LUC	1	
96	7F	2019	30	613	0	C	LUC	1	
97	7F	2019	30	613	0	C	LUC	1	
98	7F	2019	30	613	0	C	LUC	1	
99	7F	2019	30	613	0	C	LUC	1	
									VIDRIADA
100	7F	2019	30	613	0	C	CC	1	ROMANA
101	7F	2019	30	613	0	VD	VI	7	
102	7F	2019	30	613	0	C	CM	1	
93	7F	2019	30	613	1	C	CC	1	
103	7F	2019	30	613	4	C	CM	1	
104	7F	2019	30	613	5	C	CM	1	
105	7F	2019	30	613	1	C	CM	1	
106	7F	2019	30	613	1	C	CM	1	
107	7F	2019	30	613	1	C	CM	1	
108	7F	2019	30	613	1	C	CM	1	
109	7F	2019	30	613	1	C	CM	1	
110	7F	2019	30	613	1	C	CM	1	
111	7F	2019	30	613	1	C	CM	1	
112	7F	2019	30	613	7	C	CMA	1	
113	7F	2019	30	613	4	C	CMA	1	
114	7F	2019	30	613	1	C	CMA	20	
115	7F	2019	30	613	4	C	CMA	1	
116	7F	2019	30	613	4	C	CMA	1	
117	7F	2019	30	613	4	C	CMA	1	
118	7F	2019	30	613	4	C	CMA	1	
119	7F	2019	30	613	4	C	CMA	1	
120	7F	2019	30	613	4	C	CMA	1	
121	7F	2019	30	613	4	C	CMA	1	
122	7F	2019	30	613	4	C	CMA	1	
123	7F	2019	30	613	4	C	CMA	1	

124	7F	2019	30	613	4	C	CMA	1	
125	7F	2019	30	613	1	C	CMA	1	
126	7F	2019	30	613	1	C	CMA	1	
127	7F	2019	30	613	1	C	CMA	1	
128	7F	2019	30	613	1	C	TSH	1	
129	7F	2019	30	613	1	C	TSA	1	
130	7F	2019	30	613	1	C	TSA	1	
131	7F	2019	30	613	1	C	TSA	1	
132	7F	2019	30	613	1	C	TSA	1	
133	7F	2019	30	613	1	C	TSA	1	
134	7F	2019	30	613	4	C	TSA	1	
135	7F	2019	30	613	4	C	TSA	1	
136	7F	2019	30	613	4	C	TSA	1	
137	7F	2019	30	613	4	C	TSA	1	
138	7F	2019	30	613	0	C	TSA	1	
139	7F	2019	30	613	0	C	TSA	1	
140	7F	2019	30	613	1	C	CMR	1	
141	7F	2019	30	613	0	C	CMR	1	
142	7F	2019	30	613	0	C	PT	1	IBÉRICA
143	7F	2019	30	613	0	C	ANF	12	
144	7F	2019	30	613	1	C	CC	1	
145	7F	2019	30	613	1	C	CC	1	
146	7F	2019	30	613	7	C	CC	1	
147	7F	2019	30	613	7	C	CC	1	
148	7F	2019	30	613	7	C	CC	1	
149	7F	2019	30	613	0	C	CC	14	
150	7F	2019	30	613	PI	C	LUC	1	
152	7F	2019	30	613	0	C	LUC	1	
153	7F	2019	30	613	0	C	LUC	1	
154	7F	2019	30	613	4	C	CMA	1	
155	7F	2019	30	613	0	C	CMA	5	
156	7F	2019	30	613	0	C	CMA	1	
157	7F	2019	30	613	1	C	TS	1	
158	7F	2019	30	613	1	C	TSG	1	
159	7F	2019	30	613	0	C	TSA	1	
160	7F	2019	30	613	0	C	TSA	1	
161	7F	2019	30	613	4	C	ROT	1	
162	7F	2019	30	613	0	C	ROT	1	
163	7F	2019	30	613	1	C	CC	1	
164	7F	2019	30	613	0	CO	TIM	1	
165	7F	2019	30	613	0	CO	TLA	1	
166	7F	2019	30	613	0	CO	ES	1	
167	7F	2019	30	613	0	VD	VI	1	
168	7F	2019	30	613	0	C	CC	16	
1	7F	2019	30	614	0	C	CC	5	
2	7F	2019	30	614	0	C	CM	1	

3	7F	2019	30	614	1	C	TS	1	
4	7F	2019	30	614	0	C	TS	1	
5	7F	2019	30	614	4	C	CMA	1	
6	7F	2019	30	614	1	C	CMR	1	
7	7F	2019	30	614	0	C	CC	1	
1	7F	2019	31	617	0	C	ANF	1	
2	7F	2019	31	617	0	CO	TIM	1	
3	7F	2019	31	617	0	C	CC	35	
4	7F	2019	31	617	4	C	CC	1	
151	7F	2019	30	613	DO	C	LUC	1	
5	7F	2019	31	617	4	C	CC	1	
6	7F	2019	31	617	1	C	CC	1	
7	7F	2019	31	617	1	C	CC	1	
8	7F	2019	31	617	0	C	CM	8	
9	7F	2019	31	617	0	C	PT	1	IBÉRICA
10	7F	2019	31	617	0	C	BN	1	
11	7F	2019	31	617	1	C	TS	1	
12	7F	2019	31	617	4	C	TS	1	
13	7F	2019	31	617	4	C	TS	1	
14	7F	2019	31	617	4	C	TS	1	
15	7F	2019	31	617	4	C	TS	1	
16	7F	2019	31	617	1	C	CMA	1	
17	7F	2019	31	617	1	C	CMA	1	
18	7F	2019	31	617	4	C	CMA	1	
19	7F	2019	31	617	0	C	LBR	1	CAMPANILLA
1	7F	2019	30	619	0	F		1	
2	7F	2019	30	619	0	C	CM	1	
3	7F	2019	30	619	1	C	CC	3	
4	7F	2019	30	619	1	C	PT	1	IBÉRICA
5	7F	2019	30	619	0	C	CC	7	
6	7F	2019	30	619	0	C	ANF	1	
7	7F	2019	30	619	0	CO	CAP	1	HOJA DE ACANTO
1	7F	2019	30	625	0	CO	TIM	0	
2	7F	2019	30	625	0	C	ANF	5	
3	7F	2019	30	625	1	C	PT	1	
4	7F	2019	30	625	1	C	PT	1	
5	7F	2019	30	625	PI	C	LUC	1	
6	7F	2019	30	625	0	C	ANF	1	
7	7F	2019	30	625	0	C	CC	27	
8	7F	2019	30	625	1	C	CC	1	
9	7F	2019	30	625	1	C	CC	1	
10	7F	2019	30	625	1	C	CC	1	
11	7F	2019	30	625	1	C	CC	1	
12	7F	2019	30	625	1	C	CC	1	
13	7F	2019	30	625	1	C	CC	1	

14	7F	2019	30	625	0	C	ROT	3	
15	7F	2019	30	625	1	C	TS	1	
16	7F	2019	30	625	0	C	TS	1	
17	7F	2019	30	625	4	C	TS	1	
18	7F	2019	30	625	1	C	CM	1	
19	7F	2019	30	625	1	C	CM	1	
20	7F	2019	30	625	1	C	CM	1	
21	7F	2019	30	625	0	CO	ES	2	
22	7F	2019	30	625	0	F	H	5	
23	7F	2019	30	625	0	F	FVMA	1	
1	7F	2019	30	628	0	VD	VI	27	
2	7F	2019	30	628	0	VD	VI	6	
3	7F	2019	30	628	0	F		10	
4	7F	2019	30	628	0	C	ANF	3	
5	7F	2019	30	628	0	C	CC	22	
6	7F	2019	30	628	0	C	CM	9	
7	7F	2019	30	628	1	C	CM	1	
8	7F	2019	30	628	1	C	CM	1	
9	7F	2019	30	628	1	C	CMA	1	
10	7F	2019	30	628	1	C	CMA	1	
11	7F	2019	30	628	4	C	CMA	1	
12	7F	2019	30	628	4	C	CMA	1	
13	7F	2019	30	628	0	C	CMA	3	
14	7F	2019	30	628	4	C	TS	1	
15	7F	2019	30	628	4	C	TS	1	
16	7F	2019	30	628	1	C	TS	1	
17	7F	2019	30	628	0	C	TS	1	LUCENTE
18	7F	2019	30	628	0	C	TS	1	LUCENTE
1	7F	2019	29	637	0	C	ANF	8	
2	7F	2019	29	637	7	C	ANF	1	
3	7F	2019	29	637	0	F	H	5	
4	7F	2019	29	637	0	CO	TIM	1	
5	7F	2019	29	637	0	C	TS	1	
1	7F	2019	29	655	0	CO	MO	1	
3	7F	2019	29	655	0	C	ANF	7	
4	7F	2019	29	655	0	C	CC	12	
5	7F	2019	29	655	0	C	CC	1	MORTERO
6	7F	2019	29	655	0	C	CC	1	MORTERO
7	7F	2019	29	655	1	C	CMA	1	
8	7F	2019	29	655	1	C	CMA	1	
9	7F	2019	29	655	4	C	CMA	1	
10	7F	2019	29	655	4	C	CMA	1	
11	7F	2019	29	655	4	C	CMA	1	
12	7F	2019	29	655	0	C	LUC	1	
13	7F	2019	29	655	0	C	TS	1	
14	7F	2019	29	655	1	C	CC	1	

15	7F	2019	29	655	1	C	CC	1	
16	7F	2019	29	655	1	C	CC	1	
17	7F	2019	29	655	1	C	CC	1	
18	7F	2019	29	655	0	C	CMR	1	
19	7F	2019	29	655	0	F	FVMA	1	
20	7F	2019	29	655	0	F		1	
21	7F	2019	29	655	0	F		2	
22	7F	2019	29	655	0	VD	VI	1	
23	7F	2019	29	655	0	VD	VI	1	
24	7F	2019	29	655	0	C	CC	1	
25	7F	2019	29	655	0	CO	TCL	1	
26	7F	2019	29	655	0	CO	MO	802	
27	7F	2019	29	655	0	CO	MO	1	
28	7F	2019	29	655	0	CO	MO	2	
29	7F	2019	29	655	0	CO	ES	15	
30	7F	2019	29	655	0	CO	OS	1	
31	7F	2019	29	655	0	CO	MO	9	
32	7F	2019	29	655	0	C	CC	2	MORTERO
33	7F	2019	29	655	0	C	ANF	18	
34	7F	2019	29	655	0	C	CC	1	
35	7F	2019	29	655	1	C	CC	1	
36	7F	2019	29	655	1	C	CC	1	
37	7F	2019	29	655	1	C	CC	1	
38	7F	2019	29	655	1	C	CC	1	
39	7F	2019	29	655	1	C	CC	1	
40	7F	2019	29	655	1	C	CC	1	
41	7F	2019	29	655	1	C	CC	1	
42	7F	2019	29	655	1	C	CC	1	
43	7F	2019	29	655	1	C	CC	1	
44	7F	2019	29	655	1	C	CC	1	
45	7F	2019	29	655	0	HT		1	
46	7F	2019	29	655	0	F	H	14	
47	7F	2019	29	655	0	F	FVMA	1	
48	7F	2019	29	655	0	CO	TTE	10	
49	7F	2019	29	655	0	CO	MA	1	
50	7F	2019	29	655	0	VD	VI	1	
51	7F	2019	29	655	1	C	CC	1	
52	7F	2019	29	655	0	C	CC	1	
53	7F	2019	29	655	1	C	CMA	1	
54	7F	2019	29	655	1	C	CMA	1	
55	7F	2019	29	655	1	C	CMA	1	
56	7F	2019	29	655	1	C	CMA	1	
57	7F	2019	29	655	4	C	CMA	1	
58	7F	2019	29	655	4	C	CMA	1	
59	7F	2019	29	655	4	C	CMA	1	
60	7F	2019	29	655	4	C	CMA	1	

61	7F	2019	29	655	4	C	CMA	1	
62	7F	2019	29	655	4	C	CMA	1	
63	7F	2019	29	655	4	C	CMA	1	
64	7F	2019	29	655	4	C	CMA	1	
65	7F	2019	29	655	4	C	CMA	1	
66	7F	2019	29	655	4	C	CMA	1	
67	7F	2019	29	655	4	C	CMA	1	
68	7F	2019	29	655	4	C	CMA	1	
69	7F	2019	29	655	4	C	CMA	1	
70	7F	2019	29	655	4	C	CMA	1	
71	7F	2019	29	655	0	C	CMA	1	
72	7F	2019	29	655	0	C	TS	1	
73	7F	2019	29	655	0	C	TS	1	
74	7F	2019	29	655	0	CO	TCL	2	
75	7F	2019	29	655	1	C	CC	1	
76	7F	2019	29	655	0	C	CC	5	
77	7F	2019	29	655	0	C	TS	1	
78	7F	2019	29	655	0	C	CMA	1	
79	7F	2019	29	655	0	C	CMA	1	
80	7F	2019	29	655	0	C	ANF	1	
81	7F	2019	29	655	0	CO	BES	6	
82	7F	2019	29	655	0	CO	MO	71	
83	7F	2019	29	655	0	C	CC	3	
84	7F	2019	29	655	7	C	CC	1	
85	7F	2019	29	655	0	CO	TTE	1	
86	7F	2019	29	655	0	CO	MO	3	
87	7F	2019	29	655	0	CO	MO	446	
88	7F	2019	29	655	0	CO	MO	9	
89	7F	2019	29	655	1	C	CC	3	
90	7F	2019	29	655	0	C	CM	1	
91	7F	2019	29	655	0	C	CC	1	
92	7F	2019	29	655	4	C	CC	1	
93	7F	2019	29	655	0	CO	ES	2	
ENTER									
94	7F	2019	29	655	A	C	LUC	1	ESCENA ERÓTICA
95	7F	2019	29	655	0	C	ANF	1	
96	7F	2019	29	655	0	C	TS	1	
97	7F	2019	29	655	0	L	PB	1	
98	7F	2019	29	655	0	F	H	1	
1	7F	2019	30	656	0	CO	OS	2	
2	7F	2019	30	656	0	CO	MA	1	
3	7F	2019	30	656	0	CO	TIM	1	
4	7F	2019	30	656	0	F		9	
5	7F	2019	30	656	0	F	FVMA	4	
6	7F	2019	30	656	0	HT		1	
7	7F	2019	30	656	0	VD		1	

8	7F	2019	30	656	1	C	CM	1
9	7F	2019	30	656	0	C	CM	7
10	7F	2019	30	656	0	C	PT	1 IBÉRICA
11	7F	2019	30	656	0	C	PT	1 IBÉRICA
12	7F	2019	30	656	1	C	CC	1
13	7F	2019	30	656	1	C	CC	1
14	7F	2019	30	656	1	C	CC	1
15	7F	2019	30	656	0	C	CC	3
16	7F	2019	30	656	0	C	ANF	3
17	7F	2019	30	656	1	C	TS	1
18	7F	2019	30	656	1	C	TS	1
19	7F	2019	30	656	0	C	TS	1
20	7F	2019	30	656	0	C	TS	1
21	7F	2019	30	656	0	C	TS	1
22	7F	2019	30	656	0	C	TS	1
23	7F	2019	30	656	1	C	CMA	1
24	7F	2019	30	656	0	C	CMA	1
1	7F	2019	30	658	0	C	ANF	1
3	7F	2019	30	658	0	C	ANF	1
4	7F	2019	30	658	PI	C	LUC	1
5	7F	2019	30	658	DO	C	LUC	1
6	7F	2019	30	658	0	C	LUC	1
7	7F	2019	30	658	0	C	LUC	1
8	7F	2019	30	658	0	C	LUC	1
9	7F	2019	30	658	0	C	PT	1 IBÉRICA
10	7F	2019	30	658	0	C	PT	1 IBÉRICA
11	7F	2019	30	658	0	C	PT	1 IBÉRICA
12	7F	2019	30	658	0	C	PT	1 IBÉRICA
13	7F	2019	30	658	0	C	PT	1 IBÉRICA
14	7F	2019	30	658	0	C	PT	1 IBÉRICA
15	7F	2019	30	658	0	C	PT	1 IBÉRICA
16	7F	2019	30	658	0	C	PT	1 IBÉRICA
17	7F	2019	30	658	0	C	PT	1 IBÉRICA
18	7F	2019	30	658	0	C	PT	1 IBÉRICA
19	7F	2019	30	658	1	C	PT	1 IBÉRICA
20	7F	2019	30	658	0	C	TSG	1
21	7F	2019	30	658	0	C	TSG	1
22	7F	2019	30	658	0	C	TSG	1
23	7F	2019	30	658	0	C	TSG	1
24	7F	2019	30	658	0	C	TSG	1
25	7F	2019	30	658	1	C	TSG	1
26	7F	2019	30	658	1	C	TSG	1
27	7F	2019	30	658	1	C	TSG	1
28	7F	2019	30	658	0	C	TSA	1
29	7F	2019	30	658	0	C	TSA	1
30	7F	2019	30	658	0	C	TSA	1

31	7F	2019	30	658	0	C	TSA	1	
32	7F	2019	30	658	0	C	TSA	1	
33	7F	2019	30	658	0	C	TSA	1	
34	7F	2019	30	658	0	C	TSA	1	
35	7F	2019	30	658	0	C	TSA	1	
36	7F	2019	30	658	4	C	TSA	1	
37	7F	2019	30	658	1	C	CMR	1	
38	7F	2019	30	658	1	C	CMR	1	
39	7F	2019	30	658	1	C	CMR	1	
40	7F	2019	30	658	1	C	CMR	1	
41	7F	2019	30	658	1	C	CMR	1	
42	7F	2019	30	658	0	C	CMR	19	
2	7F	2019	30	658	0	C	ANF	1	
43	7F	2019	30	658	1	C	ANF	1	
44	7F	2019	30	658	1	C	ANF	1	
45	7F	2019	30	658	0	C	ANF	1	
46	7F	2019	30	658	0	C	ANF	1	
47	7F	2019	30	658	0	C	ANF	9	
48	7F	2019	30	658	0	C	CMR	4	
49	7F	2019	30	658	0	CO	MA	3	
50	7F	2019	30	658	0	CO	MA	5	PIZARRA
51	7F	2019	30	658	0	CO	MO	2	
52	7F	2019	30	658	1	C	CC	1	
53	7F	2019	30	658	1	C	CC	1	
54	7F	2019	30	658	1	C	CC	1	
55	7F	2019	30	658	1	C	CC	1	
56	7F	2019	30	658	1	C	CC	1	
57	7F	2019	30	658	1	C	CC	1	
58	7F	2019	30	658	1	C	CC	1	
59	7F	2019	30	658	1	C	CC	1	
60	7F	2019	30	658	4	C	CC	1	
61	7F	2019	30	658	4	C	CC	1	
63	7F	2019	30	658	4	C	CC	1	
64	7F	2019	30	658	0	CO	CC	128	
65	7F	2019	30	658	0	CO	ES	23	
66	7F	2019	30	658	0	CO	BES	2	
67	7F	2019	30	658	0	VD	VI	11	
68	7F	2019	30	658	0	F	FVMA	7	
69	7F	2019	30	658	0	F	FVMA	2	
70	7F	2019	30	658	0	HT		0	
71	7F	2019	30	658	0	F	H	53	
72	7F	2019	30	658	DO	C	LUC	1	
73	7F	2019	30	658	0	C	PT	1	IBÉRICA
74	7F	2019	30	658	0	L	BR	1	
75	7F	2019	30	658	0	MV	CA	1	
76	7F	2019	30	658	0	L	BR	4	

77	7F	2019	30	658	0	L	FE	4
78	7F	2019	30	658	0	VD	VI	1
79	7F	2019	30	658	0	VD	VI	1
80	7F	2019	30	658	0	VD	VI	1
81	7F	2019	30	658	0	VD	VI	1
82	7F	2019	30	658	0	VD	VI	1
83	7F	2019	30	658	0	VD	VI	1
84	7F	2019	30	658	0	VD	VI	1
85	7F	2019	30	658	0	VD	VI	1
86	7F	2019	30	658	0	VD	VI	1
87	7F	2019	30	658	0	VD	VI	1
88	7F	2019	30	658	0	C	TS	1
89	7F	2019	30	658	0	C	TS	1
90	7F	2019	30	658	0	C	TS	1
91	7F	2019	30	658	0	CO	MA	1
92	7F	2019	30	658	0	CO	MA	1
93	7F	2019	30	658	0	CO	MA	1
1	7F	2019	30	659	0	CO	ES	1
2	7F	2019	30	659	0	VD	VI	1
3	7F	2019	30	659	0	F	H	1
4	7F	2019	30	659	0	C	CC	1
5	7F	2019	30	659	0	C	CMR	1
6	7F	2019	30	659	0	C	BN	1
7	7F	2019	30	659	0	C	TS	1
8	7F	2019	30	659	0	C	ANF	1
9	7F	2019	30	659	0	C	LUC	1
10	7F	2019	30	659	0	F	H	18
11	7F	2019	30	659	0	C	ANF	3
12	7F	2019	30	659	0	F	FVMA	1
13	7F	2019	30	659	0	CO	MO	1
14	7F	2019	30	659	0	CO	MO	1
15	7F	2019	30	659	0	CO	MA	1
16	7F	2019	30	659	0	C	CMR	11
17	7F	2019	30	659	0	C	CMR	1
18	7F	2019	30	659	1	C	CMA	1
19	7F	2019	30	659	1	C	CMA	1
20	7F	2019	30	659	1	C	CMA	1
21	7F	2019	30	659	4	C	CMA	1
62	7F	2019	30	658	4	C	CC	1
22	7F	2019	30	659	0	C	LUC	1
23	7F	2019	30	659	0	C	TS	1 DECORADA
24	7F	2019	30	659	1	C	TS	1
25	7F	2019	30	659	1	C	TS	1
26	7F	2019	30	659	0	C	CC	56
27	7F	2019	30	659	1	C	CC	1
28	7F	2019	30	659	0	HT		1

29	7F	2019	30	659	0	HT		1
30	7F	2019	30	659	0	F	FVMA	1
31	7F	2019	30	659	0	C	PF	1
32	7F	2019	30	659	4	C	CC	1
33	7F	2019	30	659	0	VD	VI	1
34	7F	2019	30	659	0	VD	VI	1
35	7F	2019	30	659	0	VD	VI	1
36	7F	2019	30	659	0	VD	VI	1
37	7F	2019	30	659	0	VD	VI	1
38	7F	2019	30	659	1	VD	VI	1
1	7F	2019	30	660	0	CO	MA	1
2	7F	2019	30	660	1	C	TS	1
3	7F	2019	30	660	0	C	LUC	1
4	7F	2019	30	660	0	F	FVMA	1
5	7F	2019	30	660	0	F	FVMA	1
6	7F	2019	30	660	0	VD	VI	6
7	7F	2019	30	660	0	CO	TTE	1
8	7F	2019	30	660	0	C	ANF	1
9	7F	2019	30	660	0	C	CC	1
10	7F	2019	30	660	0	CO	ES	1
11	7F	2019	30	660	0	CO	BIP	1
12	7F	2019	30	660	0	CO	TTE	7
13	7F	2019	30	660	0	C	ANF	14
14	7F	2019	30	660	0	C	CC	39
15	7F	2019	30	660	7	C	CC	1
16	7F	2019	30	660	7	C	CC	1
17	7F	2019	30	660	1	C	CC	1
18	7F	2019	30	660	1	C	CC	1
19	7F	2019	30	660	1	C	CC	1
20	7F	2019	30	660	0	C	PT	1 IBÉRICA
21	7F	2019	30	660	0	C	CC	10
22	7F	2019	30	660	4	C	CM	1
23	7F	2019	30	660	4	C	TS	1
24	7F	2019	30	660	4	C	TS	1
25	7F	2019	30	660	0	C	TS	1
26	7F	2019	30	660	0	C	TS	1
27	7F	2019	30	660	0	C	TS	1
28	7F	2019	30	660	0	C	CMA	1
29	7F	2019	30	660	4	C	CMA	1
30	7F	2019	30	660	0	VD	VI	4
31	7F	2019	30	660	0	F	H	18
1	7F	2019	30	665	0	CO	OS	2
2	7F	2019	30	665	0	C	PT	1 IBÉRICA
3	7F	2019	30	665	0	VD	VI	1
4	7F	2019	30	665	0	C	LUC	1
5	7F	2019	30	665	0	C	LUC	1

6	7F	2019	30	665	0	C	CC	1	VIDRIADA ROMANA
7	7F	2019	30	665	0	F	H	1	
8	7F	2019	30	665	0	MU	MU	1	TIERRA
9	7F	2019	30	665	1	C	CMA	1	
1	7F	2019	31	667	0	CO	BES	1	
2	7F	2019	31	667	0	CO	BIP	1	
3	7F	2019	31	667	0	CO	TTE	1	
4	7F	2019	31	667	0	CO	TIM	1	
5	7F	2019	31	667	0	C	ANF	1	
6	7F	2019	31	667	7	C	ANF	1	
7	7F	2019	31	667	7	C	ANF	1	
8	7F	2019	31	667	0	C	CC	16	
9	7F	2019	31	667	0	C	CMR	3	
10	7F	2019	31	667	0	C	PT	1	
13	7F	2019	31	667	7	C	CC	1	
14	7F	2019	31	667	4	C	TS	1	
15	7F	2019	31	667	1	C	CMA	1	
16	7F	2019	31	667	0	C	CC	1	VIDRIADA ROMANA
17	7F	2019	31	667	0	F	H	1	
1	7F	2019	30	668	0	CO	ES	1	
2	7F	2019	30	668	1	C	CM	1	
3	7F	2019	30	668	0	C	CM	1	
11	7F	2019	31	667	1	C	CC	1	
12	7F	2019	31	667	7	C	CC	1	
4	7F	2019	30	668	0	CO	MA	1	
5	7F	2019	30	668	1	C	CC	1	
6	7F	2019	30	668	1	C	CC	1	
9	7F	2019	30	668	4	C	CC	1	
10	7F	2019	30	668	4	C	CC	1	
11	7F	2019	30	668	0	C	CC	18	
12	7F	2019	30	668	0	C	PT	1	IBÉRICA
13	7F	2019	30	668	4	C	TS	1	
14	7F	2019	30	668	4	C	TS	1	
15	7F	2019	30	668	1	C	TS	1	
16	7F	2019	30	668	1	C	TS	1	
17	7F	2019	30	668	1	C	TS	1	
18	7F	2019	30	668	1	C	TS	1	
19	7F	2019	30	668	1	C	TS	1	
20	7F	2019	30	668	0	C	TS	1	
21	7F	2019	30	668	0	C	TS	1	
22	7F	2019	30	668	0	C	TS	1	
23	7F	2019	30	668	0	C	TS	1	
24	7F	2019	30	668	0	C	TS	1	
25	7F	2019	30	668	0	C	TS	1	
26	7F	2019	30	668	0	F	FVMA	1	

27	7F	2019	30	668	0	F	H	1	
28	7F	2019	30	668	0	C	ANF	1	
30	7F	2019	30	668	4	C	CC	1	
31	7F	2019	30	668	7	C	CC	1	
32	7F	2019	30	668	0	C	CC	1	
33	7F	2019	30	668	4	C	CM	1	
34	7F	2019	30	668	1	C	CM	1	
35	7F	2019	30	668	1	C	TS	1	
36	7F	2019	30	668	1	C	CMA	1	
37	7F	2019	30	668	1	C	CMA	1	
38	7F	2019	30	668	0	C	F	4	
1	7F	2019	38	669	4	C	TS	1	
2	7F	2019	38	669	0	C	TS	1	
3	7F	2019	38	669	0	C	TS	1	
4	7F	2019	38	669	0	C	TS	1	
5	7F	2019	38	669	0	F	FVMA	1	
6	7F	2019	38	669	0	VD	VI	1	
7	7F	2019	38	669	0	C	PT	1	IBÉRICA
8	7F	2019	38	669	0	C	PT	1	IBÉRICA
9	7F	2019	38	669	0	C	PT	1	IBÉRICA
10	7F	2019	38	669	0	C	PT	1	IBÉRICA
11	7F	2019	38	669	0	C	PT	1	IBÉRICA
12	7F	2019	38	669	0	C	PT	1	IBÉRICA
13	7F	2019	38	669	0	C	TS	1	
14	7F	2019	38	669	0	C	TS	1	
15	7F	2019	38	669	0	C	BN	1	
16	7F	2019	38	669	4	C	CC	1	
17	7F	2019	38	669	0	C	MA	1	
18	7F	2019	38	669	4	C	CMA	1	
19	7F	2019	38	669	4	C	CMA	1	
20	7F	2019	38	669	4	C	CMA	1	
21	7F	2019	38	669	4	C	CMA	1	
23	7F	2019	38	669	1	C	CC	1	
24	7F	2019	38	669	1	C	CC	1	
25	7F	2019	38	669	1	C	CC	1	
26	7F	2019	38	669	1	C	CC	1	
27	7F	2019	38	669	1	C	CC	1	
28	7F	2019	38	669	1	C	CC	1	
29	7F	2019	38	669	1	C	CC	1	
30	7F	2019	38	669	1	C	CC	1	
32	7F	2019	38	669	0	ANF	16	1	
33	7F	2019	38	669	0	CC	33	1	
34	7F	2019	38	669	1	TS		1	
35	7F	2019	38	669	1	TS		1	
36	7F	2019	38	669	1	TS		1	
37	7F	2019	38	669	7	CC		1	

38	7F	2019	38	669	7	CMR		1
39	7F	2019	38	669	1	CC		1
40	7F	2019	38	669	4	C		1
42	7F	2019	38	669	1	C	CMA	1
43	7F	2019	38	669	0	C	TS	1
44	7F	2019	38	669	0	C	TS	1
45	7F	2019	38	669	1	C	PT	1
46	7F	2019	38	669	1	C	PT	1
7	7F	2019	30	668	1	C	CC	1
8	7F	2019	30	668	1	C	CC	1
29	7F	2019	30	668	1	C	CC	1
22	7F	2019	38	669	1	C	CC	1
31	7F	2019	38	669	0	CO	TTE	1
41	7F	2019	38	669	0	F	H	42
47	7F	2019	38	669	1	C	PT	1
48	7F	2019	38	669	0	C	CMR	17
49	7F	2019	38	669	1	C	CMR	1
50	7F	2019	38	669	1	C	CMR	1
51	7F	2019	38	669	7	C	CC	1
52	7F	2019	38	669	0	F	H	14
53	7F	2019	38	669	0	C	CC	53
54	7F	2019	38	669	0	CO	MO	38
55	7F	2019	38	669	0	CO	ES	4
56	7F	2019	38	669	7	C	ANF	1
57	7F	2019	38	669	0	C	LUC	1
58	7F	2019	38	669	0	C	LUC	1
59	7F	2019	38	669	0	C	LUC	1
60	7F	2019	38	669	0	C	LUC	1
61	7F	2019	38	669	0	C	LUC	1
62	7F	2019	38	669	0	C	PT	1
63	7F	2019	38	669	0	C	PT	1
64	7F	2019	38	669	0	C	PT	1
65	7F	2019	38	669	1	C	CC	1
66	7F	2019	38	669	1	C	CC	1
67	7F	2019	38	669	1	C	PT	1
68	7F	2019	38	669	0	L	FE	1
69	7F	2019	38	669	0	VD	VI	5
70	7F	2019	38	669	0	HT		1
71	7F	2019	38	669	0	HT		1
72	7F	2019	38	669	0	C	BNAT	1
73	7F	2019	38	669	4	C	PF	4
74	7F	2019	38	669	4	C	CMA	3
75	7F	2019	38	669	4	C	CMA	1
76	7F	2019	38	669	4	C	CMA	1
77	7F	2019	38	669	0	C	TSA	1
78	7F	2019	38	669	4	C	TSA	1

79	7F	2019	38	669	4	C	TSA	1
80	7F	2019	38	669	1	C	CMA	1
81	7F	2019	38	669	1	C	CMA	1
82	7F	2019	38	669	1	C	CMA	1
83	7F	2019	38	669	1	C	CMA	1
84	7F	2019	38	669	1	C	CMA	1
85	7F	2019	38	669	1	C	TSA	1
86	7F	2019	38	669	1	C	TSA	1
87	7F	2019	38	669	1	C	TS	1
89	7F	2019	38	669	1	C	TS	1
90	7F	2019	38	669	1	C	CC	1
91	7F	2019	38	669	1	C	CC	1
92	7F	2019	38	669	0	C	ANF	10
93	7F	2019	38	669	0	C	TSA	1
94	7F	2019	38	669	0	C	TSA	1
95	7F	2019	38	669	0	C	TSA	1
96	7F	2019	38	669	0	C	TSA	1
97	7F	2019	38	669	0	CO	BES	1
98	7F	2019	38	669	0	CO	TTE	2
99	7F	2019	38	669	0	CO	EN	6
100	7F	2019	38	669	0	F	H	30
101	7F	2019	38	669	0	C	ANF	1
102	7F	2019	38	669	0	C	ANF	16
103	7F	2019	38	669	0	C	CC	60
104	7F	2019	38	669	1	C	CC	1
105	7F	2019	38	669	1	C	CC	1
106	7F	2019	38	669	1	C	CC	1
107	7F	2019	38	669	1	C	CC	1
108	7F	2019	38	669	1	C	CC	1
109	7F	2019	38	669	1	C	CC	1
110	7F	2019	38	669	1	C	CC	1
111	7F	2019	38	669	1	C	CC	1
112	7F	2019	38	669	1	C	CC	1
113	7F	2019	38	669	0	C	BN	1
114	7F	2019	38	669	0	C	LUC	1
115	7F	2019	38	669	0	C	LUC	1
116	7F	2019	38	669	0	C	CM	20
117	7F	2019	38	669	1	C	CM	1
118	7F	2019	38	669	1	C	CM	1
88	7F	2019	38	669	0	C	TS	1
119	7F	2019	38	669	4	C	CM	1
120	7F	2019	38	669	4	C	CM	1
121	7F	2019	38	669	0	C	CM	1
122	7F	2019	38	669	0	C	PT	1
123	7F	2019	38	669	0	C	PT	1
124	7F	2019	38	669	0	C	PT	1

125	7F	2019	38	669	0	C	PT	1
126	7F	2019	38	669	4	C	TS	1
127	7F	2019	38	669	4	C	TS	1
128	7F	2019	38	669	1	C	TS	1
129	7F	2019	38	669	1	C	TS	1
130	7F	2019	38	669	1	C	TS	1
131	7F	2019	38	669	0	C	TS	1
132	7F	2019	38	669	0	C	TS	1
133	7F	2019	38	669	0	C	TS	1
134	7F	2019	38	669	0	C	TS	1
136	7F	2019	38	669	0	C	TS	1
137	7F	2019	38	669	0	C	TS	1
138	7F	2019	38	669	0	C	TS	1
139	7F	2019	38	669	0	C	TS	1
140	7F	2019	38	669	4	C	CMA	1
141	7F	2019	38	669	4	C	CMA	1
142	7F	2019	38	669	4	C	CMA	1
143	7F	2019	38	669	4	C	CMA	1
144	7F	2019	38	669	1	C	CMA	1
145	7F	2019	38	669	1	C	CMA	1
146	7F	2019	38	669	0	F		1
1	7F	2019	31	672	0	C	CM	1
2	7F	2019	31	672	0	C	CM	5
3	7F	2019	31	672	0	C	CMA	1
4	7F	2019	31	672	0	C	TS	1
5	7F	2019	31	672	4	C	CC	1
6	7F	2019	31	672	1	C	CC	2
7	7F	2019	31	672	0	F	H	1
8	7F	2019	31	672	0	CO	ES	1
9	7F	2019	31	672	0	VD	VI	1
10	7F	2019	31	672	0	L	MON	1
11	7F	2019	31	672	0	L	FE	1
1	7F	2019	31	676	0	C	ANF	35
2	7F	2019	31	676	1	C	ANF	1
3	7F	2019	31	676	7	C	ANF	1
4	7F	2019	31	676	0	CO	TIM	1
5	7F	2019	31	676	0	CO	TIM	1
6	7F	2019	31	676	0	CO	TTE	1
7	7F	2019	31	676	0	CO	TTE	1
8	7F	2019	31	676	0	CO	ES	2
9	7F	2019	31	676	0	F	H	1
10	7F	2019	31	676	0	F	FVMA	1
11	7F	2019	31	676	0	C	CC	19
12	7F	2019	31	676	4	C	CMR	1
13	7F	2019	31	676	4	C	CMR	1
14	7F	2019	31	676	0	C	CC	1

15	7F	2019	31	676	1	C	CC	1	
16	7F	2019	31	676	1	C	CC	1	
17	7F	2019	31	676	1	C	CC	1	
18	7F	2019	31	676	1	C	CC	1	
19	7F	2019	31	676	4	C	TSA	1	
20	7F	2019	31	676	1	C	TSA	1	
23	7F	2019	31	676	0	L	FE	1	
24	7F	2019	31	676	0	L	MON	1	
25	7F	2019	31	676	0	L	FE	1	CLAVO
26	7F	2019	31	676	0	L	FE	1	
27	7F	2019	31	676	1	C	ANF	1	
28	7F	2019	31	676	7	C	NF	1	
29	7F	2019	31	676	0	C	ANF	1	
30	7F	2019	31	676	0	CO	ES	3	
1	7F	2019	31	677	1	C	PT	1	
2	7F	2019	31	677	4	C	PT	1	
3	7F	2019	31	677	0	C	PT	1	
4	7F	2019	31	677	0	C	PT	1	
5	7F	2019	31	677	1	C	CMA	1	
6	7F	2019	31	677	7	C	ANF	1	
7	7F	2019	31	677	7	C	ANF	1	
135	7F	2019	38	669	0	C	TS	1	
21	7F	2019	31	676	1	C	PT	1	
22	7F	2019	31	676	0	C	PT	1	
8	7F	2019	31	677	7	C	ANF	1	
9	7F	2019	31	677	0	C	ANF	13	
10	7F	2019	31	677	0	C	CC	1	
11	7F	2019	31	677	1	C	CC	1	
12	7F	2019	31	677	1	C	CC	1	
13	7F	2019	31	677	1	C	CC	1	
14	7F	2019	31	677	1	C	CC	1	
15	7F	2019	31	677	7	C	CC	1	
16	7F	2019	31	677	7	C	CC	1	
17	7F	2019	31	677	7	C	CC	1	
18	7F	2019	31	677	7	C	CC	1	
19	7F	2019	31	677	4	C	CC	1	
20	7F	2019	31	677	0	CO	TIM	1	
21	7F	2019	31	677	0	CO	TTE	1	
22	7F	2019	31	677	4	C	TSA	1	
23	7F	2019	31	677	4	C	TSA	1	
24	7F	2019	31	677	0	C	TSA	1	
25	7F	2019	31	677	0	C	TSA	1	
26	7F	2019	31	677	0	C	TSA	1	
27	7F	2019	31	677	0	C	CMA	1	
1	7F	2019	38	684	0	F	H	6	
2	7F	2019	38	684	0	L	PB	1	

3	7F	2019	38	684	1	C	ANF	1	
4	7F	2019	38	684	0	C	ANF	4	
5	7F	2019	38	684	4	C	CC	1	
6	7F	2019	38	684	0	C	CC	1	ROJO
7	7F	2019	38	684	7	C	LUC	1	POMPEYANO
8	7F	2019	38	684	0	C	LUC	1	
9	7F	2019	38	684	0	C	CC	1	
10	7F	2019	38	684	7	C	PT	1	
11	7F	2019	38	684	1	C	CMR	1	
12	7F	2019	38	684	0	C	CMR	1	
13	7F	2019	38	684	1	C	CMA	1	
14	7F	2019	38	684	0	C	CC	22	
15	7F	2019	38	684	0	CO	BES	1	
16	7F	2019	38	684	0	CO	BES	1	
17	7F	2019	38	684	0	CO	TCO	1	
18	7F	2019	38	684	0	CO	TTE	1	
19	7F	2019	38	684	0	CO	BIP	1	
20	7F	2019	38	684	0	CO	BES	1	
21	7F	2019	38	684	0	CO	TCL	1	
22	7F	2019	38	684	0	CO	TIM	1	
23	7F	2019	38	684	0	CO	TTE	1	
24	7F	2019	38	684	0	C	ANF	9	
25	7F	2019	38	684	0	C	CC	11	
26	7F	2019	38	684	1	C	CMR	1	
27	7F	2019	38	684	1	C	CC	1	
28	7F	2019	38	684	1	C	CC	1	
29	7F	2019	38	684	1	C	CC	1	
30	7F	2019	38	684	1	C	CC	1	
31	7F	2019	38	684	1	C	CC	1	
32	7F	2019	38	684	0	C	TS	1	LUCENTE
33	7F	2019	38	684	0	C	CM	1	ROJO
34	7F	2019	38	684	0	C	PT	1	POMPEYANO
35	7F	2019	38	684	0	C	PT	1	
36	7F	2019	38	684	0	C	PT	1	
37	7F	2019	38	684	0	C	TS	1	
38	7F	2019	38	684	0	C	TS	1	
39	7F	2019	38	684	0	C	TS	1	
40	7F	2019	38	684	1	C	CMA	1	
41	7F	2019	38	684	0	C	CMA	1	
42	7F	2019	38	684	1	C	CMA	1	
43	7F	2019	38	684	1	C	CMA	1	
44	7F	2019	38	684	0	C	CMA	1	
45	7F	2019	38	684	0	C	TSA	1	
46	7F	2019	38	684	0	F	H	5	
47	7F	2019	38	684	0	F	FVMA	1	

48	7F	2019	38	684	0	CO	ES	2
49	7F	2019	38	684	0	VD	VI	1
1	7F	2019	29	686	0	CO	ANF	6
2	7F	2019	29	686	0	CO	TIM	1
3	7F	2019	29	686	0	CO	TCL	1
4	7F	2019	29	686	0	F	H	2
5	7F	2019	29	686	0	CO	TTE	1
6	7F	2019	29	686	0	F		5
7	7F	2019	29	686	0	CO	ES	1
8	7F	2019	29	686	0	CO	TCL	1
9	7F	2019	29	686	0	CO	TTE	1
10	7F	2019	29	686	0	C	ANF	1
11	7F	2019	29	686	0	CO	MA	1
12	7F	2019	29	686	0	CO	TCL	1
13	7F	2019	29	686	0	CO	BES	1
14	7F	2019	29	686	0	C	CC	1
15	7F	2019	29	686	0	C	ANF	1
16	7F	2019	29	686	0	C	CC	1
17	7F	2019	29	686	0	L	FE	1
18	7F	2019	29	686	0	F	H	2
2	7F	2019	29	687	1	C	TSA	1
3	7F	2019	29	687	0	C	TSA	1
4	7F	2019	29	687	0	C	TSA	1
5	7F	2019	29	687	1	C	ANF	1
6	7F	2019	29	687	1	C	CM	1
7	7F	2019	29	687	4	C	CC	1
8	7F	2019	29	687	0	C	CC	1
9	7F	2019	29	687	0	C	CC	1
10	7F	2019	29	687	0	C	CC	1
11	7F	2019	29	687	0	CO	TTE	1
12	7F	2019	29	687	0	CO	ES	1
13	7F	2019	29	687	0	CO	ES	1
14	7F	2019	29	687	0	L	FE	1
15	7F	2019	29	687	0	L	BR	1
16	7F	2019	29	687	0	CO	MO	1
17	7F	2019	29	687	0	VD	VI	1
18	7F	2019	29	687	0	HT		1
19	7F	2019	29	687	0	F	H	1
20	7F	2019	29	687	0	F	H	1
21	7F	2019	29	687	1	C	CC	1
22	7F	2019	29	687	0	C	CC	6
23	7F	2019	29	687	0	C	CMR	1
24	7F	2019	29	687	0	C	CMR	1
25	7F	2019	29	687	0	C	ANF	1
26	7F	2019	29	687	0	CO	TTE	1
27	7F	2019	29	687	0	CO	TLA	1

28	7F	2019	29	687	0	CO	TCL	1	
29	7F	2019	29	687	0	CO	TTE	1	
30	7F	2019	29	687	0	C	ANF	3	
31	7F	2019	29	687	0	C	CC	1	
32	7F	2019	29	687	0	C	CMR	1	
33	7F	2019	29	687	0	F	H	1	
1	7F	2019	29	688	0	CO	TIM	1	
2	7F	2019	29	688	0	F	H	11	
3	7F	2019	29	688	0	CO	ES	1	
4	7F	2019	29	688	7	C	ANF	1	
5	7F	2019	29	688	0	C	CC	6	
6	7F	2019	29	688	0	C	CC	1	
7	7F	2019	29	688	0	C	TSG	1	
8	7F	2019	29	688	1	C	CM	1	ROJO POMPEYANO
9	7F	2019	29	688	1	C	CM	1	ROJO POMPEYANO
10	7F	2019	29	688	0	C	CM	1	ROJO POMPEYANO
11	7F	2019	29	688	0	CO	TCL	1	
12	7F	2019	29	688	0	CO	BES	1	
13	7F	2019	29	688	0	CO	MO	1	
14	7F	2019	29	688	0	CO	MO	2	
15	7F	2019	29	688	0	C	CC	1	
16	7F	2019	29	688	0	F	H	7	
17	7F	2019	29	688	0	C	CC	5	
1	7F	2019	38	691	0	C	CC	10	
2	7F	2019	38	691	0	C	TS	1	
3	7F	2019	38	691	0	C	CM	3	
4	7F	2019	38	691	1	C	CC	1	
5	7F	2019	38	691	0	F	H	2	
2	7F	2019	38	692	0	C	CC	1	
3	7F	2019	38	692	0	C	CC	1	
4	7F	2019	38	692	0	CO	TLA	1	
5	7F	2019	38	692	0	CO	TLA	1	
6	7F	2019	38	692	0	CO	TLA	1	
7	7F	2019	38	692	0	CO	D	4	
1	7F	2019	30	693	0	F	H	2	
2	7F	2019	30	693	0	CO	ES	1	
3	7F	2019	30	693	1	C	CC	1	
4	7F	2019	30	693	1	C	CC	1	
1	7F	2019	29	687	1	C	TSA	1	
1	7F	2019	38	692	1	C	CMA	1	
5	7F	2019	30	693	1	C	CC	1	
6	7F	2019	30	693	1	C	CC	1	
7	7F	2019	30	693	1	C	CC	1	
8	7F	2019	30	693	1	C	CC	1	

9	7F	2019	30	693	1	C	CC	1	
10	7F	2019	30	693	1	C	CC	1	
11	7F	2019	30	693	1	C	CC	1	
12	7F	2019	30	693	1	C	CC	1	
13	7F	2019	30	693	1	C	CC	1	
14	7F	2019	30	693	4	C	CC	1	
15	7F	2019	30	693	1	C	CC	1	
16	7F	2019	30	693	1	C	CC	1	
17	7F	2019	30	693	1	C	CC	1	
18	7F	2019	30	693	7	C	CC	1	
19	7F	2019	30	693	7	C	CC	1	
20	7F	2019	30	693	7	C	CC	1	
21	7F	2019	30	693	0	C	CC	37	
22	7F	2019	30	693	0	C	PT	1	IBÉRICA
23	7F	2019	30	693	0	C	PT	1	IBÉRICA
24	7F	2019	30	693	0	C	PT	1	IBÉRICA
25	7F	2019	30	693	1	C	PT	1	IBÉRICA
26	7F	2019	30	693	1	C	PT	1	IBÉRICA
27	7F	2019	30	693	1	C	CM	1	
28	7F	2019	30	693	4	C	CM	1	
29	7F	2019	30	693	0	C	CM	5	
30	7F	2019	30	693	0	C	LUC	1	
31	7F	2019	30	693	0	VD	VI	1	
32	7F	2019	30	693	0	C	BN	1	
33	7F	2019	30	693	0	CO	TTE	1	
34	7F	2019	30	693	0	CO	TTE	1	
35	7F	2019	30	693	0	CO	TTE	1	
36	7F	2019	30	693	0	C	ANF	1	
37	7F	2019	30	693	0	C	ANF	1	
38	7F	2019	30	693	0	C	ANF	1	
39	7F	2019	30	693	0	C	ANF	18	
40	7F	2019	30	693	1	C	TSA	1	
41	7F	2019	30	693	0	C	TSA	1	
42	7F	2019	30	693	0	C	TSA	1	
43	7F	2019	30	693	0	C	TSA	1	
44	7F	2019	30	693	0	C	TSA	1	
45	7F	2019	30	693	4	C	CMA	1	
46	7F	2019	30	693	1	C	CMA	1	
47	7F	2019	30	693	1	C	CMA	1	
48	7F	2019	30	693	1	C	CMA	1	
49	7F	2019	30	693	0	C	CMA	1	
50	7F	2019	30	693	1	C	CMR	1	
2	7F	2019	4	695	0	C	ANF	20	
3	7F	2019	4	695	1	C	PT	1	IBÉRICA
4	7F	2019	4	695	1	C	PT	1	IBÉRICA
5	7F	2019	4	695	1	C	PT	1	IBÉRICA

6	7F	2019	4	695	7	C	PT	1	IBÉRICA
7	7F	2019	4	695	0	C	PT	1	IBÉRICA
8	7F	2019	4	695	0	C	PT	1	IBÉRICA
9	7F	2019	4	695	0	C	PT	1	IBÉRICA
10	7F	2019	4	695	0	C	PT	1	IBÉRICA
11	7F	2019	4	695	0	C	PT	1	IBÉRICA
12	7F	2019	4	695	0	C	PT	1	IBÉRICA
13	7F	2019	4	695	0	C	PT	1	IBÉRICA
14	7F	2019	4	695	0	C	PT	1	IBÉRICA
15	7F	2019	4	695	0	C	PT	1	IBÉRICA
16	7F	2019	4	695	0	C	PT	1	IBÉRICA
17	7F	2019	4	695	0	C	PT	1	IBÉRICA
18	7F	2019	4	695	0	C	PT	1	IBÉRICA
19	7F	2019	4	695	0	C	PT	1	IBÉRICA
20	7F	2019	4	695	0	C	PT	1	IBÉRICA
21	7F	2019	4	695	0	C	PT	1	IBÉRICA
22	7F	2019	4	695	0	C	PT	1	IBÉRICA
23	7F	2019	4	695	0	C	PT	1	IBÉRICA
24	7F	2019	4	695	0	C	PT	1	IBÉRICA
25	7F	2019	4	695	0	C	PT	1	IBÉRICA
26	7F	2019	4	695	0	C	PT	1	IBÉRICA
27	7F	2019	4	695	0	C	PT	1	IBÉRICA
28	7F	2019	4	695	1	C	CC	1	
29	7F	2019	4	695	1	C	CC	1	
30	7F	2019	4	695	1	C	CC	1	
1	7F	2019	4	695	7	C	ANF	18	LAMB 2
31	7F	2019	4	695	4	C	CC	1	
32	7F	2019	4	695	0	C	CC	34	
33	7F	2019	4	695	0	C	CMR	3	
34	7F	2019	4	695	DO	C	LUC	1	
35	7F	2019	4	695	0	C	PF	1	
36	7F	2019	4	695	4	C	BN	1	
37	7F	2019	4	695	0	C	CC	1	
38	7F	2019	4	695	1	C	CMA	1	OSTIA ii.302
39	7F	2019	4	695	0	F	H	3	
1	7F	2019	4	697	0	C	ANF	20	
2	7F	2019	4	697	1	C	CC	1	
3	7F	2019	4	697	0	C	CC	30	
4	7F	2019	4	697	0	C	CMR	6	
5	7F	2019	4	697	0	C	PT	1	IBÉRICA
6	7F	2019	4	697	0	C	PT	1	IBÉRICA
7	7F	2019	4	697	0	C	PT	1	IBÉRICA
8	7F	2019	4	697	0	C	PT	1	IBÉRICA
9	7F	2019	4	697	0	C	PT	1	IBÉRICA
10	7F	2019	4	697	0	C	PT	1	IBÉRICA
11	7F	2019	4	697	0	C	PT	1	IBÉRICA

12	7F	2019	4	697	0	C	PT	1	IBÉRICA
13	7F	2019	4	697	0	C	PT	1	IBÉRICA
14	7F	2019	4	697	0	C	PF	1	
15	7F	2019	4	697	0	C	PF	1	
16	7F	2019	4	697	0	C	PF	1	
17	7F	2019	4	697	1	C	BN	1	
18	7F	2019	4	697	F	F	FVMA	13	
19	7F	2019	4	697	F	F	FVMA	1	
20	7F	2019	4	697	F	F	H	3	
21	7F	2019	4	697	0	L	PB	1	
22	7F	2019	4	697	0	L	FE	1	
1	7F	2019	4	698	1	C	PT	1	IBÉRICA
2	7F	2019	4	698	1	C	PT	1	IBÉRICA
3	7F	2019	4	698	7	C	PT	1	IBÉRICA
4	7F	2019	4	698	0	C	PT	1	IBÉRICA
5	7F	2019	4	698	0	C	PT	1	IBÉRICA
6	7F	2019	4	698	0	C	PT	1	IBÉRICA
7	7F	2019	4	698	0	C	PT	1	IBÉRICA
8	7F	2019	4	698	0	C	PT	1	IBÉRICA
9	7F	2019	4	698	0	C	PT	1	IBÉRICA
10	7F	2019	4	698	0	C	PT	1	IBÉRICA
11	7F	2019	4	698	0	C	PT	1	IBÉRICA
12	7F	2019	4	698	0	C	PT	1	IBÉRICA
13	7F	2019	4	698	0	C	PT	1	IBÉRICA
14	7F	2019	4	698	0	C	PT	1	IBÉRICA
15	7F	2019	4	698	1	C	CMA	2	
16	7F	2019	4	698	1	C	LUC	1	
17	7F	2019	4	698	1	C	LUC	1	
18	7F	2019	4	698	1	C	LUC	1	
19	7F	2019	4	698	4	C	CC	1	
20	7F	2019	4	698	0	C	PF	1	
21	7F	2019	4	698	1	C	CC	1	
22	7F	2019	4	698	0	C	CM	1	
23	7F	2019	4	698	0	C	CC	18	
24	7F	2019	4	698	0	C	ANF	12	
25	7F	2019	4	698	0	F	FVMA	1	
26	7F	2019	4	698	0	F	H	1	
1	7F	2019	30	699	0	VD	VI	1	
2	7F	2019	30	699	0	CO	ES	1	
3	7F	2019	30	699	0	CO	TLA	1	
4	7F	2019	30	699	0	CO	BIP	1	
5	7F	2019	30	699	0	CO	TTE	1	
6	7F	2019	30	699	0	C	TS	1	
2	7F	2019	30	702	1	C	PT	1	IBÉRICA
5	7F	2019	30	702	7	C	LUC	1	
6	7F	2019	30	702	1	C	PF	1	

7	7F	2019	30	702	1	C	TSG	1	
8	7F	2019	30	702	4	C	TSG	1	
9	7F	2019	30	702	0	C	TSG	1	
10	7F	2019	30	702	0	C	TSI	1	
11	7F	2019	30	702	0	C	TSI	1	
12	7F	2019	30	702	1	C	TS	1	
13	7F	2019	30	702	4	C	TSH	1	
14	7F	2019	30	702	4	C	TSH	1	
15	7F	2019	30	702	0	C	TSH	1	
16	7F	2019	30	702	0	C	TSA	1	
1	7F	2019	30	702	1	C	PT	1	IBÉRICA
17	7F	2019	30	702	0	C	TSA	1	
18	7F	2019	30	702	1	C	TSA	1	
19	7F	2019	30	702	4	C	CMA	1	
20	7F	2019	30	702	0	C	CMA	1	
21	7F	2019	30	702	1	C	CC	1	
22	7F	2019	30	702	1	C	CC	1	
23	7F	2019	30	702	1	C	CC	1	
24	7F	2019	30	702	1	C	CC	1	
25	7F	2019	30	702	1	C	CC	1	
26	7F	2019	30	702	4	C	CC	1	
27	7F	2019	30	702	1	C	CC	1	
28	7F	2019	30	702	1	C	CC	1	
29	7F	2019	30	702	1	C	CC	1	
30	7F	2019	30	702	1	C	CC	1	
31	7F	2019	30	702	1	C	CC	1	
32	7F	2019	30	702	1	C	CMA	1	
33	7F	2019	30	702	0	C	CMA	1	
34	7F	2019	30	702	0	C	CMA	1	
37	7F	2019	30	702	0	C	CC	23	
38	7F	2019	30	702	0	C	CC	72	
39	7F	2019	30	702	0	C	CM	10	
40	7F	2019	30	702	0	CO	TTE	1	
41	7F	2019	30	702	0	CO	TTE	1	
42	7F	2019	30	702	0	CO	TTE	1	
43	7F	2019	30	702	0	CO	ES	3	
44	7F	2019	30	702	0	CO	ES	1	
45	7F	2019	30	702	0	F	FVMA	6	
46	7F	2019	30	702	0	L	FE	1	
47	7F	2019	30	702	0	VD	VI	1	
48	7F	2019	30	702	0	L	MON	1	
49	7F	2019	30	702	0	F	F	32	
50	7F	2019	30	702	1	C	TS	1	
51	7F	2019	30	702	4	C	TS	1	
52	7F	2019	30	702	0	C	TS	1	
53	7F	2019	30	702	0	C	TS	1	

54	7F	2019	30	702	0	C	TS	1
55	7F	2019	30	702	0	C	TS	1
56	7F	2019	30	702	0	C	TS	1
57	7F	2019	30	702	0	C	TS	1
58	7F	2019	30	702	0	C	TS	1
59	7F	2019	30	702	1	C	CMR	1
60	7F	2019	30	702	0	C	CMR	6
61	7F	2019	30	702	PI	C	ANF	1
62	7F	2019	30	702	0	C	ANF	9
63	7F	2019	30	702	1	C	CC	1
64	7F	2019	30	702	1	C	CC	1
65	7F	2019	30	702	1	C	CC	1
66	7F	2019	30	702	0	C	CC	15
67	7F	2019	30	702	1	C	BN	1
68	7F	2019	30	702	7	C	LUC	1
69	7F	2019	30	702	7	C	LUC	1
70	7F	2019	30	702	7	C	LUC	1
71	7F	2019	30	702	4	C	LUC	1
72	7F	2019	30	702	0	C	LUC	1
73	7F	2019	30	702	0	C	CMA	2
74	7F	2019	30	702	0	C	CMA	1
75	7F	2019	30	702	0	F	FVMA	7
76	7F	2019	30	702	0	F	FVMA	2
77	7F	2019	30	702	0	F	FVMA	24
78	7F	2019	30	702	0	CO	MO	2
79	7F	2019	30	702	0	L	FE	1
1	7F	2019	31	703	0	CO	TCL	1
2	7F	2019	31	703	1	C	CMR	1
3	7F	2019	31	703	0	C	CMR	1
4	7F	2019	31	703	7	C	LUC	1
5	7F	2019	31	703	7	C	ANF	1
6	7F	2019	31	703	7	C	ANF	1
7	7F	2019	31	703	0	C	ANF	14
8	7F	2019	31	703	1	C	CC	1
9	7F	2019	31	703	1	C	CC	1
10	7F	2019	31	703	1	C	CC	1
11	7F	2019	31	703	1	C	CC	1
12	7F	2019	31	703	7	C	CC	1
13	7F	2019	31	703	4	C	CC	1
14	7F	2019	31	703	4	C	TSH	1 SELLO
15	7F	2019	31	703	0	C	TSA	1
3	7F	2019	30	702	1	C	PT	1 IBÉRICA
4	7F	2019	30	702	1	C	PT	1 IBÉRICA
35	7F	2019	30	702	0	C	PT	1 IBÉRICA
36	7F	2019	30	702	0	C	PT	1 IBÉRICA
16	7F	2019	31	703	0	C	TSA	1

17	7F	2019	31	703	0	C	TS	1	
18	7F	2019	31	703	0	C	TSA	1	
19	7F	2019	31	703	0	C	TSA	1	
20	7F	2019	31	703	0	C	TSA	1	
21	7F	2019	31	703	0	C	TSA	1	
22	7F	2019	31	703	0	C	TSA	1	
23	7F	2019	31	703	0	C	TSA	1	
24	7F	2019	31	703	0	C	TSA	1	
25	7F	2019	31	703	7	VD	VI	1	
26	7F	2019	31	703	0	L	FE	1	
27	7F	2019	31	703	0	F	H	1	
28	7F	2019	31	703	0	CO	ES	1	
1	7F	2019	4	705	0	C	PT	1	IBÉRICA
2	7F	2019	4	705	0	C	PT	1	IBÉRICA
3	7F	2019	4	705	0	C	PT	1	IBÉRICA
4	7F	2019	4	705	0	C	PT	1	IBÉRICA
5	7F	2019	4	705	0	C	PT	1	IBÉRICA
6	7F	2019	4	705	0	C	PT	1	IBÉRICA
7	7F	2019	4	705	0	C	PT	1	IBÉRICA
8	7F	2019	4	705	0	C	PT	1	IBÉRICA
9	7F	2019	4	705	0	C	PT	1	IBÉRICA
10	7F	2019	4	705	0	C	PT	1	IBÉRICA
11	7F	2019	4	705	0	C	PT	1	IBÉRICA
12	7F	2019	4	705	0	C	PT	1	IBÉRICA
13	7F	2019	4	705	0	C	PT	1	IBÉRICA
14	7F	2019	4	705	0	C	PT	1	IBÉRICA
15	7F	2019	4	705	0	C	PT	1	IBÉRICA
16	7F	2019	4	705	0	C	LUC	1	
17	7F	2019	4	705	0	C	LUC	1	
18	7F	2019	4	705	1	C	CC	1	
19	7F	2019	4	705	0	C	CM	1	
20	7F	2019	4	705	0	F	H	4	
21	7F	2019	4	705	0	L	FE	1	
22	7F	2019	4	705	0	C	CC	42	
23	7F	2019	4	705	0	C	ANF	1	
417	7F	2019		1	4	C	TS	1	MARMORATA
418	7F	2019		1	7	C	ANF	1	
419	7F	2019		1	7	C	ANF	1	
420	7F	2019		1	7	C	CC	1	
422	7F	2019		1	4	C	CC	1	
423	7F	2019		1	4	C	CC	1	
424	7F	2019		1	0	C	ANF	1	
540	7F	2019		1	0	C	ANF	2	
541	7F	2019		1	0	C	ANF	7	
542	7F	2019		1	7	C	ANF	1	
543	7F	2019		1	7	C	ANF	1	

Excavaciones Termas Orientales La Alcudia (Elche)- Campaña 2019. Proyecto ASTERO

544	7F	2019	1	1	C	ANF	1	
545	7F	2019	1	1	C	ANF	1	
546	7F	2019	1	0	CO	TCL	1	
547	7F	2019	1	0	C	PT	1	IBÉRICA ROJO
548	7F	2019	1	0	C	CM	1	POMPEYANO
549	7F	2019	1	1	C	TSA	1	
550	7F	2019	1	1	C	TSA	1	
551	7F	2019	1	0	C	TSA	1	
552	7F	2019	1	7	C	CC	1	
553	7F	2019	1	1	C	CC	1	
554	7F	2019	1	0	C	CC	9	
555	7F	2019	1	0	F	H	2	
556	7F	2019	1	4	C	CC	0	MEDIEVAL
557	7F	2019	1	0	CO	TPO	1	
558	7F	2019	1	0	CO	TCL	3	
559	7F	2019	1	0	F	H	7	
421	7F	2019	1	4	C	CC	1	



copia1/2 depositario

ACTA DE INGRESO DE MATERIALES

En Elche/Elx a 9 de marzo de 2020

En el Museo Monográfico L'Alcúdia, sito en Pda. Alzabares Bajo, pol. 1, 138, 03290 de Elche, reunidos, en la fecha arriba indicada, de una parte los directores —identificados en el punto primero— de la intervención arqueológica *La Alcúdia, Termas Orientales-Fase III* (sector 7F), y la responsable del Área de Catalogación del Museo de L'Alcúdia Dña. Ana María Ronda Femenia, con DNI 21.447.830-P, entregan y reciben, respectivamente, los materiales arqueológicos recuperados en ella, que se relacionan e inventarían en el anexo único que se adjunta a este acta.

DECLARAN:

PRIMERO.- Que la Dirección Territorial de Cultura i Esports d'Alacant es el órgano competente en materia de patrimonio cultural, según lo dispuesto en la Ley 4/98 de 11 de Junio de Patrimonio Cultural Valenciano, concedió permiso de excavación con el expediente nº 2018/1277-A (SS.TT. A-2004-055), en el yacimiento de L'Alcúdia a D. Jaime Molina Vidal con DNI 21.474.593-E, D. Francisco Javier Muñoz Ojeda con DNI 52.764.257-A y D. Juan Francisco Álvarez Tortora con DNI 48.320.267-G. Las fechas de desarrollo de la intervención arqueológica fueron del 4 al 24 de marzo de 2019.

SEGUNDO.- En el mencionado permiso de intervención arqueológica, atendiendo al artículo 64.2 de la ley de Patrimonio Cultural Valenciano, se estimaba oportuno que una vez finalizada la actuación los materiales arqueológicos fruto de los trabajos se depositaran en el Museo de L'Alcúdia.

TERCERO.- El Museo Monográfico L'Alcúdia es una institución integrada en el Sistema de Museos de la Comunitat Valenciana, y está dedicado a la conservación del patrimonio arqueológico del propio yacimiento de L'Alcúdia.

CUARTO.- La Generalitat Valenciana ostenta la titularidad de los materiales que se entregan, de acuerdo con lo dispuesto Decreto 107/2017 Reglamento de regulación de las actuaciones arqueológicas en la Comunidad Valenciana, que regula las actuaciones arqueológicas en la Comunidad Valenciana y la custodia, traslado, entrega y depósito, investigación, difusión y restauración de los materiales de naturaleza arqueológica.

Áreas de Arqueología y Catalogación
Fundación Universitaria L'Alcúdia
Tel. 96 6611506-647798939
Pda. Alzabares Bajo, Pol. 1, nº 138, 03290,
Elche
ana.ronda@ua.es; mercedes.tendero@ua.es



copia1/2 depositario

QUINTO.- Por todo ello, el director de la intervención hace entrega al Museo de los materiales arqueológicos que se relacionan en el anexo adjunto.

La presente acta de entrega de materiales se levanta por duplicado.

Y para que así conste lo firman:

**ANA MARIA|
RONDA|
FEMENIA**

Firmado digitalmente por ANA MARIA|
RONDA|FEMENIA
Nombre de reconocimiento (DN): cn=ANA
MARIA|RONDA|FEMENIA,
serialNumber=21447830P, givenName=ANA
MARIA, sn=RONDA FEMENIA,
ou=Ciudadanos, o=ACCV, c=ES
Fecha: 2020.03.09 13:22:01 +01'00'

Áreas de Arqueología y Catalogación
Fundación Universitaria L'Alcúdia
Tel. 96 6611506- 647796939
Pda. Alzabaras Bajo, Pol. 1, nº 138, 03290,
Elche
ana.ronda@ua.es; mercedes.tendero@ua.es



copia1/2 depositario

LISTADO DE CAJAS 2019 SECTOR 7F; TERMAS ORIENTALES

Nº Caja	Campaña	Ambiente	UUEE
127	2019	-	1
128	2019	-	1
129	2019	-	1
130	2019	-	1
131	2019	38	684
132	2019	38,32, 33	684, 669, 702, 658
133	2019	38, 36	684, 669, 691, 558, 569, 53
134	2019	38	692, 669
135	2019	49	436
136	2019	49	567
137	2019	25	564
138	2019	30	614, 658, 628, 668, 319, 619, 552
139	2019	30	628, 658, 660, 319, 619, 557, 613
140	2019	30	669, 628, 319, 660, 557
141	2019	30	702, 665, 319, 575, 367
142	2019	30	659, 693, 658
143	2019	30	319, 659
144	2019	30	625, 656, 613, 699, 319
145	2019	30	600, 668, 560, 693, 699
146	2019	29	637, 665, 560, 686, 687
147	2019	29	655, 73, 686, 456, 687
148	2019	29	688, 565, 687, 562
149	2019	29	456, 561, 53, 553
150	2019	29	655, 456, 686
151	2019	29	436, 655, 559, 688
152	2019	30	613, 56
153	2019	29	53, 1
154	2019	31	56, 314, 703
155	2019	31	314, 56
156	2019	31	676, 53, 1
157	2019	31	56, 667, 24, 56
158	2019	5	444, 200
159	2019	31	672, 617, 56, 314, 676, 677
160	2019	4	695
161	2019	4	697, 705, 208, 698
162	2019	29	346
114	2019	29	436; HU+TES

REVISADO

Áreas de Arqueología y Catalogación
Fundación Universitaria L'Alcúdia
Tel. 96 6611506- 647798939
Pda. Alzabaras Bajo, Pol. 1, nº 138, 03290,
Elche
ana.ronda@ua.es; mercedes.tendero@ua.es

6. Actuaciones en las Termas Orientales de La Alcudia de Elche (Proyecto ASTERO-Patrimonio Virtual)

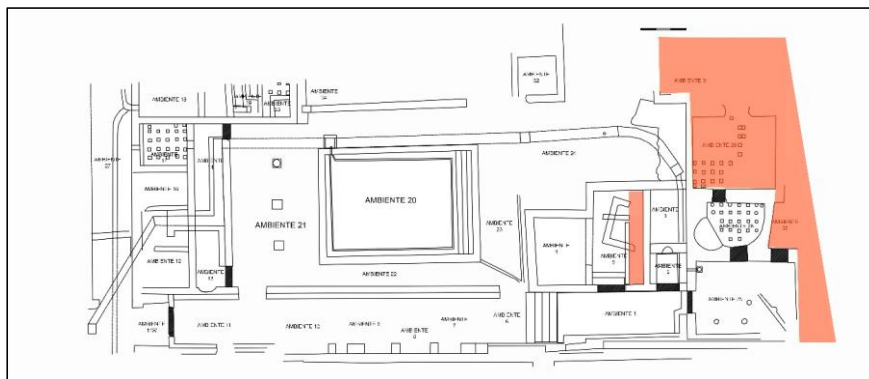
RESUMEN CAMPAÑA 2019

Jaime Molina Vidal

Francisco Javier Muñoz Ojeda

Juan Francisco Álvarez Tortosa

El Sector 7F de La Alcudia (Elche), también conocido como Termas Orientales y con anterioridad como Sector del Alcantarillado finaliza su tercera campaña dentro del marco del Proyecto ASTERO en 2019. La actuación arqueológica se planteó con tres claros objetivos: definir el extremo oriental del conjunto termal, coincidiendo con el propio límite del yacimiento en esa zona a la vista de los distintos ambientes documentados en superficie en anteriores campañas; finalizar la excavación del Ambiente 29, que en la campaña anterior ya había quedado definido y parcialmente excavado; llevar a cabo la consolidación de elementos puntuales dentro del conjunto termal, cuyo acusado deterioro ponía en peligro su conservación.



Zonas de intervención en la Campaña 2019

Por este motivo los dos sectores de excavación se centraron por un lado en el Ambiente 29, que nos permitía conocer en detalle las distintas fases constructivas que se sucedieron durante el uso y abandono de las estancias termales en el extremo oriental conjunto. En segundo lugar, procedimos a continuar la excavación de los espacios situados al este de los Ambiente 25, 28 y 29, coincidiendo con la valla delimitadora del yacimiento en esta zona. La intervención en esta parte del conjunto termal venía a dilucidar dos cuestiones fundamentales. Por un lado, la posible continuidad de estructuras pertenecientes al conjunto termal altoimperial más allá de los límites establecidos con la valla y, por otro, conocer la extensión del complejo en su zona oriental. De este modo se reanudó la excavación del Ambiente 30 que se inició en la campaña 2018 y se excavaron los ambientes inmediatamente al norte, Ambiente 38, y al sur, Ambiente 36.



Ambiente 29



Ambiente 29



Ambiente 30

CONSOLIDACIÓN DE ESTRUCTURAS

La excavación puntual del Ambiente 5 nos permitió abordar finalmente la consolidación de este ambiente, cuyos enlucidos se encontraban en serio peligro de desprendimiento, algo que se había producido de forma puntual desde las primeras campañas que intervinieron en el Sector 7F.

En primer lugar se procedió a una limpieza de los paramentos, para así liberar de elementos terrosos los enlucidos en su superficie. Posteriormente se llevó a cabo una segunda limpieza que intervino en la zona de contacto entre el paramento y el propio enlucido, algo que permitiría a posteriori asegurar su sujeción.



Consolidación de los enlucidos del Ambiente 5

Finalmente, mediante el uso de un mortero ligero se sellaron las grietas de los enlucidos, previendo así la entrada de agua de lluvia dentro del cuerpo original. Además, para frenar la separación de los enlucidos de los paramentos de mampuesto se unieron mediante un cordón de mortero ligero, realizando una doble función: la entrada de elementos ajenos a la obra que propiciasen un mayor deterioro y la caída de más enlucidos originales.

De forma puntual, también se intervino en el Ambiente 30, puesto que durante la excavación de su muro sur aparecieron también una serie de enlucidos cuya preservación estaba en serio peligro. Para evitar su deterioro, en primer lugar, se procedió a la limpieza de los enlucidos, para posteriormente crear un cordón que sellara sus extremos de unión con la obra de mampuesto.



Sellado de enlucidos

CUBRICIÓN

En la presente campaña se imponía de forma primordial proteger dos zonas de alto riesgo de deterioro: los Ambiente 4 y 5, y el nuevo hipocausto excavado en el Ambiente 29.



Protección del Ambiente 5

Tras finalizar la excavación del Ambiente 5 se procedió a rellenar con tierra hasta nivel de paso, previa indicación con geotextil de la cota inferior excavada. De

este modo, la terrera acumulada en el Ambiente 4 se vertió de nuevo en el Ambiente 5, para finalmente regularizar un nivel de paso a una cota similar en ambos ambientes.

Por otro lado, la protección del Ambiente 29 resultaba algo más compleja puesto que nos era absolutamente imposible rellenar de nuevo el hipocausto, de ahí que se idease una estructura provisional que protegiese la zona bajo nivel de paso. Para ello se realizaron una serie de bases de hormigón contenidas en recipientes plásticos con unas varillas de hierro. Esta sería la base para colocar una estructura que soportase a la altura de la cota superior de los muros en primer lugar una malla metálica, y sobre esta geotextil y posteriormente lámina de poliuretano negro. Finalmente, para evitar que el viento levantase las láminas finales se vertió grava para ejercer un contrapeso.



Cubrición del Ambiente 29. Estructura metálica provisional



Cubrición del Ambiente 29. Cobertura con geotextil



Cubrición del Ambiente 29. Protección del geotextil con lámina de poliuretano negro

Alicante, 6 de marzo de 2020



Jaime Molina Vidal

Francisco Javier Muñoz Ojeda



Juan Francisco Álvarez Tortosa

Comentado [U1]: Firma escaneada

